UNIVERSIDADE FEDERAL DE PERNAMBUCO CENTRO DE TECNOLOGIA E GEOCIÊNCIAS

Programa de Pós-Graduação em Engenharia Química

N º 70

P

P

E

Q

PPEQ - Programa de Pós-Graduação em Engenharia Química CEP. 50740-521 — Cidade Universitária- Recife - PE Telefone: 0-xx-81-21267289



Tratamento de Hidrocarbonetos Policíclicos Aromáticos (HPA) Contidos em Derivados de Petróleo via Foto-Fenton Like e Fotocatálise Heterogênea

TESE DE DOUTORADO

Danielle Pires de Souza

Orientadora: Prof^a. Dra. Valdinete Lins da Silva Orientador: Prof. Dr. Mohand Benachour

Recife/PF

Agosto / 2017

DANIELLE PIRES DE SOUZA

Tratamento de Hidrocarbonetos Policíclicos Aromáticos (HPA) Contidos em Derivados de Petróleo via Foto-Fenton Like e Fotocatálise Heterogênea

> Tese de doutorado apresentada ao Programa de Pós-Graduação em Engenharia Química da Universidade Federal de Pernambuco, como requisito para obtenção do título de Doutora em Engenharia Química. Área de concentração: Engenharia Química

> Linha de Pesquisa: Tecnologia do Petróleo, Gás Natural e Biocombustíveis.

> Orientadora: Profa Dra: Valdinete Lins

da Silva

Orientador: Prof. Dr.: Mohand Benachour

Catalogação na fonte Bibliotecária Maria Luiza de Moura Ferreira, CRB-4 / 1469

S729t Souza, Danielle Pires de.

Tratamento de hidrocarbonetos policíclicos aromáticos (HPA) contidos em derivados de petróleo via Foto-Fenton Like e fotocatálise heterogênea / Danielle Pires de Souza. - 2017.

176 folhas, il., tabs. e abr.

Orientadora: Profa. Dra.: Valdinete Lins da Silva.

Orientador: Prof Dr.: Mohand Benachour.

Tese (Doutorado) – Universidade Federal de Pernambuco. CTG. Programa de Pós-Graduação em Engenharia Química, 2017.

Inclui Referências e Apêndices.

1.Engenharia Química. 2. Hidrocarbonetos policíclicos aromáticos. 3. Contaminantes emergentes. 4. Foto-Fenton-Like. 5. Fotocatálise heterogênea. 6. TiO2 e COT. I. Silva, Valdinete Lins da (Orientadora). II. Benachour, Mohand (Orientador). III. Título.

UFPE

660.2 CDD (22. ed.)

BCTG/2018-219

DANIELLE PIRES DE SOUZA

TRATAMENTO DE HIDROCARBONETOS POLICÍCLICOS AROMÁTICOS (HPA) CONTIDOS EM DERIVADOS DE PETRÓLEO VIA FOTO-FENTON LIKE E FOTOCATÁLISE HETEROGÊNEA

Linha de Pesquisa: Tecnologia do Petróleo, Gás Natural e Biocombustíveis

Tese de Doutorado apresentada ao Programa de Pós-Graduação em Engenharia Química da Universidade Federal de Pernambuco, defendida e aprovada em 09 de Agosto de 2017 pela banca examinadora constituída pelos seguintes membros:

| Profa.Dra. Valdinete Lins da Silva/ DEQ-UFPE (Orientadora) Prof.Dr. Mohand Benachour/ DEQ-UFPE (Orientador) Profa.Dra. Léa Elias Carneiro Zaidan/ DEQ-UFPE |
|--|
| Prof.Dr. Mohand Benachour/ DEQ-UFPE (Orientador) Profa.Dra. Léa Elias Carneiro Zaidan/ DEQ-UFPE |
| (Orientador) Profa.Dra. Léa Elias Carneiro Zaidan/ DEQ-UFPE |
| (Orientador) Profa.Dra. Léa Elias Carneiro Zaidan/ DEQ-UFPE |
| (Orientador) Profa.Dra. Léa Elias Carneiro Zaidan/ DEQ-UFPE |
| (Orientador) Profa.Dra. Léa Elias Carneiro Zaidan/ DEQ-UFPE |
| Profa.Dra. Léa Elias Carneiro Zaidan/ DEQ-UFPE |
| _ |
| _ |
| _ |
| _ |
| |
| (Examinadora Externa) |
| |
| |
| |
| Prof.Dr. Fernando Ferreira da Silva Dias/ UAG-UFRPE |
| (Examinador Externo) |
| |
| |
| |
| Prof.Dr. Nelson Medeiros de Lima Filho/ UFPE-DEQ |
| (Examinador Interno) |
| |
| |
| |
| Profa.Dra. Otidene Rossiter Sá da Rocha / DEQ-UFPE |
| (Examinadora Interna) |
| |
| |
| |
| Profa.Dra. Yana Batista Brandão/ UACSA-UFRPE |
| (Examinadora Externa) |

AGRADECIMENTOS

Grata a Ti, Senhor, por todas as bênçãos que me concedes, pelo amor incomparável que tens por mim. Deus Triúno, obrigada pelo Seu cuidado e misericórdia dispensado à mim durante toda a minha vida. Toda honra e louvor a Ti, por mais uma etapa concluída em minha vida. A sua presença é indispensável para o meu viver e por isso Te amo eternamente.

Aos meus amados pais, meu muito obrigada. Obrigada pelo amor, carinho, atenção e paciência dispensados à mim. À minha mãe Beatriz Pires, exemplo de mulher, guerreira, sábia, forte, doce e alegre, nunca poderei lhe retribuir por tudo o que fizeste e fazes por mim. Por todo amor que me concedes, por todo apoio e encorajamento de que preciso. O meu amor por ti ultrapassa barreiras e vai além do infinito. Ao meu pai, Geraldo Souza, exemplo de disposição, trabalho, força e a busca pela excelência. Obrigada por estar ao meu lado desde sempre, por seu apoio, pelo incentivo, pelo cuidado por mim, e principalmente pelo seu amor. Obrigada por tudo. Te amo imensamente e imensuravelmente.

À lanira Marques, que me ama como uma filha e sempre acreditou em mim. Obrigada e obrigada. Amo você. Aos meus irmãos queridos, que são uma parte de mim, amo vocês. Aos meus sobrinhos lan Lucas e lago André que fazem a minha vida mais feliz e enriquecedora. Vocês ocupam um lugar especial no meu viver e o meu amor por vocês é enorme.

Aos meus tios e primos que sempre me apoiaram e a minha família que eu tanto amo. Um agradecimento especial à minha tia Betânia Pires e ao meu tio Ageu Pires (*in memorian*), que sempre me trataram como uma filha, com muito amor e sempre dispostos a ajudar. Amo vocês, muito obrigada por tudo. Tia Betânia, a senhora foi essencial para a conclusão de mais essa etapa da minha vida. Obrigada pelo cuidado cheio de amor e carinho com que me tratas.

Aos meus amigos de fé, da Igreja Adventista do Sétimo Dia, pelo companheirismo, consolo, ajuda, incentivo e orações. Vocês torceram por mim e estiveram ao meu lado. Vocês fazem parte da minha família e os amo como tal.

Aos meus amigos queridos que alegram a minha vida e me apoiaram nessa jornada: Maria Claudinete Farias, Carlos Gustavo, Elaiza Rocha, Geovana Araújo, Elizângela Santos e Cristiane Santana.

Aos amigos, direção e administração do Colégio Adventista, obrigada por todo o apoio.

À minha querida orientadora, prof.ª Dr.ª Valdinete Lins, pela sua orientação, seu apoio constante, amizade, carinho, disponibilidade e por cuidar dos seus alunos como filhos. Seu exemplo de dedicação e amor à ciência é um lindo exemplo.

Ao meu querido coorientador prof^o. Dr. Mohand Benachour, um exemplo para todos os seus alunos. Obrigada pela orientação, pela ajuda constante, pelo carinho, pela paciência, pela disposição em sempre ajudar. Agradeço a Deus por ter lhe colocado em minha vida.

Aos meus amigos da UFPE, Luiz Carlos, Renata Sales, Léa Zaidan, Joanna Cysneiros, Daniella Carla, Pérsio Alexandre, Sibéria Caroline, Juan Felipe, Ana Maria, Yana Brandão, Cristiane Ferreira, Júlia Barbosa e Grazielle Nascimento. Nossas risadas, aperreios, almoços, experimentos, congressos e artigos, nunca serão esquecidos, vocês são especiais para mim.

À Nailza Arruda e Liliane pelo empenho em disponibilizar as amostras para a pesquisa.

À todos do LEAQ, que ajudaram direta ou indiretamente nessa pesquisa.

À aluna de graduação, Nayane Fidelis, pela ajuda nos experimentos.

Ao programa de pós-Graduação do DEQ/UFPE na pessoa de Priscila Macêdo e Flávio Garret.

À CAPES, pelo apoio financeiro.

| "Ainda que a figueira não floresça, nem haja fruto na vide; o produto da oliveira |
|--|
| minta, e os campos não produzam mantimento; as ovelhas sejam arrebatadas do aprisco, e nos currais não haja gado, todavia, eu me alegro no Senhor, exulto no Deus da minha salvação. O Senhor Deus é a minha fortaleza, e faz os meus pés como os da corça, e me faz andar altaneiramente" |
| (Habacuque 3:17-19, Bíblia Sagrada). |

RESUMO

A geração de resíduos tem contribuído no aumento da poluição ambiental, visto os mesmos serem tratados, em sua maioria, inadequadamente. Dentre esses poluidores, os Contaminantes Emergentes (CE) são considerados como uma descoberta recente, em concentrações na ordem de μg.L-1 a ng.L-1 e até pg.L-1, apresentando alta toxicidade e persistência. Os Hidrocarbonetos Policíclicos Aromáticos (HPA), uma das classes dos CE, apresentam dois ou mais anéis aromáticos conjugados, lipofílicos, ubíguos, apresentando-se como potenciais carcinogênicos, mutagênicos e/ou teratogênicos. As fontes desses compostos são naturais ou antropogênicas, sendo a segunda mais expressiva. Os tratamentos convencionais de efluentes, não são eficientes na degradação desses compostos, logo, técnicas alternativas como os Processos Oxidativos Avançados (POA) estão sendo utilizadas no tratamento dos mesmos. O POA gera radicais hidroxilas livres, reagindo com compostos orgânicos, produzindo CO₂ e H₂O. Este trabalho teve por objetivo a identificação e quantificação no Cromatógrafo Gasoso acoplada à Espectrometria de Massa (CG-EM) dos HPA presentes em duas amostras contendo derivados de petróleo. O tratamento proposto foi o Foto-Fenton-Like (UV/H₂O₂/Fe²⁺(Fe³⁺)) e a Fotocatálise Heterogênea (TiO₂ /UV/H₂O₂), utilizando radiação UV-A e Sunlight, A conversão do Carbono Orgânico Total (COT) foi medida, a modelagem cinética do tipo Lumped Kinetic Model (LKM), foi testada e ensaios de toxicidade foram realizados com quatro sementes de hortaliças e uma semente de grão. Quinze HPA prioritários pela Environmental Protection Agency (EPA) foram identificados, com concentração total de HPA de 127,04 μg.L⁻¹ e 80,57 μg.L⁻¹ nas Amostras 1 e 2 respectivamente. Os maiores percentuais das degradações obtidas na Amostra 1, radiação UV-A e Sunlight, respectivamente, foram de 84.6% e 80,44%, nos maiores níveis dos reagentes utilizados, e com o POA do tipo TiO₂/UV/H₂O₂. Os percentuais degradativos da Amostra 2, radiação UV-A e Sunlight, respectivamente, foram de 70,7% e 92,31%, nos maiores níveis dos reagentes utilizados, e com o POA do tipo TiO₂/UV/H₂O₂, O COT da Amostra 1 e 2, respectivamente, 1074 mgC.L-1 e 13650 mgC.L-1, onde a mineralização obtida na Amostra 1, foi de 34,94% e 66,02% radiação UV- A e Sunlight respectivamente. Na Amostra 2, obtiveram-se 13,99% e 37,05% de conversão com as radiações UV-A e Sunlight, respectivamente. O ajuste do modelo cinético foi favorável, apresentando baixos erros residuais. O ensaio de toxicidade comprovou o alto grau tóxico das amostras e do seus intermediários formados.

Palavras-chaves: Hidrocarbonetos policíclicos aromáticos. Contaminantes emergentes. Foto-Fenton-Like. Fotocatálise heterogênea. TiO₂ e COT.

ABSTRACT

The generation of waste has contributed to the increase of environmental pollution, since most of them are treated inadequately. Among these pollutants, the Emerging Contaminants (EC) are considered as a recent discovery, in concentrations in the order of µg.L⁻¹ to ng.L⁻¹ and up to pg.L⁻¹, presenting high toxicity and persistence. Polycyclic Aromatic Hydrocarbons (PAH), one of CE class, have two or more conjugated aromatic rings, lipophilic, ubiquitous, presenting as carcinogenic, mutagenic and/or teratogenic potentials. The sources of these compounds are natural or anthropogenic, the second being more expressive. Conventional treatments of effluents are not efficient in the degradation of these compounds, so alternative techniques such as Advanced Oxidative Processes (AOP) are being used to treat them. The AOP generates free hydroxyl radicals, reacting with organic compounds, producing CO₂ and H₂O. The objective of this work was to identify and quantify the HPA mass spectrometry (GC-MS) in two samples containing petroleum derivatives. The proposed treatment was Photo-Fenton-Like (UV / H₂O₂ / Fe^{2 +} (Fe^{3 +})) and Heterogeneous Photocatalysis (TiO₂ / UV / H₂O₂), using UV-A and Sunlight radiation. Total Organic Carbon (TOC) conversion was measured, Lumped Kinetic Model (LKM) kinetic modeling was tested and toxicity tests were performed with four seeds of greenery and one seed of grain. Fifteen priority HPA by the Environmental Protection Agency (EPA) were identified, with a total HPA concentration of 127.04 µg.L⁻¹ and 80.57 µg.L⁻¹ of samples 1 and 2 respectively. The highest percentages of degradations obtained in Sample 1, UV-A and Sunlight, respectively, were 84.6% and 80.44%, at the highest levels of the reagents used, and with the AOP of type TiO2/UV/H2O2. The degradative percentages of Sample 2, UV-A and Sunlight, respectively, were 70.7% and 92.31%, at the highest levels of the reagents used, and with the POA of type TiO₂/UV/H₂O₂. The TOC of sample 1 and 2, respectively, 1074 mgC.L⁻¹ and 13650 mgC.L⁻¹, where the mineralization obtained in sample 1 was 34.94% and 66.02% UV-A and Sunlight respectively. In sample 2, 13.99% and 37.05% conversion were obtained with UV-A and Sunlight, respectively. The fit of the kinetic model was favorable, presenting low residual errors. The toxicity test proved the high toxic degree of the samples and their formed intermediates.

Keywords: Aromatic polycyclic hydrocarbons. Emerging contaminants. Photo-Fenton-Like. Heterogeneous Photocatalysis. TiO₂ and TOC.

LISTA DE ILUSTRAÇÕES

| FIGURA 1- Tipos de Contaminantes Emergentes | |
|--|-----|
| FIGURA 2 - Pressão de Vapor x / Massa Molecular de HPA | 33 |
| FIGURA 3 - Fontes de emissão de HPA e distribuição do poluente | 37 |
| FIGURA 4 - Fontes de petróleo e HPA no ambiente | 46 |
| FIGURA 5 - Desenho esquemático do destino químico e biológico do petróleo | о е |
| dos HPA na água e na terra | |
| FIGURA 6 - Formação de OH nos POA | |
| FIGURA 7 - Classificação de POA. | |
| FIGURA 8 - Mecanismo de fotoativação de TiO ₂ . | |
| FIGURA 9 - Esquema da decomposição por Fotocatálise de TiO ₂ de | |
| poluentes. | 64 |
| Figura 10 - Modelo esquemático das reações | |
| FIGURA 11- Esquema da extração, cartucho. Detalhe ampliado | |
| FIGURA 12 - Fluxograma da extração. | |
| FIGURA 13 - Esquema do reator de bancada | |
| FIGURA 14 - Reator com lâmpada <i>Sunlight</i> | |
| FIGURA 15 - Fluxograma da toxicidade | |
| FIGURA 16 - Cromatograma padrão de HPA 200 µg.L ⁻¹ | |
| FIGURA 17 - Concentração dos HPA (µg.L ⁻¹) – Amostra 1 | 01 |
| | |
| FIGURA 18 - Concentração dos HPA (μg.L ⁻¹) – Amostra 2 | |
| FIGURA 19 - Razões de identificação de origens. | |
| FIGURA 20 - Carta de Pareto referente à degradação dos HPA total. Amostra | |
| - UV-A. | 91 |
| FIGURA 21 - Superfície de resposta referente ao efeito TiO ₂ x H ₂ O ₂ , | 00 |
| Amostra 1 – UV-A. | 92 |
| FIGURA 22 - Gráfico de superfície referente ao efeito tempo e H ₂ O ₂ . | 02 |
| Amostra 1 – UV-A. | 93 |
| FIGURA 23 - Superfície referente ao efeito TiO ₂ e tempo. | 0.4 |
| Amostra 1 –UV-A. | 94 |
| FIGURA 24 - Carta de Pareto referente à degradação do HPA total, | 00 |
| Amostra 1, Sunlight | 96 |
| FIGURA 25 - Superfície referente ao efeito tempo x H ₂ O ₂ . | 07 |
| Amostra 1 - Sunlight | 97 |
| FIGURA 26 - Gráfico de superfície referente ao efeito tempo x TiO ₂ , | 00 |
| Amostra 1- Sunlight | 98 |
| FIGURA 27 - Superfície de resposta referente ao efeito, TiO ₂ x H ₂ O ₂ , | ~~ |
| Amostra 1 – Sunlight. | 99 |
| FIGURA 28 - Carta de Pareto referente à degradação do HPA total. | |
| Amostra 2- UV-A1 | 102 |
| FIGURA 29 - Superfície de resposta referente ao efeito, tempo versus TiO ₂ . | |
| Amostra 2 – UV-A1 | |
| FIGURA 30 - Carta de Pareto referente à degradação do HPA total. Amostra | |
| Sunlight1 | 105 |
| FIGURA 31 - Conversão do COT (%), Amostra 1 – UV-A | |
| FIGURA 32 - Conversão do COT (%), Amostra 1 - Sunlight1 | |
| FIGURA 33 - Conversão do COT (%), Amostra 2 – UV-A1 | |
| FIGURA 34 - Conversão do COT (%), Amostra 2 - Sunlight1 | |
| FIGURA 35 - Concentração do COT x Tempo, Amostra 1, radiação UV-A1 | 115 |

| FIGURA 36 - Concentração do COT x Tempo, Amostra 1, radiação Sunlight. 1 FIGURA 37 - Concentração do COT x Tempo, Amostra 2, radiação UV-A 1 FIGURA 38 - Concentração do COT x Tempo, Amostra 2, radiação Sunlight. 1 FIGURA 39 - Ajuste do modelo cinético agrupado aos dados experimentais d conversão do COT pelo processo UV/H ₂ O ₂ /TiO ₂ , com as variáveis H ₂ O ₂ = 68, mmol, TiO ₂ =2000mg.L ⁻¹ e tempo máximo 6 horas, Amostra 1, radiação UV-A | 16 16 a 56 |
|---|---------------------|
| FIGURA 40 - Comparação dos valores do COT residual experimental e o | |
| teórico previsto pelo modelo cinético agrupado pelo processo UV/H ₂ O ₂ /TiO ₂ , | |
| com as variáveis, = 68,56 mmol, TiO ₂ =2000mg.L ⁻¹ e tempo máximo= 6 horas | |
| Amostra 1 radiação UV-A1 FIGURA 41- Desvio relativo do COT em função do valor do COT experimenta | |
| Amostra 1, radiação UV-A1 | |
| FIGURA 42 - Ajuste do modelo cinético agrupado aos dados experimentais d | |
| conversão do COT pelo processo UV/H ₂ O ₂ /TiO ₂ , com as variáveis, H ₂ O ₂ = 8,5 | |
| mmol, TiO ₂ =2000 mg.L ⁻¹ e tempo máximo 6 horas, Amostra 1, radiação | |
| Sunlight | 21 |
| FIGURA 43 - Comparação dos valores do COT residual experimental e o | |
| teórico previsto pelo modelo cinético agrupado pelo processo UV/H ₂ O ₂ /TiO ₂ , com as variáveis, H ₂ O ₂ = 68,56 mmol, TiO ₂ =2000mg.L ⁻¹ e tempo máximo= 6 | |
| horas, Amostra 1, radiação <i>Sunlight.</i> 1 | 22 |
| FIGURA 44 - Desvio relativo do COT em função do valor do COT experiment | |
| Amostra 1, radiação <i>Sunlight.</i> 1 | |
| FIGURA 45 - Ajuste do modelo cinético agrupado aos dados experimentais | |
| da conversão do COT pelo processo UV/H2O2/TiO2, com as variáveis, H2O2= | |
| 68,56 mmol,, TiO ₂ =2000mg.L ⁻¹ e tempo máximo 6 horas, Amostra 2, radiação | |
| UV-A1 | 25 |
| FIGURA 46 - Comparação dos valores do COT residual experimental e o | |
| teórico previsto pelo modelo cinético agrupado pelo processo UV/H ₂ O ₂ /TiO ₂ , com as variáveis, H ₂ O ₂ = 68,56 mmol, TiO ₂ =2000mg.L ⁻¹ e tempo máximo 6 | |
| horas, Amostra 2, radiação UV-A1 | 26 |
| FIGURA 47 - Desvio relativo do COT em função do valor do COT experiment | |
| | 26 |
| FIGURA 48 - Ajuste do modelo cinético agrupado aos dados experimentais d | la |
| conversão do COT pelo processo UV/H ₂ O ₂ /TiO ₂ , com as variáveis, H ₂ O ₂ = | |
| 68,56 mmol, TiO ₂ =2000 mg.L ⁻¹ e tempo máximo 6 horas, Amostra 2, radiação | |
| Sunlight | 28 |
| FIGURA 49 - Comparação dos valores do COT residual experimental e o teórico previsto pelo modelo cinético agrupado pelo processo UV/H ₂ O ₂ /TiO | _ |
| com as variáveis, H_2O_2 = 68,56 mmol, TiO_2 =2000mg.L ⁻¹ e tempo máximo 6 | 2, |
| horas, Amostra 2, radiação <i>Sunlight.</i> 1 | 29 |
| FIGURA 50 - Desvio relativo do COT em função do valor do COT | |
| experimental, Amostra 2, radiação Sunlight1 | 29 |
| FIGURA 51 - Germinação da Alface. Detalhe ampliado1 | 33 |
| FIGURA 52 - Ensaios de ecotoxicidade, Trigo1 | |
| FIGURA 53 - Ensaios de ecotoxicidade, Agrião, sem germinação1 | 34 |
| FIGURA 54 - Germinação da Chicória, Amostra 2, radiação UV-A. Detalhe | 07 |
| ampliado1 FIGURA 55 - Rúcula não germinada, Amostra 2, radiação UV-A. Detalhe | 3/ |
| ampliado1 | 3ይ |
| unpiluuol | 50 |

| FIGURA 56 - Trigo germinado, Amostra 2, radiação UV-A. | |
|--|-----|
| Detalhe ampliado | 138 |
| FIGURA 57: Germinação Chicória, Amostra 2, radiação Sunlight. | |
| Detalhe ampliado | 140 |
| FIGURA 58 - Trigo e Rúcula sem germinação, Amostra 2, reator Sunlight. | 141 |
| FIGURA 59 - Germinação do Trigo, Amostra 2, radiação Sunlight. Detalhe |) |
| ampliado | 141 |

LISTA DE TABELAS

| TABELA 1 - Aspectos / Impactos ambientais dos processos existentes nas | |
|---|------|
| refinarias de petróleo | |
| TABELA 2- Exemplos de Contaminantes Emergentes | 30 |
| TABELA 3 - Fórmula estrutural dos 16 HPA considerados prioritários para | |
| monitoramento ambiental pela EPA | |
| TABELA 4 - Razões entre Isômeros de HPA para identificação de fontes | 38 |
| TABELA 5 - Trabalhos sobre presença de HPA em diversas matrizes | |
| ambientais | 39 |
| TABELA 6 - Concentrações de HPA medidas em alimentos individuais (µg/k | (g). |
| | |
| TABELA 7 - Concentrações de HPA medidas em alimentos individuais (µg/kg | g). |
| | 43 |
| TABELA 8 - Concentrações de HPA medidas em alimentos individuais (µg/kg | g). |
| | |
| TABELA 9 - Classificação de alguns HPA quanto a carcinogenicidade | 52 |
| TABELA 10 - Classificação de alguns HPA quanto à mutagenicidade | |
| TABELA 11 - Níveis de referência de HPA. | |
| TABELA 12 - Valores máximos de referência de HPA | |
| TABELA 13 - Exemplos de POA. | |
| TABELA 14 - Constantes cinéticas de HPA. | |
| TABELA 15 - Condições Cromatográficas | |
| TABELA 16 - Planejamento fatorial simples 2 ³ do experimento | |
| TABELA 17 - Tempo de retenção e íon específico para os | . • |
| HPA prioritários pela EPA. | 82 |
| TABELA 18 - Razões entre HPA, Amostra 1 e 2 | |
| TABELA 19 - Degradação (%) HPA total, Amostras 1 e 2 | |
| TABELA 20 - Efeitos principais e de interação com seu erro padrão, do | - |
| planejamento fatorial 2 ³ | 90 |
| TABELA 21 - Efeitos principais e de interação com seu erro padrão, do | |
| planejamento fatorial 2 ³ do reator com radiação <i>Sunlight</i> da Amostra 1 | 95 |
| TABELA 22 - Efeitos principais e de interação com seu erro padrão, do | • |
| planejamento fatorial 2 ³ do reator com radiação UV-A da Amostra 2 | 101 |
| TABELA 23 - Efeitos principais e de interação com seu erro padrão, do | |
| planejamento fatorial 2 ³ do reator com radiação <i>Sunlight</i> da Amostra 21 | 104 |
| TABELA 24 - Valores experimentais e teóricos do COT/COT ₀ , Amostra 1, | |
| UV-A1 | 117 |
| TABELA 25 - Constantes de velocidade da Amostra 1 no ensaio com a | |
| radiação UV-A1 | 112 |
| TABELA 26 - Valores experimentais e teóricos do COT/COT ₀ , | . 10 |
| Amostra 1, Sunlight1 | 120 |
| TABELA 27 - Constantes de velocidade da Amostra 1 | 120 |
| no ensaio com radiação <i>Sunlight</i> 1 | 121 |
| TABELA 28 - Valores experimentais e teóricos do COT/COT ₀ , | 121 |
| | 124 |
| TABELA 29 - Constantes de velocidade da Amostra 2 no ensaio com radiaça | |
| UV-A1 | |
| TABELA 30 - Valores experimentais e teóricos do COT/COT ₀ , Amostra 2, | . 4 |
| · | 127 |
| | |

| TABELA 31 - Constantes de velocidade da Amostra 2 no ensaio com lâmpada |
|--|
| Sunlight127 |
| TABELA 32 - Comprimento médio das raízes, Índice de Crescimento Relativo |
| (ICR) e Índice de Germinação (IG) das sementes em função da concentração |
| da Amostra 1 variando de 1% a 100% e antes do tratamento, em seu estado |
| bruto. Tratamento com H ₂ O ₂ /UV/TiO ₂ , radiação UV-A |
| TABELA 33 - Comprimento médio das raízes, Índice de Crescimento Relativo |
| (ICR) e Índice de Germinação (IG) das sementes em função da concentração |
| da Amostra 1 variando de 1% a 100% e antes do tratamento, em seu estado |
| bruto. Tratamento com H ₂ O ₂ /UV/TiO ₂ , radiação S <i>unlight</i> 135 |
| TABELA 34 - Comprimento médio das raízes, Índice de Crescimento Relativo |
| (ICR) e Índice de Germinação (IG) das sementes em função da concentração |
| da Amostra 2 variando de 1% a 100% e antes do tratamento, em seu estado |
| bruto. Tratamento com H ₂ O ₂ /UV/TiO ₂ , radiação UV-A139 |
| TABELA 35 - Comprimento médio das raízes, Índice de Crescimento Relativo |
| (ICR) e Índice de Germinação (IG) das sementes em função da concentração |
| da Amostra 2 variando de 1% a 100% e antes do tratamento, em seu estado |
| bruto. Tratamento com H ₂ O ₂ /UV/TiO ₂ , radiação <i>Sunlight</i> 142 |
| |

LISTA DE ABREVIATURAS

APHA American Public Health Association

AMM Alta Massa Molar

BMM Baixa Massa Molar

BPC Bifenilas Policloradas

CE Contaminantes Emergentes

CETESB- SP Companhia de Tecnologia de Saneamento Ambiental

CG-EM Cromatografia Gasosa acoplada a Espectrometria de Massa

CG Cromatografia Gasosa

CI Carbono Inorgânico

CLAE Cromatografia Líquida de Alta Eficiência

CONAMA Conselho Nacional do Meio Ambiente

CONP Carbono Orgânico Não Purgável

COP Carbono Orgânico Purgável

COPs Contaminantes Orgânicos Polares

COT Carbono Orgânico Total

CRA Comprimento da raiz da amostra

CRC Comprimento da raiz no controle negativo

CT Carbono Total

DE Disruptores Endócrinos

DEA Dietanolamina

EPA Environmental Protection Agency

ELL Extração Líquido-Líquido

ETE Estação de Tratamento de Efluentes

FAPESP Fundação de Amparo à Pesquisa do Estado de São Paule

GKLM General Lumped Kinetic Model

HPA Hidrocarbonetos Policíclicos Aromáticos

HPLC High Performance Liquid Chromatography

LKM Lumped Kinetic Model

IE Interferentes Endócrinos

ICR Índice de Crescimento Relativo

IG Índice de Germinação

NOAA National Oceanic and Atmospheric Administration

POA Processos Oxidativos Avançados

POP Poluentes Orgânicos Persistentes

PPCP Produtos Farmacêuticos e de Cuidado Pessoal

TRAC Toxicology and Risck Assessment Conference

SGA Número de sementes germinadas da amostra

SGC Número de sementes germinadas no controle negativo

USEPA United States Environmental Protection Agency

UV Ultravioleta

SUMÁRIO

| 1 | INTRODUÇÃO | 18 |
|-------|--|----|
| 2 | OBJETIVOS | 22 |
| 2.1 | OBJETIVO GERAL | 22 |
| 2.2 | OBJETIVOS ESPECÍFICOS | 22 |
| 3 | REVISÃO DA LITERATURA | 23 |
| 3.1 | INDÚSTRIA DO PETRÓLEO | 23 |
| 3.2 | CONTAMINANTES EMERGENTES (CE) | 27 |
| 3.3 | HIDROCARBONETOS POLICÍCLICOS AROMÁTICOS (HPA) | 31 |
| 3.3.1 | Características gerais dos HPA | 31 |
| 3.3.2 | Fontes dos HPA | 36 |
| 3.3.3 | Efeitos Tóxicos dos HPA | 48 |
| 3.3.4 | Legislação de HPA | 53 |
| 3.4 | TECNOLOGIA DE TRATAMENTOS | 55 |
| 3.4.1 | Fenton e Foto-fenton | 59 |
| 3.4.2 | Fotocatálise Heterogênea com TiO ₂ | 61 |
| 3.5 | REATORES FOTOQUÍMICOS | 64 |
| 3.6 | MÉTODOS ANALÍTICOS | 65 |
| 3.6.1 | Tratamento da Amostra- Técnicas de Extração e pré concentração | 65 |
| 3.6.2 | Cromatografia Gasosa acoplada à Espectrometria de Massa | 66 |
| 3.6.3 | Carbono Orgânico Total – COT | 67 |
| 3.7 | MODELAGEM CINÉTICA | 68 |
| 3.8 | ESTUDO DA TOXICIDADE | 71 |
| 4 | MATERIAIS E MÉTODOS | 73 |
| 4.1 | AMOSTRAGEM | 73 |
| 4.2 | EXTRAÇÃO DOS HIDROCARBONETOS POLICÍCLICOS | |
| | AROMÁTICO | 73 |
| 4.3 | ANÁLISE POR CROMATOGRAFIA GASOSA ACOPLADA | |
| | ESPECTOMETRIA DE MASSA | 75 |
| 4.4 | REATOR FOTOQUÍMICO | 76 |
| 4.5 | PLANEJAMENTO FATORIAL | |
| 4.6 | DETERMINAÇÃO DE COT | 78 |
| 4.7 | MODELAGEM CINÉTICA | 79 |

| 4.8 | TESTES DE TOXICIDADE | 79 |
|-----|--|-----|
| 5 | RESULTADOS E DISCUSSÃO | 81 |
| 5.1 | TRATAMENTO DAS AMOSTRAS | 81 |
| 5.2 | ANÁLISE POR CG-EM | 81 |
| 5.3 | IDENTIFICAÇÃO DAS FONTES DE HPA | 85 |
| 5.4 | POA NA DEGRADAÇÃO DOS HPA | 88 |
| 5.5 | ANÁLISE DA CONVERSÃO DO COT | 107 |
| 5.6 | MODELAGEM CINÉTICA | 114 |
| 5.7 | ENSAIO DA TOXICIDADE | 130 |
| 6 | CONCLUSÕES E PERSPECTIVAS | 145 |
| 6.1 | CONCLUSÕES | 145 |
| 6.2 | SUGESTÕES PARA TRABALHOS FUTUROS | 146 |
| | REFERÊNCIAS | 147 |
| | APÊNDICE A - Balanço de Massa | 171 |
| | APÊNDICE B - Concentrações das Amostras 1 e 2 | 174 |
| | APÊNDICE C - Conversão do COT (%) das Amostras 1 e 2 | 175 |
| | | |

1 INTRODUÇÃO

Nas últimas décadas tem havido um aumento considerável na geração de resíduos com uma enorme carga de poluição e que são nocivos aos seres vivos e ao meio ambiente, cujo volume de emissão é proporcional a sua produção pelos variados processos industriais. O desenvolvimento da industrialização é um dos fatores a qual atribuímos a responsabilidade, pelo crescimento da demanda e da falta de fontes de água limpa em termos mundiais. Ambientes aquáticos, terrestres e o ar, apresentam abundante concentração de poluentes orgânicos persistentes. Um aumento na contaminação da água é prognosticado, graças ao elevado lançamento de micropoluentes e contaminantes no ciclo natural da água. A situação é agravada devido ao aumento de implantação das indústrias, afetando tanto a economia como o meio ambiente (TESSARO, 2008; CHONG et al., 2010; NWAICHI e NTORGBO, 2016).

Milhares de substâncias são responsáveis pela poluição ambiental, porém uma classe é notória por suas características incomuns: Contaminantes Emergentes (CE).

Considerados como uma descoberta recente, essas substâncias são caracterizadas por apresentarem concentrações baixíssimas em nível de µg.L-¹ a ng.L-¹ e até pg.L-¹, conforme alguns autores, além de toxicidade elevada e efeitos nocivos severos ao meio ambiente e aos seres vivos em geral, devido também a sua volatilidade, lipoficidade dentre outras propriedades físico-químicas. Mesmo sendo priorizado cada vez mais pela comunidade científica, esses poluentes não possuem legislação e consequentemente são liberados no meio ambiente, sem o tratamento eficiente e adequado para completa remoção dos mesmos (KLAMERTH *et al.*, 2010; SODRÉ *et al.*, 2010; THOMAIDIS *et al.*, 2012; REVISTA DE QUÍMICA INDUSTRIAL, 2013; GABARRÓN *et al.*, 2016; TALIB e RANDHIR, 2016).

Dentre a grande diversidade de substâncias consideradas como CE, estão os produtos farmacêuticos e de cuidado pessoal (PPCP), produtos veterinários, disruptores endócrinos (DE) ou interferentes endócrinos (IE), poluentes orgânicos persistentes (POP), contaminantes orgânicos polares (COPs), muitos dos quais são utilizados no dia-a-dia da atividade humana,

provocando um aumento desses contaminantes no meio ambiente (KLAMERTH et al., 2010; LAWS et al., 2011; MIRANDA-GARCÍA et al., 2011; YAO et al., 2011; THOMAIDIS et al., 2012; NAIDU et al., 2016; TALIB e RANDHIR, 2016).

Os Hidrocarbonetos Policíclicos Aromáticos (HPA) pertencem a uma classe de CE, subclasse dos IE, que merecem destaque devido a sua alta toxicidade, seus efeitos carcinogênicos, mutagênicos e/ou teratogênicos. Por serem encontrados em grandes quantidades no meio ambiente devido à diversidade de suas fontes (processos industriais, emissões automotivas, atividades vulcânicas, incêndios florestais, dentre outras), esses hidrocarbonetos apresentam-se como uma ameaça real à saúde dos seres humanos, animais e flora caso não recebam um tratamento adequado (PEREIRA NETTO et al., 2000; ALONSO et al., 2010; YAP et al., 2011; LAU et al., 2014; LIN et al., 2016; SARRIA-VILLA et al., 2016; WU e SHAO, 2017).

Os hidrocarbonetos estão presentes na composição do petróleo, que em sua forma bruta é uma mistura composta por hidrocarbonetos aromáticos, parafinas, naftênicos, compostos metálicos, enxofre, nitrogênio e oxigênio. Para ser utilizado nas suas mais diversas formas, é necessário que seja tratado (refinado), pois o mesmo em sua forma natural tem pouco valor comercial. Os resíduos provenientes de refinarias de petróleo são compostos perigosos que apresentam uma ameaça ao meio ambiente e seres humanos. Devido ao grande volume e diversidade química de resíduos gerados pela indústria petrolífera, seus efeitos adversos são agravados, visto que a descontaminação dos mesmos não é fácil de obter (MARIANO, 2001; ALONSO *et al.*, 2010; MACHADO, 2010).

A indústria petrolífera é um segmento ascendente na economia mundial, onde seus derivados apresentam sua importância e relevância para o bem-estar dos seres humanos (MARIANO, 2001; ALONSO *et al.*, 2010; VERONESE, 2010). Apesar de seus benefícios, a poluição gerada pelo petróleo e seus derivados, segundo Nwaichi e Ntorgbo (2016) é o problema mais comum no ambiente. As refinarias são grandes poluidoras, impactam fortemente o meio ambiente consumindo em seus processos água em excesso, bem como gerando um alto volume de efluentes contendo hidrocarbonetos aromáticos, alifáticos e demais substâncias nocivas, gases tóxicos e resíduos sólidos (MARIANO, 2001; VERONESE, 2010; HASAN *et al.*, 2012).

O petróleo e seus derivados são largamente empregados em todo o mundo, porém, o impacto gerado por seu refino deve ser avaliado e considerado, já que o mesmo produz grande quantidade de rejeitos líquidos e sólidos contaminados por substâncias tóxicas e nocivas à vida em geral (MOTA *et al.*, 2008; VERONESE, 2010). Corroborando, Mariano (2001) afirma que as refinarias são consideradas grandes poluidoras, pois as mesmas possuem capacidade de degradar o meio ambiente em todos os seus níveis: ar, água e solo. Conforme Diya'uddeen e colaboradores (2011), mundialmente, cerca de 84 milhões de barris por dia de petróleo são processados, gerando um resíduo de aproximadamente 33,6 milhões de barris por dia. Levando em consideração a demanda mundial por petróleo, espera-se subir para 107 milhões de barris por dia de petróleo nas próximas décadas.

O processo de refino do petróleo *in natura* produz mais de 2500 substâncias tóxicas, como hidrocarbonetos aromáticos. Caracterizada por apresentar elevada concentração de hidrocarbonetos de petróleo alifáticos e aromáticos, essas águas residuais podem ocasionar a poluição dos rios e solos. Os rejeitos provenientes da indústria petrolífera apresentam heterogeneidade, sendo compostos orgânicos e inorgânicos, fenóis, sulfetos, compostos nitrogenados e hidrocarbonetos poliaromáticos e alifáticos. Dentre os compostos aromáticos e alifáticos presentes nesses resíduos, os aromáticos apresentam toxicidade maior, sendo os mesmos recalcitrantes (MOTA *et al.*, 2008; SANTAELLA *et al.*, 2009; HASAN *et al.*, 2012; SHAHREZAEI *et al.*, 2012).

Os tratamentos convencionais nem sempre são eficientes na degradação dessas substâncias poluidoras, por este motivo, técnicas alternativas como os Processos Oxidativos Avançados (POA) vêm sendo pesquisadas e utilizadas. O POA consiste na geração de um radical hidroxila livre, com capacidade para reagir com uma grande variedade de compostos orgânicos. Este processo caracteriza-se como sendo altamente destrutivo, no qual o contaminante é degradado e/ou mineralizado eficientemente e os produtos gerados a partir da reação ocorrida neste processo, são os CO₂ e H₂O, ou seja, os POA são ferramentas que destroem os compostos recalcitrantes e os transforma em compostos biodegradáveis. O POA é dividido em sistemas homogêneos e heterogêneos (KLAMERTH *et al.*, 2010; DIYA'UDDEEN *et al.*, 2011; MIRANDA-

GARCÍA *et al.*, 2011; HASAN *et al.*, 2012; BABUPONNUSAMI *et al.*, 2014; RIBEIRO *et al.*, 2015).

Para que ocorra a detecção e quantificação desses compostos em níveis baixos, são necessárias técnicas analíticas de alta sensibilidade e eficiência. A Cromatografia Gasosa acoplada à Espectrometria de Massa (CG-EM) atende com eficiência a esses requisitos (SOUZA, 2012). As análises de mineralização das amostras são avaliadas através da conversão do COT (Carbono Orgânico Total), analisado em equipamento específico. Um ensaio de toxicidade permite avaliar a carga tóxica da amostra tratada e através do estudo da modelagem cinética é possível avaliar quais tipos de compostos são predominantemente formados durante o processo.

2 OBJETIVOS

2.1 OBJETIVO GERAL

O objetivo dessa pesquisa foi a avaliação e quantificação, por meio de técnicas analíticas e a degradação e tratamento por Processos Oxidativos Avançados de Hidrocarbonetos Policíclicos Aromáticos presentes em efluentes contendo derivados de petróleo, como também aplicação de um modelo cinético e avaliação de toxicidade antes e após o tratamento.

2.2 OBJETIVOS ESPECÍFICOS

- Identificação e avaliação dos Hidrocarbonetos Policíclicos Aromáticos presentes nos efluentes;
- Identificação da fonte de HPA das amostras;
- Aplicação dos Processos Oxidativos Avançados para o tratamento destes contaminantes;
- Cálculo percentual da degradação dos HPA;
- Quantificar os níveis de Carbono Orgânico Total (COT), presentes nas amostras em estudos, antes e após tratamento com o POA;
- Modelagem Cinética do processo reacional;
- Ecotoxicidade das amostras tratadas.

3 REVISÃO DA LITERATURA

3.1 INDÚSTRIA DO PETRÓLEO

A indústria petrolífera tem focado na questão ambiental, graças à geração de resíduos que a permeia. Diversos são os meios pelos quais pode haver contaminação ambiental provinda do petróleo: sua extração, refino, estocagem e seu transporte. O derramamento de petróleo gera preocupação ambiental desde o começo do século XX, visto o início do seu transporte marítimo. O petróleo e seus derivados são responsáveis por diversos produtos utilizados pela sociedade: da energia até bens de consumo utilizados no dia a dia dos seres humanos. Sendo assim, para aproveitamento máximo do petróleo, o mesmo é necessário que seja refinado, já que na sua forma bruta as aplicações são reduzidas e é exatamente no refino que ocorre o maior impacto ambiental, visto que é necessário uma grande quantidade de água e energia, além de elevados números de gases, resíduos sólidos e líquidos gerados (MARIANO, 2001; HOFFMAN et al., 2002; MACHADO, 2010; MOTA, 2010; DIYA'UDDEEN et al., 2011).

O refino do petróleo é composto por uma série de processos (etapas físicas e químicas) com o intuito de obter seus derivados, sendo estes mais de 2500 produtos refinados, como gasolina, querosene, lubrificantes, diesel, produtos que possuem valor comercial (SANTAELLA *et al.*, 2009; SOUZA, 2010; HASAN *et al.*, 2012; MISITI *et al.*, 2013). Entretanto, o processo de refino, segundo Santaella e colaboradores (2009), consome grande quantidade de água, cerca de 246 à 340 litros por barril de óleo cru e aproximadamente 0,4 à 1,6 vezes do volume do petróleo processado é o volume gerado de efluente. Com a descoberta do pré-sal, a indústria petrolífera tende a aumentar suas extrações, consequentemente elevando o volume de efluentes gerados.

O petróleo é uma mistura complexa de vários componentes, podendo-se dizer que é basicamente formado por hidrocarbonetos aromáticos, naftênicos, parafínicos e alifáticos, contaminados com enxofre, oxigênio, nitrogênio e metais. Os aromáticos são mais tóxicos, recalcitrantes e mais solúveis em água apresentando uma maior dificuldade de remoção. Para o refino, são necessários diversos solventes, gerando assim uma heterogeneidade de poluentes orgânicos

e inorgânicos, como sais do tipo cloretos, sulfetos, fosfatos, compostos fenólicos, cianetos, amônia, óleos e graxas, sólidos ácidos, hidrocarbonetos poliaromáticos e alifáticos (SANTAELLA *et al.*, 2009; MACHADO, 2010; MOTA, 2010; HASAN *et al.*, 2012; MISITI *et al.*, 2013).

As etapas do refino do petróleo variam de acordo com objetivos de cada refinaria, uma vez que cada tipo de petróleo é processado de uma maneira específica. O petróleo brasileiro é classificado como pesado e ultrapesado, segundo Machado (2010), porém, conforme Veronese (2010), "A camada présal tornou-se uma das maiores descobertas de reservas petrolíferas do mundo nos últimos tempos. As descobertas desta região, contendo óleo leve, podem mudar o perfil de reservas da Petrobrás, que em sua maioria era de petróleo pesado."

Mesmo que o pré-sal brasileiro seja formado por óleos leves, as demais jazidas brasileiras e mundiais, são, em sua maioria, compostas por óleos pesados, o que ocasiona um dilema na necessidade da eficiência da transformação desses óleos em produtos leves, sendo assim, necessário o eficiente refino do mesmo (LIMA, 2012).

De acordo com Lima (2012), não existe uma técnica fixa de refino, sendo esta implantada de acordo com as características dos óleos a serem processados, assim como os tipos de produtos que se deseja obter. Até mesmo o surgimento de novos processos têm o poder de alterar o esquema de refino. Dentre as diversas etapas de uma refinaria, podemos citar: destilação de petróleo, destilação atmosférica, destilação a vácuo, craqueamento térmico, coqueamento retardado, isomerização, alquilação e polimerização (LIMA, 2012; MARIANO, 2001).

Os processos de refinos podem ser classificados como separação, conversão e tratamento. No processo de separação, as principais operações unitárias envolvidas são dessalinização, destilação atmosférica e a vácuo, desasfaltação a propano, desaromatização a furfural, desparafinação, e desoleificação. Nesta etapa do processo, o óleo cru é separado em diversas frações ou as frações anteriormente geradas são processadas. Na etapa de separação, os efluentes gerados consistem de compostos orgânicos como os HPA (na operação de destilação a vácuo) e inorgânicos, como sais, na dessalinização (MACHADO, 2010; SOUZA, 2010; VERONESE, 2010).

Na etapa de conversão, ocorrem diversas reações químicas, em que o petróleo fracionado é modificado em outro de valor econômico maior. São utilizadas reações de quebras, onde moléculas de Alta Massa Molar (AMM) são transformadas em moléculas de Baixa Massa Molar (BMM) ou a transformação em moléculas melhores. Essas reações permitem a possibilidade de uso de catalisadores no intuito de direcionamento para geração de produtos específicos e aceleração da reação. As operações desta etapa, segundo Mariano (2001) são: craqueamento térmico; visco — redução; coqueamento; craqueamento catalítico; Hidrocraqueamento catalítico; hidrotratamento/ hidroprocessamento; alquilação; isomerização; polimerização e reforma catalítica. Os resíduos desta etapa do refino, são águas ácidas, emissões de hidrocarbonetos, fenol, óleo, cianetos, amônia e poluentes atmosféricos (onde o craqueamento catalítico apresenta-se como um dos principais responsáveis) (MACHADO, 2010; MARIANO, 2001; SOUZA, 2010; VERONESE, 2010).

A etapa de tratamento é destinada para ajuste dos derivados do petróleo dentro das especificações necessárias, sobretudo em se tratando de teor de enxofre. São relacionados os seguintes tratamentos: tratamento Bender (ou adoçamento); lavagem cáustica; tratamento Merox; tratamento com dietanolamina (DEA) (MARIANO, 2001; VERONESE, 2010).

A geração de resíduos petrolíferos, tem sua quantidade aumentada consideravelmente, em todo o mundo a cada ano, graças a sua extensa gama de utilização. Esses resíduos são caracterizados e diferenciados por sua composição e seus efeitos tóxicos. Alguns desses são: metais pesados, bifenilas policloradas (BPC), hidrocarbonetos halogenados, hidrocarbonetos policíclicos aromáticos (HPA). Logo, a indústria petrolífera, agride e polui o meio ambiente em todos os níveis, seja água, ar e solo. Os HPA tem no petróleo uma das suas principais fontes (MARIANO, 2001; HOFFMAN *et al.*, 2002; LIMA, 2012).

A Tabela 1 apresenta quais impactos gerados em algumas das etapas do processo do refino apresentadas por Lima (2012).

TABELA 1 - Aspectos / Impactos ambientais dos processos existentes nas refinarias de petróleo.

| Processo/Unidade funcional | Aspectos Ambientais | | | |
|------------------------------|---------------------|------------------|---------------------|-------|
| | Emissões | Água Residual | Resíduos Sólidos | Ruído |
| Áreas funcionais | | | | |
| Unidades de Mistura | XXX | XXX | Χ | 0 |
| Estocagem | XXX | X | XXX | 0 |
| Carregamento | XXX | 0 | 0 | XXX |
| Expedição | 0 | 0 | 0 | |
| Processos de Separação | • | | | - |
| Separação de Gases (UPGN) | XXX | X | Χ | Х |
| Destilação atmosférica | XXX | XXX | Χ | Χ |
| Destilação a vácuo | XXX | XXX | Χ | Χ |
| Extração líquido-líquido | XXX | X | Χ | 0 |
| Produção de óleos básicos | XXX | XXX | XXX | Χ |
| lubrificantes | | | | |
| Processos de conversão | • | | | • |
| Coqueamento retardado | XXX | XXX | XXX | XXX |
| FCC | XXX | XXX | XXX | Χ |
| Hidrocraqueamento | XXX | XXX | XXX | Χ |
| Reforma | XXX | XXX | XXX | Χ |
| Isomerização | XXX | XXX | XXX | X |
| Alquilação | XXX | | XXX | Χ |
| Processos de acabamento | | - | | - |
| HDT | XXX | XXX | XXX | Χ |
| Adoçamento | XXX | XXX | XXX | Χ |
| Processos auxiliares | - | - | | - |
| Adsorção com peneiras | XXX | 0 | XXX | 0 |
| moleculares | | | | |
| Unidade de recuperação | XXX | XXX | Χ | Χ |
| de | | | | |
| enxofre | | | | |
| Tratamento de água | XXX | XXX | XXX | 0 |
| residual | | | | |
| Outros processos | _ | <u>.</u> | | _ |
| Tocha | XXX | XXX | X | XXX |
| Torre de resfriamento | X | XXX | Χ | X |

XXX: alta contribuição; X: baixa contribuição; 0: contribuição muito baixa ou nenhuma. Fonte: Adaptado de LIMA (2012).

3.2 CONTAMINANTES EMERGENTES (CE)

Micropoluentes em nível de μg.L-¹ a pg.L-¹, os CE são substâncias de alta toxicidade, mesmo em concentrações baixíssimas, encontradas no ambiente, podendo ser de origens antropogênicas ou naturais. Devido ao pouco conhecimento dessas substâncias no que diz respeito aos seus efeitos negativos ecotoxicológicos, sua atuação, seu destino e seu transporte, estas não são, em sua maioria, monitoradas, fiscalizadas e regidas legalmente. Recursos e falta de técnica analítica qualificada, podem justificar as poucas informações sobre esses compostos. O termo emergente é justificado graças a recente detecção (em baixos níveis de concentração) e conhecimento adquirido ao longo dos últimos anos do comportamento dessas substâncias e quais impactos elas provocam no meio ambiente, animais e no homem, entretanto, este conhecimento ainda é muito reduzido visto a necessidade crescente do combate efetivo desses poluentes (GHISELLI e JARDIM, 2007; SODRÉ *et al.*, 2010; REVISTA DE QUÍMICA INDUSTRIAL, 2013; MATAMOROS *et al.*, 2016; NAIDU *et al.*, 2016).

É ampla e numerosa a diversidade de substâncias químicas consideradas CE, as quais podem ser naturais ou sintéticas. Dentre estas, como já foi citado, estão: produtos farmacêuticos e de cuidado pessoal (PPCP), produtos veterinários, alguns pesticidas, retardadores de chamas, desreguladores endócrinos (DE), disruptores endócrinos ou interferentes endócrinos (IE), poluentes orgânicos persistentes (POP), contaminantes orgânicos polares (COPs) e derivados do petróleo (PÉTROVIC et al., 2003; BILA e DEZOTTI, 2007; ESPLUGAS et al., 2007; SÖDERSTRÖM et al., 2009; KLAMERTH et al., 2010; CABEZA et al., 2012; LAWS et al., 2011; MIRANDA-GARCÍA et al., 2011; YAO et al., 2011; VANDERMEERSCH et al., 2015; MATAMOROS et al., 2016; NAIDU et al., 2016).

Essas substâncias, em virtude da sua periculosidade, vêm se tornando nos últimos anos um grave problema ambiental e consequentemente objeto de estudo multidisciplinar, no que diz respeito à ocorrência, concentração, transporte e degradação. Apesar de sua baixa concentração, diversos problemas de saúde são atribuídos a estes compostos. Exemplificando os efeitos desses contaminantes, têm-se: problemas no cérebro e hormonais em peixes, como feminilização de peixes machos, danos ao sistema reprodutivo de

organismos aquáticos; danos ao desenvolvimento e a fisiologia dos insetos. Efeitos sobre o crescimento, mortalidade, sistema reprodutivo das plantas, peixes e outros animais. Nos humanos, têm-se, efeitos inflamatórios, cancerígenos, alteração nos sistemas endócrinos, de desenvolvimento, reprodutivos e cardiovascular. O câncer está bem estabelecido em animais e humanos por consequência dos CE (SOUZA, 2012; NAIDU *et al.*, 2016).

Os CE não apresentam uma toxicidade instantânea, porém de natureza persistente, faz-se necessário o estudo dessa toxicidade em médio e longo prazo. Estes contaminantes não são monitorados rotineiramente, todavia alguns órgãos ambientais, como a *Environmental Protection Agency* (EPA) e a população científica em geral, têm se preocupado com essa ameaça em potencial, levando a uma criação, no futuro próximo, de um amplo monitoramento, estudo e legislação apropriados (LAWS *et al.*, 2011; MIRANDA – GARCÍA *et al.*, 2011; YAO *et al.*, 2011; VANDERMEERSCH *et al.*, 2015; NAIDU *et al.*, 2016).

A Figura 1 apresenta um fluxograma com alguns tipos de CE.

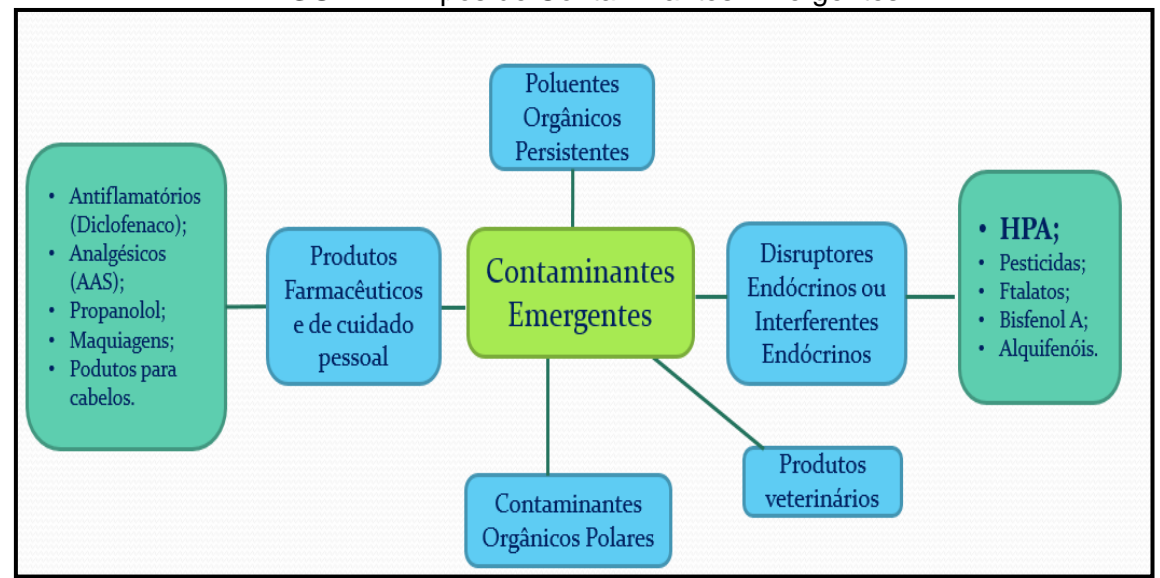


FIGURA 1- Tipos de Contaminantes Emergentes.

No mês de Abril/2009, foi publicada uma sessão nos autos do *Toxicology* and *Risck Assesssment Conference* (TRAC), em Cincinnati (EUA), intitulada de Contaminantes Emergentes, com o objetivo de compartilhar informações sobre esses micropoluentes. Debateu-se à ameaça potencial que os CE representam à saúde dos seres vivos em geral e à biota, além da ausência de uma norma

regulamentadora para essas substâncias. Neste debate, estavam presentes representantes da *United States Environmental Protection Agency* (USEPA) (MURNYAK *et al.*, 2011).

Existem alguns itens que limitam o estudo sobre os CE, conforme Naidu e seus colaboradores (2016) relatam:

- " Falta de métodos analíticos precisos para a identificação de CE;
- Falta de materiais de referência certificados para vários CE;
- A falta de informações sobre o destino, toxicidade e comportamento dos CE no meio ambiente;
- Falta de limites ambientais e de saúde humana para CE;
- Conhecimento insuficiente sobre os impactos à saúde a longo prazo (crônica) dos CE."

Grande parte das substâncias consideradas CE é utilizada no dia a dia, em indústrias ou residências. O meio ambiente tem sofrido com o aumento do consumo de cosméticos, artigos de limpeza e de medicamentos, especialmente os ecossistemas aquáticos. Segundo o pesquisador Wilson Jardim da UNICAMP (Universidade Estadual de Campinas): "Estima-se que uma pessoa utilize, em média, dez produtos cosméticos e de higiene todos os dias antes mesmo de sair de casa (FAPESP, 2016). Essas substâncias aliadas aos efluentes industriais contendo, dentre outros, HPA, bisfenol A e fármacos, vêm se tornando a mais nova classe de poluentes. O cientista da Universidade de Perpignan, Jean Louis afirma: "é uma utopia pensar que poderemos suprimir esses contaminantes. Uma das ações que pode ser tomada é de reduzir o número e a quantidade deles, através do tratamento de todos os efluentes industriais e urbanos de maneira rigorosa" (RQI-ABQ, 2017).

A Tabela 2 mostra alguns exemplos de substâncias de ampla utilização que são consideradas CE.

 TABELA 2- Exemplos de Contaminantes Emergentes.

| TABLEA E Exemples de Contaminantes Emergentes. | | | | | |
|--|---|--|--|--|--|
| TIPO DE CE | EXEMPLOS | REF. | | | |
| Produtos Farmacêuticos | Antiinflamatórios e Analgésicos (Ibuprofeno e Diclofenaco) Antibióticos (Flumequina e Oxitetraciclina) Antiepléticos (Carbamazepina) Anti-hipertensivo (Propranolol) Antisséptico (Triclosan) | Klamerth <i>et al</i> ., (2010); Esplugas <i>et al</i> ., (2007). | | | |
| Produtos de Cuidados Pessoal | Metilparabeno (conservante para produtos de beleza); Oxibenzeno; Maquiagens, cremes, produtos para cabelos e banhos. Sodré et al., (20 Pétrović et al., (20 Birkett e Lester, apud Bila e De (2007); Klamerth et al., (20 Silveira et al., (20 | | | | |
| Poluentes Orgânicos Persistentes (POP) | Dioxinas e Furanos | CETESB, (2011); Tominaga, (2011). | | | |
| Interferentes Endócrinos (IE) ou Desreguladores Endócrinos (DE) | Esteróides (Etinilestradiol, 17β – Estradiol); Alquifenóis (Nonilfenol); Compostos Poliaromáticos (Bifenilas Policloradas; Hidrocarbonetos Policíclicos Aromáticos (HPA); Compostos com Oxigênio (Ftalatos, Bisfenol A); Pesticidas (Atrazina; Endossulfan) | Ghiselli e Jardim (2007). | | | |

Fonte: Adaptado de SOUZA (2012).

A presenças desses compostos tem sido relatadas em recursos hídricos assim como em efluentes de esgotos de águas residuais, podendo também serem encontrados em águas subterrâneas ou superficiais. O tratamento convencional de água não degrada esses poluentes de forma eficaz, onde os mesmos persistem de forma quase inalterada. Visto a descarga das estações de tratamento serem a principal fonte de CE, essa remoção ineficiente é um grave problema ambiental (KLAMERTH et al., 2010; CABEZA et al., 2012; SOUZA, 2012; REVISTA DE QUÍMICA INDUSTRIAL, 2013; MATAMOROS et al., 2016; NAIDU et al., 2016). O professor da Unicamp, Wilson Jardim (FAPESP, 2016), afirma que "Os métodos utilizados pelas estações de tratamento de água brasileiras são em geral seculares. Eles não incorporaram novas tecnologias, como a oxidação avançada, a osmose inversa e a ultrafiltração". Ainda de acordo com o professor Jardim, os métodos alternativos só serão incorporados pelas empresas por meio de uma legislação específica, uma vez que eles encareceriam o tratamento (FAPESP, 2016).

Visto as centenas de substâncias que são consideradas CE, um grupo delas é de interesse do presente estudo: os Hidrocarbonetos Policíclicos Aromáticos.

3.3 HIDROCARBONETOS POLICÍCLICOS AROMÁTICOS (HPA)

3.3.1 Características gerais dos HPA

Classificados como CE, os HPA são uma classe de compostos orgânicos que apresentam dois ou mais anéis aromáticos conjugados, contendo apenas carbono e hidrogênio. São apolares, lipofílicos, apresentando baixa solubilidade em água, hidrofóbicos, e alta estabilidade no meio ambiente. Podem ser absorvidos com facilidade através dos pulmões, intestinos e pele de homens e animais. A exposição humana à HPA ocorre principalmente por contato com o solo poluído ou contato com fuligem, inalação do ar contaminado, ingestão de alimentos que receberam fumaça e água poluída. Sendo assim tóxicos, estes hidrocarbonetos podem ser mutagênicos, carcinogênicos e/ou teratogênicos. Os

HPA são produtos de combustão incompleta ou de pirólise de materiais contendo Carbono e Hidrogênio. São ubíquos, ou seja, capazes de serem encontrados na água, ar, solo, plantas e alimentos. Em linhas gerais, esses compostos apresentam uma ameaça para o meio ambiente local e global, graças a sua toxicidade, sua tendência de bioacumulação e persistência (PEREIRA NETTO et al., 2000; MEIRE et al., 2007; RODIL et al., 2007; NIKOLAOU et al., 2009; CELINO et al., 2010; WU et al., 2010; YAP et al., 2011; LI et al., 2014; CLÉMENT et al., 2015; ABDEL-SAHFY e MANSOUR, 2016; PENG et al., 2016; SUMAN et al., 2016; TIWARI et al., 2017).

Os HPA podem ser classificados em compostos de Baixa Massa Molar (BMM), possuem de 2 a 3 anéis aromáticos e os de Alta Massa Molar (AMM), apresentam de 4 a 6 anéis. Algumas propriedades físico-químicas são influenciadas diretamente pelas mesmas, como por exemplo, quanto mais alta a massa molar dos HPA, mais elevados são os seus pontos de fusão e ebulição e menor a sua solubilidade em água. Em termos gerais, quanto maior o número de anéis aromáticos, menos solúvel o hidrocarboneto. A volatilidade é outra propriedade ligada diretamente à massa molar e aumenta quando a massa molar diminui. Ainda das propriedades, a constante de Henry e pressão de vapor são influenciadas pela massa molar dos hidrocarbonetos (PEREIRA NETTO *et al.*, 2000; LEITE, 2008; LEMOS *et al.*, 2009; NIKOLAOU *et al.*, 2009).

Em suma, os HPA apresentam alto ponto de fusão e ebulição, baixa solubilidade em água e baixa pressão de vapor. Quanto maior a massa molar dos HPA, menor a pressão de vapor e menor a solubilidade aquosa dos mesmos, sendo essa última propriedade diminuída a cada anel adicionado no hidrocarboneto. Porém, eles são bastante solúveis em solventes orgânicos, visto à sua expressiva característica lipofílica. Os HPA também apresentam-se sensíveis à luz e resistentes ao calor e à corrosão (ABDEL-SAHFY e MANSOUR, 2016).

A Figura 2 apresenta um gráfico que relaciona a pressão de vapor e o massa molecular. Neste gráfico, é possível visualizar que o Benzo(a)pireno (5 anéis aromáticos) tem a menor pressão de vapor enquanto que o Naftaleno (2 anéis aromáticos) tem a maior pressão de vapor.

12.5 11.5 Benzo(a)pireno 10.5 -Log de pressão de vapor à 25°C (atm) 9.5 y = 0.0484x - 1.7156 R' = 0.9017 Benzo(a)antraceno 8.5 Pireno Antraceno Fluoranteno 7.5 Fenantreno 6.5 Fluoreno 5.5 4.5 Naftaleno 140 160 180 200 220 100 120 240 260 280 Massa Molecular (u)

FIGURA 2 - Pressão de Vapor x / Massa Molecular de HPA.

Fonte: Adaptado de ABDEL-SAHFY e MANSOUR (2016).

Países desenvolvidos como EUA, Japão e alguns países europeus têm diminuído a emissão desses compostos devido à sua toxicidade. No entanto, ao redor do mundo, as concentrações de HPA no meio ambiente continuam a crescer, onde o principal motivo, segundo Li e colaboradores (2014), é que países em desenvolvimento com rápida industrialização e urbanização, "como a China, produzem continuamente e liberam quantidades significativas de HPA no meio ambiente." Esta constatação já foi citada de acordo com Bettin e Franco (2005), onde os autores concluem que a produção e a degradação natural dos HPA estavam em equilíbrio até o início do século XX, equilíbrio esse perdido devido à expansão da atividade industrial.

No ano 2000, Pereira Netto e seus colaboradores (2000) afirmavam que na atualidade, cerca de 50 mil toneladas de hidrocarbonetos policíclicos aromáticos estão presentes no Reino Unido. A combustão da matéria orgânica contribui com cerca de 1000 toneladas/ano desses hidrocarbonetos, onde se têm emissões automotivas como responsável por cerca de 80 toneladas/ano. Entretanto, segundo os mesmos autores, em cidades desenvolvidas, essa contribuição é aumentada em cerca de 35%. É atribuído aos HPA, uma elevada resistência à degradação natural. As fontes de HPA podem ser divididas em naturais e antropogênicas, sendo a segunda de maior contribuição para essa contaminação (GHISELLI e JARDIM, 2007; LAU *et al.*, 2014).

Em razão das propriedades tóxicas dos HPA, mencionadas anteriormente, a EPA considerou como poluentes prioritários para monitoramento ambiental, 16 Hidrocarbonetos Policíclicos Aromáticos (BORTEY-SAM *et al.*, 2014; LI *et al.*, 2014; TIWARI *et al.*, 2017). Mesmo existindo um grande números de HPA, a regulamentação, as análises e relatórios de dados são limitados a poucos deles (ABDEL-SAHFY e MANSOUR, 2016).

Estes HPA considerados prioritários pela EPA e suas respectivas fórmulas estruturais estão listados na Tabela 3.

TABELA 3 - Fórmula estrutural dos 16 HPA considerados prioritários para monitoramento ambiental pela EPA.

| НРА | Estrutura | НРА | Estrutura |
|--------------|-----------|----------------------------|-----------|
| Naftaleno | | Benzo (a) antraceno | |
| Acenaftileno | | Criseno | |
| Acenafteno | | Benzo (b)fluoranteno | |
| Fluoreno | | Benzo (k)fluoranteno | |
| Fenantreno | | Benzo(a)pireno | |
| Antraceno | | Indeno (1,2,3-cd)pireno | |
| Fluoranteno | | Dibenzo (a.h) Antraceno | |
| Pireno | | Benzo(g,h,i) perileno | |
| | | | |

Fonte: Adaptado de SOUZA (2012).

3.3.2 Fontes dos HPA

São diversas e numerosas as fontes de HPA no meio ambiente. Plantas industriais, aquecimentos domésticos com lareiras (níveis de HPA na atmosfera, segundo a Comunidade Europeia, são maiores no inverno do que no verão), queima de pneus de automóvel ou de madeira tratada, incêndios florestais e erupções vulcânicas são exemplos de algumas fontes desses contaminantes.

Os HPA são persistentes no meio ambiente e caracterizam-se também por sua bioacumulação, tornando-o um poluente grave. Estes são pouco solúveis e na água, combinam-se com sólidos suspensos. A precipitação atmosférica desses poluentes destina-os aos sedimentos e solos. Em ambientes marinhos, o transporte desses hidrocarbonetos, pode ocorrer através das águas superficiais e da atmosfera (HU *et al.*, 2017; TIWARI *et al.*, 2017).

As fontes dos HPA são de dois tipos: antropogênica e natural, sendo a principal contribuinte a antropogênica, ou seja, proveniente da ação humana. Alguns exemplos de fontes antropogênicas são os derrames acidentais de petróleo, gaseificação do carvão, descartes de efluentes domésticos e industriais sem o devido tratamento, atividades do setor petroquímico, incineração, produção de asfalto, fumaça de cigarros e charutos, churrascos na parte externa das residências, emissões automotivas e de aviões. A combustão incompleta é uma grande contribuinte de HPA no meio ambiente (BAKKER *et al.*, 2000; GHISELLI e JARDIM, 2007; MEIRE *et al.*, 2007; BORTEY-SAM *et al.*, 2014; ABDEL-SAHFY e MANSOUR, 2016; LIU *et al.*, 2016; SUMAN *et al.*, 2016; TIWARI *et al.*, 2017).

As fontes antropogênicas podem ser classificadas em duas: pirogênicas e petrogênicas, sendo distinguidas através de algumas propriedades químicas, como a massa molar. Os HPA de BMM são originários de fontes petrogênicas, como derramamento de petróleo. Os HPA de AMM são provenientes de fontes pirogênicas, apresentando-se mais hidrófobos que os de BMM. Exemplos dessa fonte são as emissões veiculares, além de combustão incompleta de óleo, carvão e madeira (VEIGA, 2003; SILVA, 2004; MENICONI, 2007; PAVEI, 2007; CHIU et al., 2015; SUMAN et al., 2016).

Alguns exemplos de fontes naturais de HPA são os incêndios florestais naturais, afloramento de petróleo e perdas naturais, atividades vulcânicas,

depósitos de carvão e erosão de rochas (SOUZA, 2012; ABDEL-SAHFY e MANSOUR, 2016).

Segundo, Abdel-Sahfy e Mansour (2016), os HPA podem ser dissipados no ambiente de formas diversas, seja através do ar, através de ambientes terrestres e aquáticos como resultado de vários processos. Os seres humanos podem ser contaminados pelos hidrocarbonetos por inalação, ingestão ou contato direto na pele. Através de estudos, foi possível observar que a quantidade de exposição humana a HPA, é maior através dos solos do que através do ar ou da água, logo, a mais significativa fonte de dispersão de HPA é a atmosfera, onde a mesma recebe grande parte da carga de HPA no ambiente. A combustão incompleta da matéria orgânica é uma das principais emissoras de HPA para atmosfera, seja esta natural ou antropogênica. As maiores concentrações destes poluentes são encontradas em ambientes urbanos em relação aos ambientes rurais, pois as fontes dos mesmos estão localizadas nos centros urbanos ou próximos a estes já que as atividades antropogênicas são as principais fontes desses contaminantes (BAKKER *et al.*, 2000; ABDEL-SAHFY e MANSOUR, 2016; SUMAN *et al.*, 2016; TIWARI *et al.*, 2017).

A Figura 3 apresenta a circulação do HPA no meio ambiente.

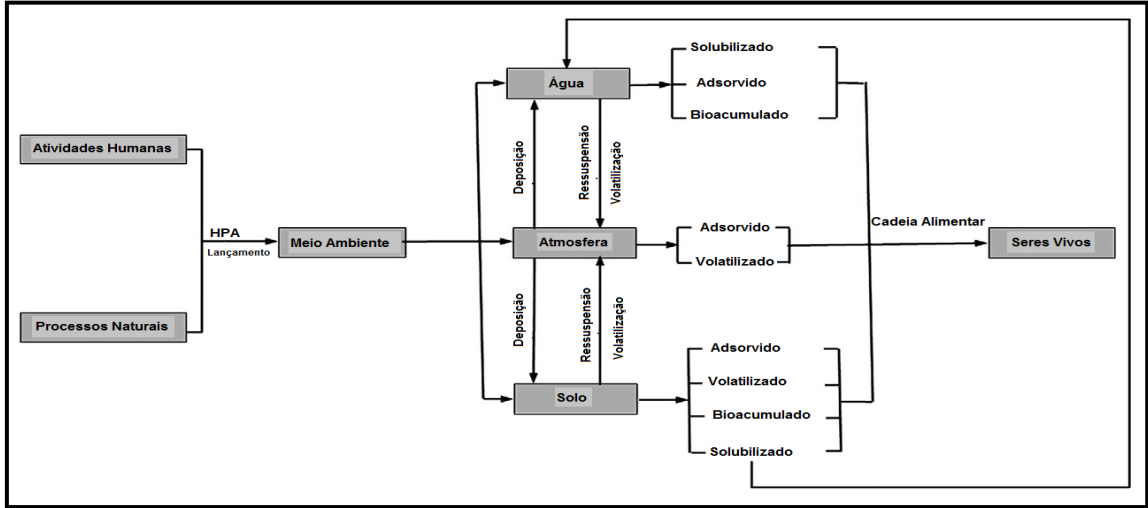


FIGURA 3 - Fontes de emissão de HPA e distribuição do poluente.

Fonte: Adaptado de RUBIO-CLEMENTE et al. (2014).

Outro modo de identificação das fontes dos hidrocarbonetos é a razão entre os HPA isômeros, sendo estes: Fluoranteno e Pireno, Fenantreno e Antraceno; Benzo[a]antraceno e Criseno; Indeno (1,2,3-cd)pireno e

Benzo(g,h,i)perileno (VEIGA, 2003; SILVA, 2004; MENICONI, 2007; PAVEI, 2007; LI *et al.*, 2014; SUMAN *et al.*, 2016). As definições das razões e os seus resultados estão descritos na Tabela 4:

TABELA 4 - Razões entre Isômeros de HPA para identificação de fontes.

| | · |
|---------------------------------|--|
| RAZÃO | ORIGEM ASSOCIADA |
| FI / FI+Pi > 0,5 | Pirogênica |
| FI / FI+Pi < 0,5 | Petrogênica |
| onde $0.4 < FI / FI + Pi < 0.5$ | Petrogênica: combustão de petróleo |
| Fl/Pi > 1 | Pirogênica |
| Fl/Pi < 1 | Petrogênica |
| Fen/An >10 | Petrogênica |
| Fen/An<10 | Pirogênica |
| An/(An+Fen)>0,1 | Pirogênica |
| An/(An+Fen)<0,1 | Petrogênica: contaminação de petróleo |
| BaAn / (BaAn+Cr) > 0,35 | Pirogênica |
| BaAn / (BaAn+Cr) <0,2 | Petrogênica |
| 0,2 < BaAn/ BaAn + Cr <0,35 | Mistura de fontes; Combustão de petróleo, combustíveis fósseis líquidos, veículos e combustão de petróleo bruto. |
| Ip/(Ip+BghiP) > 0.5 | Fontes pirogênicas; combustão de carvão, grama, madeira. |
| Ip/(Ip+BghiP) < 0.2 | Petrogênica |
| | Pirogênica: Combustão de gasolina, querosene, |
| 0.2 < Ip/(Ip+BghiP) < 0.5 | diesel e óleo cru. Combustíveis fósseis líquidos, |
| | combustão de petróleo bruto. |
| Σ BMM / Σ AMM > 1 | Petrogênica |
| Σ BMM / Σ AMM < 1 | Pirogênica |

Fonte: Adaptado de VEIGA (2003); POLAKIEWICZ (2008); SOUZA (2012); LI et al. (2014); SUMAN et al. (2016).

Abreviaturas: FI = Fluoranteno; Pi = Pireno; Fen = Fenantreno; An = Antraceno; BaAn = Benzo(a)antraceno; Cr = Criseno; Ip = Indeno (1,2,3-CD) pireno; BghiP = Benzo [g, h,i]perileno.

Alguns estudos apresentam contaminação de HPA em diversas matrizes ambientais, referenciados na Tabela 5:

TABELA 5 - Trabalhos sobre presença de HPA em diversas matrizes ambientais.

| Trabalhos | Referências |
|--|-------------------------------------|
| Assessment of PAHs levels in some fish and seafood from different costal waters in the Niger Delta. | Nwaichi e Ntorgbo, 2016 |
| Contamination of polycyclic aromatic hydrocarbons (PAHs) in surface sediments and plants of mangrove swamps in Shenzhen, China. | Li <i>et al</i> ., 2014 |
| Hidrocarbonetos policíclicos aromáticos atmosféricos de fontes automotivas: uma breve revisão | Azevedo e <i>t al.</i> , 2013 |
| Status, source and health risk assessment of polycyclic aromatic hydrocarbons (PAHs) in soil from the water-level-fluctuation zone of the Three Gorges Reservoir, China. | Hu <i>et al</i> ., 2017. |
| Local and landscape influences on PAH contamination in urban stormwater. | Heintzman <i>et al.,</i> 2015. |
| Polycyclic aromatic hydrocarbons (PAHs) concentration levels, pattern, source identification and soil toxicity assessment in urban traffic soil of Dhanbad, India. | Suman <i>et. al.</i> , 2016. |
| Presence oh PAHs in water and sediments of the Colombian Cauca River during heavy rain episodes, and implications for risk assessment. | Sarria-Villa <i>et al.,</i> 2016 |
| PAH dynamics in roadside environments: Influence on the consistency of diagnostic ratio values and ecosystem contamination assessments. | Clément <i>et al.</i> , 2015 |

Em alimentos crus é incomum apresentar altos níveis de HPA, entretanto, a detecção de HPA em alimentos está comprovada e representa perigo. A presença dos HPA nos alimentos pode ocorrer como consequência do seu caráter ubíquo, da formação dos mesmos durante cozimento e até mesmo na fabricação industrial dos alimentos. Os alimentos grelhados e defumados podem contribuir grandemente na ingestão de HPA, caso sejam rotineiros em uma dieta (EFSA, 2008; Comunidade Européia Scientific Committee on Food, 2002). Os hidrocarbonetos policíclicos aromáticos, encontrados em alimentos naturais, não processados, refletem a contaminação por esses micropoluentes. Segundo a Health And Consumer Protection Directorate-General, da Comissão Europeia, as vegetações localizadas próximas a estradas ou em bairros industriais podem ter contaminação dez vezes maior do que nas áreas rurais. Contaminações geradas por alimentos processados e cozidos a altas temperaturas, como fritar, grelhar e assar, são fontes proeminentes de HPA. Em carnes e peixes defumados também foram encontrados altos níveis de HPA individuais como 200 µg/kg. Pode haver também uma contaminação nos óleos vegetais (incluindo o óleo de bagaço de azeitona) que geralmente ocorre ao serem submetidos a processos como secagem direta no fogo, onde os produtos da combustão podem entrar em contato com as sementes ou o óleo. Devido a essa contaminação, os óleos vegetais e as gorduras são uma fonte relevante de ingestão de HPA, visto a utilização dos mesmos para temperar e cozinhar ou até mesmo sua ingestão indireta, incorporado a outros alimentos como biscoitos e bolos (Comunidade Européia Scientific Committee on Food, 2002; ROSE et al., 2015).

Estudos concluem que à formação de HPA durante o churrasco comum, utilizando carvão, depende do teor de gordura do alimento, a duração do cozimento e a temperatura utilizada. Segundo Rose e colaboradores (2015), grelhar no carvão pode levar a níveis elevados de HPA dependendo do tipo e conteúdo de gordura nos alimentos além do que, comidas que são grelhadas sobre uma lareira e em contato direto com as chamas podem resultar em níveis extremos de HPA. Larsson *et al.* (1983) *apud* Rose *et al.* (2015), concluíram que fritar e grelhar em equipamentos elétricos não produz HPA.

Em vegetais e frutos, a superfície cerosa dos mesmos é capaz de concentrar HPA de BMM, através de processo adsortivo. Já os HPA de AMM, são ligados às partículas e podem contaminar a superfície destes alimentos

devido à precipitação atmosférica. É comprovada a presença de HPA no café, e a sua contaminação pode ser originada nos grãos de café durante a etapa de secagem, ou de modo endógeno nesses grãos, durante o processo de torra. Em um estudo finlandês, comprovou-se a presença de HPA em níveis elevados no café moído torrado e em folhas secas de chá, de 100-200 µg/kg e 480-1400 µg/kg, respectivamente (EFSA, 2008; Comunidade Européia *Scientific Committee on Food*, 2002).

As Tabelas 6 à 8 apresentam níveis de HPA em diversos tipos de alimentos, reunidas e apresentadas pela Comunidade Européia *Scientific Committee on Food* (2002), após estudos escolhidos da literatura de acordo com critérios pré-estabelecidos.

TABELA 6 - Concentrações de HPA medidas em alimentos individuais (µg/kg).

| Grupo de comida carne e produtos | | utos à base de carne | peixes | s e alimento: | s marinhos | | | mexilhõe | s | | vegeta | s | | | | |
|---|-------|----------------------|--------|---------------------|--------------------------------|---------------------|--------------------------------|------------|-------------------------------------|------------------------------------|------------|-------------|----------------|---------------------|-----------------------|--------------|
| Comida | carne | carne grelhada b | peixe | arenque defumado | peixe ^h defumado | peixe e defumado | peixe ^d defumado | | local de ⁱ "controle" | viveiro de marisco ^m | couve | alface a | alface | alface ^c | chicória ^f | azeitonas |
| HPA | | | | | | | | | | | | | | | | |
| Acenafteno | | | | | | | | | | | | | | | | |
| Fluoreno | | | | | | | | | 0.4 | 0.3 | | | | | | |
| Antraceno | | | | | 6.3 | 21.0 | 14.0 | 0.5 | < 0.2 | < 0.2 | | | < 0.06 | < 0.05 | 10.0 | 32.0 |
| Fenantreno | | | | | 32.0 | 65.3 | 81 | 6.1 | 1.5 | 1.6 | | | 4.3 | 1.6 | 383 | 802 |
| Fluoranteno | 0.5 | 297 | 0.8 | 107 | 9.1 | 26.0 | 16.3 | 11.2 | < 1.4 | 4.1 | 117 | 28.0 | 9.3 | 5.5 | 146 | 176 |
| Pireno | 0.6 | 354 | 0.8 | 111 | 5.3 | 20.5 | 10.2 | 7.4 | 1.2 | 3.2 | 70 | | 6.4 | 6.6 | 69.0 | 119 |
| Benzo[a]fluoreno Benzo[b]fluoreno | | | | | | | | | | | | | 0.9 0.7 | 0.9 1.6 | 11.0 5.0 | 20.7 14.7 |
| Benzofluoreno sum | | | | | | | | | | | | | 0.7 | 1.0 | 5.0 | 11.7 |
| Benzo[ghi]fluoranteno | | | | | | | | | | | | | | | | |
| Benz[a]antraceno | 0.1 | 108 | 0.1 | 26.7 | 0.6 | 2.5 | 1.7 | 3.7 | 0.8 | 2.7 | 15 | | | | 7.0 | 15.3 |
| Benzo[c]fenantreno | | | | | | | | | 0.3 | 0.8 | 9.2 | | | | | |
| Criseno | 0.2 | | 0.7 | | 0.6 | 2.5 | | | | | | | | | | |
| Criseno+trifenileno | | | | | | | 2.7 | 8.7 | 1.6 | 5.2 | 62 | | | | 20.0 | 47.7 |
| Benzo[b]fluoranteno | 0.04 | | 0.1 | | 0.1 | 1.2 | 0.2 | | 2.7 | 15.4 | | 6.1 | | | | |
| Benzo[k]fluoranteno | 0.01 | | 0.04 | | 0.1 | 0.5 | 0.4 ⁿ | | 1.5 | 8.0 | | 3.7 | | | | |
| Benzo[b+j+k]fluoranteno | | 197 | | 16.5 | | | | 7.9 | | | 28.7 | | < 2.3 | 3.1 | 11.0 | 29.3 |
| Benzo[a]pireno | 0.1 | 157 | 0.1 | 8.4 | 0.1 | 1.2 | 0.8 | 1.3 | 0.9 | 5.9 | 4.2 | 5.6 | 0.5 | 0.6 | 3.0 | 11.3 |
| Benzoſe]pireno | 0.03 | 60.9 | 0.1 | 4.8 | | | 0.3 | 4.8 | 3.9 | 17.6 | 7.9 | | 0.7 | 0.7 | 4.0 | 11.3 |
| Perileno | | | | | 0.02 | 0.3 | < 0.1 | 1.8 | 0.5 | 1.7 | | | < 0.2 | 0.1 | 1.0 | 2.7 |
| Anthanthrene | | | | | | | | | | | | | < 0.05 | | | |
| Benzo[ghi]perileno Indeno[1,2,3-cd]pireno | 0.1 | 114 | 0.1 | 3.0 | 0.03 | 0.7 1.1 | < 0.1 < 0.1 | 1.6 1.1 | 1.6 < 0.8 | 9.2 4.5 | 7.7 7.9 | 10.0 2.4 | < 0.6 < 0.4 | 0.4 | 3.0 3.0 | 6.0 8.7 |
| Dibenz[a,h]antraceno | 0.01 | | 0.03 | | < 0.02 | < 0.1 | - 0.1 | | < 0.2 | 1.6 | 1.0 | 2.1 | | | 3.0 | 0.7 |
| Dibenz[a,h+ac]antraceno Dibenzo[a,h]pireno | | < 6.1 | | < 1.0 | | | | 0.4 | | | 0.7 | | < 0.1 | 0.1 | | |
| Dibenzo[a,i]pireno | | | | | | | | | | | 0.3 | | | | | |

Fonte: Adaptada de Comunidade Européia, *Scientific Committee on Food*, 2002. ^a De uma área industrial. ^b Salsicha e costeletas de porco. ^c Local urbano com algumas fontes industriais. ^d Níveis médios de HPA na parte comestível de mais de oito espécies, tanto de fornos tradicionais como de fornos com geração externa de fumaça. ^e Níveis médios de PAH na parte comestível de cinco espécies, de fornos fumadores tradicionais. ^f Contaminado por fontes industriais. ^g *Benzo[a]anthracene+chrysene*. ^h Níveis médios de PAH na parte comestível de oito espécies, do forno com gerador de fumaça externo. ⁱ Média de 3 meses em um local de controle para os mexilhões relatados na próxima coluna. ^m Média de cinco meses de dois sites a jusante de uma fundição de alumínio. ⁿ Benzo[k]fluoranteno + benzo[j]fluoranteno.

TABELA 7 - Concentrações de HPA medidas em alimentos individuais (µg/kg).

| Grupo de comida | frutas e | frutas e confeitaria | | | | | | | | comidas gordurosas | | | | | |
|---|-------------------|----------------------|-----------------------------|-------------------|--------|--------------------------------|----------------|-------|---------------|---------------------|---------------------|---------------------|-----------------|--------|------------------|
| Comida | uvas ^f | biscoitos | pudim, biscoitos e bolos | açúcar e doces | farelo | cereais do café da manhã | trigo moído | pão | pão branco | óleo de girassol | óleo de girassol | óleo de girassol | óleo de soja | azeite | óleo de milho |
| HPA | | | | | | | | | | | | | | | , |
| Acenafteno | | | | | 1.6 | | 0.7 | | | | | | | | |
| Fluoreno | | | | | 5.9 | | 1.7 | | | | | | | | |
| Antraceno | 2.5 | < 0.3 | | < 0.3 | 9.4 | | | < 0.3 | | 0.9 | < 3.0 | 0.3 | < 0.4 | 2.5 | < 0.1 |
| Fenantreno | 29.5 | < 2.0 | | < 2.0 | 94 | | 10.0 | < 2.0 | | | | 3.8 | | 43.3 | 1.0 |
| Fluoranteno | 26.5 | 1.0 | 1.4 | 0.7 | 130 | 0.4 | 1.8 | 1.0 | 0.7 | 2.7 | 3.4 | 3.1 | < 1.5 | 12.5 | 2.5 |
| Pireno | 11.5 | | 2.0 | | 47 | 0.6 | 1.6 | | 0.5 | 2.7 | 1.0 | 2.6 | < 2.4 | 9.2 | 2.6 |
| Benzo[a]fluoreno | < 1.5 | | | | | | | | | | | | | | |
| Benzo[b]fluoreno | < 1.0 | | | | | | | | | | | | | | |
| Benzofluoreno sum | | | | | 29 | | 0.6 | | | | | | | | |
| Benzo[ghi]fluoranteno | | < 0.7 | | < 0.7 | | | | < 0.7 | | | | | | | |
| Benz[a]antraceno | 2.0 | < 0.1 | 1.3 | 0.2 | 11 | 0.1 | < 0.1 | 0.2 | 0.1 | 1.0 | | 0.9 | | 1.4 | 2.6 |
| Benzo[c]fenantreno | | < 0.4 | | < 0.4 | | | | < 0.4 | | | | | | | |
| Criseno | | < 0.4 | 0.7 | 0.7 | | 0.1 | | < 0.4 | 0.2 | 1.5 | | | | | |
| Criseno+trifenileno | 9.0 | | | | 9.7 | | 0.3 | | | | | 1.5 | | 5 | 3.9 |
| Benzo[b]fluoranteno | | 0.2 | 0.3 | 0.2 | | 0.03 | | 0.2 | 0.1 | 1.6 | 1.3 | | 1.2 | | |
| Benzo[k]fluoranteno | | 0.1 | 0.3 | 0.1 | | 0.04 | | 0.1 | 0.1 | 0.6 | 0.7 | | 0.6 | | |
| Benzo[b+j+k]fluoranteno | 3.5 | | | | 16 | | 0.6 | | | | | 1.5 | | 2.3 | 2.9 |
| Benzo[a]pireno | 1.5 | 0.1 | 0.4 | 0.15 | 5.4 | 0.04 | 0.2 | 0.1 | 0.1 | 1.0 | 1.3 | 0.7 | 0.9 | 0.6 | 1.2 |
| Benzo[e]pireno | 1.5 | | 0.7 | | 5.2 | 0.1 | 0.2 | | 0.1 | | | 0.7 | | 0.7 | 1.3 |
| Perileno | < 1.0 | | | | 0.7 | | < 0.1 | | | | | 0.2 | | < 0.2 | 0.3 |
| Anthanthrene | | | | | | | | | | | 0.1 | | < 0.2 | | |
| Benzo[ghi]perileno | < 1.0 | < 0.1 | 0.6 | < 0.1 | | 0.1 | | 0.2 | 0.1 | 1.2 | 1.4 | 0.5 | 1.3 | < 0.4 | 1.0 |
| Indeno[1,2,3-cd]pireno | < 1.0 | < 0.2 | 0.7 | < 0.2 | | 0.1 | | < 0.2 | 0.2 | 0.9 | 1.2 | 0.4 | 0.8 | 0.4 | 0.8 |
| Dibenz[a,h]antraceno | | | 0.1 | | | < 0.01 | | | < 0.01 | 0.3 | < 0.5 | | < 0.2 | | |
| Dibenz[a,h+ac]antraceno Dibenzo[a,h]pireno | | | | | | | | | | | | < 0.1 | | < 0.1 | < 0.1 |
| Dibenzo[a,i]pireno | | | | | | | | | | | | | | | |

Fonte: Adaptada de Comunidade Européia, *Scientific Committee on Food*, 2002. - ^a De uma área industrial. ^b Salsicha e costeletas de porco. ^c Local urbano com algumas fontes industriais. ^d Níveis médios de HPA na parte comestível de mais de oito espécies, tanto de fornos tradicionais como de fornos com geração externa de fumaça. ^e Níveis médios de PAH na parte comestível de cinco espécies, de fornos fumadores tradicionais. ^f Contaminado por fontes industriais. ^g *Benzo[a]anthracene+chrysene*. ^h Níveis médios de PAH na parte comestível de oito espécies, do forno com gerador de fumaça externo. ⁱ Média de 3 meses em um local de controle para os mexilhões relatados na próxima coluna. ^m Média de cinco meses de dois sites a jusante de uma fundição de alumínio. ⁿ Benzo[k]fluoranteno + benzo[j]fluoranteno.

TABELA 8 - Concentrações de HPA medidas em alimentos individuais (µg/kg).

| Grupo de comida | | | | | | | | | outros | | | |
|---|------------------|------------------|-------------------|---------------------------------|-----------|--------|----------|-----------|---------|--------------------------|-------------------------------|--------------|
| Comida | óleo de milho | óleo de milho | óleos vegetais | Banha de porco e dripping | margarina | queijo | manteiga | chocolate | cerveja | desnatado leite em pó | frutos secos e leguminosas | coco seco |
| НРА | | | | | | | | | | | | |
| Acenafteno | | | | | | | | | | | | |
| Fluoreno | | | | | | | | | | | | |
| Antraceno | 5.5 | 1.3 | | | | | | | | | | |
| Fenantreno | | | | | | | | | | | | |
| Fluoranteno | 22.7 | 6.3 | 3.2 | 2.4 | 1.8 | 0.1 | 0.6 | 2.5 | | 1.2 | 0.7 | 29.4 |
| Pireno | 19.1 | 4.7 | 3.5 | 2.3 | 2.1 | 0.8 | 1.2 | 3.6 | | 0.8 | 1.3 | 24.5 |
| Benzo[a]fluoreno Benzo[b]fluoreno | | | | | | | | | | | | |
| Benzofluoreno sum | | | | | | | | | | | | |
| Benzo[ghi]fluoranteno | | | | | | | | | | | | |
| Benz[a]antraceno | 10.7 | | 1.9 | 0.8 | 1.5 | 0.1 | 0.1 | 0.5 | | 0.2 | 0.2 | 3.8 |
| Benzo[c]fenantreno | | | | | | | | | | | | |
| Criseno | 11.7 | | 2.1 | 0.7 | 1.9 | 0.1 | 0.1 | 0.7 | | 0.2 | 0.3 | 4.8 |
| Criseno+trifenileno | | | | | | | | | | | | |
| Benzo[b]fluoranteno | 10.5 | 0.9 | 0.7 | 0.2 | 0.8 | 0.04 | 0.03 | 0.1 | 0.1 | 0.1 | 0.1 | 2.8 |
| Benzo[k]fluoranteno | 5.1 | 0.5 | 1.0 | 0.4 | 1.1 | 0.1 | 0.03 | 0.2 | 0.1 | 0.1 | 0.1 | 1.3 |
| Benzo[b+j+k]fluoranteno | | | | | | | | | | | | |
| Benzo[a]pireno | 10.7 | 0.9 | 1.3 | 0.4 | 1.7 | 0.04 | 0.1 | 0.2 | 0.04 | 0.1 | 0.1 | 3.4 |
| Benzo[e]pireno Perileno | | | 1.8 | 0.7 | 2.3 | 0.1 | 0.1 | 0.2 | | 0.2 | 0.2 | 2.5 |
| Anthanthrene | | < 0.1 | | | | | | | | | | |
| Benzo(ahi)perileno | 6.1 | < 0.4 | 1.5 | 0.5 | 1.8 | 0.1 | 0.2 | 0.6 | 0.1 | 0.2 | 0.1 | 4.5 |
| Indeno[1,2,3-cd]pireno | 7.3 | 0.7 | 2.3 | 0.8 | 2.9 | 0.04 | 0.2 | 0.3 | 0.04 | 0.2 | 0.2 | 1.9 |
| Dibenz[a,h]antraceno | 2.3 | < 0.2 | 0.2 | 0.1 | 0.3 | < 0.01 | < 0.01 | 0.03 | < 0.01 | 0.01 | 0.01 | 0.1 |
| Dibenz[a,h+ac]antraceno Dibenzo[a,h]pireno | | | | | | | | | | | | |
| Dibenzo[a,i]pireno | | | | | | | | | | | | |

Fonte: Adaptada de Comunidade Européia, *Scientific Committee on Food*, 2002. - ^a De uma área industrial. ^b Salsicha e costeletas de porco. ^c Local urbano com algumas fontes industriais. ^d Níveis médios de HPA na parte comestível de mais de oito espécies, tanto de fornos tradicionais como de fornos com geração externa de fumaça. ^e Níveis médios de PAH na parte comestível de cinco espécies, de fornos fumadores tradicionais. ^f Contaminado por fontes industriais. ^g *Benzo[a]anthracene+chrysene*. ^h Níveis médios de PAH na parte comestível de oito espécies, do forno com gerador de fumaça externo. Média de 3 meses em um local de controle para os mexilhões relatados na próxima coluna. ^m Média de cinco meses de dois sites a jusante de uma fundição de alumínio. ⁿ Benzo[k]fluoranteno + benzo[j]fluoranteno.

Quando a água está contaminada por HPA, pode levar à ingestão desses contaminantes, através de ingestão de água potável ou de alimentos cozidos. Segundo ABDEL-SAHFY e MANSOUR (2016), os níveis de HPA são geralmente inferiores a 1 ng.L⁻¹ na água potável, tendo a possibilidade de aumento quando utiliza-se revestimento de asfalto ou alcatrão de carvão em tanques de armazenamento e tubos de distribuição de água. A presença de HPA incorporados em sedimentos também é detectada. Estes são apolares, e essa característica impede deles se dissolverem por completo em água (ABDEL-SAHFY e MANSOUR, 2016).

Um grande problema que tem prevalecido no meio ambiente é a poluição causada pelo petróleo e seus derivados. Conforme Andrade *et al.* (2010), a poluição dos últimos vinte anos causada pelo petróleo e seus produtos são um dos principais problemas ao meio ambiente. Como a indústria petrolífera e seus setores têm crescido a cada ano, essa atividade representa uma fonte em potencial de emissão de substâncias poluidoras. Uma das principais fontes de HPA é o petróleo, e por que não dizer, seus derivados. Vazamento de oleoduto acima do solo, despejo de resíduo de petróleo, sabotagem e derramamento de óleo são algumas das maneiras de poluição ambiental do petróleo. Os HPA são identificados nos rejeitos da indústria petrolífera e estes encontram-se entre os mais tóxicos, por este motivo, esta classe de compostos têm sido objeto de estudo dos órgãos governamentais de fiscalização e ambientais, conforme mencionado anteriormente (PINHATI, 2008; TRISCIANI *et al.*, 2012; NWAICHIA e NTORGBO, 2016).

Os hidrocarbonetos no petróleo são divididos em quatro principais categorias: alcanos de cadeia linear; alcanos ramificados; cicloalcanos e aromáticos. Os HPA são hidrocarbonetos aromáticos. Conforme Hoffman *et al.*, (2002), os compostos de baixa massa molar de cada categoria, predominam em óleos brutos.

No início da década de 1970, aproximadamente 35% dos hidrocarbonetos de petróleo no meio marinho eram provenientes do derramamento e descarga relacionados ao transporte no mar. A outra parte, ainda segundo Hoffman *et al.* (2002), viria da produção *offshore* de petróleo e gás, descargas industriais e municipais, descargas de águas pluviais, escoamento de rio, deposição atmosférica e infiltrações naturais. Nas áreas costeiras ou no interior, a maior fonte de petróleo, removido dos centros urbanos ou industriais, é o seu

transporte. Nas décadas de 1980 e 1990, guerra, roubo, terrorismo, foram causas adicionais e ocasionalmente superiores, das descargas de petróleo nos ambientes hídrico e terrestre (HOFFMAN *et al.*, 2002). A Figura 4 apresenta um desenho esquemático de fontes de petróleo e HPA.

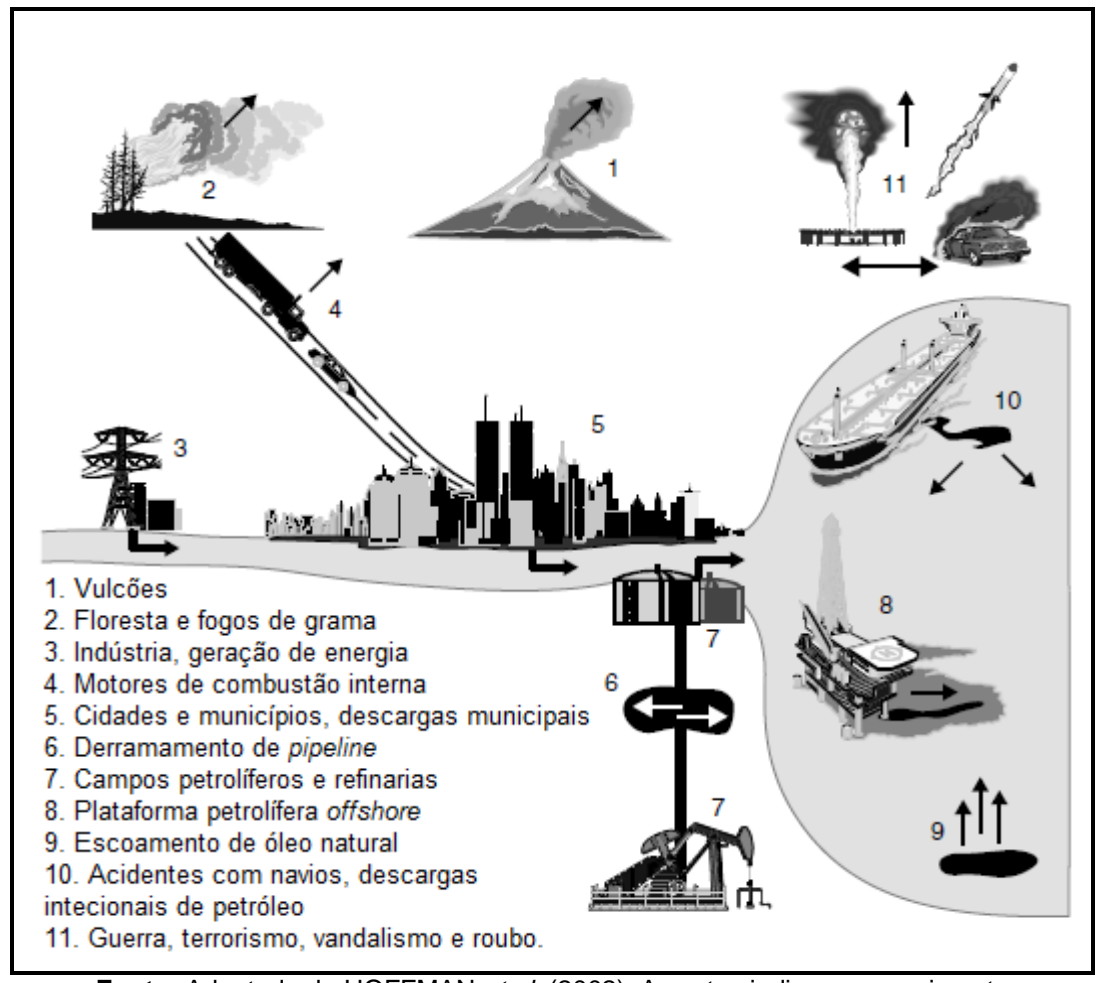


FIGURA 4 - Fontes de petróleo e HPA no ambiente.

Fonte: Adaptada de HOFFMAN *et al.* (2002). As setas indicam o movimento inicial de HPA e petróleo para o ar, água e solo.

Os HPA provenientes de óleos brutos e refinados e de carvão são originários de uma fonte concentrada de hidrocarbonetos. Segundo Hoffman e colaboradores (2002) esses poluentes produzidos por altas temperaturas (combustão ou processos industriais), são dispersos no ar, espalhados no solo, ou até mesmo como um elemento de resíduos líquidos e de esgotos municipais.

A Figura 5, apresenta um esquema dos destinos de HPA na água e no solo.

Água Terra Oxidação Química Evaporação Evaporação Fotooxidação Fotooxidação Oxidação Emulsão de água Penetração do solo Química em óleo Dissolução Destino Biológico Emulsão de óleo 1. Degradação por micróbios do Fotólise em água solo 2. Metabolismo por plantas 3. Metabolismo por invertebrados do solo: Deposição de partículas 4. Metabolismo por mamíferos. aves, répteis e anfíbios Destino Biológico 5. Armazenagem temporária em 1. Degradação por micróbios em água e sedimento plantas e animais 2. Metabolismo por fitoplâncton Metabolismo pelo zooplâncton, invertebrados bênticos, peixes, mamíferos, pássaros, répteis e 4. Armazenagem temporária em plantas e animais

FIGURA 5 - Desenho esquemático do destino químico e biológico do petróleo e dos HPA na água e na terra.

Fonte: Adaptada de HOFFMAN et al. (2002).

Quando o petróleo é derramado na água, se espalha e forma uma camada que tem a sua espessura variando de micrômetros a centímetros. Determinados óleos, o pesado cru e os produtos refinados, afundam. O movimento das águas, como as correntes e as ondas, mistura o óleo com a água produzindo uma emulsão de óleo em água ou água em óleo. A emulsão do óleo na água se dispersa progressivamente com o tempo, já a emulsão de água em óleo, é mais resistente a dispersão. A emulsão de água em óleo tem de 10 a 80% de teor de água. Aparentemente, 50 a 80% das emulsões apresentam-se viscosa, espessa e de cor marrom (HOFFMAN *et al.*, 2002).

Os HPA na atmosfera, podem se deslocar a grandes distâncias por correntes de ar. As moléculas, geralmente, são levadas para terra como deposição de partículas úmidas ou secas, conforme Hoffman *et al.* (2002).

A composição dos produtos petrolíferos crus e refinados, sofrem alterações quando expostos à radiação solar, ao ar e à água, conforme demonstrado na Figura 4 acima. Os compostos de BMM evaporam com facilidade. A quantidade de evaporação varia cerca de 10% para derramamento

de óleo cru pesado e produtos refinados; até 75% para os óleos crus leves e produtos refinados (HOFFMAN et al., 2002).

É possível a conversão de hidrocarbonetos em compostos polares oxidados quando expostos à luz solar (fotoxidação), no ar ou na água. A degradação de hidrocarbonetos em água, ocorre por fotólise, pois a falta de oxigênio inviabiliza a fotooxidação. Estes compostos de alta massa molar, são suscetíveis a alterações por estes mecanismos. A oxidação química desses poluentes, podem resultar de tratamentos de águas e de esgoto e de reações químicas na atmosfera (HOFFMAN et al., 2002).

Hoffman e autores (2002) afirmam que a persistência dos HPA cresce com o aumento dos números de anéis de benzeno; os HPA individuais e os hidrocarbonetos totais de petróleo têm a possibilidade de persistirem em solos de regiões frias ou temperadas, de 20 a 40 anos, pelo menos (HOFFMAN *et al.*, 2002).

Identificar a(s) fonte(s) de contaminação por HPA no ambiente é importante para mitigar a poluição ou para evitar contaminação adicional. As impressões químicas de uma mistura de HPA podem levar à identificação específica da fonte de contaminação, por exemplo, quando o óleo é derramado de um petroleiro (BEYER *et al.*, 2010).

3.3.3 Efeitos Tóxicos dos HPA

A toxicidade dos HPA e seus efeitos negativos para a saúde dos seres vivos estão bem estabelecidos. Devido as suas propriedades, estes hidrocarbonetos se tornam maléficos para os seres vivos em geral, pois os mesmos apresentam carcinogenicidade, genotoxicidade, mutagenicidade e/ou teratogenicidade, além de serem persistentes, bioacumuladores imunossupressores. Sabe-se que os HPA são altamente lipofílicos. Ao serem inalados ou ingeridos, estudos detectaram HPA em quase todos os órgãos internos já que estes são ricos em tecido adiposo. Estes órgãos podem atuar como reservatórios de HPA, sendo estes poluentes liberados gradualmente. São observados efeitos como irritação e inflamação da pele em seres humanos (LAU et al., 2014; ABDEL-SHAFY E MANSOUR, 2016; LIN et al., 2016; HU et al., 2017; TONGO et al., 2017).

Os estudos sobre a toxicidade desses HPA são antigos. Segundo a ASTDR (2009), o cirurgião inglês Percivall Pott, em 1775, relatou a alta incidência de câncer escrotal entre os limpadores de chaminés, sabendo-se que o trabalho com carvão e seus produtos, possibilita uma maior exposição aos HPA. Em 1985, a EPA, publicou um relatório técnico, intitulado como "Avaliação e Estimativa de Potenciais Riscos Carcinogênicos de Hidrocarbonetos Polinucleares Aromáticos (HPA)". Desde então, a toxicidade desses contaminantes tem sido pesquisadas e relatadas pela comunidade científica.

Os HPA afetam completamente os animais. Conforme a ASTDR (2009), a carcinogenicidade está bem estabelecida em animais de laboratórios. Câncer de pulmão, de pele, bexiga, fígado, estômago, além de sarcomas no local da injeção foram relatados. É possível ainda observar em estudos, que alguns HPA podem afetar, nos animais, os sistemas hematopoiéticos, imunológicos, além de produzir efeitos nos sistemas reprodutivo, neurológico e também em seu desenvolvimento (ASTDR, 2009).

Os hidrocarbonetos policíclicos aromáticos têm uma toxicidade aguda, de moderada a elevada, para vida aquática e as aves. Como efeitos em peixes, estudos observaram um retardo no crescimento, malformação nos estágios iniciais de vida além da redução da sobrevida. Concentrações ambientais de HPA e a incidência de neoplasias hepáticas e tumores hepáticos em peixes, demonstraram fortes ligações causais. Os peixes podem metabolizar HPA, formando assim metabólitos reativos que podem ligar-se a macromoléculas como DNA, RNA e proteínas. Logo, as células e o organismo dos peixes podem sofrer lesões e efeitos adversos, como a mutagênese, teratogênese e carcinogênese, visto os peixes não possuírem um sistema de reparo de DNA desenvolvido. Pesquisas de laboratório, onde animais foram expostos a HPA por longos períodos, quando os contaminantes foram inalados por esses animais, estes desenvolveram câncer de pulmão; ao ingerirem HPA nos alimentos, desenvolveram câncer de estômago e no contato destes contaminantes com a pele dos animais, os mesmos desenvolveram câncer de pele (BEYER et al., 2010; ABDEL-SHAFY e MANSOUR, 2016).

Em se tratando da teratogenicidade, pesquisas realizadas com camundongos, observaram que os mesmos, quando ingeriram altos níveis de benzo(a)pireno durante a gravidez, os seus filhotes apresentaram, defeitos congênitos e diminuição do peso corporal. Alguns roedores apresentaram efeitos

genotóxicos de HPA assim como testes in vitro utilizando células de mamíferos, entre estes humanos (ABDEL-SHAFY e MANSOUR, 2016).

Nos seres humanos, os HPA são uma séria ameaça à saúde e ao seu bem-estar. Irritação da pele e inflamação podem ser causados por misturas de HPA. Como irritantes diretos da pele, podemos citar o Antraceno, Benzo(a)pireno e Naftaleno. O Antraceno e o Benzo(a)pireno podem causar reações alérgicas na pele de animais e seres humanos. Exposição prolongada a hidrocarbonetos policíclicos aromáticos, podem incluir alguns males à saúde como catarata, danos ao fígado e aos rins, redução na função imunológica, problemas respiratórios, além de anormalidades da função pulmonar. O Naftaleno, por exemplo, se inalado ou ingerido em grandes quantidades, pode ocasionar degradação dos glóbulos vermelhos. A imunossupressão é um dos efeitos mais frequentes após exposição aos HPA. Conforme Abdel-Shafy e Mansour (2016), a imunossupressão está associada a uma suscetibilidade aumentada dos indivíduos expostos ao desenvolvimento de cancro ou doenças infecciosas.

Estudos, conforme Perera *et al.* (2005), chegaram à conclusão da necessidade de programas internacionais que visam a prevenção da poluição para proteger de HPA, mulheres em idade fértil e seus filhos. Indivíduos são expostos em grande parte da sua vida a carcinógenos e se essa exposição ocorrer no pré-natal, a possibilidade de desenvolvimento de câncer ao longo da vida é aumentada.

Pesquisas, estudos, ao redor do mundo têm sido realizados, como os dos EUA, Polônia e República Tcheca, sugerindo que os HPA têm impactos negativos nos resultados do nascimento e no desenvolvimento cognitivo na primeira infância, em seres humanos, além de diminuição das circunferências da cabeça, do comprimento e do peso ao nascer, crescimento intrauterino e o desenvolvimento neurocognitivo em crianças. Pode haver uma sensibilidade dos fetos aos impactos de HPA tóxicos durante a gravidez, no 1º trimestre, visto o rápido desenvolvimento dos órgãos fetais e a maior exposição por peso corporal do feto durante este período, se comparado com os próximos períodos da gestação. Vários estudos com animais comprovam que os HPA e seus metabólitos cruzam a placenta, colocando os fetos em exposição. Além do fato de que esses contaminantes são excretados no leite materno, expondo assim os lactentes (ASTDR, 2009; WU *et al.*, 2010).

O câncer é o efeito mais grave ocasionado por HPA. Em animais, a carcinogenicidade está bem estabelecida, como cânceres de pele, pulmão, bexiga, fígado e estômago. O Japão e a Inglaterra também realizaram pesquisas sobre a mortalidade por câncer de pulmão em trabalhadores que lidavam com carvão. Estudos apontam que alguns HPA, em animais, podem afetar sistemas imunológicos, reprodutivos, neurológico e no desenvolvimento. Em trabalhadores expostos a HPA, observou-se um aumento da incidência de cânceres de pele, pulmão, bexiga e gastrointestinal. Os danos ocasionados às células e rupturas bioquímicas, levam à mutações, malformações de desenvolvimento, tumores e câncer. Misturas de HPA são comprovadamente cancerígenas para seres humanos, atesta estudos realizados com trabalhadores expostos a HPA. A incidência de câncer de pulmão, pele e bexiga em seres humanos, é aumentada à exposição prolongada de HPA. Agências investigadoras, reguladoras, classificam alguns HPA como cancerígenos. A EPA classificou como prováveis cancerígenos para seres humanos, os seguintes HPA: Benz (a) antraceno, Benzo Benzo (b) fluoranteno, Benzo (k) fluoranteno, pireno. Dibenz(ah)antraceno e Indeno (1,2,3-cd) pireno (ASTDR, 2009; LI et al., 2014; SOUZA, 2012; ABDEL-SHAFY E MANSOUR, 2016; SARRIA-VILLA et al., 2016).

Algumas agências classificaram os HPA quanto a sua carcinogenicidade. A Tabela 9 apresenta essas categorizações.

A mutação é uma alteração que ocorre nas moléculas de DNA, definido também como alterações no material genético de células ou organismos. Ainda que mutagênicos e carcinogênicos não são sinônimos, pesquisas apontam a correlação, visto que a carcinogênese pode ser derivada de eventos mutagênicos (GRIFFITHS *et al.*, 2000; FERNANDES, 2005; DÜSMAN *et al.*, 2012; TENNANT, 2014). A Tabela 10 apresenta a classificação de alguns HPA quanto a sua mutagenicidade.

TABELA 9 - Classificação de alguns HPA quanto a carcinogenicidade.

| Agência | HPA | Carcinogenicidade |
|---|---|---|
| U.S. Department of Health and Human Services (HHS) | Benzo(a)antraceno Benz (a) antraceno, Benzo (b) fluoranteno, Benzo (a) pireno, Dibenz (a,h)antraceno, e Indeno(1,2,3-c,d)pireno. | Conhecidos carcinogênicos em animais. |
| <u> </u> | Benza (a) antraceno, Benzo (a) pireno. | Provavelmente carcinogênico para humanos. |
| International | Benzo (a) fluoranteno, Benzo (k) fluoranteno, e Indeno(1,2,3-c,d)pireno. | Possivelmente cancerígeno para os seres humanos. |
| International Agency for Research on Cancer (IARC) | Antraceno, Benzo (g, h, i) perileno, Benzo (e) pireno, Criseno, Fluoranteno, Fluoreno, Fenantreno e Pireno. | Não classificável quanto à sua carcinogenicidade para os seres humanos. |
| U.S. Environmental Protection | Benz (a) Antraceno, Benzo (a) Pireno, Benzo (b) Fluoranteno, Benzo (k) Fluoranteno, Criseno, Dibenz (a, h) Antraceno, Indeno(1,2,3-c, d)Pireno. | Prováveis carcinogêneos humanos. |
| Agency (EPA) | Acenaftileno, Antraceno, Benzo (g, h, i) perileno, Fluoranteno, Fluoreno, Fenantreno, Pireno. | Não classificável quanto à carcinogenicidade humana. |

Fonte: ASTDR (2009).

TABELA 10 - Classificação de alguns HPA quanto à mutagenicidade.

| НРА | Mutagenicidade |
|------------------------|----------------|
| Fluoreno | - |
| Fenantreno | + |
| Antraceno | - |
| Fluoranteno | + |
| Pireno | + |
| Benzo (a)antraceno | + |
| Criseno | + |
| Benzo(b)fluoranteno | + |
| Benzo(k)fluoranteno | + |
| Benzo(a)pireno | + |
| Indeno(1,2,3-cd)pireno | + |
| Benzo(g,h,i)perileno | + |

Fonte: SOUZA (2012). + = positivo; - = negativo.

3.3.4 Legislação de HPA

No que diz respeito a legislação ambiental dos hidrocarbonetos policíclicos aromáticos, esta ainda é muito escassa e limites de emissão ainda não foram estabelecidos para todos esses compostos. Em território brasileiro, apenas para o Benzo(a)pireno estabeleceu-se limite em água potável para consumo humano através da portaria 518/2004 do Ministério da Saúde, que é de 0,7 μg L⁻¹. Apenas sete dos dezesseis HPA prioritários pela EPA, apresentam limites de 0,018 μg.L⁻¹, de acordo com a Resolução CONAMA 357/05, para águas superficiais e efluentes, sendo estes: Benzo[a]antraceno, Benzo[a]pireno, Benzo[b]fluoranteno, Benzo[k]fluoranteno, Criseno, Dibenzo[a,h]antraceno, Indeno[1,2,3-cd]pireno, todos classificados como possíveis carcinogênicos. A ASTDR apresentou alguns níveis de HPA de algumas agências, conforme a Tabela 11. A *National Oceanic and Atmospheric Administration* (NOAA) possui uma tabela com valores de referência de algumas agências, onde os mesmos podem ser usados apenas para efeito de comparação. Na Tabela 12, seguem os valores máximos referentes ao NOAA para HPA.

TABELA 11 - Níveis de referência de HPA.

| Agência | Foco | Níveis | Observações |
|---|-----------------------------|---|---|
| American Conference of Governmental Industrial Hygienists | Ar: local de trabalho | 0,2 mg.m ⁻³ de fracção de piche de carvão de alcatrão solúvel em benzeno | Recomendação: TLV ¹ : 8 horas de TWA ² . |
| National Institute for Occupational Safety and Health | Ar: local de trabalho | 0,1 mg.m ⁻³ para os agentes voláteis de piche de alcatrão de carvão. | Recomendação: REL ³ : 8 horas de TWA ² . |
| Occupational Safety and Health Administration | Ar: local de trabalho | 0.2 mg.m ⁻³ fracção de piche de alcatrão de carvão de solúvel em benzeno | Regulamento: Fração solúvel em benzeno de substâncias voláteis de alcatrão de carvão. PEL4 (jornada de 8 horas). |
| U.S. Environmental Protection Agency | | 0,0001 (mg.L ⁻¹) | MCL ⁵ para benzo(a)antraceno |
| | Água | 0,0002 mg.L ⁻¹ | MCL ⁵ for benzo(a)pireno, benzo(b)fluoranteno, benzo(k)fluoranteno, criseno. |
| | | 0,0003 mg.L ⁻¹ | MCL for dibenzo(a,h)antraceno. |
| 4. TI V: volor limito | | 0,0004 mg.L ⁻¹ | MCL for Indeno(1,2,3-c, d)pireno. |

^{1:} TLV: valor-limite.

^{2:} TWA (média ponderada em função do tempo): concentração para uma jornada de trabalho normal de 8 horas e uma semana de trabalho de 40 horas para a qual quase todos os trabalhadores podem ser expostos repetidamente.

^{3:}REL (limite de exposição recomendado): limite de exposição ao ar recomendado para os voláteis de passo de alcatrão de carvão (fracção extraível com ciclohexano) calculados em média durante um turno de trabalho de 10 horas.

^{4:}PEL (limite de exposição admissível): o limite legal de exposição permitido pelo ar (PEL) para os voláteis de passo de alcatrão de hulha (fracção solúvel em benzeno), calculado em média durante um turno de trabalho de 8 horas.

^{5:}MCL: nível máximo de contaminante.

TABELA 12 - Valores máximos de referência de HPA.

| | Valores de |
|---------------------------|----------------------------------|
| HPA | Referência (µg.L ⁻¹) |
| Acenafteno | 5,8 |
| Antraceno | 0,012 |
| Benzo (a)antraceno | 0,027 |
| Benzo(g,h,i)perileno | 7,64 |
| Benzo(a)pireno | 0,014 |
| Benzo(b)fluoranteno | 9,07 |
| Fluoranteno | 0,04 |
| Fluoreno | 3,9 |
| Indeno [1,2,3 c-d] pireno | 4,31 |
| Naftaleno | 1,1 |
| Fenantreno | 3,6 |
| Pireno | 0,025 |

3.4 TECNOLOGIA DE TRATAMENTOS

Os métodos tradicionais utilizados nos tratamentos de efluentes são ineficazes no que diz respeito à degradação completa de contaminantes emergentes, uma vez que estudos comprovam a presença frequente dessas substâncias em efluentes tratados. Visto que uma solução sustentável para a água deve ser a sua reutilização, é necessário que a mesma seja submetida a um tratamento que mineralize ou degrade os contaminantes satisfatoriamente, já que os tratamentos convencionais apenas os removem de fase. Devido a sua hidrofobicidade, os HPA são resistentes ao processo de tratamento convencional (MOTA, 2005; KLAMERTH *et al.*, 2010; MIRANDA-GARCÍA *et al.*, 2011; LIN *et al.*, 2016; MATAMOROS *et al.*, 2016).

Diante da necessidade de uma técnica que atenda satisfatoriamente a degradação dos poluentes, tecnologias têm sido desenvolvidas e uma atenção especial tem sido dada a uma técnica eficiente e promissora para degradação desses poluidores: Processos Oxidativos Avançados (POA), onde a mesma tem sido utilizada com assiduidade e obtendo êxito nos últimos anos, para degradação de contaminantes no meio ambiente, como tratamento de águas

residuais. Esta técnica é baseada na geração de um radical hidroxila livre (*OH), que é altamente reativo com 2,8 V de potencial redox, capaz de reagir com uma grande variedade de compostos orgânicos, produzindo substâncias atóxicas, como CO₂ e H₂O. Esses processos alternativos apresentam diversas formas de produção de radicais hidroxilas. Os POA têm sido considerados como um processo rápido e eficiente de degradação de HPA e também como uma tecnologia ambientalmente limpa, onde a geração de resíduos secundários é mínima. Esse processo não transfere poluentes de fases e não produzem lodo em grandes quantidades. Ainda como vantagens, esses processos transformam os produtos refratários em compostos biodegradáveis; podem ser utilizados com outros processos, seja pré ou pós tratamento; podem melhorar as qualidades organolépticas da água tratada além de possibilitarem tratamento *in situ* (TEIXEIRA e JARDIM, 2004; YAP *et al.*, 2011; HASAN *et al.*, 2012; SHAHREZAEI *et al.*, 2012; AVISAR *et al.*, 2013; ANTONOPOLOU *et al.*, 2014; BABUPONNUSAMI *et al.*, 2014; CHENG *et al.*, 2016; HUANG *et al.*, 2017).

Os POA são compostos por várias tecnologias. Uma das classificações é a divisão do POA em homogêneo e heterogêneo. No sistema homogêneo, são utilizados agentes oxidantes e/ou irradiação, sendo a maior parte a junção dos dois. No sistema heterogêneo, são utilizados catalisadores e/ou irradiação, como exemplo o UV/ TiO₂ (TEIXEIRA e JARDIM, 2004; KLAMERTH *et al.*, 2010). A Tabela 13 exemplifica alguns desses sistemas.

Conforme Gmurek *et al.* (2017), incialmente os processos oxidativos avançados incluíam o uso de ozônio, peróxido de hidrogênio e radiação UV combinados de várias formas. Aumentaram-se o número de técnicas de POA e pode-se sintetizar esses processos, como sendo: eletroquímicos e fotocatalíticos, reagentes de fenton, efeitos de ultra-som, técnicas de plasma à baixa temperatura, radiação à vácuo –UV (VUV) e radiação-γ ou feixe de elétrons. As Figuras 6 e 7 correspondem a classificação dos POA de acordo com Cheng *et al.* (2016) e Gmurek *et al.* (2017) respectivamente.

COM IRRADIAÇÃO O_3/UV SISTEMAS H_2O_2/UV FEIXE DE ELÉTRONS US H_2O_2/US UV / USSEM IRRADIAÇÃO O_3/H_2O_2 $O_3/OH^ H_2O_2/Fe^{+2} (FENTON)$

SISTEMAS HETEROGÊNEOS COM IRRADIAÇÃO

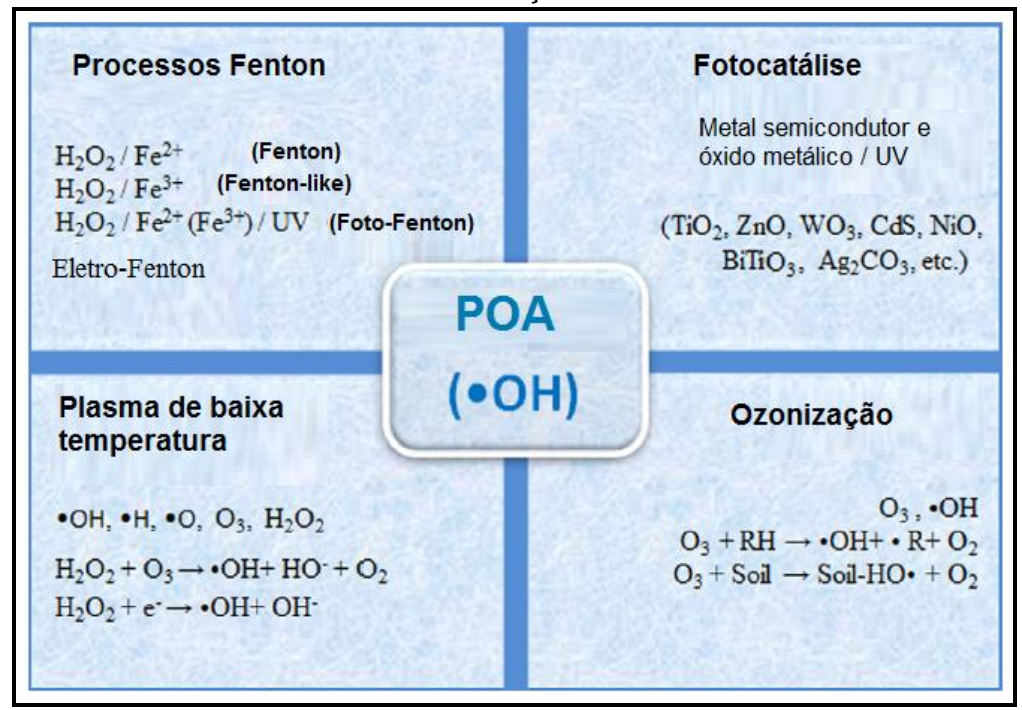
 $TiO_2/O_2/UV$ $TiO_2/H_2O_2/UV$

SEM IRRADIAÇÃO

ELETRO-FENTON

Fonte: TEIXEIRA e JARDIM (2004); SOUZA (2012).

FIGURA 6 - Formação de 'OH nos POA.



Fonte: Adaptado de CHENG et al. (2016).

 $\begin{array}{c|c} & & & & \\ & & & \\ & & & \\ \hline \\ & & \\ \\ & & \\ \hline \\ & & \\ \\ & & \\ \hline \\ & & \\ \\ & & \\ \hline \\ & & \\ & & \\ \hline \\ & & \\ \\ & & \\ \hline \\ & & \\ \\ & & \\ \hline \\ & & \\ \\ & \\ & & \\ \\ & & \\ \\ & & \\ \\ & & \\ \\ & & \\ \\ & & \\ \\ & & \\ \\ & & \\ \\$

FIGURA 7 - Classificação de POA.

Fonte: Adaptado de GMUREK *et al.* (2017). Retângulos cinza: processos fotoquímicos.

Apesar da eficiência e das vantagens dos POA, os mesmos apresentamse como um processo de tratamento mais caro que o convencional, porém, vem
sendo desenvolvidos estudos onde o POA é combinado com tratamentos
biológicos, de modo que o custo seja reduzido. O seu alto custo é referente
basicamente à quantidade alta de energia gasta e as grandes quantidades de
oxidantes utilizados. Porém, alternativas têm sido estudadas de modo que esse
custo seja minimizado, como a utilização de irradiação solar, o ferro endógeno
da amostra e pH original do efluente (KLAMERTH et al., 2010; OLLER et al.,
2011; SOUZA, 2012; RUBIO-CLEMENTE et al., 2014; GMUREK et al., 2017). O
pH apresenta-se como uma variável importante no processo Fenton, na oxidação
desse processo. Têm-se uma eficiência das oxidações de Fenton, em pH ácidos,
variando entre 3 e 4. Estudos porém atestam que, é possível a utilização de pH
original do efluente, na presença do ferro endógeno, evitando assim o ajuste do
mesmo (SOUZA, 2012; LIN et al., 2016).

Dentre os diversos tipos de POA, os utilizados no presente trabalho foram o Foto-Fenton-Like e a Fotocatálise Heterogênea com TiO₂.

3.4.1 Fenton e Foto-fenton

H.J.H Fenton descobriu a tecnologia Fenton em 1894, onde o pesquisador descreveu que o peróxido de hidrogênio poderia ser ativado pelo Fe²⁺, para oxidação do ácido tartárico. A tecnologia fenton é baseada na utilização do H₂O₂ como oxidante e íons ferroso como catalisador. Esta reação, apresentada na Equação 1, ocasiona a decomposição do H₂O₂, formando uma hidroxila altamente reativa. O processo fenton tem sido utilizado com eficiência no tratamento e remoção de compostos orgânicos perigosos de águas residuais (SOUZA, 2012; BABUPONNUSAMI *et al.*, 2014; CHENG *et al.*, 2016; HUANG *et al.*, 2017).

$$Fe^{2+} + H_2O_2 \rightarrow Fe^{3+} + OH^- + OH$$
 (1)

O processo Fenton pode ser otimizado ao utilizar radiação UV, elevando a taxa de degradação de poluentes orgânicos, processo conhecido por Foto-Fenton. Este processo é mais eficiente na geração de radicais hidroxilas, produzindo uma quantidade maior que o Fenton. Ocorre uma regeneração do Fe²⁺ permitida pela fotólise dos íons férricos (Fe³⁺), na forma de complexos (Fe(OH)²⁺) apresentada na Equação (3), produzidos na Equação 2. Os íons ferrosos produzidos, vão reagir com o peróxido de hidrogênio presente e assim gerar mais hidroxilas (TEIXEIRA e JARDIM, 2004; SOUZA, 2012; BABUPONNUSAMI *et al.*, 2014; CHENG *et al.*, 2016; RIBEIRO *et al.*, 2015).

$$Fe^{2+} + H_2O_2 \rightarrow Fe(OH)^{2+} + OH$$
 (2)

$$Fe(OH)^{2+} + hv \rightarrow Fe^{2+} + OH$$
 (3)

É comprovado a eficiência do processo Foto-Fenton para remoção de HPA em efluentes industriais, águas contaminadas e sedimentos, tendo como exemplo estudos de degradação de aproximadamente 98% em águas contaminadas (SILVA(a), 2007; SOUZA, 2012; RUBIO-CLEMENTE *et al.*, 2014; HUANG *et al.*, 2017). Esta eficiência está conectada com alguns parâmetros do experimento, como pH, concentração do H₂O₂ e do ferro. Uma das desvantagens

desse processo pode ser atribuída a necessidade de um pH baixo e retirada de ferro após o tratamento. Conforme citado anteriormente, a literatura apresenta uma alternativa no que diz respeito ao pH, onde na presença do ferro endógeno, é possível a utilização do pH natural, de modo que o ajuste do mesmo seja evitado minimizando a utilização de mais produtos químicos. Conforme Borba *et al.*, 2008, ao se tratar efluentes através do processo Foto-Fenton, o pH inicialmente sem ajuste, sofre uma redução natural através da liberação do H+ produzido pela reação Ferro/Peróxido. A retirada do ferro pode ser evitada caso o ferro endógeno utilizado seja abaixo do limite estabelecido pela legislação brasileira de emissão de ferro que é de 15mg.L-1, segundo a Resolução do CONAMA 357/2005.

Se porventura, o ferro endógeno for acima do estabelecido pela lei, uma alternativa para remoção do mesmo é a utilização de uma solução inibidora. Os reatores utilizados podem ser de luz artificial ou solar (MOTA, 2005; GOI *et al.*, 2005 apud SILVA(a), 2007; SILVA(a), 2007; BORBA *et al.*, 2008; MOTA *et al.*, 2008; TAMIMI *et al.*, 2008).

• FOTO-FENTON-LIKE OU TIPO FENTON

O tratamento onde se é utilizado o ferro endógeno com assistência do H_2O_2 , é denominado de tratamento tipo Foto-Fenton ou foto-Fenton-Like, e têm sido pesquisado pois o mesmo apresenta-se com eficiência no tratamento de orgânicos em águas residuais. Nesse tipo, os processos podem ser tanto heterogêneo como homogêneo. Segundo pesquisadores, a faixa de pH requerido para o sistema homogêneo nesse tipo de processo, está entre 2,5-3,0, sendo esta ideal para degradação de compostos orgânicos, porém, estudos apresentaram uma boa eficiência no tratamento com um pH 6,0. No sistema heterogêneo do processo Fenton-Like, pesquisadores afirmam que o pH aproximadamente 3,0 é o ideal, porém outros estudos apresentam que em condições neutras e até alcalinas, resultariam em uma maior eficiência (REDDY e CHANDHURI, 2009; SOUZA, 2012; WANG *et al.*, 2016). Conforme Wang e colaboradores (2016), de acordo com resultados de pesquisas, há uma convergência positiva para expansão da faixa de pH, visto alguns estudos, principalmente nos sistemas heterogêneos, apresentarem uma eficiência

satisfatória no tratamento de águas residuais orgânicas em condições neutras/alcalinas.

Conforme estudo de degradação de HPA em solos, Silva e colaboradores (2008) afirmam que é possível uma degradação satisfatória sem adição de ferro, isto é, utilizando o ferro endógeno e sem ajuste do pH da amostra. Yap *et al.* (2011), realizaram estudos sem o ajuste do pH.

O H₂O₂, no processo Foto-Fenton-Like, reage com os íons de ferro, sendo estes o catalisador. São produzidos radicais hidroxilas, que são reativos e não seletivos, possibilitando o início da reação de degradação. As reações da formação de radicais OH, pelo processo Foto-Fenton-Like, produzidas pelo H₂O₂ na presença dos íons férrico (Fe³⁺), estão representadas nas Equações 4 à 7 (REDDY *et al.*, 2009; YAP *et al.*, 2011; GHAFOORI *et al.*, 2014):

$$Fe^{3+} + H_2O_2 \rightarrow Fe^{2+} + HO_2 + H^+$$
 (4)

$$Fe^{2+} + H_2O_2 \rightarrow Fe^{3+} + OH + OH^-$$
 (5)

$$Fe^{3+} + H_2O \xrightarrow{hv} Fe^{2+} + \cdot OH + H^+$$
 (6)

$$H_2O_2 \xrightarrow{hv} 2 \cdot OH \tag{7}$$

Para a remoção de HPA, o processo Foto-Fenton-Like têm sido utilizado, apresentando-se como um processo satisfatório, conforme estudos de Silva(a) (2007), Silva *et al.* (2008) e Rocha (2010).

3.4.2 Fotocatálise Heterogênea com TiO₂

A Fotocatálise tem se mostrado eficiente na degradação de poluentes perigosos como os HPA. Nos processos oxidativos heterogêneos, a utilização de catalisadores tem se mostrado viável, em especial o dióxido de titânio (TiO₂).

Para a degradação de compostos orgânicos em águas e efluentes, segundo Teixeira e Jardim, 2004, o TiO₂ é o fotocatalisador mais utilizado e mais ativo. As vantagens que cercam esse catalisador são: alta reatividade, baixo custo, estabilidade fotoquímica, são atóxicos, alta eficiência, estáveis quimicamente numa ampla faixa de pH, insolúvel em água e reutilizáveis (AVISAR *et al.*, 2013; GMUREK *et al.*, 2017; GRABOWSKA *et al.*, 2012; LV *et al.*, 2011; TEIXEIRA e JARDIM, 2004; ZHANG *et al.*, 2013).

O TiO₂ apresenta três possíveis e distintas formas cristalinas, são estas: anatase, rutilo e a *brookite*, sendo esta última a menos utilizada. Diante do polimorfismo do dióxido de titânio, dentre as formas mais encontradas na natureza desse semicondutor, a fase anatase (tetragonal) é a mais apropriada a ser utilizada como fotocatalisador, empregada nas catálises. Segundo Teixeira e Jardim (2004), a forma anatase apresenta melhores propriedades fotocatalíticas, dentre outras causas, "alta capacidade de fotoabsorver o oxigênio molecular e suas formas ionizadas e a sua baixa recombinação elétron-lacuna." O Degussa P-25, é composto por 70% anatase e 30% rutilo, sendo este TiO₂ mais frequentemente utilizado (TEIXEIRA e JARDIM, 2004; SILVA, 2007(b); MOTA *et al.*, 2008; ALBUQUERQUE *et al.*, 2014).

O dióxido de titânio é um semicondutor, sendo assim, não é condutor de eletricidade em seu estado normal. Ao incidir fótons (hv) sobre o TiO₂ com uma energia igual ou maior ao intervalo de energia, "band-gap" que é 3,2 eV, o elétron é excitado e o mesmo desloca-se da banda de valência para a banda de condução, originando um par elétron/lacuna. O mecanismo reacional de fotoativação desse catalisador é apresentado na Figura 8. Alguns autores apresentam a radiação mínima onde a atividade começa, hv < 388 nm, outros apresentam hv<400 nm. A Equação 8 apresenta a fotoativação do TiO₂. (TEIXEIRA e JARDIM, 2004; CHENG *et al.*, 2016; GMUREK *et al.*, 2017).

$$TiO_2 + hv \rightarrow e^- + h^+ \tag{8}$$

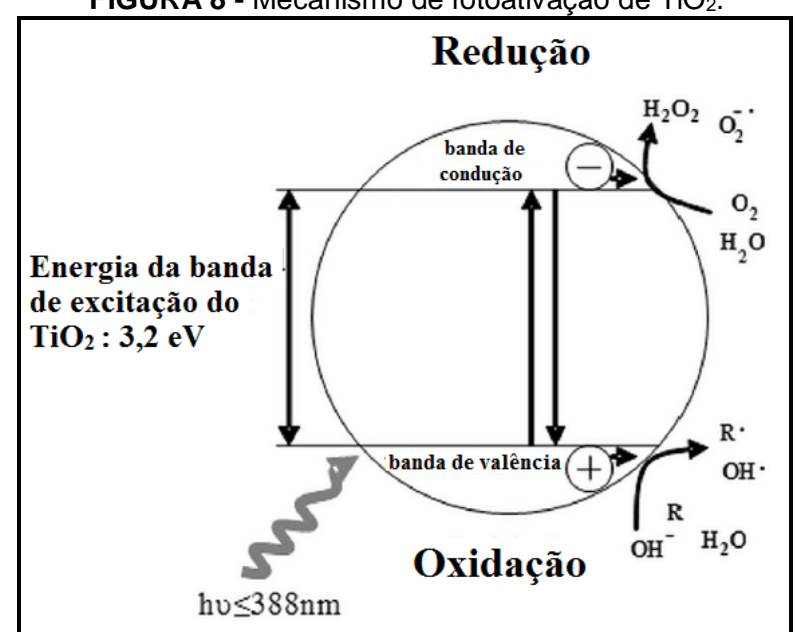


FIGURA 8 - Mecanismo de fotoativação de TiO2.

Fonte: Adaptado de GMUREK et al. (2017).

Para o par elétron/lacuna que foi formado existem a possibilidade do mesmo recombinar-se internamente ou deslocar-se para a superfície do TiO_2 . (TEIXEIRA e JARDIM *et al.*, 2004). Segundo Cheng *et al.* (2016), quando os "*scavengers*", "catadores" adequados, que são a H_2O e/ou o HO^- , estão disponíveis, existe a possibilidade de ocorrer reações de oxidação para formação de 'OH reativo assim como outros radicais também reativos que é o caso do O_2^- . Conforme Teixeira e Jardim, 2004, existe a possibilidade de ocorrência de reações de redução entre o elétron da banda de condução e o oxigênio, formando o radical superóxido (O_2^- .). As reações do superóxido pode contribuir para a produção de H_2O_2 e consequentemente 'OH. Cheng *et al.* (2016), afirmam ainda que o "e também pode reagir com alguns dos contaminantes adsorvidos através de processos redutores". As Equações 9 à 15 apresentam essas reações e a Figura 9 apresenta o esquema de remoção de poluentes abordado.

$$TiO_2(h^+) + H_2O \rightarrow TiO_2 + H^+ + OH$$
 (9)

$$TiO_2(h^+) + HO^- \rightarrow TiO_2 + OH$$
 (10)

$$O_2 + e^- \rightarrow O_2^-$$
 (11)

$$0_{2}^{-} + H^{+} \rightarrow H0_{2}$$
 (12)

$$HO_2^{-} + H^{+} + TiO_2(e^{-}) \rightarrow H_2O_2 + TiO_2$$
 (13)

$$H_2O_2 + TiO_2(e^-) \rightarrow OH + HO^- + TiO_2$$
 (14)

$$RH + h^+ \to H^+ + R^-$$
 (15)

E (V) Banda de Conducão - 0.51 -Degradação por produtos Banda gap 3.2 eV (< 400 nm) Poluentes+ (h+ + 2.69 -Banda de h⁺ Valência (+)Poluentes Oxidação

FIGURA 9 - Esquema da decomposição por Fotocatálise de TiO₂ de poluentes.

Fonte: Adaptado de CHENG et al. (2016).

Segundo Shahrezaei *et al.* (2012), a degradação de compostos orgânicos por TiO₂/UV, é possível no tratamento de águas residuais da refinaria de petróleo. Estudos comprovam que em HPA a taxa degradativa aumenta com a combinação de TiO₂ e H₂O₂ se comparado a atuação do TiO₂ sozinho (CHENG *et al.*, 2016).

3.5 REATORES FOTOQUÍMICOS

Para tratamento de amostras contaminadas utilizando POA, reatores fotoquímicos são utilizados. Os que empregam lâmpadas como fontes de emissão UV tem sido uma opção viável, visto as limitações de reatores solares. Estudos relatam a utilização desses reatores dos mais diversos tipos (MOTA, 2008; ROCHA, 2010; SOUZA, 2012; BABUPONNUSAMI *et al.*, 2014; RUBIO-CLEMENTE *et al.*, 2014; RIBEIRO *et al.*, 2015).

Dentre estes tipos, têm-se os reatores de bancadas de pequenos volumes, onde de maneira simples, mas eficiente, os experimentos podem ser realizados. A radiação UV no espectro eletromagnético com comprimento de onda de 100 a

400 nm é classificada em UV-C (100-280nm), UV-B (280-315 nm) e UV-A (315-400 nm), outras classificações são encontradas, onde a UV-B e a UV-A tem a sua faixa alterada para (280-320 nm) e (320–400 nm) respectivamente (SOUZA, 2005; ARAUJO e SOUZA, 2008). Dentre as lâmpadas comerciais disponíveis que emitem esse tipo de radiação estão as de vapor de mercúrio, que segundo Souza (2005) e Mota (2005), têm fácil funcionamento e baixo custo, sendo assim as mais utilizadas em laboratórios e nos POA. Um tipo de lâmpada utilizado também é a *Sunlight*, onde a mesma simula a radiação solar. Considerando que o clima do nordeste é propício para esse tipo de radiação, é válido a simulação.

3.6 MÉTODOS ANALÍTICOS

3.6.1 Tratamento da Amostra- Técnicas de Extração e pré concentração

Para uma quantificação e identificação de poluentes ambientais satisfatória, faz-se necessário uma etapa de extração e pré- concentração, sendo esta uma etapa importante, podendo ser, conforme afirma Sodré *et al.* (2010), "a mais demorada e dispendiosa de uma sequência analítica." O autor afirma ainda, que, "métodos voltados à determinação de contaminantes emergentes em águas naturais estão, em sua maioria, condicionados a uma etapa de extração e préconcentração".

Em relação as técnicas de extração, as mais comumente utilizadas são as Extrações Líquido-Líquido (ELL) e a Extração em Fase Sólida (EFS).

• Extração Líquido-Líquido (ELL): nesta extração, uma divisão de fases acontece, a fase orgânica e aquosa, de modo que a transferência de massa seja aumentada. A ELL tem seu funcionamento fundamentada na solubilidade do analito, ou seja, fases líquidas imiscíveis. Através dessa imiscibilidade, ocorre a extração do analito. Na ELL, um sistema heterogêneo é formado entre duas fases que sofre uma permuta de solutos, onde objetiva-se, dentre outros, a concentração e o isolamento numa fase do analito. Após o contato intenso e eficiente entre as duas fases imiscíveis, além da formação de espécies neutras, os solutos

passam para a fase orgânica saindo da solução aquosa. O analito é extraído em sua totalidade ou maioria (FACCHIN E PASQUINI, 1998; AZNAR e MADURO, 2008; SALES, 2015; SOARES *et al.*, 2015).

Na ELL, coloca-se a amostra e o solvente, imiscíveis, no funil de separação e agita-se vigorosamente, deixando em repouso logo em seguida. Após o período de descanso, há uma separação de fases e recolhe-se o extrato obtido. O extrato obtido foi filtrado com lã de vidro e Sulfato de Sódio Anidro para possível retenção de água (SOUZA, 2012; SALES, 2015).

• Extração em Fase Sólida (EFS): nesse tipo de extração, utiliza-se cartuchos específicos para cada tipo de analito. Na extração dos CE, o uso dessa ferramenta tem se tornado interessante, visto aos satisfatórios índices de recuperação, em concentrações diversas (SODRÉ et al., 2010). Cartuchos poliméricos são utilizados, onde os mesmos retém compostos diversos na presença de solventes orgânicos.

3.6.2 Cromatografia Gasosa acoplada à Espectrometria de Massa

Uma das técnicas mais utilizadas na química analítica, a cromatografia é muito seletiva e eficiente. Esta técnica apresenta a capacidade de acoplamento, dentre outros, com o espectrômetro de massas, que apresenta um acréscimo à seletividade, além de fornecer a massa molar do composto (CHIARADIA *et al.*, 2008). Graças às características gerais dos HPA, o detector de espectrometria de massa é uma ferramenta muito útil, pois o mesmo apresenta baixos limites de detecção e fornece a fórmula estrutural dos compostos analisados (CRISTALE *et al.*, 2008).

Como os CE são encontrados em baixíssimas concentrações, é necessário a utilização de métodos analíticos que possuam baixos limites de detecção, alta eficiência e seletividade, que é o caso da Cromatografia Gasosa (CG). Essa técnica quando acoplada a Espectrometria de Massa, tem a sua eficiência aumentada, resultando em uma análise com maior seletividade e grande eficiência que a da CG sozinha, além de ser mais sensível e mais rápida (BISINOTI e JARDIM, 2004).

Segundo Beyer et al. (2010), "para alguns compostos, a cromatografia em fase gasosa ao invés da cromatografia líquida é a abordagem preferida para análise de HPA em amostras ambientais". Ainda de acordo com Poster et al. (2006) apud Beyer et al. (2010), resume casos em que a CG apresenta comumente uma maior sensibilidade, resolução e seletividade que a Cromatografia Líquida de Alta Eficiência (CLAE). A Cromatografia Gasosa acoplada à Espectrometria de Massa (CG-EM) é utilizada na detecção de HPA, visto a sua precisão e confiabilidade (ABDEL-SAHFY e MANSOUR et al., 2016).

A utilização do CG-EM para detecção, determinação de HPA é relatada em diversos estudos, como Silva(a) (2007); Marques et al. (2009); Celino et al. (2010); Rocha (2010); Ruiz-ferna´ndez et al. (2012); Souza (2012); Sánchez et al. (2013); Chiu et al. (2015); Lin et al. (2016); Liu et al. (2016); Peng et al. (2016); Hu et al. (2017); Liu et al. (2017) e Tiwari et al. (2017).

3.6.3 Carbono Orgânico Total - COT

À matéria orgânica contida em uma amostra aquosa chamamos de Carbono Orgânico Total (COT). A determinação da conversão do COT é interessante para análise de poluição das águas, sendo um indicativo de controle de resíduos em geral. Em um tempo relativamente baixo é possível através dessa análise a quantificação, e não qualificação, dos compostos orgânicos presentes em sua totalidade na amostra. Resultante de um tratamento ineficiente, as águas contaminadas tem a maior contribuição do COT por fontes antrópicas (TEIXEIRA e JARDIM, 2004; VISCO et al., 2005; BENEDETTI, 2012).

Na amostra, todas as moléculas orgânicas são convertidas em dióxido de carbono (CO₂) e H₂O e são medida, assim a conversão do COT é obtida quantitativamente. O carbono orgânico pode ser medido de maneira direta e indireta.

Diretamente, o Carbono Inorgânico (CI) é eliminado através de um tratamento ácido, onde o CO₂ é produzido e arrastado por um gás inerte. Neste processo, alguns compostos orgânicos podem ser quantificados como Carbono Orgânico Purgável (COP), caso sejam estes purgados. A matéria orgânica restante na amostra é convertida a CO₂ e quantificada como Carbono Orgânico

Não Purgável (CONP). O COT é a soma do COP e o CONP, mas se desprezarmos o COP teremos o CONP = COT. Esta é a primeira maneira do modo direto, a segunda é quando o CI é removido e a amostra é submetida a uma oxidação do carbono orgânico não purgado, gerando CO₂ sendo o mesmo arrastado por um gás inerte, obtendo a leitura a partir de uma curva de calibração em um detector específico, obtendo-se o COT (VISCO *et al.*, 2005; CLEMENTINO *et al.*, 2008). O método indireto, mais simples, consiste na subtração entre o Carbono Total (CT) e o CI, conforme a Equação 16 (BISINOTI e JARDIM, 2004; VISCO *et al.*, 2005; BENEDETTI, 2012).

$$COT = CT - CI \tag{16}$$

3.7 MODELAGEM CINÉTICA

Na maioria dos processos fotocatalíticos de compostos orgânicos uma cinética de pseudo primeira ordem é geralmente obedecida com uma aproximação linear entre a relação logarítmica da razão das concentrações final e inicial (In ([C]/[C]₀)) e o tempo de reação (t), expressão cinética de Langmuir-Hinshelwood (TEIXEIRA e JARDIM, 2004; SOUZA et al., 2008 apud SIRTORI et al., 2006; GRABOWSKA et al., 2012; WU et al., 2017). Conforme Gmurek et al. (2017), os processos catalíticos no sistema heterogêneos são descritos usualmente pela cinética de Langmuir-Hinshelwood. Shahrezaei et al. (2012) afirmam que uma cinética de primeira ordem é satisfatória na modelagem da degradação fotocatalítica dos compostos orgânicos presentes em efluentes de refinaria de petróleo. Como é complexo descrever sobre cada um dos compostos, sugere-se que a cinética seja baseada na conversão do Carbono Orgânico Total (COT), onde uma cinética de pseudo primeira-ordem é estabelecida (SOUZA, 2012). Sendo COT, o valor da análise da concentração do carbono orgânico total no instante t (min) da amostra e COT₀, o valor da concentração do carbono orgânico total inicial da amostra, onde k (min⁻¹) é a constante de primeira ordem e t é o tempo em minutos. A Equação 17 permite avaliar a constante de velocidade, enquanto que a Equação 18 quantifica o tempo de meia-vida da

reação de degradação do HPA considerando a cinética de primeira ordem (SOUZA, 2012; GMUREK *et al.*, 2017).

$$ln([COT]/[COT]_0) = -kt$$
(17)

$$t_{(1/2)} = 0.693. \,\mathrm{k}^{-1} \tag{18}$$

Ao ser realizada uma oxidação, existe a possibilidade de formação de subprodutos ou intermediários, sendo relacionado essa formação com o tipo de oxidante escolhido. Os subprodutos mais usuais da utilização do oxidante H_2O_2 são os ácidos orgânicos (fórmicos, acético e oxálico) além das quinonas (JARDIM e CANELA, 2004).

Um modelo cinético que é utilizado de acordo com a mineralização do composto, avaliado pelo COT residual, é o *Lumped Kinetic Model* (LKM), ou chamado de modelo cinético agrupado. Alguns autores denominam este modelo como *General Lumped Kinetic Model (GKLM)*. O esquema das reações ocorridas estão representadas na Figura 12 (IURASCU *et al.*, 2009; AYODELE *et al.*, 2012; NAPOLEÃO, 2015; ZAIDAN, 2015).

 $\begin{array}{c}
A \xrightarrow{k_3} C \\
\downarrow k_1 & \downarrow k_2
\end{array}$

Figura 10 - Modelo esquemático das reações.

Fonte: IURASCU et al. (2009).

Sendo A o composto a ser degradado, B são os intermediários possíveis e C são os produtos finais CO_2 e H_2O . Este modelo considera o k_1 , k_2 e k_3 , como constantes de velocidades de primeira ordem. A equação de evolução do COT em função do tempo, com as seguintes condições iniciais (t=0; $C_A = C_A^0$; $C_B = 0$) é descrita pela Equação 19.

$$\frac{C_A + C_B}{C_A^0} = \frac{COT}{COT^0} = \frac{k_1}{k_1 + k_3 - k_2} e^{-k_2 t} + \frac{k_3 - k_2}{k_1 + k_3 - k_2} e^{-(k_1 + k_3)t}$$
(19)

Os balanços de massa de A e B são apresentados no apêndice A.

Para a degradação de HPA, a fotocatálise vem sendo utilizada e para seus cálculos cinéticos, determina-se constantes cinéticas de pseudo-primeira ordem. A Tabela 14 apresenta uma tabela contendo as constantes cinéticas da degradação fotocatalítica de alguns HPA.

TABELA 14 - Constantes cinéticas de HPA.

| НРА | Método | Constante da cinética |
|-------|--|--|
| Flu | ZnO/Sunlight TiO ₂ /Sunlight Na presença de Na ₂ S ₂ O ₈ | ZnO/sunlight: $k_{FLU} = 0.17 \text{ min}^{-1}$ TiO ₂ /sunlight: $k_{FLU} = 0.13 \text{ min}^{-1}$ |
| BaPir | ZnO/Sunlight TiO ₂ /Sunlight Na presença de Na ₂ S ₂ O ₈ | ZnO/sunlight: $k_{BAP} = 0.21 \text{ min}^{-1}$ TiO ₂ /sunlight: $k_{BAP} = 0.03 \text{ min}^{-1}$ |
| BBF | ZnO/Sunlight TiO ₂ /Sunlight Na presença de Na ₂ S ₂ O ₈ | ZnO/sunlight: $k_{BBF} = 0.15 \text{ min}^{-1}$ TiO ₂ /sunlight: $k_{BBF} = 0.08 \text{ min}^{-1}$ |
| BghiP | ZnO/Sunlight TiO ₂ /Sunlight Na presença de Na ₂ S ₂ O ₈ | ZnO/sunlight: $k_{BghiP} = 0.26 \text{ min}^{-1}$ TiO ₂ /sunlight: $k_{BghiP} = 0.11 \text{ min}^{-1}$ |
| BKF | ZnO/Sunlight TiO ₂ /Sunlight Na presença de Na ₂ S ₂ O ₈ | ZnO/sunlight: $k_{BKF} = 0.20 \text{ min}^{-1}$ TiO ₂ /sunlight: $k_{BKF} = 0.13 \text{ min}^{-1}$ |
| InD | ZnO/Sunlight TiO ₂ /Sunlight Na presença de Na ₂ S ₂ O ₈ | ZnO/sunlight: k_{InD} = 0,32 min ⁻¹ TiO ₂ /sunlight: k_{InD} = 0,09 min ⁻¹ |

Fonte: GMUREK et al. (2017)

3.8 ESTUDO DA TOXICIDADE

Devido à presença de contaminantes no meio ambiente e os danos que os mesmos acarretam aos seres vivos, testes de toxicidade surgem como instrumentos importantes para definir e conhecer as variáveis destes poluentes (CARVALHO, 2010; FANTIN *et al.*, 2017; SILVA E MATTIOLO, 2017). Conforme Carvalho *et al.* (2010), "Cada vez mais os bioensaios, passam a ser importantes na análise de riscos ambientais."

Na realização de bioensaios, a utilização de plantas e sementes tem sido incentivadas, devido à maior sensibilidade que as mesmas apresentam quando comparada com animais, além de apresentarem baixo custo para sua efetivação (CUCHIARA et al., 2012; SILVA e MATTIOLO, 2017). A National Water Research Institute (NWRI) do Canadá, segundo Carvalho et al., (2010), recomenda a utilização de sementes para "a avaliação de toxicidade de efluentes, solo ou sedimentos".

Sementes que possuam crescimento rápido e que necessitem de pouca reserva de energia para germinar, são as preferencialmente escolhidas para os testes. As semente de alface têm sido utilizadas com apreço nos testes de toxicidade. Esta é um exemplo de semente que apresenta um rápido crescimento e consoante a sua germinação, precisa de pouca reserva de energia. O processo de germinação, além do crescimento das raízes são itens avaliados (CARVALHO et al., 2010; NOVACK et al., 2013; SILVA e MATTIOLO, 2017).

O estudo da toxicidade, a ecotoxicologia, estima a poluição, e suas consequências, das matrizes ambientais após contaminação das mesmas. Além de prognosticar vindouros impactos provenientes de negociação de produtos químicos e/ou emissão de despejos em um ambiente (HAMADA, 2008). Segundo Moreira (2010), os testes de toxicidade com organismos aquáticos são úteis para avaliar a qualidade da água, os efeitos ocasionados pelos poluentes no meio ambiente e ainda quais limites das substâncias químicas estão presentes nos efluentes lançados nos corpos hídricos.

Ecotoxicidade é definida como a perturbação do equilíbrio existente entre outros organismos e o meio em que vivem. Os testes de toxicidades podem ser divididos em toxicidade aguda, toxicidade crônica e toxicidade crônica de curta

duração. Na toxicidade aguda, são realizados ensaios de curta duração, abrangendo apenas parte do ciclo de vida do organismo, onde são avaliadas apenas a mortalidade dos organismos e imobilidades dos mesmos. As influências em reações bioquímicas e no metabolismo também são observadas (HAMADA, 2008).

Na toxicidade crônica, os testes realizados são de longa duração, onde todo o ciclo de vida do organismo de teste é considerado. A reprodução, deformidade e crescimentos desses organismos, são avaliados. Por último, a toxicidade crônica de curta duração é caracterizada por períodos de exposição menor que o anterior e abrangem partes sensíveis dos organismos, os parâmetros subletais (HAMADA, 2008).

Os órgãos de proteção ambiental mundiais, têm realizados estudos para selecionar novos organismos de testes, sendo os peixes os primeiros utilizados seguido dos crustáceos. Dentre as diversas variedades de espécies padronizadas estão as bactérias e as algas (SANTOS *et al.*, 2007).

Estudos da ecotoxicidade após tratamento de efluentes contendo poluentes orgânicos com POA, têm sido realizados, podemos citar, Gomes, (2009); Rocha (2010); Palácio *et al.* (2012); Torres e Cheminski (2013); Napoleão *et al.* (2014); Sales (2015); e Zaidan (2015).

4 MATERIAIS E MÉTODOS

4.1 AMOSTRAGEM

Foram analisadas duas amostras, a Amostra 1, efluente da lavagem de tanque de terminais de combustíveis, processos de lubrificação; a Amostra 2, efluentes de resíduos de tanque de mistura de compostos derivados de petróleo. As amostras foram coletadas de empresas de tratamento de efluentes.

As duas amostras foram filtradas para segregação dos particulados sólidos, de modo que a extração ocorresse de uma melhor forma. Foi utilizado o papel filtro faixa branca para filtração, seguido da extração.

4.2 EXTRAÇÃO DOS HIDROCARBONETOS POLICÍCLICOS AROMÁTICOS

Para análise dos HPA foram realizadas Extrações Sólidos – Líquidos, com cartuchos poliméricos SPE *Strata* PAH, 750mg/6mL, Allcrom. Utilizou-se uma bomba peristáltica, onde os cartuchos foram condicionados adicionando 5 mL de diclorometano, seguidos de 5mL de água ultrapura. Após o condicionamento dos cartuchos, colocou-se 50 mL das amostras, anteriormente filtradas, e após todo o líquido ser desprezado, adicionou-se 5 mL de diclorometano e assim foi recolhido o extrato. A Figura 11 apresenta o esquema da extração e a Figura 12 apresenta o fluxograma da extração. Essas amostras após a extração, foram filtradas com filtros para injeção, 0,22μ de poro, 13 mm, Millipore e *Chromafil Xtra*, PTFE – 45/25; 0,45μ e 25mm, Macherey – Nagel. Após as filtrações, foram colocadas nos *vials* próprios para o CG-EM.

FIGURA 11- Esquema da extração, cartucho. Detalhe ampliado.

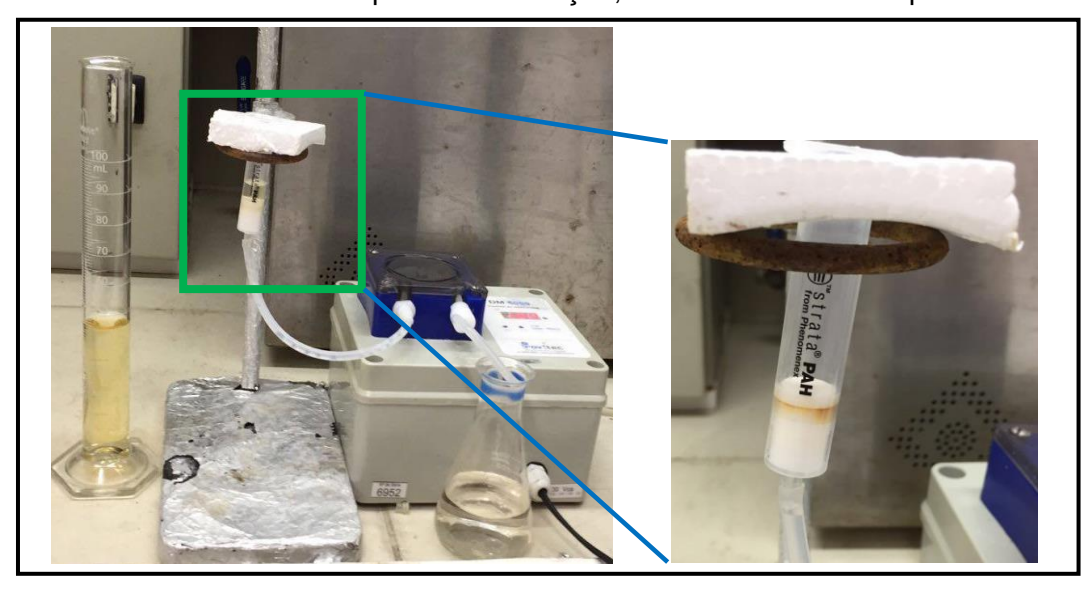


FIGURA 12 - Fluxograma da extração.

5 mL de Diclorometano



5 mL de água Ultrapura



50 mL da amostra filtrada



Despreza o material obtido nas etapas anteriores



5 mL de Diclorometano para extração dos HPA



Recolhe o extrato obtido; Filtra para posterior análise no CG-EM.

4.3 ANÁLISE POR CROMATOGRAFIA GASOSA ACOPLADA À ESPECTOMETRIA DE MASSA

Para análise no CG-EM, foi utilizada uma curva previamente preparada a partir de uma solução estoque de 200 mg. L⁻¹, tendo como base um padrão de HPA, PAH mix, 2,0 mg/mL em Diclorometano/Benzeno (1:1), Lot: 212051400, Z-014G-R; exp: 31/05/2022, da *AccuStandard*, com 17 compostos sendo estes: Acenaphthene, Acenaphthylene, Anthracene. Benz(a)anthracene, Benzo(a)pyrene, Benzo(b)fluoranthene, Benzo(g,h,i) perylene, Benzo(k)fluoranthene, Dibenz(a,h)anthracene, Chrysene, Fluoranthene, Fluorene, Indeno(1,2,3-cd)pyrene, Naphthalene, Phenanthrene, Pyrene e Carbazole. Para a curva, foram definidas as concentrações entre 4 e 200 µg.L-1. O cromatógrafo utilizado, de fase gasosa acoplado a um espectrômetro de massa, CG-EM, marca Shimadzu (modelo GCMS-QP2010 Plus), se encontra disponível no LEAQ /DEQ/UFPE.

As condições cromatográficas para essa injeção estão listadas na Tabela 15.

TABELA 15 - Condições Cromatográficas.

| Parâmetros | Valores |
|--|--|
| Temperatura do Injetor (°C) | 250 |
| Temperatura da Interface (°C) | 300 |
| Vazão de Gás Hélio (mL.min ⁻¹) | 1,20 |
| Modo de Injeção | Splitless |
| Volume de Injeção (μL) | 1 |
| Programação de Temperatura (°C) | 45 °C (1 min), 45 °C. min ⁻¹ até 130°C; 10°C min ⁻¹ até 180°C; 6 °C. min ⁻¹ até 240°C; 10° C min ⁻¹ até 310°C (5min) |

4.4 REATOR FOTOQUÍMICO

A fonte de radiação UV-A escolhida, foi baseada na literatura onde a mesma degrada eficientemente HPA (SOUZA, 2012). A radiação *Sunlight* foi utilizada para teste visto a mesma ser semelhante a radiação solar, que é abundante em nosso território.

Foram utilizados, para os experimentos, dois reatores fotoquímicos de pequeno volume, mas eficientes. O funcionamento dos dois reatores é o mesmo, diferindo apenas na radiação utilizada. A Figura 13 apresenta um desenho esquemático de um reator de bancada com radiação UV-A.

Lâmpadas UV-A

Béqueres (100 mL)

FIGURA 13 - Esquema do reator de bancada com radiação UV-A.

Fonte: Autora.

A Figura 14, apresenta o esquema de um reator de bancada com radiação Sunlight, semelhante ao utilizado no presente trabalho.

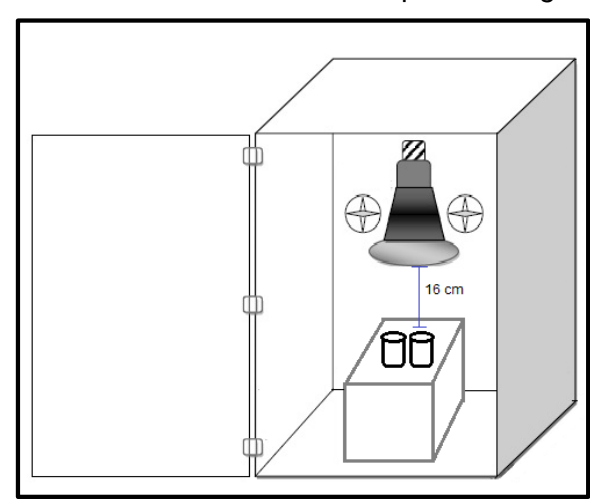


FIGURA 14 - Reator com lâmpada Sunlight.

Fonte: Adaptado de DIAS (2013).

A potência da lâmpada *Sunlight*, artificial solar, é de 300 W, com intensidade do fluxo luminoso de 1,325 - 1,34 W.cm⁻². No reator com radiação UV-A, um total de 60 W de potência é apresentado, onde cada lâmpada têm potência de 20 W, o total do fluxo luminoso no reator é 1,55x10⁻⁴ W.cm⁻².

As amostras foram colocadas em béqueres de 100 mL, utilizando 50 mL da amostra líquida e filtrada. Após o tempo de cada ensaio, as amostras foram retiradas e adicionou-se imediatamente 18 mL da solução inibidora, composta por uma mistura de Hidróxido de Sódio (NaOH; 0,1 M) e Sulfito de Sódio (Na₂SO₃; 0,1M) (SOUZA, 2012). Essas amostras foram extraídas e armazenadas para posterior análise no CG-EM, verificando-se a degradação dos contaminantes.

4.5 PLANEJAMENTO FATORIAL

Os POA utilizados no trabalho foram a Fotocatálise Heterogênea com TiO₂ e H₂O₂ e Foto-Fenton-Like. Um planejamento fatorial 2³, foi realizado, onde as variáveis e os seus valores foram escolhidos de modo que o mesmo planejamento atendesse aos dois tipos de POA. Foram realizados 11 experimentos no total, visto o planejamento analisado em dois níveis mais os pontos centrais em triplicata. Em cada béquer de 100 mL, adicionou-se um volume de 50 mL da amostra líquida, para cada ensaio. Os valores designados das variáveis foram baseados em estudos anteriores e como os valores das concentrações iniciais de HPA total das duas amostras foram semelhantes e para efeito comparativo, optou-se por utilizar em ambas amostras os mesmos valores de reagentes (SOUZA, 2012).

O ferro foi analisado e quantificado nas duas amostras, assim como o pH. A presença de Ferro na amostra foi verificada através do método APHA 3500 Fe B e 3030 H e o pH com um pHmetro digital. Constatada a presença de ferro nas duas amostras, não foi necessário a adição do mesmo nos ensaios. O planejamento que foi realizado está descrito na Tabela 16. Nesta Tabela, observa-se que alguns experimentos serão realizados sem a presença do TiO₂, ou seja, com a reação Foto-Fenton-Like. Na presença do TiO₂ será observada a contribuição da Fotocatálise Heterogênea.

TABELA 16 - Planejamento fatorial simples 2³ do experimento.

| Ensaio | H ₂ O ₂ (mmol) | TiO ₂ (mg.L ⁻¹) | Tempo (h) |
|--------|--------------------------------------|--|-----------|
| 1 | 45,71 (-) | 0 (-) | 2 (-) |
| 2 | 68,56(+) | 0 (-) | 2 (-) |
| 3 | 45,71(-) | 2000 (+) | 2 (-) |
| 4 | 68,56(+) | 2000 (+) | 2 (-) |
| 5 | 45,71(-) | 0 (-) | 4 (+) |
| 6 | 68,56(+) | 0 (-) | 4 (+) |
| 7 | 45,71(-) | 2000 (+) | 4 (+) |
| 8 | 68,56(+) | 2000 (+) | 4 (+) |
| 9 | 57,13(0) | 1000 (0) | 3 (0) |
| 10 | 57,13(0) | 1000 (0) | 3 (0) |
| 11 | 57,13(0) | 1000 (0) | 3 (0) |

4.6 DETERMINAÇÃO DE COT

A quantificação do COT nas amostras foi realizada usando um analisador de Carbono Orgânico Total (COT), modelo TOC-Vcsh Shimadzu, com catalisador de alta sensibilidade (4ppb – 25.000 ppm). As medições foram realizadas em amostras coletadas no reator fotoquímico para cada ensaio do planejamento. Foi realizado um teste para verificação da redução do COT ao repor o peróxido de hidrogênio durante o ensaio. Foram adicionados 22,85 mmol de H₂O₂ e a cada 30 minutos foi adicionado 11,43 mmol do peróxido de hidrogênio até 90 minutos do ensaio. Após esse tempo, adicionou-se a cada 60 minutos 5,71 mmol de H₂O₂ até 210 minutos e o ensaio terminou totalizando 240 minutos. O experimento foi realizada no reator com a lâmpada *Sunlight* (maior degradação do COT) atendendo os maiores níveis das variáveis citadas anteriormente. A amostra testada foi a Amostra 2.

4.7 MODELAGEM CINÉTICA

A modelagem cinética do trabalho foi baseada nos dados obtidos da análise da conversão do COT, nas melhores condições operacionais do processo a partir da conversão do COT, ou seja, os maiores níveis dos reagentes.

O modelo cinético utilizado foi o *Lumped Kinetic Model* (LKM) descrito anteriormente na Figura 12, onde as Equações 17-25 foram testadas (IURASCU *et al.*, 2009). Os dados obtidos foram colocados no Excel e gerados os gráficos.

4.8 TESTES DE TOXICIDADE

Nos testes de ecotoxicidade utilizados para avaliação da toxicidade pré e pós-tratamento, utilizou-se sementes de:

- Agrião Seco de Folha Larga (Upland Cress);
- Rúcula Apreciatta Folha Larga (Rocket Apreciatta Large Leaf);
- Chicória Lisa Escarola Coração Cheio (Endive Green Full Heart);
- Alface Mimosa Roxa Salad Bowl (Lettuce Red Salad Bowl);
- Trigo (Americano Hard).

As amostras foram diluídas em água em concentrações diferentes, sendo estas: 100% amostra antes do tratamento (AAT) (efluente bruto), 100% amostra após o tratamento (APT), 1%, 5%, 10%, 50% e 70%, água como controle negativo e uma solução de ácido bórico 3% como controle positivo. Em uma placa de Petri, colocou-se um papel de filtro e 10 sementes foram espalhadas uniformemente e "irrigadas" com 2 mL das amostras nas concentrações definidas, sendo as análises realizadas em triplicatas. As placas foram deixadas em repouso por 7 dias, com ausência de luz. A metodologia adotada foi adaptada de trabalhos científicos, de modo que atendesse ao perfil do presente estudo (YERUSHALMI et al., 2003; GARCIA et al., 2009; REBESSI et al., 2011; CUCHIARA et al., 2012; PALÁCIO et al., 2012; YOUNG et al., 2012;

AARESTRUP *et al.*, 2013; NOVACK *et al.*, 2013; TORRES e CHEMINSKI, 2013). Após o período do ensaio, mediu-se as raízes de cada uma das sementes dos testes, onde calculou-se o Índice de Crescimento Relativo (ICR) e o Índice de Germinação (IG). O ensaio segue o esquema da Figura 15.

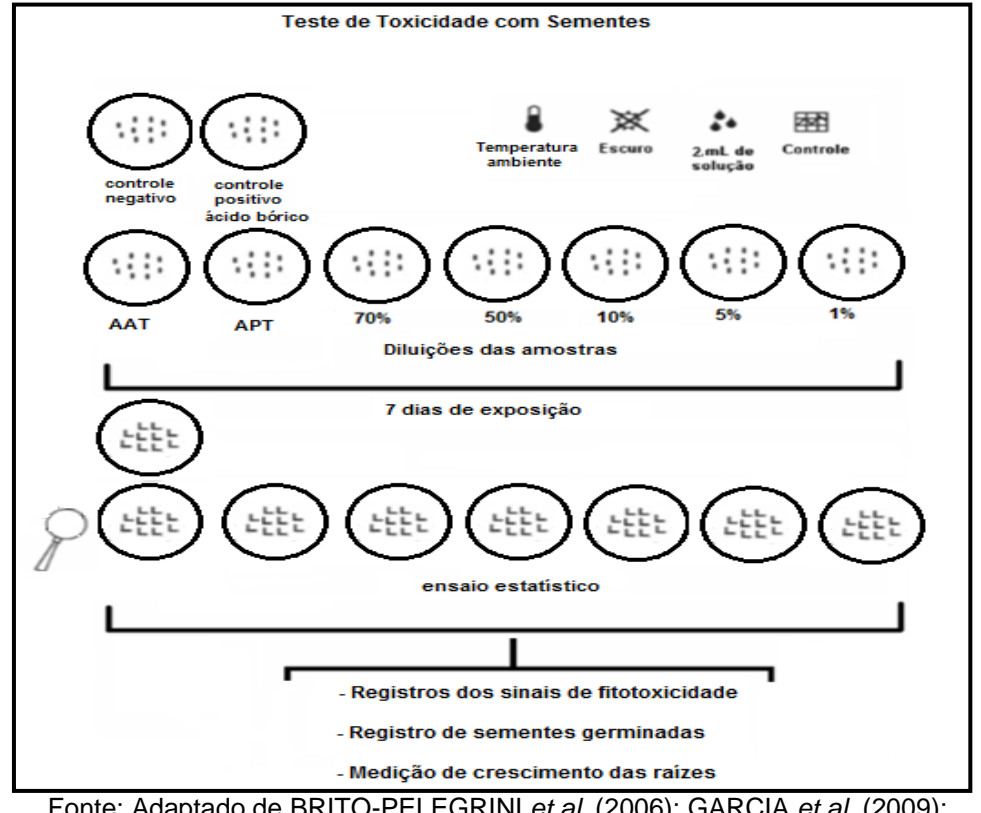


FIGURA 15 - Fluxograma da toxicidade.

Fonte: Adaptado de BRITO-PELEGRINI *et al.* (2006); GARCIA *et al.* (2009); TORRES e CHEMINSKI (2013); ZAIDAN (2015).

Foram observadas, após o período de ensaio, a germinação das sementes. O crescimento da raiz foi medido, calculando consequentemente o ICR e o IG. As Equações do ICR e do IG (%) estão descritas nas Equações 27 e 28 respectivamente (GOMES, 2009; YOUNG *et al.*, 2012 e ZAIDAN, 2015).

$$ICR = \frac{CRA}{CRC}$$

$$IG(\%) = ICR \frac{(SGA)}{(SGC)} x100$$
(28)

Onde o CRA = comprimento da raiz total na amostra; CRC = comprimento da raiz total no controle negativo; SGA = número de sementes germinadas da amostra e SGC = número de sementes germinadas no controle negativo.

5 RESULTADOS E DISCUSSÃO

5.1 TRATAMENTO DAS AMOSTRAS

Os resultados do pH e o ferro para a Amostra 1, foram pH=4,1 e o teor de ferro de 21,51 mg.L⁻¹. Na Amostra 2, foi encontrado pH=3,5 e o teor de ferro de 38,97 mg.L⁻¹. "Com a extensa diversificação e aplicações gerais de POA baseadas em Fenton", Bokare e Choi (2014), afirmam que o ferro ainda permanece como, singular escolha para decomposição do H₂O₂ em •OH. No meio ácido, os íons ferrosos são utilizados como catalisadores para decompor o peróxido de hidrogênio, gerando radicais hidroxilas com capacidade de oxidação de uma parte significativa da matéria orgânica nos efluentes em pouco tempo (BRITO e SILVA, 2012).

5.2 ANÁLISE POR CG-EM

Incialmente, foi preparada a curva analítica de calibração, na faixa de concentração de 4-200 µg.L⁻¹, sendo estas, 4, 12, 48, 76, 100,152 e 200 µg.L⁻¹.

A Figura 16 apresenta o cromatograma padrão dos HPA com a concentração de 200 μg.L⁻¹.

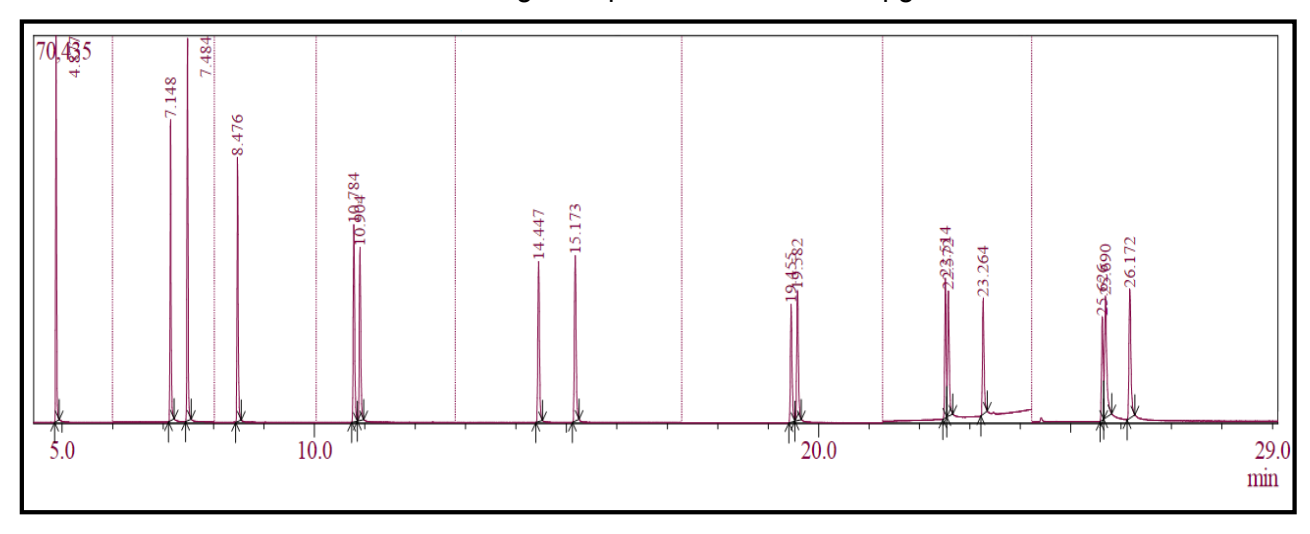


FIGURA 16 - Cromatograma padrão de HPA 200 µg.L-1

A Tabela 17, apresenta o tempo de retenção dos HPA e o seu respectivo íon.

TABELA 17 - Tempo de retenção e íon específico para os HPA prioritários pela EPA.

| НРА | Tempo de Retenção (min) | ĺon (m/Z) |
|------------------------|----------------------------|-----------|
| Naftaleno | 4,878 | 128,00 |
| Acenaftileno | 7,149 | 152,00 |
| Acenafteno | 7,483 | 153,00 |
| Fluoreno | 8,475 | 165,00 |
| Fenantreno | 10,785 | 178,00 |
| Antraceno | 10,905 | 178,00 |
| Fluoranteno | 14,448 | 202,00 |
| Pireno | 15,174 | 202,00 |
| Benzo[a]antraceno | 19,455 | 228,00 |
| Criseno | 19,583 | 228,00 |
| Benzo[b]fluoranteno | 22,515 | 252,00 |
| Benzo[k]fluoranteno | 22,573 | 252,00 |
| Benzo[a]pireno | 23,264 | 252,00 |
| Indeno[1,2,3-cd]pireno | 25,627 | 276,00 |
| Dibenzo[a,h]antraceno | 25,690 | 278,00 |
| Benzo[g,h,i]perileno | 26,173 | 276,00 |

Após o preparo da curva de calibração e extração das amostras, as mesmas foram injetadas no CG-EM para uma preliminar investigação e quantificação dos HPA.

Os resultados das concentrações dos HPA individuais nas Amostras 1 e 2 encontram-se resumidos nas tabelas no Apêndice B.

As Figuras 17 e 18 apresentam gráficos referentes às concentrações dos HPA nas Amostras 1 e 2 respectivamente.

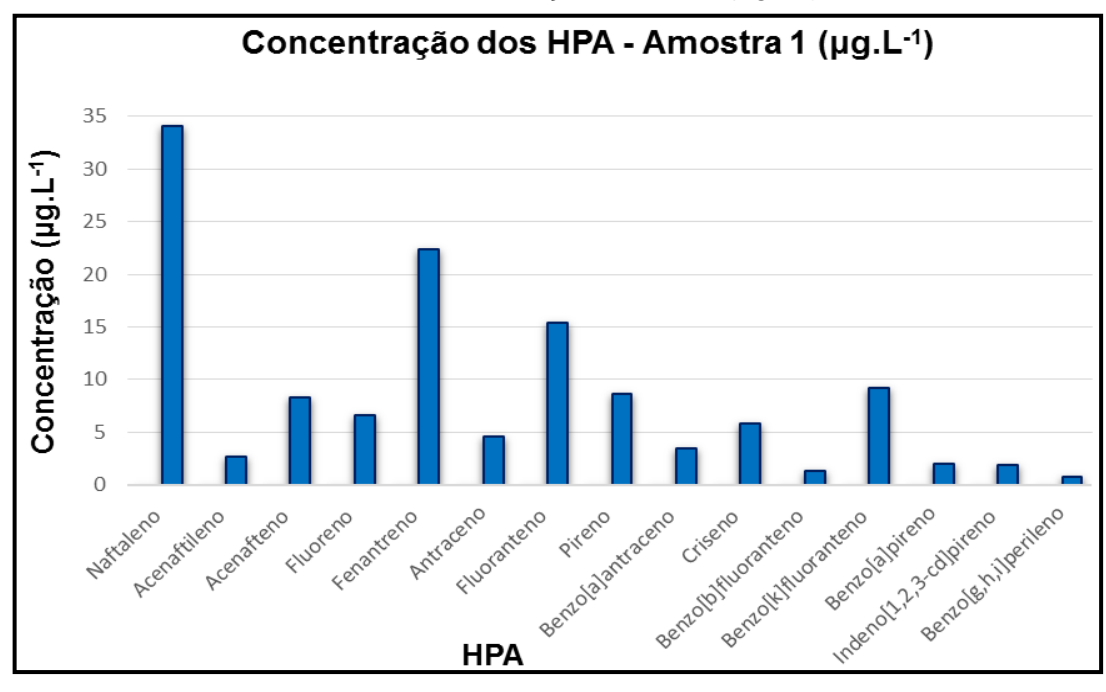
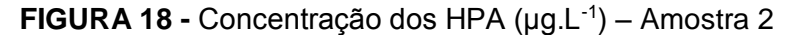
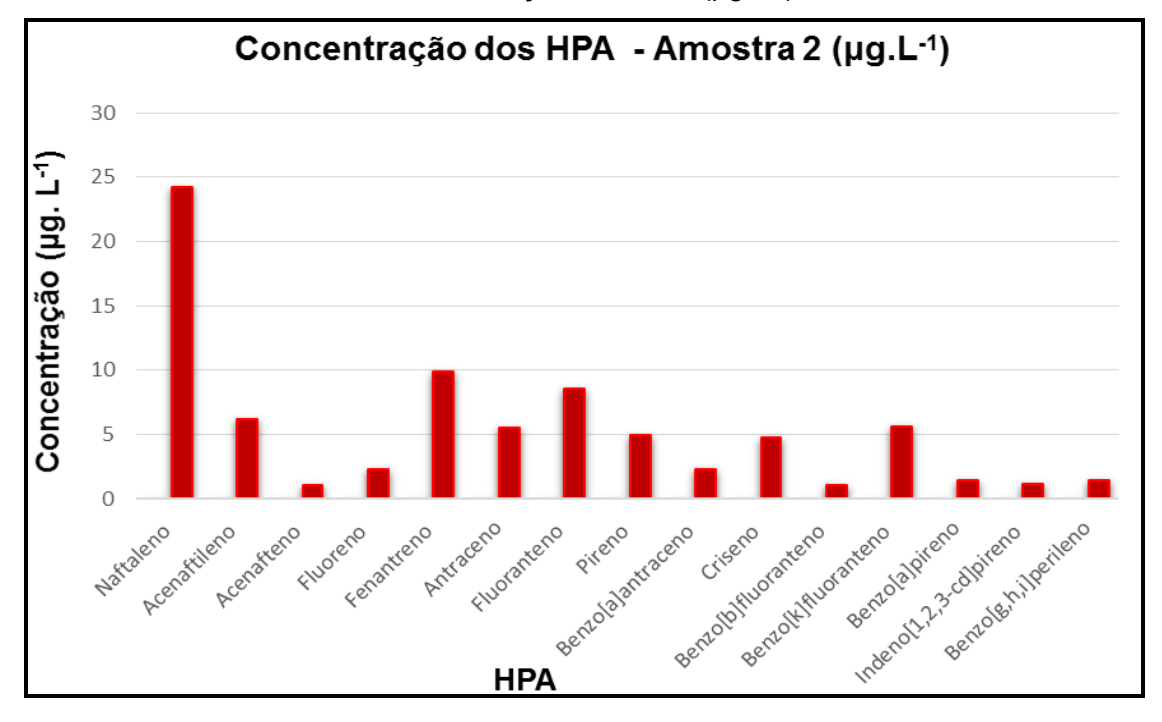


FIGURA 17 - Concentração dos HPA (µg.L-1) - Amostra 1





Em ambas as amostras foram detectados quinze dos dezesseis HPA prioritários pela EPA. A Tabela com os valores das concentrações dos HPA na Amostra 1 e na Amostra 2 encontra-se no Apêndice B, Tabela B-1.Os valores encontrados das concentrações estão a nível de CE, sendo uma de suas características apresentarem-se a níveis na faixa de µg.L-1 a ng.L-1 o que é afirmado pelos autores, Talib *et al.* (2016) e Gabarrón *et al.* (2016).

Em águas naturais, foi detectada a presença de HPA a níveis de μg.L⁻¹, como em Souza (2012), que relata a ocorrência de HPA no riacho Algodoais – PE e Silva (2004), detectando HPA no rio Atibaia-SP. Sarria-Villa e colaboradores (2016), detectaram HPA nas águas do rio Cauca, Colômbia, a nível de ng.L⁻¹. Cabeza e seus colaboradores (2012), apresentam dados de um estudo no Delta de Llobregat (Barcelona, Espanha), onde foi possível detectar CE em ng.L⁻¹, dentre estes HPA, em águas após tratamento avançado, sendo estas águas tratadas terciariamente. Muitos desses corpos hídricos recebem efluentes tratados pelas indústrias, comprovando assim que apesar dos mesmos serem submetidos aos tratamentos convencionais, estes não degradam satisfatoriamente certos poluentes.

O Naftaleno e o Fenantreno foram os compostos que apresentaram maiores concentrações, nas amostras. Apesar de não classificados quanto à carcinogenicidade, esses dois HPA são considerados compostos de maior toxicidade em ambientes aquáticos (dentre os HPA), possibilitando a toxicidade aguda. O Naftaleno é irritante para pele, pode ocasionar dor de cabeça, náuseas, vômitos, além de outros efeitos nos seres vivos conforme mencionado anteriormente neste trabalho (PAVEI, 2007; ASTDR, 2009; SOUZA, 2012). Não existe uma legislação brasileira que regularize esses dois compostos, porém de acordo com os valores limites de referência (para descarte) da NOAA, o Naftaleno e o Fenantreno apresentaram valores muito acima do apresentado pela agência que é de 1,1 μg.L⁻¹ e 3,6 μg.L⁻¹ respectivamente.

Conforme Silva (2004), encontra-se no petróleo concentrações maiores de Fenantreno que de Antraceno, pois o primeiro é o "isômero termodinamicamente mais estável", o que é comprovado pelo resultado obtido das concentrações desses dois compostos.

O Fluoranteno também apresentou concentrações significativas nas duas amostras. Apesar de não carcinogênico ao seres humanos, ele possui efeitos mutagênicos, e conforme a ABNT (Associação Brasileira de Normas Técnicas), apresenta periculosidade (SOUZA, 2012).

O Antraceno apresenta-se como irritante da pele, causando alergia na pele de seres humanos e animais, conforme ASTDR, (2009).

Dentre os compostos detectados, o Benzo(a)pireno merece destaque visto sua toxicidade. Este composto irrita a pele, além de provocar uma reação alérgica nos seres vivos, sendo um genotóxico, mutagênico e considerado um dos mais

carcinogênicos dentre os HPA, seus efeitos cancerígenos nos homens apresentam-se bem fundamentados. Apenas ele é regulamentado pelo Ministério da Saúde do Brasil, portaria 518/2004, para águas potáveis, com valor máximo permitido de 0,7 μg.L⁻¹. A agência ambiental dos EUA, limitou o nível do Benzo(a)pireno para águas potáveis em 0,2 μg.L⁻¹ (PEREIRA NETTO *et al.*, 2000; CORDEIRO, 2003; VEIGA, 2003; PAVEI, 2007; ASTDR, 2009; ABDEL-SHAFY e MANSOUR, 2016).

Os HPA de AMM apresentam elevadas implicações carcinogênicas e mutagênicas. Benzo(a)antraceno, apresenta-se como provável carcinogênicos para humanos, assim como o Benzo(b)fluoranteno, o Benzo(k)fluoranteno, Criseno, Dibenzo(a,h)antraceno e Indeno(1,2,3-cd)pireno, e todos apresentaram valores significativos nas amostras analisadas (VEIGA, 2003; ASTDR, 2009).

5.3 IDENTIFICAÇÃO DAS FONTES DE HPA

Através das concentrações obtidas, foi possível identificar qual tipo de fonte predomina nas amostras. As razões entre os HPA de BMM e AMM, e o Σ HPA pirogênicos / Σ HPA; Σ HPA petrogênicos/ Σ HPA foram utilizadas também, além de outras razões sugeridas pela literatura, já citadas neste trabalho. A Tabela 18 apresenta o resultado dessas razões para as Amostras 1 e 2.

TABELA 18 - Razões entre HPA, Amostra 1 e 2.

| Razões | Amos | stras |
|---|------|-------|
| | 1 | 2 |
| An./An.+Fen | 0,17 | 0,36 |
| Naf./Fen. | 1,52 | 2,44 |
| BaAn/BaAn+Cri | 0,37 | 0,32 |
| lp / (lp + BghiP) | 0,72 | 0,45 |
| BMM / AMM | 1,63 | 1,57 |
| Σ HPA petrogênicos/ Σ HPA | 0,62 | 0,61 |
| Σ HPA pirogênicos/ Σ HPA | 0,38 | 0,39 |

Abreviaturas: An. = Antraceno; Fen. = Fenantreno; BaAn = Benzo(a)antraceno; Ip = Indeno (1,2,3-CD) pireno; Cr = Criseno; BghiP = Benzo [g, h,i]perileno; Naf. = Naftaleno; AMM= alta massa molecular; BMM= baixa massa molecular. Conforme o resultado das razões calculadas, observa-se uma contribuição de ambos os tipos de fontes. O resultado de Ant/Ant+Fen, maior que 0,1, de acordo com a literatura é indício de fontes pirogênicas, onde existe a possibilidade das mesmas derivarem da queima de carvão, querosene e óleo cru, confirma Polakiewicz (2008). A razão entre o Naftaleno e o Fenantreno, de acordo com Cordeiro (2003), é utilizada para indicação de petróleo fresco, ou óleo cru, apresentando uma contaminação de HPA de origens petrogênicas, caso essa proporção apresente predominância do Naftaleno, que foi o resultado encontrado neste estudo para ambas as Amostras, conforme valores apresentados na Tabela 18.

Conforme afirmam Suman e colaboradores (2016), têm-se 0,2 < BaA/BaA+Cri < 0,35, e 0,2 < IP / (IP + BgP) < 0,5 que são indicadores de fontes como combustão de petróleo, incluindo combustíveis fósseis líquidos, veículos e combustão de petróleo bruto. Caso os valores das seguintes razões: BaA/BaA+Cri > 0,35 e IP / (IP + BgP) > 0,5, são indicativos de fontes pirogênicas; as fontes de HPA podem ser biomassa e combustão de carvão.No presente estudo, as proporções BaA/BaA+Cri e IP / (IP + BgP), foram, de 0,37 e 0,72, respectivamente para Amostra 1 e 0,32 e 0,45, respectivamente, para a Amostra 2, corroborando com a hipótese de que a origem dos efluentes têm influência de mais de uma fonte (VEIGA, 2003; POLAKIEWICZ, 2008; SUMAN *et al.*, 2016).

Diversos autores concordam com o fato de que a utilização de razões para indicação das fontes, é um método sensível e deve-se ter cuidado ao utilizá-lo, visto a possibilidade da contribuição dos dois tipos de fontes antropogênicas, além da possibilidade de mudança dos hidrocarbonetos até o momento que o mesmo será analisado. As amostras ambientais, segundo Locatelli (2006), estão vulneráveis à ações que podem modificar o perfil de contaminação existente. Uma alternativa é a utilização da razão entre os compostos petrogênicos e pirogênicos da amostra com o somatório dos HPA (VEIGA, 2003; LOCATELLI, 2006; PAVEI, 2007).

A Figura 19 apresenta o gráfico com o resultado dessas razões mencionadas.

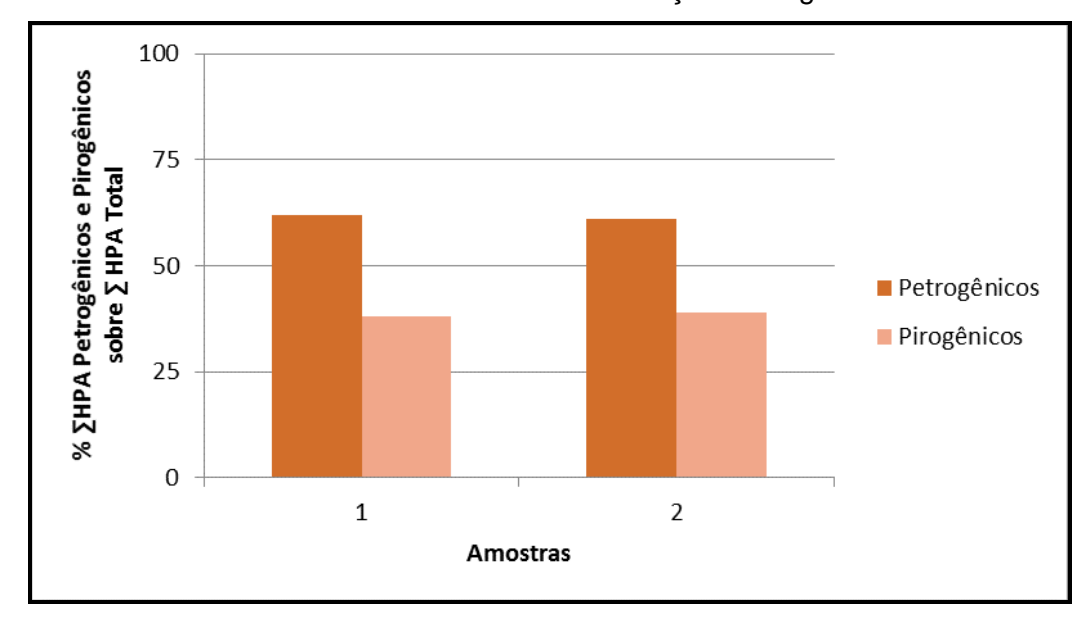


FIGURA 19 - Razões de identificação de origens.

A predominância de HPA petrogênicos é visível em ambas amostras. Quando os HPA petrogênicos, ou seja, os que contém de 2 a 3 anéis aromáticos, prevalecem em uma amostra, é sugerido como possíveis fontes, a combustão incompleta de hidrocarbonetos fósseis, além de descarga de refinaria de petróleo (SILVA, 2004). O hidrocarboneto Naftaleno deriva principalmente de fontes antropogênicas, além de ser relacionado ao surgimento de petróleo no ambiente, conforme Pavei (2007), o mesmo ainda se caracteriza como marcador de fonte petrogênicas. Neste trabalho foi possível observar que o mesmo apresentou-se com uma concentração expressiva, superior aos outros HPA de uma mesma amostra, essa diferença sendo evidenciada na Amostra 2.

A razão entre o somatório dos HPA de BMM e AMM, ao apresentarem altos valores, indicam fontes de contaminação de origem petrogênicas (POLAKIEWICZ, 2008). Neste estudo, a razão BMM/AMM, das Amostras 1 e 2, apresentou valores altos, indicando mais uma vez que, as fontes de HPA predominantes foram as de origem petrogênicas. Polakiewicz (2008), em seu estudo, observou que as maiores concentrações de HPA de BMM, indicaram maior contaminação de origem petrogênicas, oriundas dentre outras, de fontes pontuais como efluentes industriais contendo óleos e graxas, características semelhantes às amostras deste trabalho.

5.4 POA NA DEGRADAÇÃO DOS HPA

Os experimentos foram realizados nos reatores de bancada com lâmpadas UV- A e *Sunlight*, baseado no planejamento fatorial descrito na seção 3.5, onde o POA estudado foi o Foto-Fenton-Like e a Fotocatálise Heterogênea com TiO₂ e adição de H₂O₂. As amostras após os ensaios realizados foram extraídas conforme descrito na seção 3.2 e analisadas no CG-EM obtendo-se assim o percentual da degradação sofrida pelos HPA.

A Tabela 19 apresenta a porcentagem das degradações em ambas as amostras, seguindo o mesmo planejamento.

| Planaiamenta 23 | | | Degradação (%) | | | | | |
|-----------------|-------------------------------|-----------------------------|----------------|-------|-----------|-------|-----------|--|
| Ensaios | Flane | Planejamento 2 ³ | | Amo | Amostra 1 | | Amostra 2 | |
| | H ₂ O ₂ | TiO ₂ | t | UV-A | Sunlight | UV-A | Sunlight | |
| 1 | - | - | - | 74,15 | 78,06 | 60,27 | 87,88 | |
| 2 | + | - | - | 74,07 | 79,05 | 63,50 | 87,53 | |
| 3 | - | + | - | 80,23 | 79,91 | 59,63 | 90,11 | |
| 4 | + | + | - | 79,66 | 74,96 | 63,4 | 89,63 | |
| 5 | - | - | + | 81,29 | 79,05 | 58,57 | 89,93 | |
| 6 | + | - | + | 75,18 | 77,03 | 64,04 | 89,52 | |
| 7 | - | + | + | 81,44 | 78,34 | 67,07 | 90,17 | |
| 8 | + | + | + | 84,6 | 80,44 | 70,7 | 92,31 | |
| 9 | 0 | 0 | 0 | 83,61 | 79,96 | 70,34 | 80,7 | |
| 10 | 0 | 0 | 0 | 84,4 | 80,32 | 68,99 | 80,85 | |
| 11 | 0 | 0 | 0 | 82,98 | 80,38 | 70,06 | 81,52 | |

TABELA 19 - Degradação (%) HPA total, Amostras 1 e 2.

Na Amostra 1 e na Amostra 2, foram obtidos índices de degradação satisfatórios. Em média, os maiores valores de degradação foram obtidos para os ensaios onde se tinha o TiO₂ maior que 0,05 g.

Para ambas as amostras, os ensaios que obtiveram melhor resultado degradativo foram aqueles correspondentes ao ensaio 8, com os níveis máximos de H₂O₂, TiO₂ e tempo, 68,56 mmol, 2000 mg.L⁻¹ e 4 horas, respectivamente.

A maior média de degradação foi a da Amostra 2 para o reator *Sunlight*, onde todos apresentaram índice percentual acima de 80% e no ensaio 8, esse

percentual foi de 92,31%. Na radiação *Sunlight*, apesar da Amostra 1 apresentar uma boa degradação, a Amostra 2 degradou 11,87% mais que ela. A Amostra 2 apresentava uma concentração de ferro mais alta que a Amostra 1 além de um pH mais baixo (3,5), fatores que podem contribuir, para o aumento da degradação. Teixeira e Jardim (2004), relatam os efeitos ocasionados pelos íons metálicos dissolvidos, para "degradação fotocatalíticas de fenol em suspensões de TiO₂ saturadas com oxigênio", o melhor resultado observado foi proveniente da adição do íon metálico Fe³⁺ dissolvido. No presente estudo, os íons de ferro já estavam presentes nas amostras e em quantidades significantes.

Os ensaios com a radiação UV-A também foram efetivos, corroborando com o estudo de Souza (2012), que apresenta a radiação negra como satisfatória na degradação de HPA, utilizando Foto-Fenton. Rocha (2010), apresentou uma degradação de 75,5% na remoção de HPA, com 96 horas de tratamento na borra de petróleo, utilizando radiação UV-A, no processo de fotocatálise com TiO₂ e H₂O₂.

A lâmpada artificial solar, apresenta potência de 300 W, a intensidade do fluxo luminoso foi de 1,325 - 1,34 W.cm⁻². A lâmpada de luz negra, radiação UV-A, apresenta potência de 20 W cada lâmpada, no reator com três lâmpadas, a potência total é de 60 W, com o fluxo luminoso de 1,55x10⁻⁴ W.cm⁻². Conforme Suave (2013), há uma correlação entre a intensidade da luz e a cinética de degradação, "um acréscimo na taxa de degradação é observada com o aumento da intensidade de irradiação durante a reação fotocatalítica." Na radiação UV-A, houve uma decomposição de H₂O₂ mais "lenta" que na radiação *Sunlight*. A fissão homolítica do peróxido de hidrogênio ocorre em radiação rica em energia e em comprimento de onda curto, visto o mesmo absorver pouca radiação ultravioleta com comprimento de onda acima de 280 nm, sendo assim, a quebra do H₂O₂ na radiação solar é mais eficiente, pois o espectro solar abrange todos os comprimentos de ondas UV, inclusive os mais baixos (BRITO e SILVA, 2012; BOKARE *et al.*, 2014; CLIMATE LITERACY LABS, SOLAR SPECTRUM, 2017; GREEN RHINO ENERGY, 2017).

O tratamento com a radiação UV-A, em ambas as amostras, apresentou peróxido de hidrogênio residual no ensaio com os maiores níveis dos reagentes, na maior concentração, já a radiação S*unlight* não apresentou nenhum H₂O₂ nesse mesmo nível. O peróxido de hidrogênio residual foi eliminado com a

solução inibidora, comprovando assim a sua ausência com a medição do mesmo, com a fita teste *Peroxide Test*, Merckoquant, Merck.

Os resultados obtidos foram colocados no programa *Statistica* versão 8.0, sendo possível a obtenção dos efeitos dos fatores e as interações entre eles.

Em se tratando da Amostra 1, ensaios na radiação UV-A, os efeitos que foram estatisticamente significativos para 95% de confiança nos níveis estudados foram identificados e estão descritos na Tabela 20.

TABELA 20 - Efeitos principais e de interação com seu erro padrão, do planejamento fatorial 2³ do reator com lâmpada UV-A da Amostra 1.

| Efeitos (Degradação) | Amostra 1 – UVA |
|-------------------------|---------------------|
| Média | 80,15 <u>+</u> 0,51 |
| Efeitos Principais | |
| 2-TiO ₂ | 5,31 <u>+</u> 0,51 |
| 3-Tempo | 3,6 <u>+</u> 0,51 |
| Interação entre fatores | |
| 1*2 | 2,20 <u>+</u> 0,51 |
| 1*2*3 | 2,44 <u>+</u> 0,51 |
| | |

A Figura 20 corresponde a Carta de Pareto, que mostra uma melhor visualização dos efeitos e as interações entre as variáveis. No eixo vertical encontram-se todas as variáveis e suas interações.

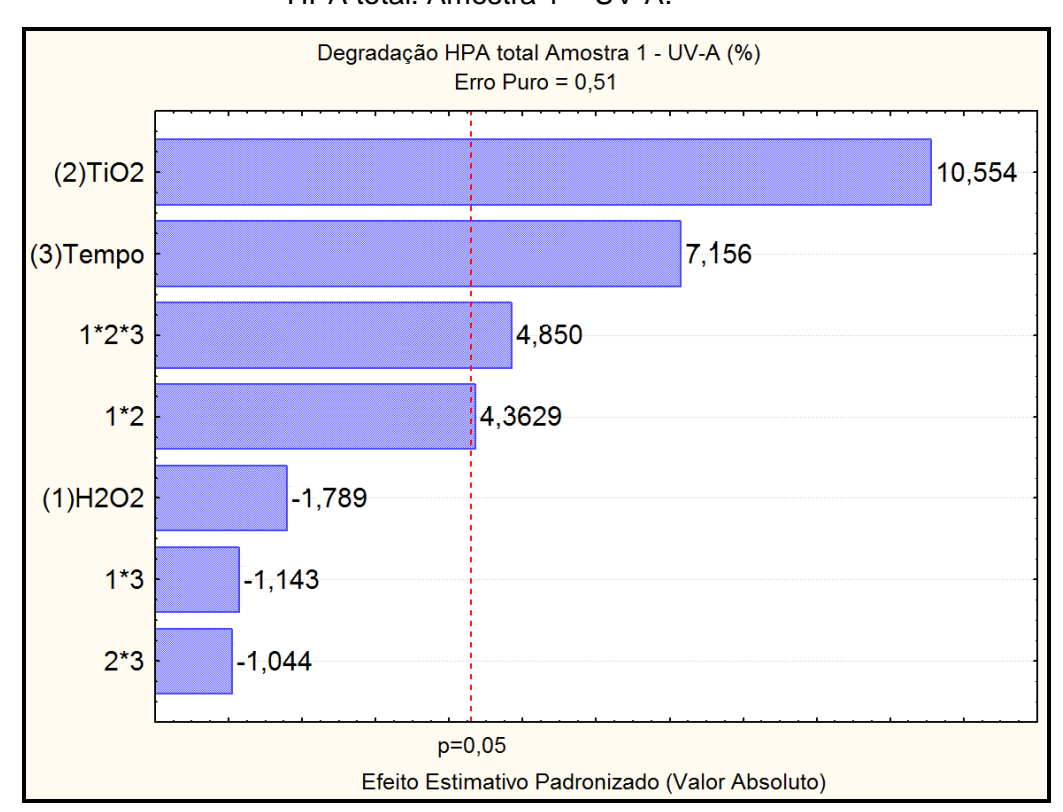


FIGURA 20 - Carta de Pareto referente à degradação dos HPA total. Amostra 1 – UV-A.

A Carta de Pareto apresentada na Figura 20, indica que os principais efeitos estatisticamente significativos para 95% de confiança, foram o TiO_2 , e o tempo, com valores positivos de 10,55; 7,16 respectivamente, indicando que no nível maior dos mesmos, ocorre uma maior degradação de HPA. Estatisticamente significativos também foram as interações entre os três fatores $(H_2O_2, TiO_2 \text{ e tempo})$ e a interação entre o H_2O_2 e o TiO_2 , apresentando valores positivos de 4,85 e 4,36, respectivamente. O erro puro foi 0,51, sendo aceitável.

Uma melhor visualização é possível pelo gráfico de superfície de resposta, apresentado na Figura 21, referente à interação entre o TiO₂ e o H₂O₂.

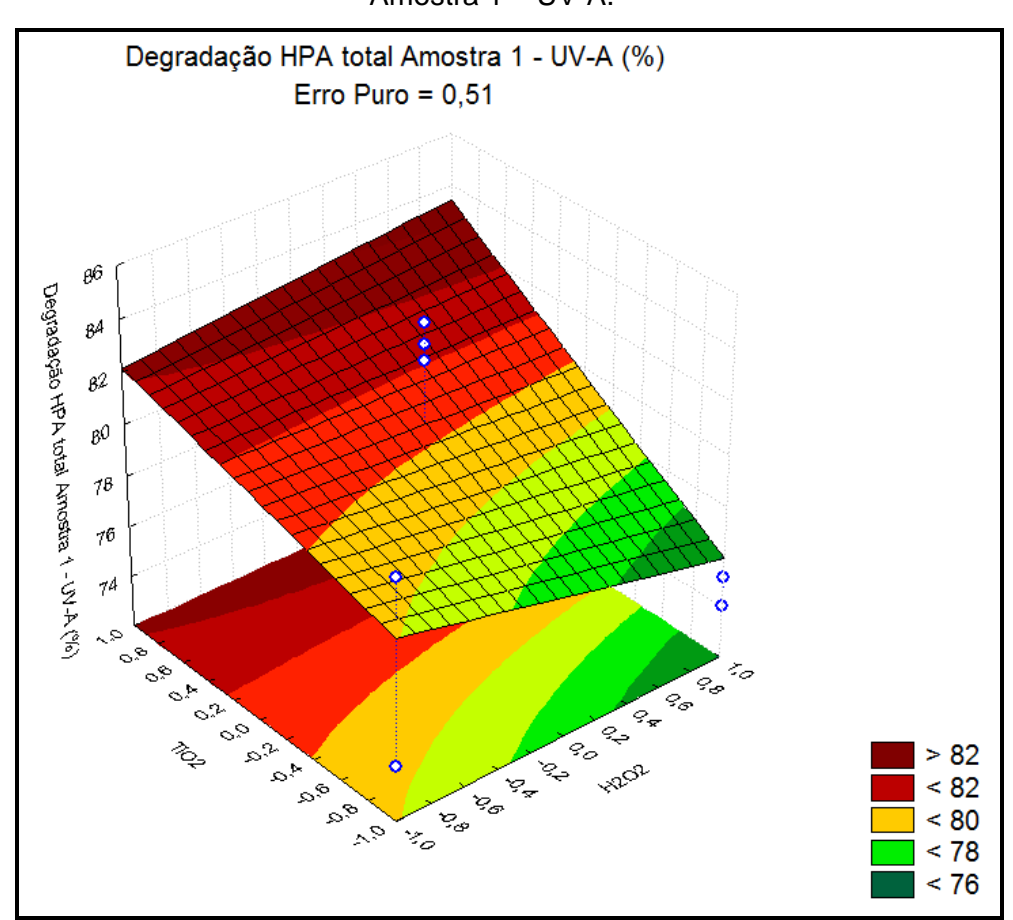


FIGURA 21 - Superfície de resposta referente ao efeito TiO_2 x H_2O_2 , Amostra 1 – UV-A.

Para os maiores valores de TiO₂ e com o aumento do H₂O₂ percebe-se uma degradação maior de HPA. Processo inverso ocorre quando se diminui a concentração de TiO₂, com o aumento do H₂O₂, pois a degradação diminui. Os maiores níveis de TiO2 e H2O2, quando combinados, resultam em uma maior degradação dos HPA. Na Amostra 1, com essa radiação, foi detectado a presença de peróxido de hidrogênio residual, porém em baixa concentração. Para eliminar o H₂O₂, Ruas (2008), após quantificar o residual do peróxido de hidrogênio, adicionou Na₂SO₃, como agente redutor, e após a sua adição, provou-se através de testes qualitativos a ausência do H₂O₂. De modo semelhante foi realizado no presente estudo, porém ao invés de colocar apenas o sulfito de sódio, adicionou-se solução inibidora, que contém além do sulfito de sódio o hidróxido de sódio, a ausência do peróxido de hidrogênio residual foi constatada através de testes quantitativos com a fita teste da Merck. Apesar do H₂O₂ sozinho não apresentar efeitos estatisticamente significativos, este contribuiu para uma maior degradação do poluente em questão, quando em conjunto com os maiores níveis de concentração do TiO2, corroborando com

Santos *et al.* (2006), que afirma "pequenas concentrações de peróxido de hidrogênio para sistemas fotocatalíticos, podem aumentar a eficiência do processo." Observa-se que para maiores concentrações de TiO₂, obtém-se os melhores resultados.

A Figura 22 apresenta o gráfico de superfície de resposta do tempo *versus* H₂O₂, para Amostra 1 tratada na radiação UV-A.

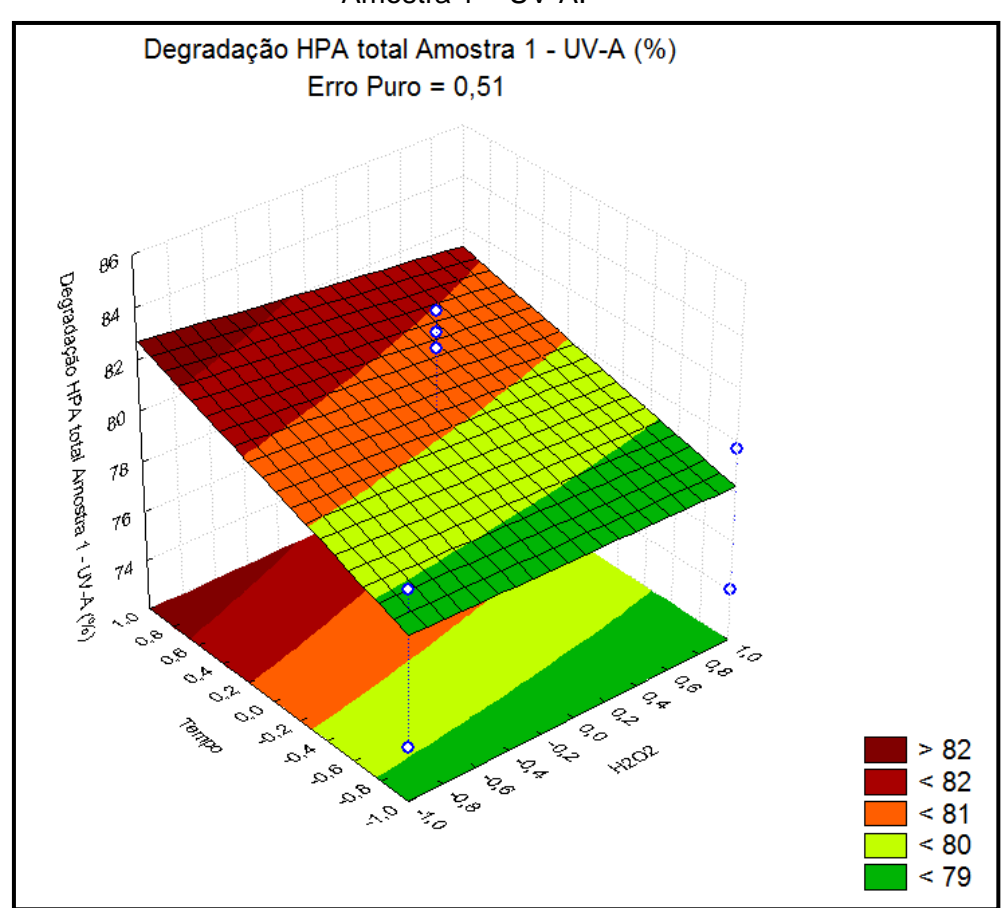


FIGURA 22 - Gráfico de superfície referente ao efeito tempo e H_2O_2 . Amostra 1 – UV-A.

Neste gráfico de superfície, foi possível observar que na interação apenas entre o peróxido de hidrogênio e o tempo, as maiores degradações do contaminante foram obtidas conjuntamente com o maior nível do tempo e o menor nível do H₂O₂. Esse resultado sugere que o peróxido de hidrogênio estava em excesso. Caso a concentração ótima do H₂O₂ não seja encontrada, a adição excessiva do mesmo pode causar baixa eficiência no processo (SANTOS *et al.*, 2006).

A Figura 23 apresenta o gráfico de superfície de resposta do TiO₂ versus tempo, para Amostra 1 com radiação UV-A.

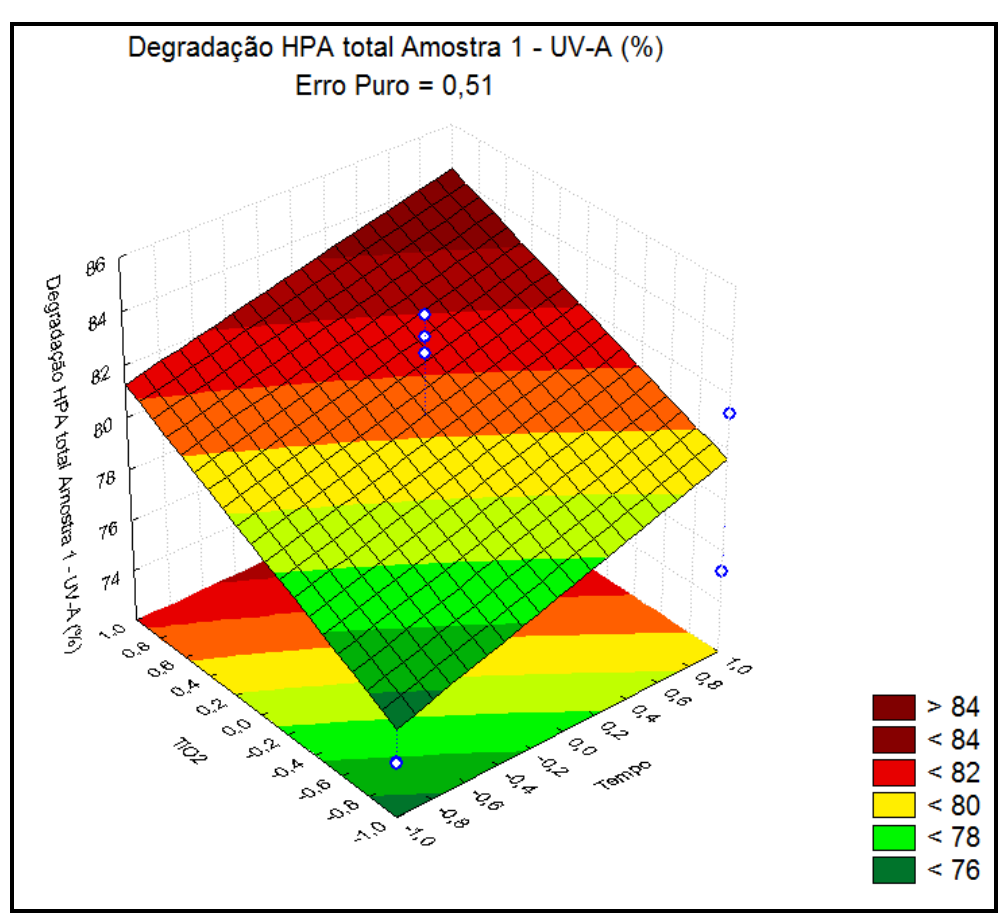


FIGURA 23 - Superfície referente ao efeito TiO₂ e tempo. Amostra 1 –UV-A.

Ao combinar os maiores níveis de dióxido de titânio e tempo, uma maior degradação de HPA é observada. Essa combinação e seu resultado indica que o TiO₂ não está em excesso na solução, pois, caso estivesse, a solução ficaria turva e apesar do longo tempo exposto à radiação, a mesma não penetraria a solução e a degradação não seria favorecida com o seu aumento. Conforme Brito e Silva (2012) e Teixeira e Jardim (2004), a transparência do líquido que sofrerá o tratamento fotoquímico é de extrema importância.

Considerações que foram observadas para a radiação UV-A, na Amostra 1: o TiO₂ foi um efeito principal significativo, apresentando valor positivo, sendo assim, maiores níveis de TiO₂ resultaram em maiores degradações para os maiores tempos. Maiores valores de TiO₂ são justificáveis, visto que na fotocatálise heterogênea, as produções de radicais hidroxilas podem acontecer

também pela reação de oxidação ocorrida entre a lacuna da banda de valência e a água ou com os grupos hidroxilas; ou pela reação de redução que ocorre entre o oxigênio e o elétron da banda de condução, formando radicais superóxidos, onde estes podem formar peróxido de hidrogênio, que finalmente gera radicais hidroxilas (ARAÚJO *et al.*, 2016; CHENG *et al.*, 2016; CHONG *et al.*, 2010; TEIXEIRA e JARDIM, 2004).

O efeito tempo para essa radiação apresentou um valor positivo; sabe-se que o peróxido de hidrogênio absorve pouca radiação UV acima de 280 nm, conforme afirmam Brito e Silva (2012) e Araújo *et al.*(2016), isto é, a ativação do peróxido de hidrogênio nessa amostra foi bem mais "lenta" na radiação UV-A do que com a radiação *Sunlight*, sendo assim observada a importância desse efeito.

No tratamento com a radiação Sunlight, os efeitos que foram estatisticamente significativos para 95% de confiança nos níveis estudados foram identificados e estão descritos na Tabela 21.

TABELA 21 - Efeitos principais e de interação com seu erro padrão, do planejamento fatorial 2³ do reator com radiação *Sunlight* da Amostra 1.

| Efeitos (Degradação) | Amostra 1 – Sunlight |
|---------------------------------|----------------------|
| Média | 78,86 <u>+</u> 0,05 |
| Efeitos Principais | |
| 1-H ₂ O ₂ | -0,97 <u>+</u> 0,05 |
| 3-Tempo | 0,72 <u>+</u> 0,05 |
| Interação de fatores | |
| 1*3 | 1,01 <u>+</u> 0,05 |
| 2*3 | 1,24 <u>+</u> 0,05 |
| 1*2*3 | 2,52 <u>+</u> 0,05 |
| | |

A Figura 24 corresponde a Carta de Pareto, que mostra uma melhor visualização dos efeitos e as interações entre as variáveis. No eixo vertical encontram-se todas as variáveis e suas interações.

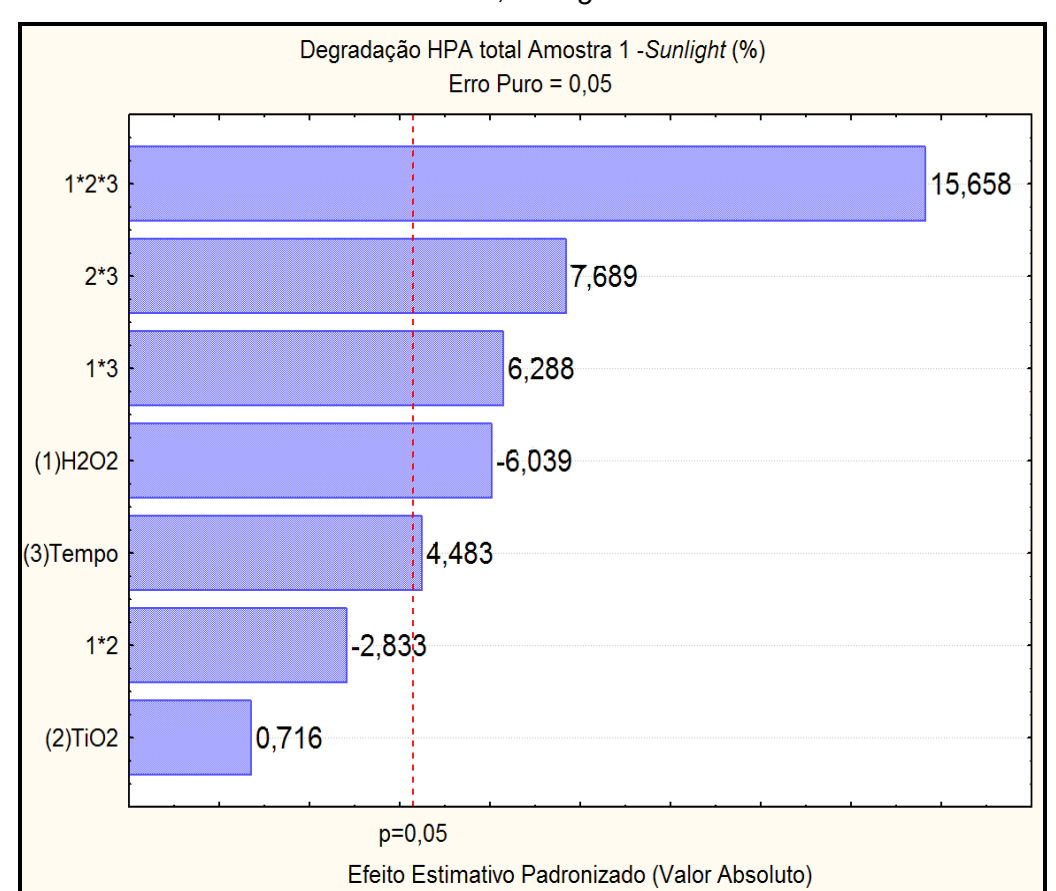


FIGURA 24 - Carta de Pareto referente à degradação do HPA total, Amostra 1, Sunlight.

A Carta de Pareto apresentada na Figura 24, indica que os efeitos principais que foram estatisticamente significativos para 95% de confiança, são o H_2O_2 e o tempo, apresentando valores -6,04 e 4,48 respectivamente. O efeito peróxido de hidrogênio apresentou valor negativo, indicando que do seu nível menor para o nível maior ocorre uma redução na degradação de HPA. O tempo, entretanto, apresentou valor positivo, sugerindo que no nível maior ocorre uma maior degradação de HPA. Foram estatisticamente significativos também a interação entre o três fatores, a interação entre o TiO_2 e o tempo e a interação entre o H_2O_2 e o tempo, apresentando, os três efeitos, valores positivos 15,66; 7,69 e 6,29, respectivamente.

Uma melhor visualização das interações dos efeitos é possível pelos gráficos de superfície de resposta, na Figura 25, onde é apresentado a interação entre o tempo e o H_2O_2 .

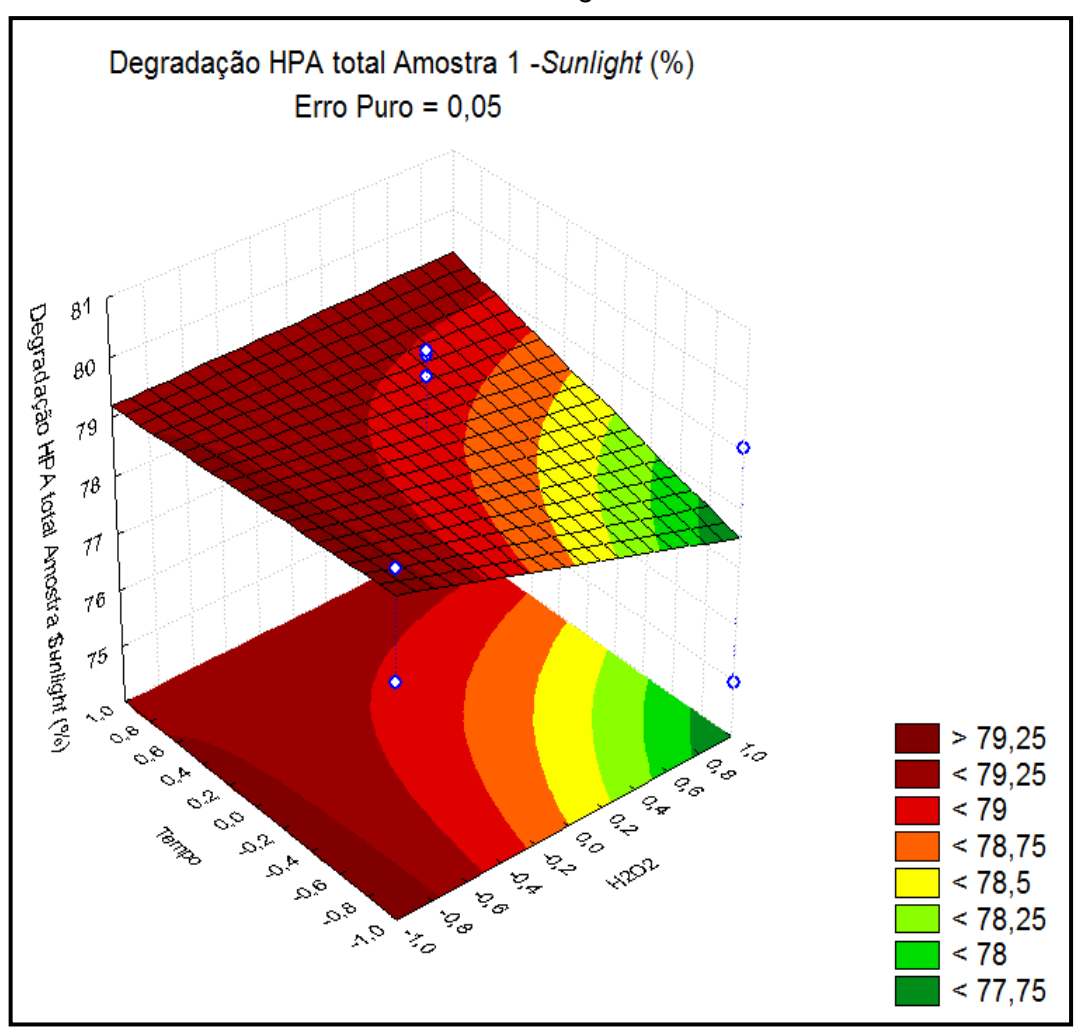


FIGURA 25 - Superfície referente ao efeito tempo x H₂O₂. Amostra 1 - Sunlight.

É possível observar que ao combinar os maiores níveis de tempo e H₂O₂, assim como os menores níveis de ambos, obtém-se uma alta degradação de HPA. A Figura 26 apresenta a interação entre o TiO₂ e o tempo da Amostra 1 com a radiação *Sunlight*.

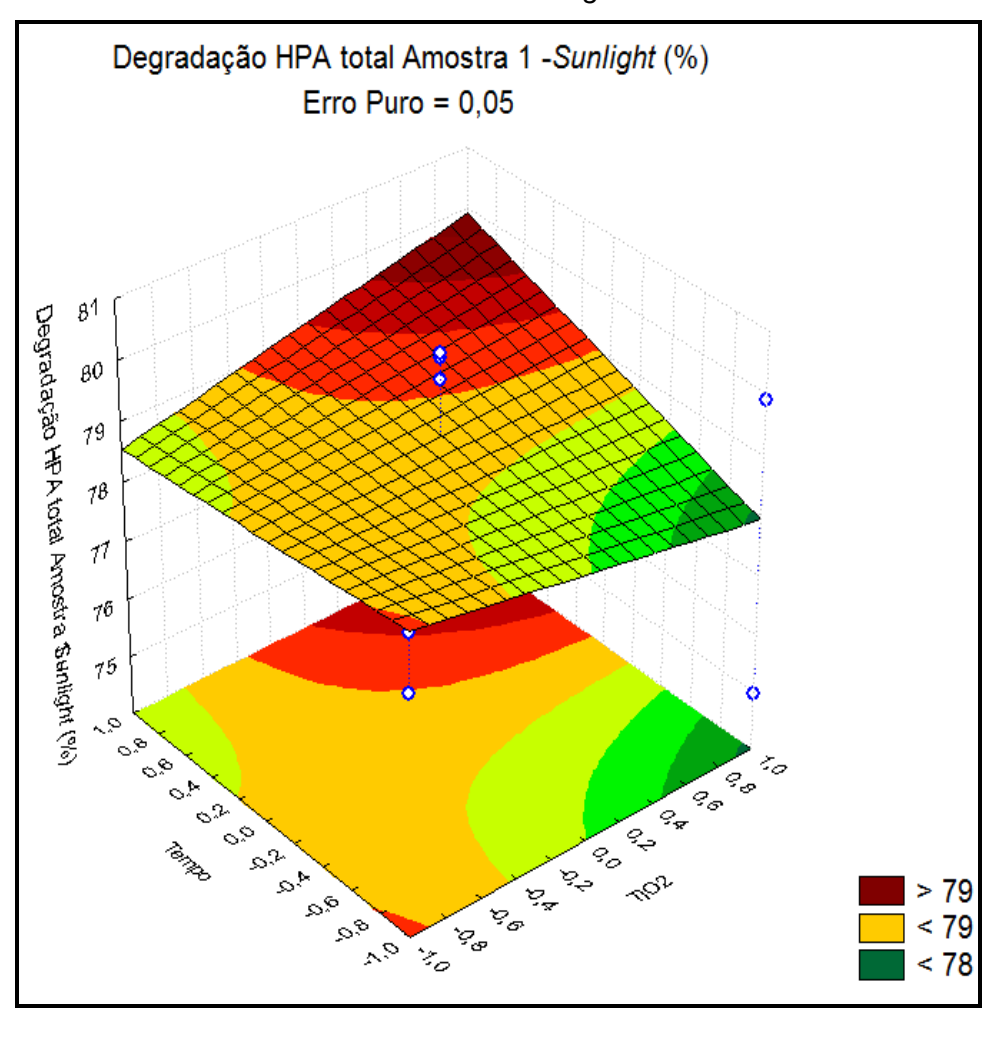


FIGURA 26 - Gráfico de superfície referente ao efeito tempo x TiO₂, Amostra 1- S*unlight*.

O maior nível do tempo conjugado com o maior nível do dióxido de titânio, proporciona uma maior degradação dos HPA.

A Figura 27, apresenta o gráfico de superfície do TiO₂ e o H₂O₂, Amostra 1, radiação *Sunlight*.

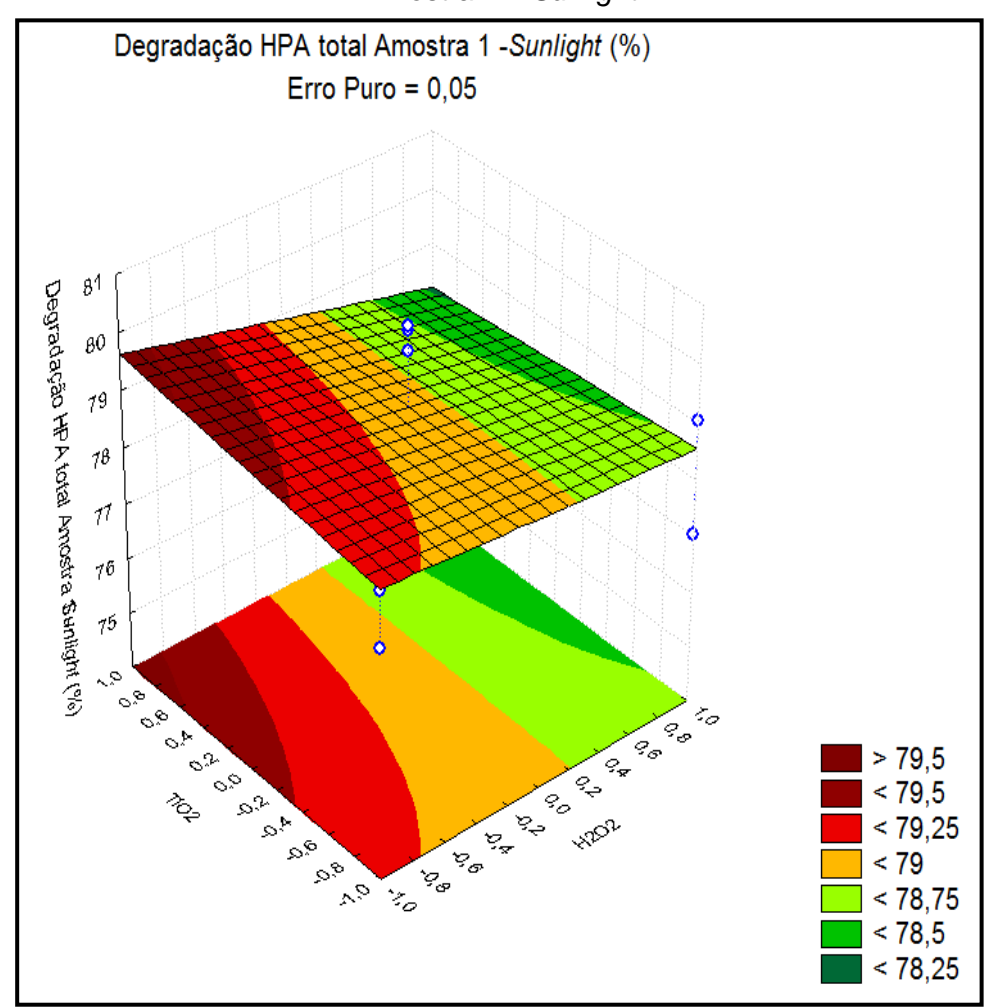


FIGURA 27 - Superfície de resposta referente ao efeito, TiO₂ x H₂O₂, Amostra 1 – *Sunlight*.

Levando em consideração apenas esses dois efeitos, o TiO_2 e o H_2O_2 , observou-se que ao combinarmos o menor nível de H_2O_2 com o maior nível do TiO_2 , uma maior degradação é alcançada.

O H₂O₂ auxilia na degradação fotocatalítica, gerando radicais hidroxilas livres com as lacunas e com os elétrons na fotocatálise heterogênea. Porém, em excesso, o H₂O₂ pode funcionar como um receptor de radicais hidroxilas, consequentemente reduzindo a eficiência na reação de fotocatálise (TEIXEIRA e JARDIM, 2004). Neste estudo, os ensaios que apresentaram uma maior degradação, independente do nível do tempo, foram os que possuíam maiores níveis de TiO₂ e menor nível de peróxido de hidrogênio.

Algumas considerações sobre o ensaio com a radiação *Sunlight d*a Amostra 1, foram: Com esta radiação, o H_2O_2 apresentou-se como um efeito principal significativo, porém com valor negativo. Nos ensaios com o TiO_2 , as

melhores degradações foram a que continham o menor nível do H₂O₂, indicando que acima desse valor, a interação apenas com o TiO₂, não foi benéfica para a degradação, exceto quando o tempo foi aumentado. Conclui-se que ao receber radiação, o peróxido de hidrogênio foi rapidamente degradado e juntamente com a ativação do TiO₂, as hidroxilas foram formadas. Essas hidroxilas reagiram com os HPA degradando-os. No ensaio 4, com essa radiação, onde os maiores níveis de TiO₂ e H₂O₂ foram acoplados ao menor nível do tempo, identificou-se uma menor degradação do experimento e nenhum peróxido de hidrogênio residual foi observado. Isso indica que o H₂O₂ ativado ou produziu peróxidos, que tem potencial de oxidação menor que a hidroxila, ou atuou como interceptador de radicais, conforme afirmam Brito e Silva (2012) e Teixeira e Jardim (2004). Quando porém, esse tempo foi aumentado, mais hidroxilas foram formadas, visto à exposição prolongada a uma radiação com alta potência, obtendo-se a degradação mais eficiente do poluente e extinguindo-se todo o H₂O₂.

Na Amostra 1, foi observado que com ambas as radiações, quando o nível do H₂O₂ foi alto e o nível do TiO₂ foi baixo, independentemente do nível do tempo, uma baixa degradação foi encontrada. Esses ensaios, visto o menor nível do TiO₂ (0,0 mg/L), é caracterizado como Foto-Fenton-Like. As maiores degradações dos HPA nessa amostra, foram encontradas com a Fotocatálise Heterogênea, para os maiores níveis do TiO₂, H₂O₂ e tempo com ambas as radiações, corroborando com Santos *et al.* (2006), que apresenta a fotocatálise heterogênea (UV/TiO₂) como eficiente no tratamento de resíduos de refinaria de petróleo e com Cheng *et al.* (2016), o qual apresenta estudos em que houve aumento de 16% na taxa de degradação do HPA, Fluoranteno, na presença de TiO₂ e H₂O₂ quando comparado com o tratamento do TiO₂ sozinho, além de confirmar o aumento nas taxas degradativas fotocatalíticas ao adicionar H₂O₂.

Nos ensaios com esta amostra, entre as duas radiações utilizadas, observou-se dois efeitos comuns, sendo estes:

- Interação entre os três fatores, que foi um efeito positivo, ou seja, maiores níveis, maiores degradações;
- Tempo, quando associado o maior nível deste, obteve-se maior percentual de degradação.

O tratamento associado a TiO₂/UV/H₂O₂ consumiu completamente o peróxido de hidrogênio (GARCIA *et al.*, 2007), comprovado pela quantificação do

peróxido de hidrogênio residual, isto na radiação *Sunlight* com os maiores níveis das variáveis. Na radiação UV-A, para os maiores níveis das variáveis, foi detectado peróxido de hidrogênio residual, visto a "dificuldade" de ativação do mesmo nesse comprimento de onda.

Na Amostra 1, o ensaio com a radiação UV-A apresentou percentual degradativo ligeiramente maior que o da radiação *Sunlight*. Foi observado também que o ponto central apresentou percentual de degradação próximo ao valor mais alto de degradação obtido (diferença menor que um ponto percentual em ambas as radiações), que foi o ensaio com os níveis máximos do H₂O₂, TiO₂ e o tempo. Logo, ambas as radiações para esta amostra, atenderam perfeitamente à degradação do contaminante estudado, no processo TiO₂/UV/H₂O₂.

Os efeitos estatisticamente significativos da Amostra 2 no tratamento com a lâmpada UV-A, para 95% de confiança nos níveis estudados foram identificados e estão descritos na Tabela 22.

TABELA 22 - Efeitos principais e de interação com seu erro padrão, do planejamento fatorial 2³ do reator com radiação UV-A da Amostra 2.

| Efeitos (Degradação) | Amostra 2 – UV-A |
|---------------------------------|---------------------|
| Média | 65,14 <u>+</u> 0,51 |
| Efeitos Principais | |
| 1-H ₂ O ₂ | 4,03 <u>+</u> 0,51 |
| 2-TiO ₂ | 3,61 <u>+</u> 0,51 |
| 3-Tempo | 3,40 <u>+</u> 0,51 |
| Interação de fatores | |
| 2*3 | 3,98 <u>+</u> 0,51 |

Através da Carta de Pareto é possível uma melhor visualização dos efeitos e as interações entre as variáveis, dispostas no eixo vertical, Figura 28.

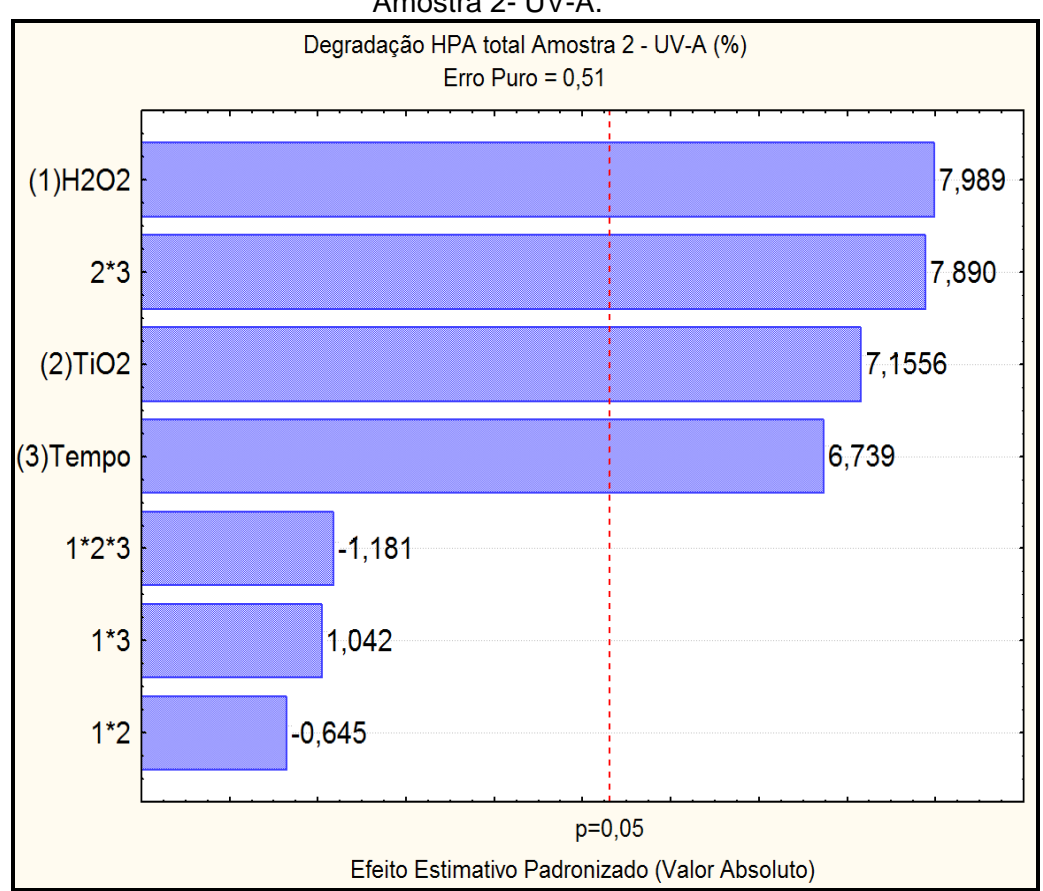


FIGURA 28 - Carta de Pareto referente à degradação do HPA total. Amostra 2- UV-A.

Através da Carta de Pareto, observou-se que todos os efeitos principais foram estatisticamente significativos para 95% de confiança, o H₂O₂, o TiO₂ e o tempo, apresentando, respectivamente, os seguintes valores positivos 7,99; 7,16 e 6,74, concluindo que no nível maior desses efeitos, ocorre uma maior degradação dos HPA. O único efeito de interação significativo foi a interação entre o TiO₂ e o tempo, apresentando valor positivo de 7,89

A Figura 29 mostra graficamente a interação entre o TiO₂ e o tempo, no ensaio com radiação UV-A da Amostra 2.

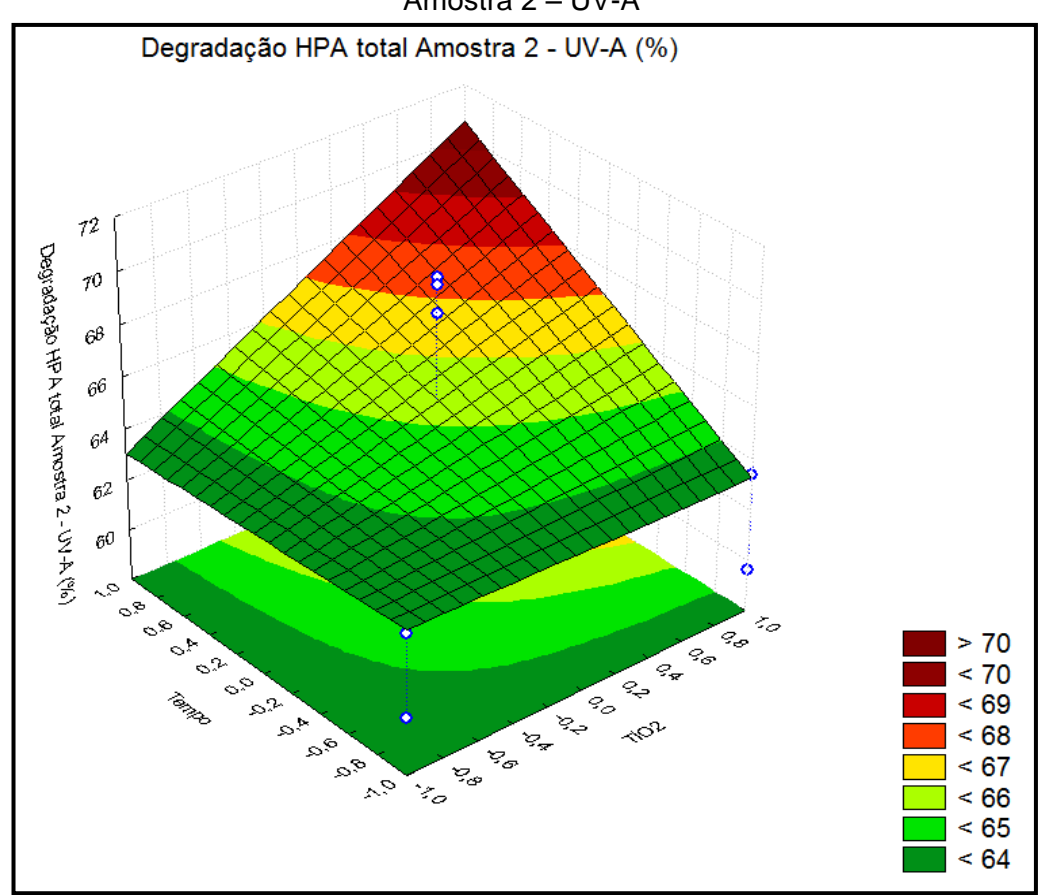


FIGURA 29 - Superfície de resposta referente ao efeito, tempo versus TiO_2 . Amostra 2 - UV-A

A Figura 29 apresenta nitidamente que no maior nível de TiO₂ e tempo, uma maior degradação dos HPA é obtida. Essa degradação é reduzida quando utilizamos os menores níveis desses dois efeitos.

Houve um aumento na degradação dos poluentes, quando os níveis máximos das variáveis, TiO₂ e peróxido de hidrogênio, foram combinados, corroborando quando se afirma que adicionar H₂O₂ é um artifício efetivo no aumento da degradação fotocatalítica (ALALM *et al.*, 2015). Cheng *et al.* (2016) afirmam que o H₂O₂ pode aumentar a degradação possivelmente de duas maneiras: " proporcionando 'OH adicional através da captura de elétrons fotogenerados" e produção de 'OH através da auto decomposição de H₂O₂ por luz UV.

O peróxido de hidrogênio não estava em excesso e não faltou. Foi observado que no ensaio com os maiores níveis do TiO₂, H₂O₂ e o tempo, uma pequena concentração de H₂O₂ foi encontrado após tratamento. O H₂O₂, conforme mencionado anteriormente, absorve pouca radiação acima de 280 nm.

A justificativa do comportamento diferente da Amostra 2 em relação à Amostra 1, na mesma radiação, pode ser atribuída ao fato de que a carga orgânica da Amostra 2 é aproximadamente doze vezes maior que a Amostra 1, o que é um fator de influência para o POA. Além de que, esse tipo de processo não é seletivo e podem degradar contaminantes concomitantemente (TEIXEIRA e JARDIM, 2004; BRITO et al., 2012). Sendo assim, quanto maior a produção de radicais hidroxilas, maior a degradação dos compostos em estudo e dos outros presentes na amostra.

Na Amostra 2, com a radiação UV-A no processo fotocatalítico, a combinação do nível máximo de todos os efeitos apresentaram uma elevação no percentual degradativo de HPA. A Fotocatálise Heterogênea, com adição de H₂O₂, apresentou valores mais altos de degradação dos HPA. Em comparação com a Amostra 1, os índices percentuais de degradação dos Hidrocarbonetos Policíclicos Aromáticos da Amostra 2, foram menores, indicando assim a não seletividade do POA na degradação dos compostos orgânicos. Possivelmente, houve "concorrência" entre os HPA e os demais poluentes orgânicos presentes na amostra (TEIXEIRA e JARDIM, 2004; BOKARE *et al.*, 2014).

Os efeitos estatisticamente significativos da Amostra 2 no tratamento com a lâmpada *Sunlight*, para 95% de confiança nos níveis estudados foram identificados e estão descritos na Tabela 23.

TABELA 23 - Efeitos principais e de interação com seu erro padrão, do planejamento fatorial 2³ do reator com radiação *Sunlight* da Amostra 2.

| Efeitos (Degradação) | Amostra 2 – Sunlight |
|----------------------|----------------------|
| Média | 87,29 <u>+</u> 0,19 |
| Efeitos Principais | |
| 2-TiO ₂ | 1,84 <u>+</u> 0,19 |
| 3-Tempo | 1,70 <u>+</u> 0,19 |

A Figura 30 apresenta a Carta de Pareto onde possibilita uma melhor visualização dos efeitos e as interações entre as variáveis, dispostas no eixo vertical.

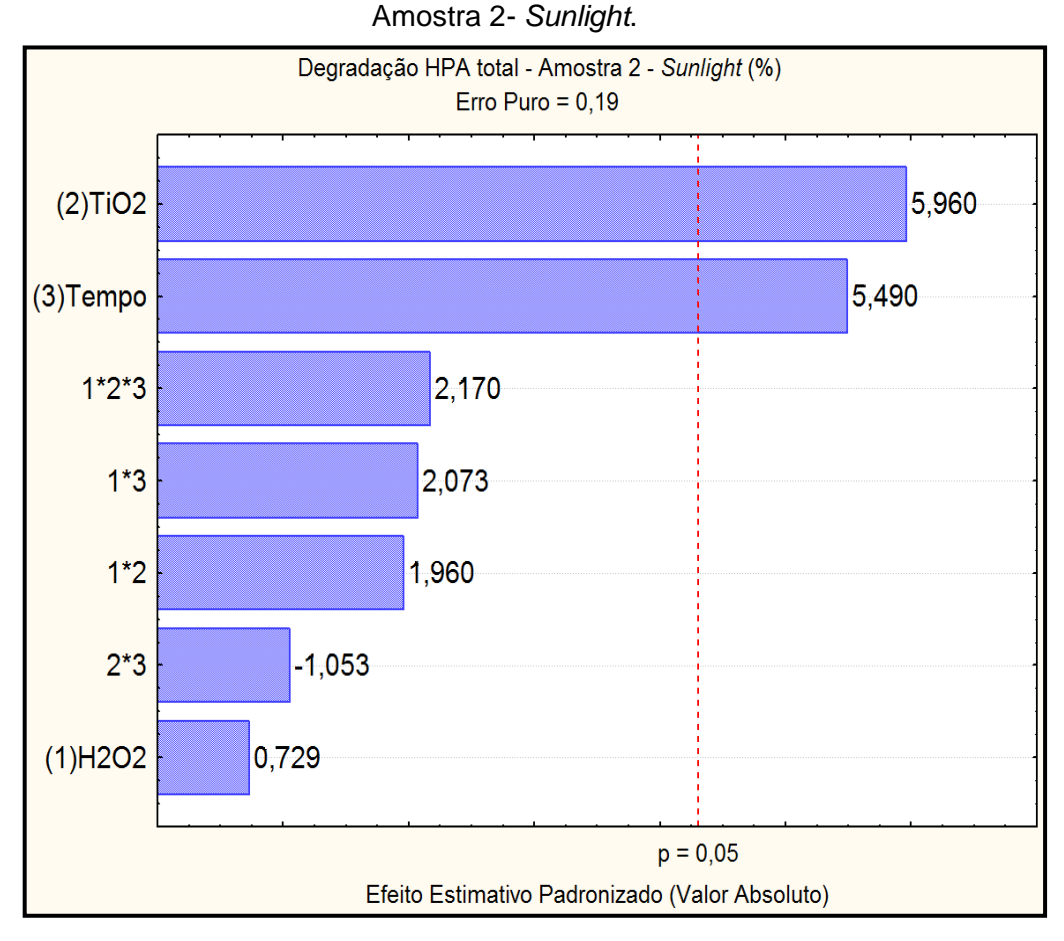


FIGURA 30 - Carta de Pareto referente à degradação do HPA total.

Os únicos efeitos estatisticamente significativos foram os principais TiO_2 e o tempo, ambos apresentando valores positivos de 5,96 e 5,49 respectivamente. O erro puro foi de 0,19.

A combinação dos maiores níveis do tempo e do dióxido de titânio, apresentaram maior índice percentual de degradação de HPA. Caso esses níveis sejam combinados em seus níveis mínimos, a degradação é reduzida.

Na Amostra 2, no processo fotocatalítico com a radiação *Sunlight*, o H₂O₂ não apresentou nenhum efeito significativo, o que é visto nos percentuais da degradação, que apresentaram valores próximos quando o mesmo variava entre o nível máximo e mínimo.

A Amostra 2 continha uma alta carga orgânica, e por conseguinte, uma maior quantidade de radicais hidroxilas é necessária para a degradação. Os compostos orgânicos estão "competindo" com os HPA para serem degradados (FLOTRON *et al.*, 2005). Além do peróxido de hidrogênio presente, a ativação do TiO₂ também produz radicais hidroxilas. Nesse experimento, o peróxido de

hidrogênio foi totalmente consumido quando unido ao TiO₂, ambos nos níveis máximos, nas primeiras horas de reação (GARCIA *et al.*, 2007). No ponto central do planejamento, foi detectado, após a reação, uma baixa concentração de peróxido de hidrogênio residual, porém nos níveis máximos das variáveis utilizadas do planejamento, não houve H₂O₂ residual. Conclui-se então que a principal fonte de radicais hidroxilas, para a Amostra 2 na radiação *Sunlight*, foi através da ativação do TiO₂. É notório, portanto, que se adicionássemos uma concentração levemente maior de H₂O₂, essa eficiência degradativa aumentaria, pois a geração de hidroxilas seria aumentada, acarretando então, em uma maior degradação tanto dos HPA, quanto dos demais compostos orgânicos presentes na amostra.

A concentração dos compostos orgânicos na amostra, além da recalcitrância dos mesmos, influenciam no processo de fotocatálise, conforme afirmam Brito *et al.* (2012), Teixeira e Jardim (2004) e Nogueira *et al.* (2007).

De acordo com os resultado obtidos, foi possível perceber que a união dos POA, TiO₂/UV e Foto-Fenton-Like, mostrou um desempenho satisfatório na degradação dos HPA nos resíduos de derivados de petróleo, nas duas amostras do estudo, com ambas radiações testadas, UV-A e Sunlight e nos maiores níveis das variáveis estudadas, H₂O₂, TiO₂ e o tempo, além do Ferro endógeno. A Amostra 2, entretanto, no reator com radiação Sunlight, apresentou maior percentual degradativo de HPA, cerca de 30% maior que a UV-A na mesma amostra e em relação à Amostra 1, esse percentual é maior aproximadamente 9% e 14 % na radiação UV-A e Sunlight, respectivamente. Logo, esse processo é preferencial para tratamento dessa amostra e de amostras com caraterísticas semelhantes a estudada.

Conforme afirmam Aljuboury e colaboradores (2015), esse tipo de junção de técnicas de POA apresenta um aumento na produção de radicais hidroxilas. Aljuboury e colaboradores (2015) ainda afirmam que estudos relataram um aumento na oxidação de contaminantes pela fotocatálise do sistema TiO₂ na presença de Fenton. Tony *et al.* (2009), afirmam que estudos aplicando UV/Fenton/TiO₂ têm sido relatados na literatura, porém existem poucas pesquisas publicadas de tratamento de águas residuais oleosas.

5.5 ANÁLISE DA CONVERSÃO DO COT

Para análise de conversão do COT, de modo a observar a mineralização da carga orgânica, foi seguido o mesmo planejamento fatorial da degradação dos HPA, visto as concentrações desses contaminantes, em ambas as amostras, serem próximas. Após tratamento, as amostras foram analisadas no equipamento específico para quantificação da mineralização do COT. O valor da concentração do COT na Amostra 1 sem tratamento foi de 1074 mgC.L-1. Os gráficos com os resultados das análises de conversão do COT para Amostra 1, nos reatores com lâmpadas UV-A e Sunlight, encontram-se, respectivamente, nas Figuras 31 e 32.

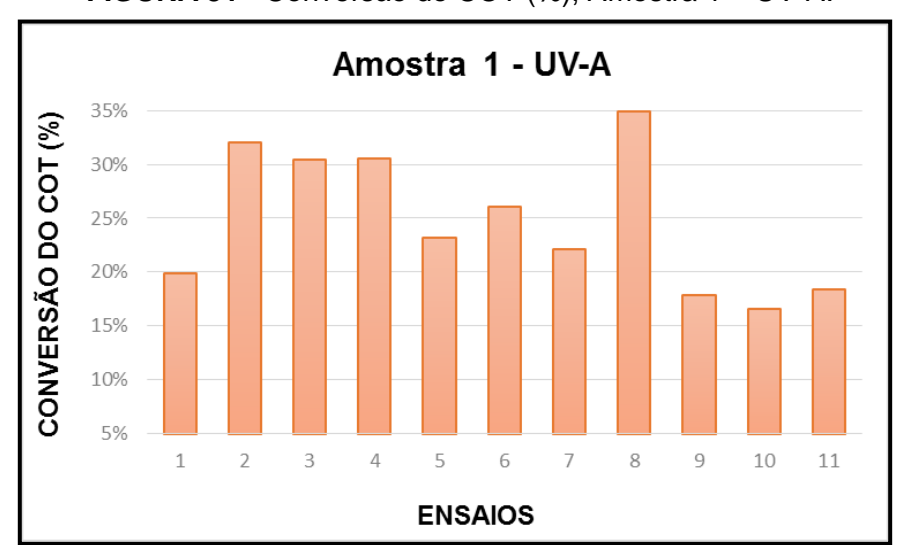


FIGURA 31 - Conversão do COT (%), Amostra 1 - UV-A.

FIGURA 32 - Conversão do COT (%), Amostra 1 – Sunlight. Amostra 1 - Sunlight 70% CONVERSÃO DO COT (%) 60% 50% 40% 30% 10% 0% 2 4 5 6 8 9 10 1 3 11 **ENSAIOS**

As maiores conversões do COT da Amostra 1 foram encontradas no ensaio 8 para ambas as radiações. A Tabela com os resultados da conversão do COT da Amostra 1 em termos percentuais, de ambas as radiações, encontra-se no Apêndice C (Tabela C-1).

Os maiores percentuais de mineralização foram encontrados com o maior nível do peróxido de hidrogênio, sendo este o maior influenciador na mineralização desta amostra, em se tratando do reator UV-A. Pode-se comprovar essa influência ao observar que nos ensaios onde se tem o H₂O₂ no nível máximo e os outros fatores no nível mínimo (ensaio 2), a mineralização é maior do que no ensaio com o peróxido de hidrogênio no nível mínimo e as outras variáveis nos níveis máximo (ensaio 7). Silva (b) (2007) encontrou resultados semelhantes, quando tratou por TiO₂/UV/H₂O₂ efluentes de indústria de celulose *kraft* branqueada, ao constatar um aumento na remoção do COT quando a concentração do H₂O₂ é aumentada, observando ainda, que para a mesma concentração do H₂O₂, é encontrado uma maior remoção ao utilizar as menores concentrações do TiO₂. O autor justifica que em concentrações maiores do dióxido de titânio, o H₂O₂ pode estar sendo adsorvido na superfície do catalisador, reduzindo a atividade catalítica do mesmo.

O TiO₂ também foi significativo porém em menor escala que o H₂O₂. A combinação desses dois efeitos, resultou nas maiores mineralizações, no entanto, o maior percentual foi encontrado na combinação dos três efeitos em seus maiores níveis. O ponto central, diferentemente da degradação dos HPA, apresentou os menores valores de conversão do COT, indicando assim, que a proporção entre os níveis dos reagentes neste ponto, não foram satisfatórios para a mineralização dessa amostra.

No trabalho de Souza (2012), a conversão do COT, de valor inicial de $53,86 \text{ mgC.L}^{-1}$, utilizando o Foto-Fenton-like, foi de 48,07%, nos maiores níveis de H_2O_2 e tempo, 1 mL e 3 horas respectivamente, em radiação UV-A. Rocha (2010), em tratamento de solo contaminado por HPA, reduziu em 50,3% de COT, em reator de luz negra, utilizando Foto-Fenton.

No reator utilizando lâmpada *Sunlight*, o maior percentual de mineralização apresentou 66,02%, utilizando os maiores níveis das variáveis, H₂O₂, TiO₂ e tempo. Aljuboury e colaboradores (2015), asseguram que Fe^{2+/}H₂O₂/TiO₂ com radiação solar é satisfatoriamente eficiente para tratamento

de águas residuais de petróleo, no qual obteve maiores taxas de remoção, como exemplo, de COT, em condições ácidas, o que foi similar a este trabalho. Nogueira *et al.* (2004) *apud* Aljuboury *et al.* (2015) relatam que um estudo utilizando o "fon férrico, no sistema Fenton/TiO₂/radiação solar, obtiveram remoção do Carbono Orgânico Total de 70,3%".

Observa-se claramente que o tempo foi o efeito mais significativo, seguido do TiO₂. Nagel-Hassemer *et al.* (2012), concluíram que no tratamento, em efluentes têxteis, baixa redução do COT pode ser atribuída ao fato de que novas substâncias orgânicas são formadas durante o tratamento e que necessitam de um maior tempo para sua degradação. Com aumento do tempo, a mineralização cresceu e ao combinar os três fatores, obteve-se o maior valor percentual da mineralização, seguida a do ensaio com os níveis maiores do TiO₂ e tempo.

Não houve peróxido de hidrogênio residual no ensaio com os maiores níveis das três variáveis. Para o estudo com essa radiação, o H₂O₂ foi rapidamente consumido, gerando radicais hidroxilas que reagiram com os compostos orgânicos presentes na amostra, restando assim os radicais hidroxilas gerados pela ativação do TiO₂. Segundo estudos de Nogueira *et al.* (2004) da degradação de 4-clorofenol e o ácido dicloroacético usando radiação solar, foi observado que a presença do TiO₂ possibilita a melhora da remoção do COT a partir do momento que o H₂O₂ é consumido por completo.

Estudos, como Tiburtius *et al.* (2009), sugerem a reposição do peróxido de hidrogênio para aumento na eficiência na conversão do COT, em tratamento Foto-Fenton. Na Amostra 1, foi realizado um teste onde o peróxido de hidrogênio foi reposto. Conforme descrito anteriormente, o teste foi realizado adicionando 22,85 mmol de H₂O₂ e a cada 30 minutos adicionou-se 11,43 mmol do peróxido de hidrogênio até 90 minutos do ensaio. Após esse tempo, adicionou-se a cada 60 minutos 5,71 mmol de H₂O₂ até 210 minutos e o ensaio terminou totalizando 240 minutos. A radiação utilizada foi a S*unlight* e os maiores níveis das variáveis foram escolhidos. O resultado obtido com a reposição do peróxido de hidrogênio, não apresentou uma variação significativa, obtendo maior conversão no ensaio sem a reposição. Kong *et al.* (1998) *apud* Nogueira *et al.* (2007), relatam resultados de experimentos que ao se adicionar de uma só vez, volumes iguais de peróxido de hidrogênio de 1% e 15%, a maior concentração mostrou-se mais eficiente na degradação. Entretanto, ao se adicionar sequencialmente o H₂O₂ a

1%, foram obtidos resultados semelhantes ao da aplicação unitária de peróxido de hidrogênio a 15%.

Para a Amostra 1, temos duas situações distintas, devido às duas radiações a qual foi submetida. Após observações, concluiu-se que o tratamento com a radiação Sunlight apresentou uma maior eficiência na conversão do COT. Esse percentual de mineralização poderia ser aumentado, caso as concentrações das variáveis do experimento fossem ajustadas em valores maiores, além de um tratamento auxiliar que reduziria a carga orgânica (NAGEL-HASSEMER et al., 2012). Com a radiação UV-A, o tratamento na Amostra 1 não apresentou falta de H₂O₂, pois foram encontrados peróxido de hidrogênio residual, onde possivelmente, é atribuído a dificuldade de ativação do mesmo, em comprimentos de ondas maiores que 280 nm, conforme já citado. Ao longo de todo o tratamento, o peróxido de hidrogênio foi sendo consumido, consequentemente, gerando radicais hidroxilas e estes atacando os compostos orgânicos da amostra. A fotocatálise heterogênea acoplada ao H₂O₂, apresentouse mais eficiente na redução da carga orgânica do que o processo Foto-Fenton-Like, na utilização de ambas radiações. Ao adicionarmos o H₂O₂ ao TiO₂/UV, temos um aumento na mineralização. Silva(b) (2007) afirma que ao combinar-se os processos oxidativos, há uma contribuição na retirada da matéria orgânica. O estudo ainda apresenta algumas vantagens de se combinar o H₂O₂ com a fotocatálise heterogênea, como a oxidação direta de alguns compostos, produção de dois radicais hidroxila por molécula de H2O2 fotolisada e possibilidade de produzir radicais hidroxila com as lacunas e com os elétrons.

Na Amostra 2, o valor máximo da concentração do COT sem tratamento é de 13650 mgC.L⁻¹, demonstrando alto índice de carbono orgânico. Os resultados das análises de conversão do COT para Amostra 2 tratada nos reatores com lâmpadas UV-A e *Sunlight*, encontram-se na Figura 33 e 34, respectivamente.

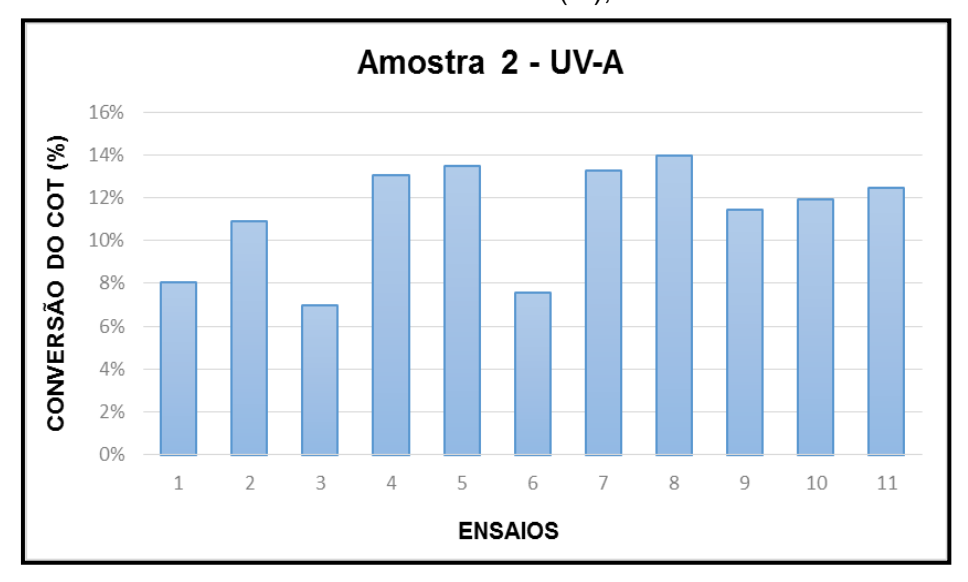
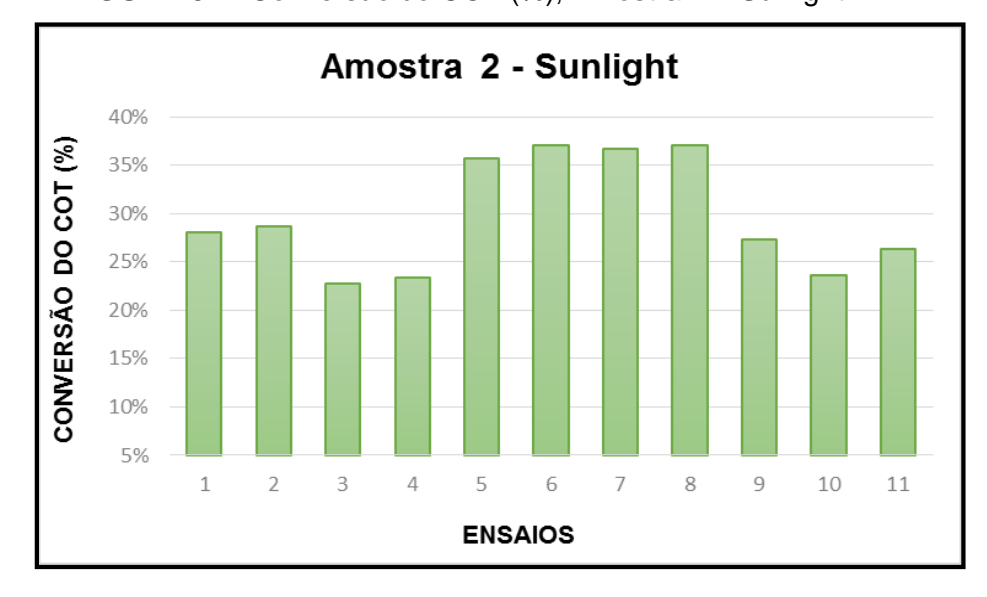


FIGURA 33 - Conversão do COT (%), Amostra 2 - UV-A.

FIGURA 34 - Conversão do COT (%), Amostra 2 - Sunlight.



O ensaio com os maiores níveis dos reagentes, proporcionou maior conversão do COT da Amostra 2 em ambas radiações.

A Tabela com os resultados da conversão do COT da Amostra 2 em termos percentuais, de ambas as radiações, encontra-se no Apêndice C (Tabela C-2).

A maior mineralização foi a do ensaio 8, onde foram combinados os maiores níveis de H₂O₂, TiO₂ e tempo, que são, respectivamente, 6 mL, 2000 mg.L⁻¹ g e 4 horas. O valor máximo obtido nesse experimento foi de 13,99% e 37,05% de conversão para as radiações UV-A e *Sunlight*, respectivamente.

A Amostra 2, submetida ao tratamento com a radiação *Sunlight,* apresentou melhor mineralização no ensaio obtido com os níveis máximos das variáveis anteriormente citadas. É possível observar que nesse experimento, o principal efeito significativo foi o tempo. Chong *et al.* (2010) afirmam que "para a fotocatálise heterogênea, os compostos orgânicos da fase líquida são degradados aos seus intermediários correspondentes e ainda mineralizados ao dióxido de carbono e à água, se o tempo de irradiação for prolongado."

Esta mesma amostra (Amostra 2) é caracterizada pela alta carga orgânica, 13650 mgC.L⁻¹, alto teor de Ferro de 38,97 mg.L⁻¹ e pH 3,5. Quando submetida às radiações UV-A e S*unlight*, no planejamento proposto, apresentaram baixos percentuais de conversão do COT. Apesar do COT muito alto, os reagentes foram calculados para quantidade de HPA e não do COT. Vários fatores podem justificar esse comportamento, são estes:

- Concentração do poluente: conforme Suave (2013), um alto índice de concentração inicial do poluente, possibilita a uma alta concentração de compostos intermediários adsorvidos, aumentando o tempo de irradiação que é preciso para a mineralização total, graças à competição pelo fotocatalisador não seletivo. Em concordância, Teixeira e Jardim (2004) afirmam que "a taxa de degradação fotocatalítica varia com a concentração inicial do contaminante orgânico." A cinética da mineralização, segundo Teixeira e Jardim (2004), "depende da facilidade com a qual o composto é oxidado" e de quanto este adsorve na superfície do catalisador, o dióxido de titânio. Chong e colaboradores (2010), apresentam pesquisas em que é sugerida dependência da taxa de reação fotocatalítica do dióxido de titânio sobre a concentração de contaminantes presentes na água. Os autores relatam que ao variar a concentração inicial dos contaminantes da água, nas mesmas condições de ensaios, derivará em tempos distintos de irradiação necessários para obter a mineralização completa ou a desinfecção. A concentração demasiadamente elevada de substratos orgânicos, satura a superfície do catalisador, TiO₂, além de reduzir a eficiência fotônica, ocasionando a inativação do fotocatalisador.
- Presença de sais inorgânicos: segundo Teixeira e Jardim (2004), algumas substâncias "podem interferir na eficiência dos processos fotocatalíticos", seja essa interferência inibição ou aceleração da velocidade degradativa dos

contaminantes. Os cloretos, sulfatos e fosfatos são ânions inorgânicos, no qual os autores afirmam que os mesmos inibem o processo, havendo a possibilidade de "reduzir a taxa de fotomineralização de 20-70%", visto à adsorção dos íons no catalisador, concorrendo pela adsorção do contaminante. Íons inorgânicos como cloretos, sulfatos, carbonatos, fosfatos e bicarbonatos, de acordo com Suave (2013), podem raptar radicais hidroxilas, adsorver sobre o fotocatalisador ou absorver radiação UV, afetando, consequentemente, a reação de oxidação. As Amostras 1 e 2, apresentam compostos derivados do petróleo, logo apresentam sais inorgânicos, pois os mesmos estão presentes após o refino do óleo cru, conforme citado neste trabalho na seção 2.1.

Em se tratando dos íons de ferro, Villa *et al.* (2007) ao estudar a utilização do processo Foto-Fenton com irradiação solar para efluentes de laticínios, observaram que realizando experimentos onde a concentração do Fe²⁺ foi variada, obtiveram um aumento no percentual de degradação do COT à medida que se aumentava a concentração do Fe²⁺. No entanto, estes autores notaram que a diferença entre a remoção do COT dos experimentos (onde se variou o íon do Ferro) foi reduzida ao aumentar-se o tempo de irradiação do ensaio. Eles concluem que a influência da concentração do Fe²⁺ é maior na velocidade da reação que "sobre a porcentagem final de degradação", isto é, do que na redução do COT.

Suave (2013) assegura que os íons de ferro, Fe²⁺ e Fe³⁺, quando na presença do peróxido de hidrogênio, "podem catalisar as reações de Fenton e Foto-Fenton". No processo Fenton, os íons ferrosos atuam como catalisadores na "quebra" do peróxido de hidrogênio, em meio com pH ácido, produzindo assim radicais hidroxilas com alta reatividade, capazes de reagir oxidando a maioria dos compostos orgânicos, ou matéria orgânica, que estão presentes nos efluentes (BRITO e SILVA, 2012).

No tratamento dos efluentes da indústria de papel e celulose, Silva(b) (2007) afirma que o pH, no POA com H₂O₂ e TiO₂, apresenta pouca influência na eliminação da matéria orgânica.

Sendo assim, para a Amostra 2, faz-se necessário o aumento da concentração dos reagentes, ou um pré-tratamento de modo que a carga orgânica, bem como os demais compostos presentes na amostra, sejam reduzidos.

A fotocatálise heterogênea com TiO₂ e com adição de H₂O₂, utilizando radiação *Sunlight*, em ambas as amostras, apresentou maior eficiência na mineralização do COT. Quando as concentrações dos reagentes forem ajustadas, esse tratamento é eficaz na remoção do carbono orgânico total, para amostras contendo derivados de petróleo e com alto teor de carga orgânica.

A degradação dos HPA, nas mesmas condições experimentais, apresentaram valores percentuais mais altos e foram mais eficazes que a mineralização do COT, na Amostra 1 e na Amostra 2. Além dos motivos supracitados, os compostos aromáticos são mais facilmente oxidados que os compostos alifáticos, quando submetidos às mesmas condições (SUAVE, 2013). Conforme Luan *et al.* (2017), a oxidação completa de contaminantes orgânicos em CO₂ e H₂O é difícil visto a formação de compostos intermediários mais refratários.

Flotron e associados (2005), ao estudarem o POA do tipo Fenton na degradação de HPA, constataram que deve existir uma otimização nos valores dos reagentes adicionados, visto que ficou comprovado a concorrência entre o HPA e a matéria orgânica natural para reagirem com as hidroxilas, além da concorrência entre os HPA.

5.6 MODELAGEM CINÉTICA

Para realização do estudo cinético das amostras, foram utilizadas as melhores condições operacionais de conversão do COT, ou seja, o maior nível de peróxido de hidrogênio (68,56 mmol) e de dióxido de titânio (2000 mg.L⁻¹). O tempo de reação foi extrapolado até 360 minutos de reação e o resultado obtido dessa conversão está apresentado graficamente.

As Figuras 35 e 36 apresentam o gráfico da conversão do COT da Amostra 1 do reator UV-A e do reator *Sunlight* respectivamente.

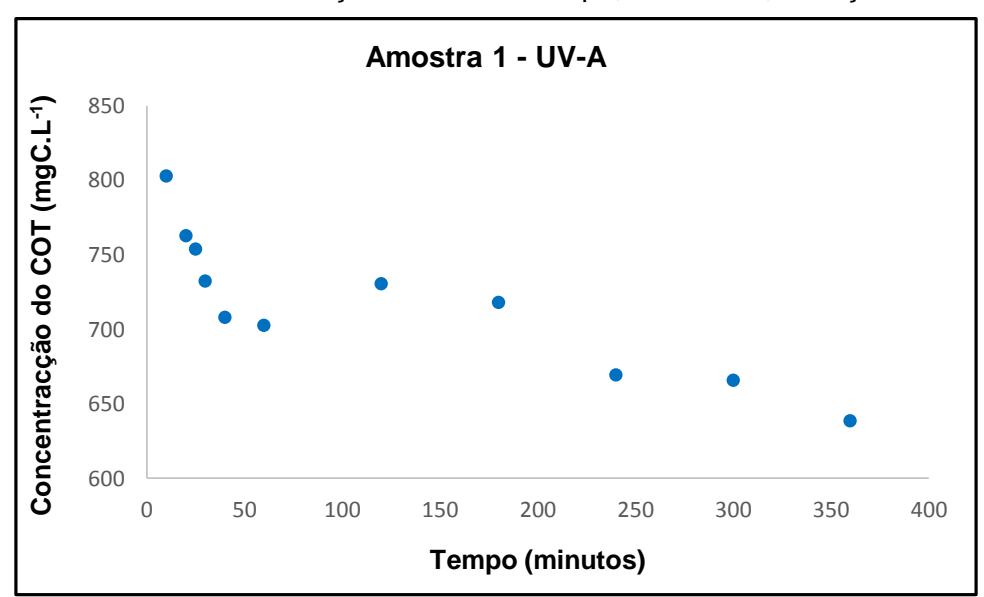
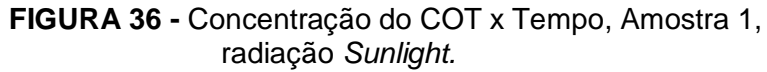
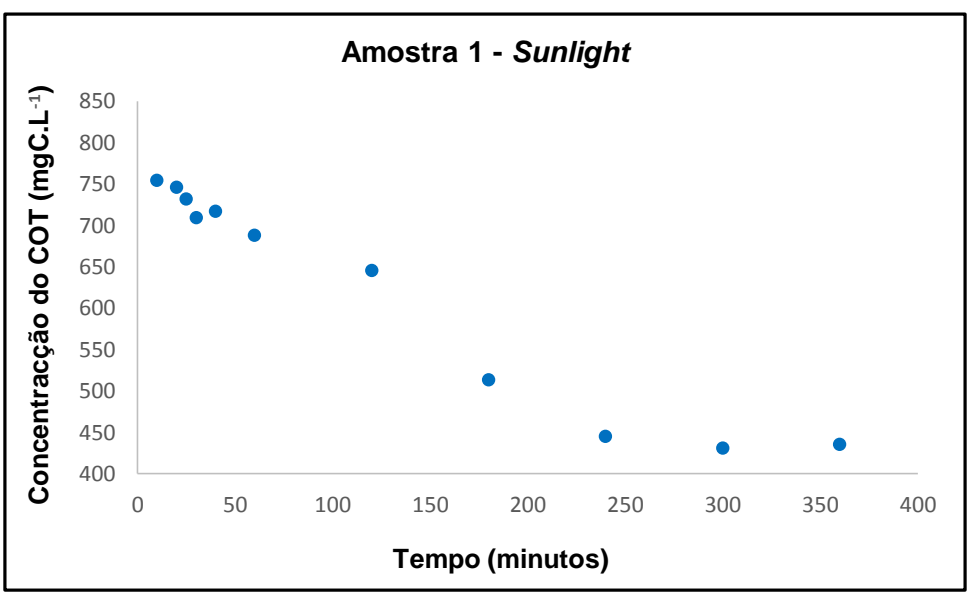


FIGURA 35 - Concentração do COT x Tempo, Amostra 1, radiação UV-A.





As Figuras 35 e 36 apresentaram gráficos onde foi possível observar uma mineralização parcial dos compostos, onde a concentração do COT ao passar do tempo foi reduzindo. A máxima conversão do COT nesse estudo cinético foi de 22,33% no reator UV-A e 51,07% no reator *Sunlight*.

Para a Amostra 2, as Figuras 37 e 38 apresentam o gráfico da conversão do COT do reator UV-A e do reator *Sunlight* respectivamente.

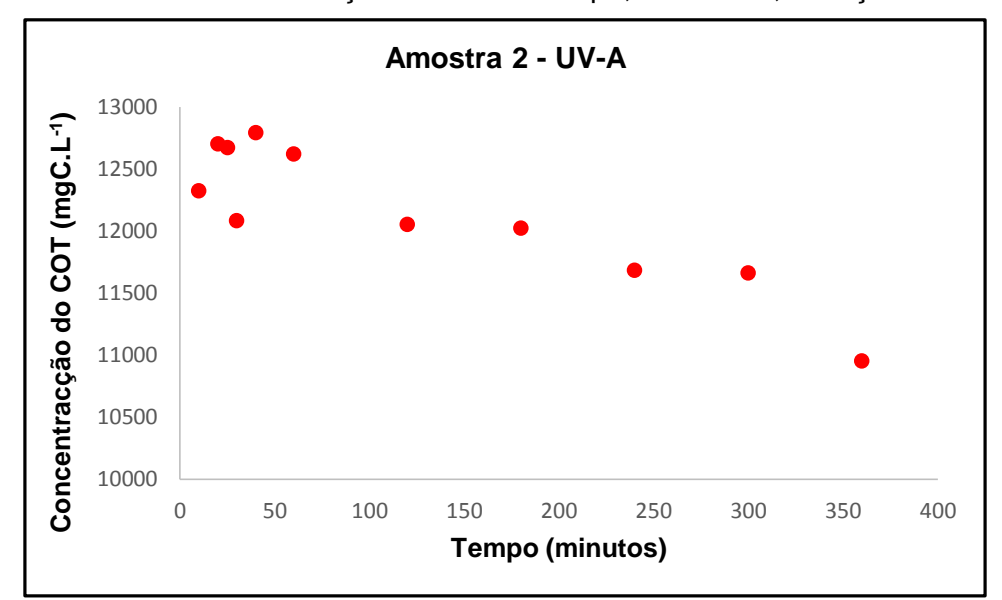
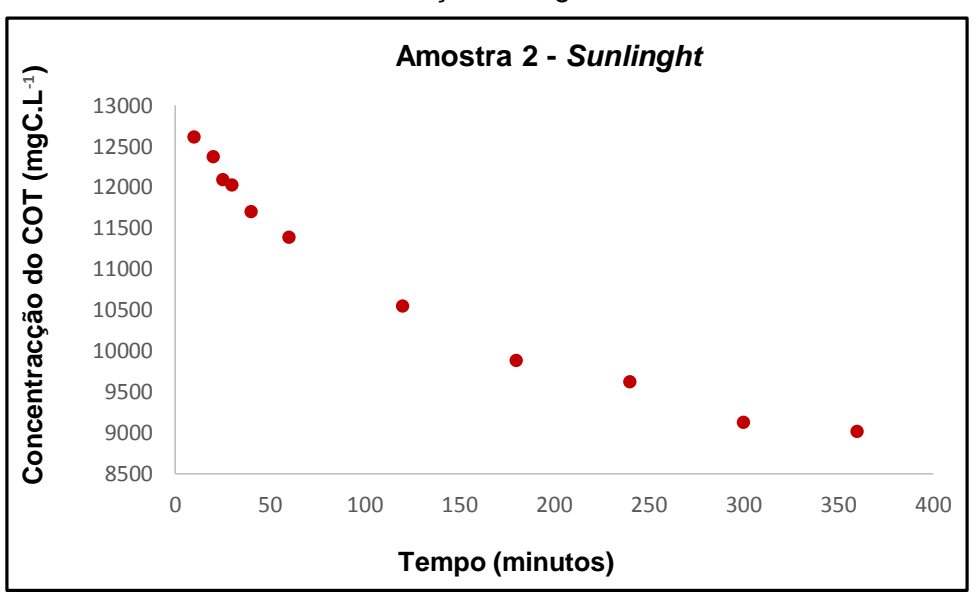


FIGURA 37 - Concentração do COT x Tempo, Amostra 2, radiação UV-A.

FIGURA 38 - Concentração do COT x Tempo, Amostra 2, radiação *Sunlight*.



Na Amostra 2, também houve uma mineralização parcial dos compostos, onde a concentração do COT ao passar do tempo foi reduzindo. A máxima conversão do COT nesse estudo cinético foi de 35,87% no reator UV-A e 17,17% no reator *Sunlight*.

No processo Foto-Fenton, a formação de produtos intermediários desconhecidos são as possíveis causas para uma baixa mineralização (SOUZA, 2012). Apesar da literatura aconselhar a reposição do peróxido de hidrogênio

para aumento na mineralização, foi verificado e não houve uma variação significativa nessa mineralização, conforme mencionado anteriormente.

O estudo cinético baseado no planejamento realizado, atendeu ao processo Foto-Fenton e a Fotocatálise Heterogênea, a cinética do tipo *Lumped Kinetic Model* foi adotada, e o esquema reacional está descrito na Figura 12. As constantes de velocidade considerada são de primeira ordem, onde k₁, é referente à constante de velocidade da formação dos produtos intermediários, k₂ é referente à mineralização dos produtos intermediários e k₃ é a constante de velocidade referente à formação dos produtos finais, CO₂ e H₂O.

Em se tratando da Amostra 1, dos ensaios no reator UV-A, as constantes de velocidade foram obtidas realizando regressões não lineares a partir da Equação 19, utilizando dados experimentais da Tabela 24. Os valores do COT/COT₀ experimentais e teórico conforme o modelo cinético proposto utilizado, estão dispostos na Tabela 24. Os resultados dos valores das constantes estão apresentados na Tabela 25.

TABELA 24 - Valores experimentais e teóricos do COT/COT₀, Amostra 1, UV-A.

| t (min.) | СОТ | COT/COT₀ | COT/COT ₀ | е |
|----------|------------------------|----------|----------------------|---------|
| | (mgC.L ⁻¹) | (exper.) | (modelo - teórico) | |
| 0 | 822,2 | 1,00 | 1,00 | 0,0000 |
| 10 | 802,9 | 0,98 | 0,92 | 0,0578 |
| 20 | 763 | 0,93 | 0,91 | 0,0136 |
| 25 | 754 | 0,92 | 0,91 | 0,0047 |
| 30 | 732,4 | 0,89 | 0,91 | -0,0194 |
| 40 | 708,3 | 0,86 | 0,91 | -0,0445 |
| 60 | 702,6 | 0,85 | 0,90 | -0,0431 |
| 120 | 730,8 | 0,89 | 0,87 | 0,0159 |
| 180 | 718 | 0,87 | 0,85 | 0,0243 |
| 240 | 669,4 | 0,81 | 0,83 | -0,0114 |
| 300 | • | , | · | • |
| 360 | 665,7 | 0,81 | 0,80 | 0,0067 |
| | 638,6 | 0,78 | 0,78 | -0,0041 |

Sendo e= (COT/COT₀ exp.- COT/COT₀ modelo - teórico).

| TABELA 25 - Constantes de velocidade da Amostra 1 |
|---|
| no ensaio com a radiação UV-A. |

| Constantes de Vel | Equação | |
|-----------------------|------------------------|--|
| k ₁ | 0,722 | v 0.9496v v 0.4694 |
| k ₂ | 4,6 x 10 ⁻⁴ | y = 0.8186x + 0.1601 $R^2 = 0.8186$ |
| k 3 | 0,061 | |

A constante de velocidade (k₁) na formação dos produtos intermediários é a maior constante. A constante de velocidade (k₃) na formação dos produtos finais biodegradáveis, apresenta-se uma velocidade maior que a mineralização dos produtos intermediários, porém abaixo da formação dos produtos intermediários.

A Figura 39 apresenta o ajuste do modelo cinético aos dados experimentais da conversão do COT/COT₀ versus tempo. A Figura 40 apresenta COT/COT₀ experimental versus *o* COT/COT₀ teórico, ambas referentes à Amostra 1 tratada no reator com lâmpada UV-A.

FIGURA 39 - Ajuste do modelo cinético agrupado aos dados experimentais da conversão do COT pelo processo UV/H₂O₂/TiO₂, com as variáveis H₂O₂= 68,56 mmol, TiO₂=2000mg.L⁻¹ e tempo máximo 6 horas, Amostra 1, radiação UV-A.

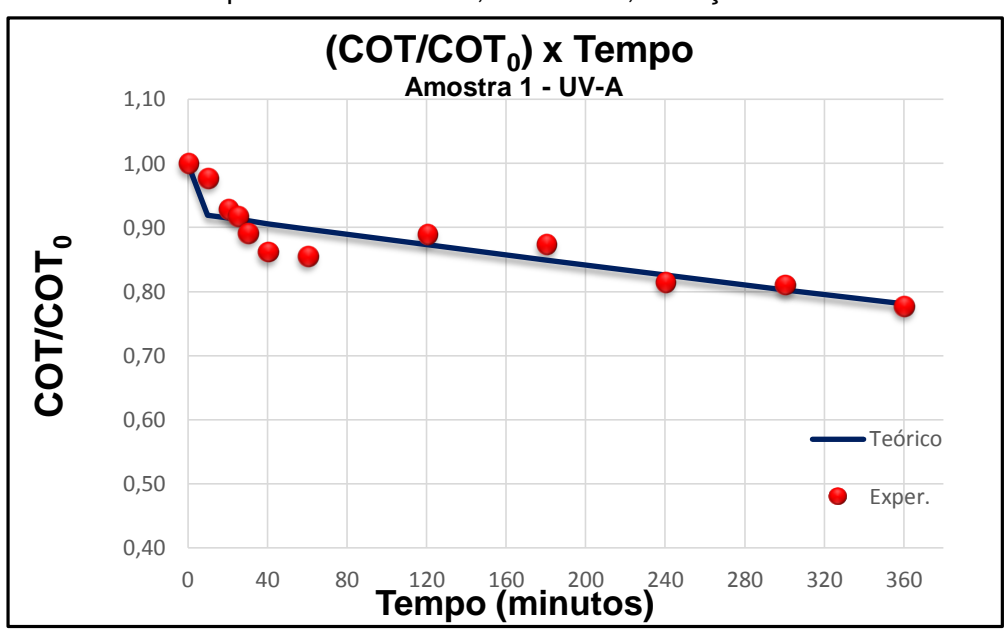
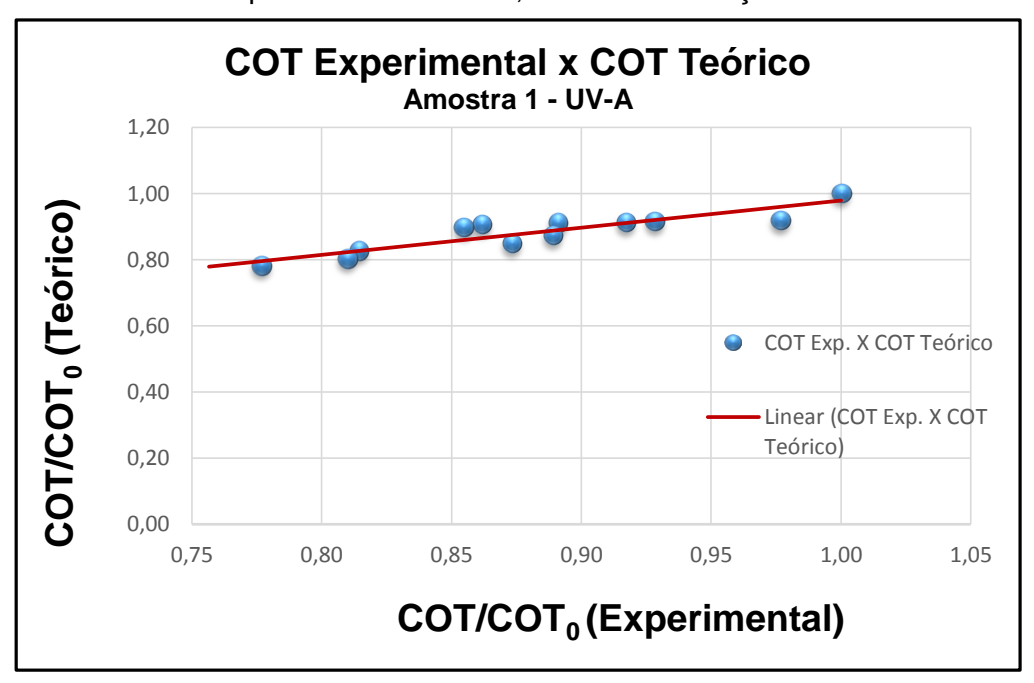


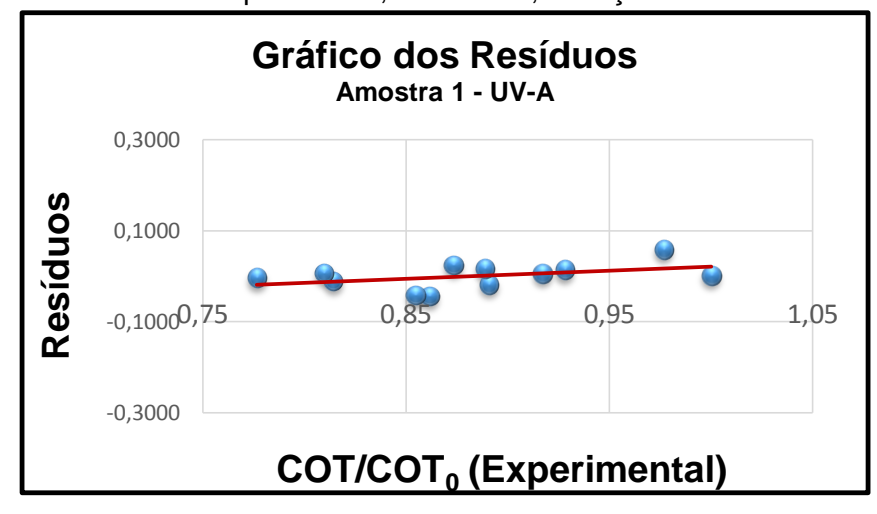
FIGURA 40 - Comparação dos valores do COT residual experimental e o teórico previsto pelo modelo cinético agrupado pelo processo UV/H₂O₂/TiO₂, com as variáveis, = 68,56 mmol, TiO₂=2000mg.L⁻¹ e tempo máximo= 6 horas, Amostra 1 radiação UV-A.



Levando em consideração que a amostra estudada é um amostra real, os pontos experimentais encontram-se próximos aos valores teóricos, considerando assim um bom ajuste para os dados calculados, observado também a partir do ajuste do modelo cinético (Fig. 39).

Foi calculado o erro residual e apresentado graficamente na Figura 41. A diferença entre os valores teóricos e os experimentais não foi significativa, concluindo assim que o modelo cinético representa satisfatoriamente a conversão do COT.

FIGURA 41- Desvio relativo do COT em função do valor do COT experimental, Amostra 1, radiação UV-A.



Em se tratando da Amostra 1, ensaios no reator Sunlight, obtiveram as seguintes constantes de velocidade, apresentadas na Tabela 27.

Para Amostra 1, dos ensaios no reator Sunlight, as constantes de velocidade foram obtidas realizando regressões não lineares a partir da Equação 19, utilizando dados experimentais da Tabela 26. Os valores do COT/COT₀ experimentais e teórico conforme o modelo cinético proposto utilizado, estão dispostos na Tabela 26: Os resultados obtidos das constantes de velocidade estão apresentados na Tabela 27.

TABELA 26 - Valores experimentais e teóricos do COT/COT₀, Amostra 1, *Sunlight*.

| | | | , 3 | |
|----------|-------------------------|----------------------|----------------------|----------|
| t (min.) | COT | COT/COT ₀ | COT/COT ₀ | |
| | (mg.C.L ⁻¹) | (exper.) | (modelo - teórico) | <u>e</u> |
| 0 | 879,8 | 1,00 | 1,00 | 0,0000 |
| 10 | 753,9 | 0,86 | 0,85 | 0,0022 |
| 20 | 745,9 | 0,85 | 0,84 | 0,0091 |
| 25 | 731,4 | 0,83 | 0,83 | 0,0004 |
| 30 | 709,2 | 0,81 | 0,82 | -0,0170 |
| 40 | 716,6 | 0,81 | 0,81 | 0,0067 |
| 60 | 687,6 | 0,78 | 0,78 | 0,0036 |
| 120 | 645,5 | 0,73 | 0,70 | 0,0387 |
| 180 | 512,9 | 0,58 | 0,62 | -0,0379 |
| 240 | 445 | 0,51 | 0,55 | -0,0489 |
| 300 | 430,5 | 0,49 | 0,50 | -0,0062 |
| 360 | 435,2 | 0,49 | 0,44 | 0,0520 |

Sendo e= (COT/COT₀ exp.- COT/COT₀ modelo - teórico).

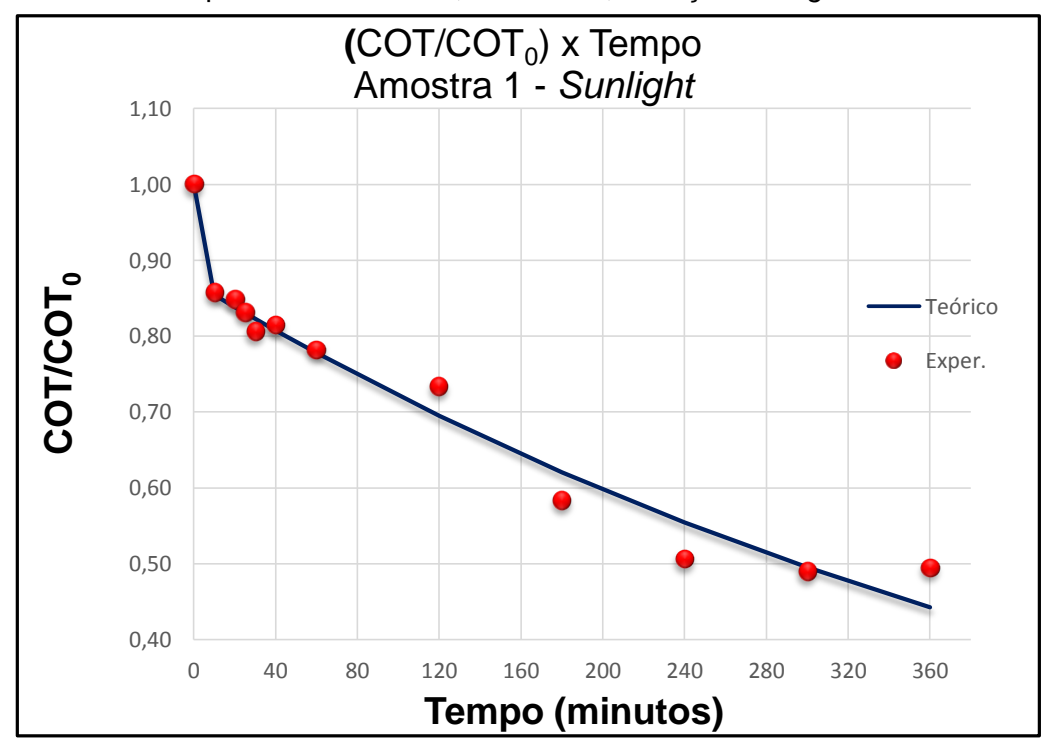
| TABELA 27 - Constantes de velocidade da Amostra 1 |
|---|
| no ensaio com radiação Sunlight. |

| Constantes de veloc | cidade (min ⁻¹) | Equação |
|-----------------------|-----------------------------|---------------------------------------|
| k ₁ | 0,724 | |
| k_2 | 0,002 | y = 0.9785x + 0.0155 $R^2 = 0.973$ |
| k ₃ | 0,109 | |

As constantes de velocidade da reação com a lâmpada *Sunlight* se comportaram de forma semelhante às constantes de velocidade com a lâmpada UV-A da Amostra 1. Apenas na constante relativa à mineralização dos compostos intermediários (k₂), houve uma pequena variação positiva. O k₃, que é a constante de mineralização da amostra, formação dos produtos CO₂ e H₂O apresentou-se mais alto que o do reator UV-A.

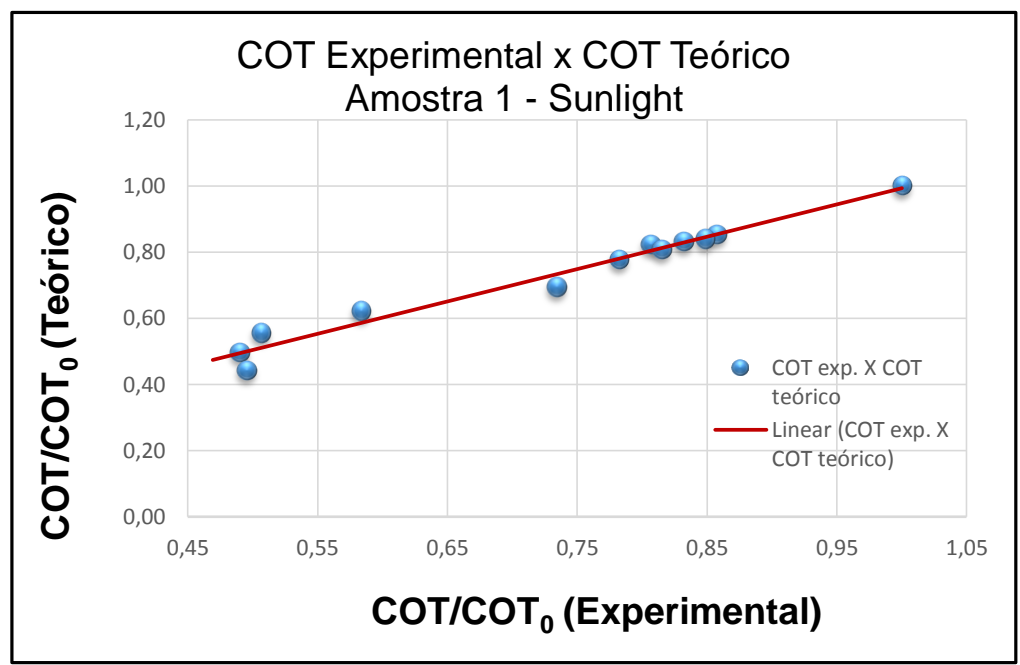
A Figura 42 apresenta o ajuste do modelo cinético aos dados experimentais da conversão do COT/COT₀ versus tempo.

FIGURA 42 - Ajuste do modelo cinético agrupado aos dados experimentais da conversão do COT pelo processo UV/H₂O₂/TiO₂, com as variáveis, H₂O₂= 68,56 mmol, TiO₂=2000 mg.L⁻¹ e tempo máximo 6 horas, Amostra 1, radiação *Sunlight*.



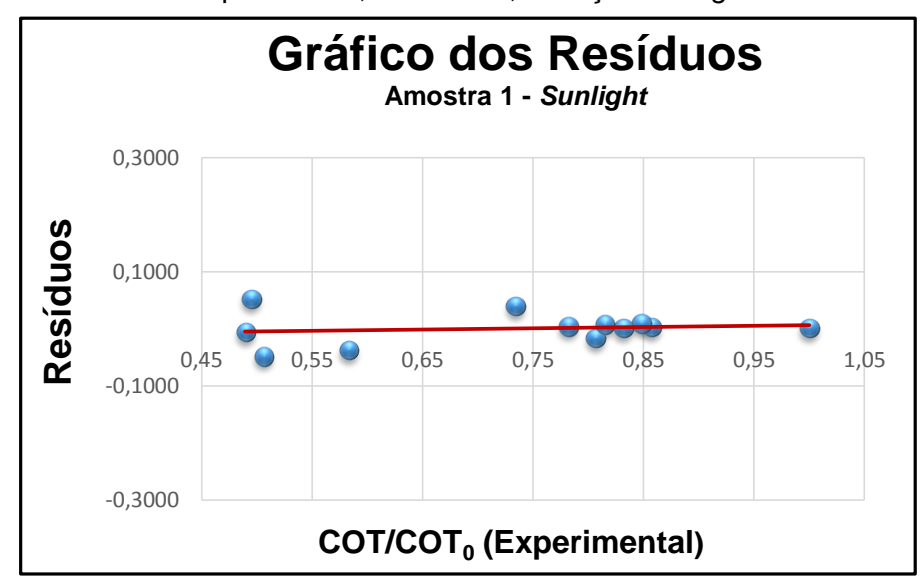
A Figura 43 apresenta COT experimental versus o COT teórico, ambas resultados do ensaio no reator *Sunlight* da Amostra 1.

FIGURA 43 - Comparação dos valores do COT residual experimental e o teórico previsto pelo modelo cinético agrupado pelo processo UV/H₂O₂/TiO₂, com as variáveis, H₂O₂= 68,56 mmol, TiO₂=2000mg.L⁻¹ e tempo máximo= 6 horas, Amostra 1, radiação *Sunlight*.



Pode ser observado um bom ajuste cinético para o ensaio. O gráfico do erro residual *versus* o valor experimental do COT/COT₀ apresenta-se na Figura 44.

FIGURA 44 - Desvio relativo do COT em função do valor do COT experimental, Amostra 1, radiação *Sunlight*.



A diferença entre os valores teóricos e os experimentais não é significativa, concluindo assim que o modelo cinético representa satisfatoriamente a conversão do COT.

No estudo cinético da Amostra 1, em ambos os reatores de radiações UV-A e *Sunlight*, as constantes de velocidade demonstraram que k₁, correspondente a formação dos compostos intermediários, é muito mais rápida que k₃, velocidade de mineralização da amostra em CO₂ e H₂O. A constante de velocidade de mineralização dos compostos intermediários, k₂, foi a menor velocidade observada.

Conforme já mencionado, a intensidade da luz afeta na cinética da degradação. Foi possível constatar no presente estudo, um aumento significativo em k₂ e k₃, que são as constantes de velocidade da mineralização dos produtos intermediários e dos contaminantes, respectivamente, nos ensaios com a radiação S*unlight*, que apresenta uma intensidade maior que a UV-A.

Na Amostra 1, as constantes de mineralização da amostra (k₃) foram de 0,061min⁻¹ e 0,109 min⁻¹ para a radiação UV-A e *Sunlight*, respectivamente, gerando um aumento de aproximadamente 78,7%. Suave (2013) afirma que o aumento da potência da lâmpada ocasiona em um aumento na velocidade da reação. Neste mesmo estudo, Suave (2013), obteve uma constante de 0,33.10⁻² min⁻¹ utilizando uma lâmpada de 80W e 0,52.10⁻² min⁻¹, ao utilizar uma lâmpada de 125 W, obtendo um aumento de aproximadamente 58%.

Os valores do COT/COT₀ experimentais e teóricos conforme o modelo cinético proposto, para o ensaio com o reator UV-A, encontram-se na Tabela 28.

Na Amostra 2, dos ensaios no reator com radiação UV-A, as constantes de velocidade foram obtidas realizando regressões não lineares a partir da Equação 19, utilizando dados experimentais da Tabela 28.

Nesta (Tab. 28), é possível observar que os valores experimentais ficaram próximos aos valores teóricos. Os erros apresentados foram baixos.

TABELA 28 - Valores experimentais e teóricos do COT/COT₀, Amostra 2, UV-A.

| t (min.) | COT (mgC.L ⁻¹) | COT/COT ₀ (exper.) | COT/COT ₀ (modelo - teórico) | е |
|------------------|-------------------------------|-------------------------------|---|----------|
| 0 | 13220 | 1,00 | 1,00 | 0,000 |
| 10 | 12320 | 0,93 | 0,95 | -0,02215 |
| 20 | 12700 | 0,96 | 0,95 | 0,00981 |
| 25 | 12670 | 0,96 | 0,95 | 0,00914 |
| 30 | 12080 | 0,91 | 0,95 | -0,03389 |
| 40 | 12790 | 0,97 | 0,94 | 0,02300 |
| 60 | 12620 | 0,95 | 0,94 | 0,01648 |
| 120 | 12050 | 0,91 | 0,92 | -0,00786 |
| 180 | 12020 | 0,91 | 0,90 | 0,00826 |
| 240 | 11680 | 0,88 | 0,88 | 0,00057 |
| 300 | 11660 | 0,88 | 0,87 | 0,01673 |
| 360 Sanda a 1 | 10950 | 0,83 | 0,85 | -0,01967 |

Sendo $e = COT/COT_0 exp.- COT/COT_0 modelo-teórico.$

A Tabela 29 apresenta as constantes de velocidade obtidas: k_1 , constante de velocidade de formação dos produtos intermediários; k_2 , constante de velocidade referente a mineralização dos produtos intermediários; e k_3 , constante de velocidade referente à formação dos produtos finais, CO_2 e H_2O .

TABELA 29 - Constantes de velocidade da Amostra 2 no ensaio com radiação UV-A.

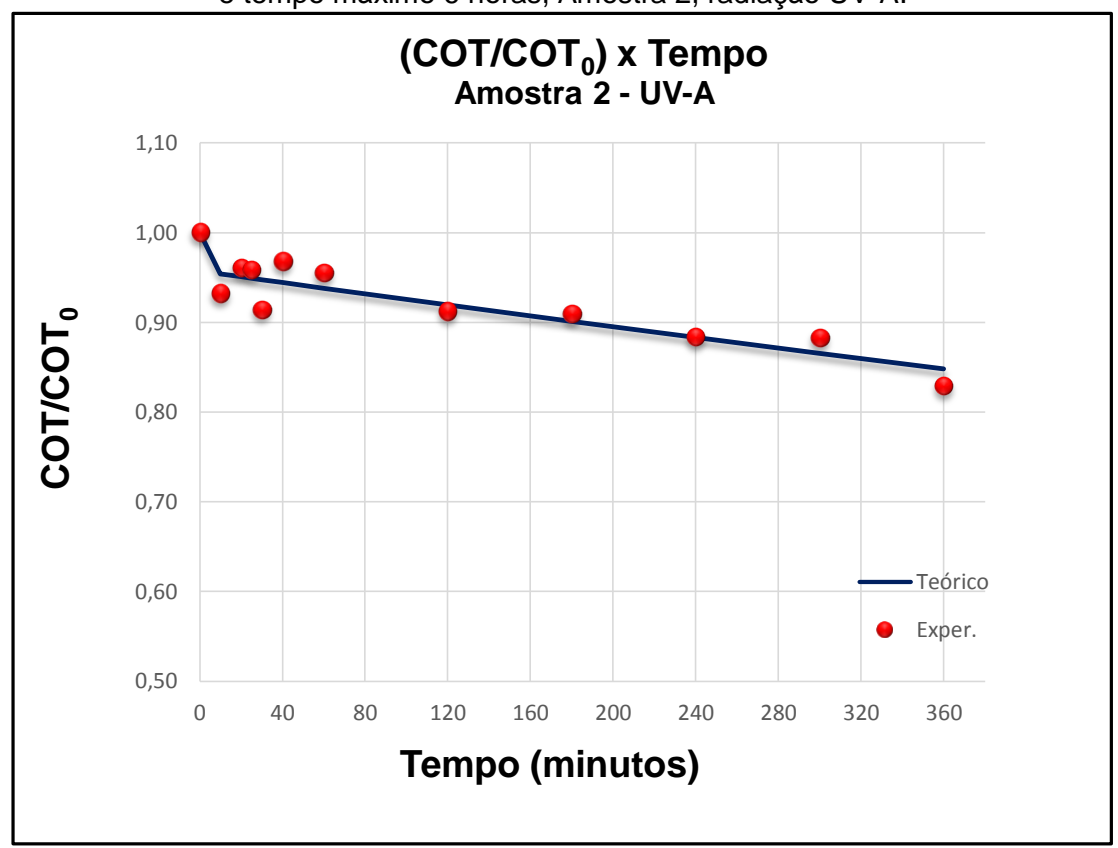
| Constantes | de Velocidade (min ⁻¹) | Equação |
|-----------------------|------------------------------------|-------------------------------------|
| k ₁ | 0,958 | v – 0.9562v i 0.122 |
| k ₂ | 3,37 x10 ⁻⁴ | $y = 0.8562x + 0.133$ $R^2 = 0.859$ |
| k ₃ | 0,043 | |

A constante de velocidade k_1 , apresentou um valor alto, maior que a do reator com lâmpada UV-A da Amostra 1. As constantes, porém, da mineralização

da amostra, k₃, e k₂, da mineralização dos produtos intermediários, apresentaram valores mais baixos, porém aproximados ou semelhantes ao da Amostra 1.

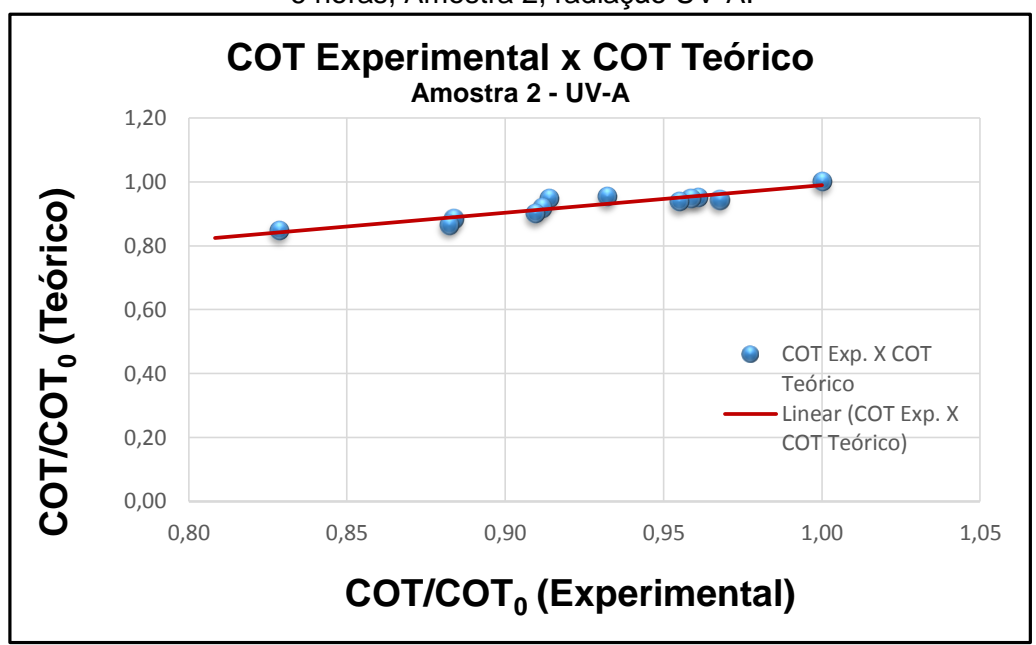
A Figura 45 apresenta o ajuste do modelo cinético aos dados experimentais da conversão do COT/COT₀ versus tempo.

FIGURA 45 - Ajuste do modelo cinético agrupado aos dados experimentais da conversão do COT pelo processo UV/H₂O₂/TiO₂, com as variáveis, H₂O₂= 68,56 mmol,, TiO₂=2000mg.L⁻¹ e tempo máximo 6 horas, Amostra 2, radiação UV-A.



Na Figura 46, é apresentado o COT experimental versus o COT teórico da Amostra 2, obtidos no ensaio com o reator utilizando radiação UV-A.

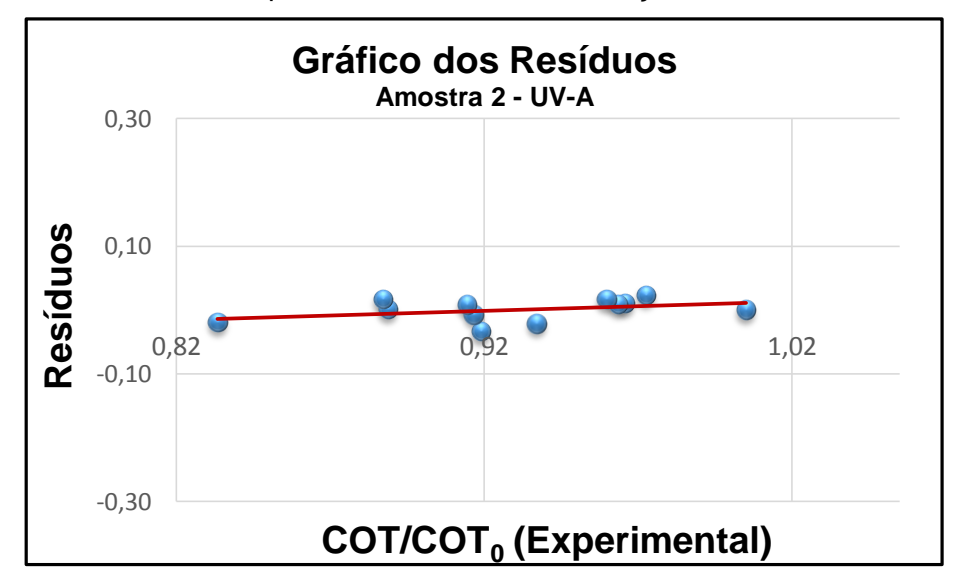
FIGURA 46 - Comparação dos valores do COT residual experimental e o teórico previsto pelo modelo cinético agrupado pelo processo UV/ H_2O_2/TiO_2 , com as variáveis, $H_2O_2=68,56$ mmol, $TiO_2=2000$ mg. L^{-1} e tempo máximo 6 horas, Amostra 2, radiação UV-A.



A Figura 46 permite a visualização da aproximação dos valores experimentais com os valores teóricos

O gráfico do erro residual *versus* o valor experimental do COT/COT₀ apresenta-se na Figura 47.

FIGURA 47 - Desvio relativo do COT em função do valor do COT experimental, Amostra 2, radiação UV-A.



Através do gráfico foi possível identificarmos a variação do erro apresentada, que é mínima.

Nos ensaios da Amostra 2 no reator com radiação *Sunlight*, as constantes de velocidade foram obtidas realizando regressões não lineares a partir da Equação 19, utilizando dados experimentais da Tabela 30. Os resultados estão apresentados na Tabela 31.Os valores do COT/COT₀ experimentais e teóricos conforme o modelo cinético proposto utilizado, estão dispostos na Tabela 30:

TABELA 30 - Valores experimentais e teóricos do COT/COT₀, Amostra 2, *Sunlight*.

| t (min.) | COT (mgC.L ⁻¹) | COT/COT ₀ (exper.) | COT/COT ₀ (modelo - teórico) | е |
|----------|-------------------------------|-------------------------------|--|---------|
| 0 | 14060 | 1,00 | 1,00 | 0,00000 |
| 10 | 12610 | 0,90 | 0,87 | 0,02758 |
| 20 | 12370 | 0,88 | 0,86 | 0,01930 |
| 25 | 12090 | 0,86 | 0,86 | 0,00374 |
| 30 | 12030 | 0,86 | 0,85 | 0,00381 |
| 40 | 11700 | 0,83 | 0,84 | 0,01106 |
| 60 | 11390 | 0,81 | 0,83 | 0,01616 |
| 120 | 10550 | 0,75 | 0,78 | 0,02708 |
| 180 | 9882 | 0,70 | 0,73 | 0,02864 |
| 240 | 9626 | 0,68 | 0,69 | 0,00362 |
| 300 | 9126 | 0,65 | 0,65 | 0,00149 |
| 360 | 9016 | 0,64 | 0,61 | 0,03193 |

Sendo e= COT/COT₀ exp.- COT/COT₀ modelo - teórico.

TABELA 31 - Constantes de velocidade da Amostra 2 no ensaio com lâmpada *Sunlight*.

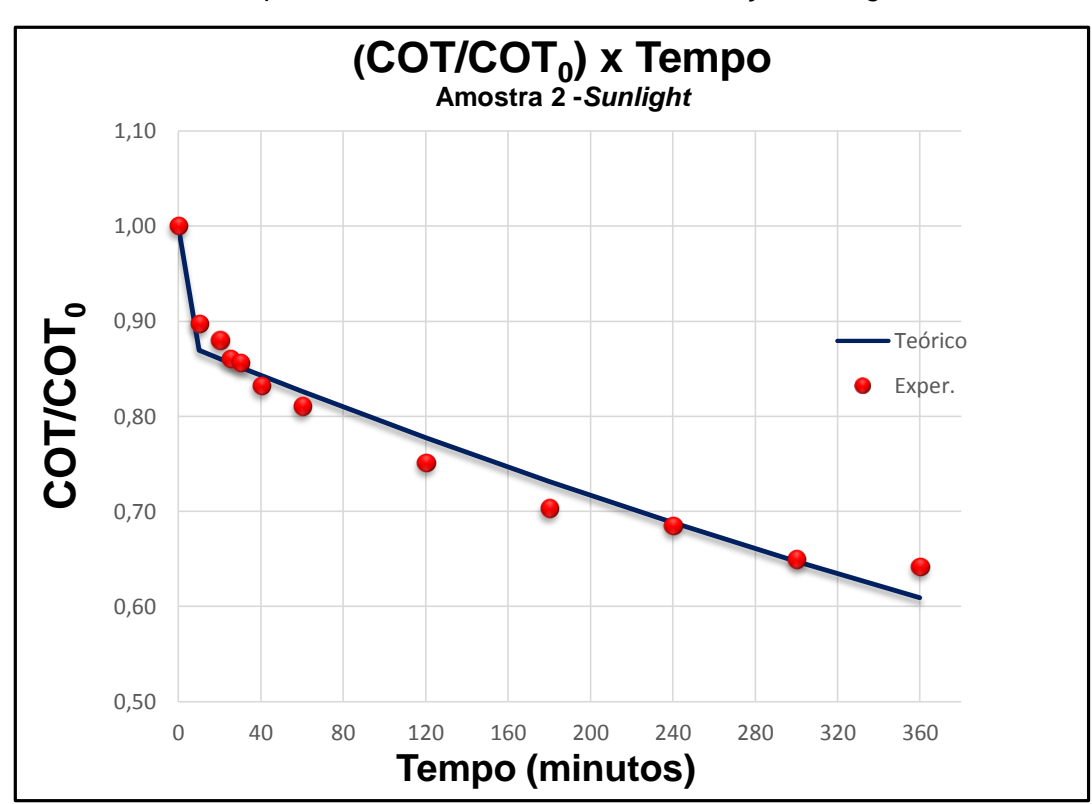
| Constantes d | e Velocidade (min ⁻¹) | Equação |
|-----------------------|-----------------------------------|----------------------|
| k ₁ | 0,915 | y = 0,9752x + 0,0196 |
| k ₂ | 0,001 | $R^2 = 0,9698$ |
| k ₃ | 0,128 | |

As constantes de velocidade apresentaram valores diferentes do experimento da Amostra 1, neste mesmo reator, porém se comportaram de maneira semelhante as do ensaio no reator de lâmpada UV-A da Amostra 2.

Em mais um estudo cinético, foi possível observar que os valores experimentais ficaram próximos aos valores teóricos, apresentando pequenas variações.

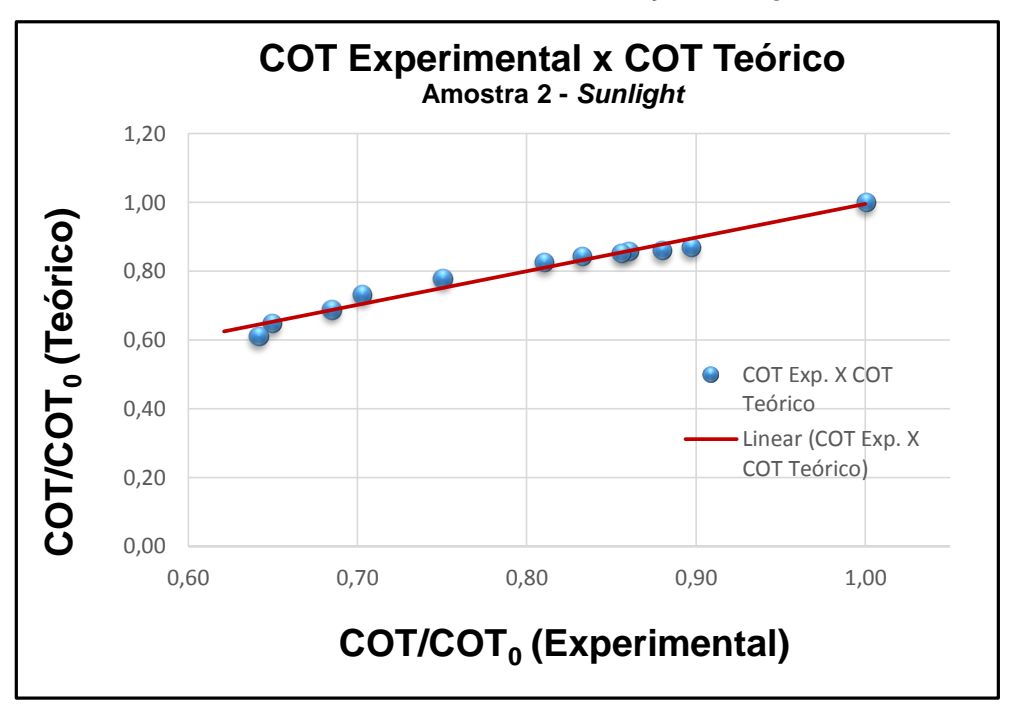
A Figura 48 apresenta o ajuste do modelo cinético aos dados experimentais da conversão do COT/COT₀ versus tempo.

FIGURA 48 - Ajuste do modelo cinético agrupado aos dados experimentais da conversão do COT pelo processo UV/H₂O₂/TiO₂, com as variáveis, H₂O₂= 68,56 mmol, TiO₂=2000 mg.L⁻¹ e tempo máximo 6 horas, Amostra 2, radiação *Sunlight*.



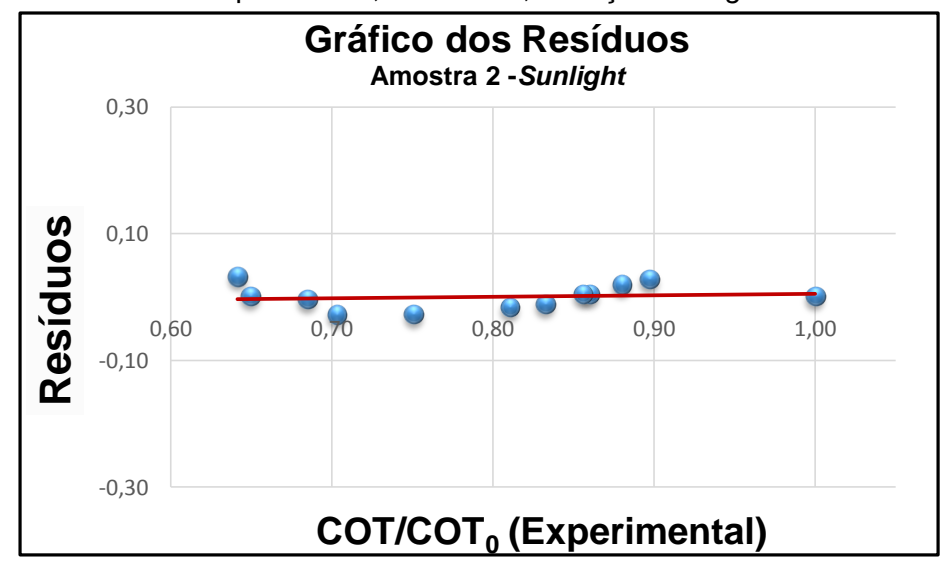
A Figura 49 apresenta o resultado do COT experimental versus o COT teórico do ensaio da Amostra 2 no reator com radiação *Sunlight*.

FIGURA 49 - Comparação dos valores do COT residual experimental e o teórico previsto pelo modelo cinético agrupado pelo processo UV/H₂O₂/TiO₂, com as variáveis, H₂O₂= 68,56 mmol, TiO₂=2000mg.L⁻¹ e tempo máximo 6 horas, Amostra 2, radiação *Sunlight*.



O modelo teórico ajustou-se satisfatoriamente nesse estudo, apresentando pequeno desvio do valor experimental. O gráfico do erro, na Figura 50, demonstra claramente esses desvios.

FIGURA 50 - Desvio relativo do COT em função do valor do COT experimental, Amostra 2, radiação *Sunlight*.



Na Amostra 2, os estudos cinéticos apresentaram semelhança comportamental entre si e com a Amostra 1. As velocidades de formação dos compostos intermediários (k_1), no reator UV-A e reator S*unlight* foi bem maior que k_3 , que é a constante da mineralização da amostra; e a constante da mineralização dos compostos intermediários, apresentou um valor muito baixo (reator UV-A: k_2 =0,000337 min⁻¹; reator *Sunlight*: k_2 =0,001 min⁻¹).

Nas Amostras 1 e 2, através do estudo cinético, foi possível observar que ambas apresentam altas constantes de velocidade para formação dos compostos intermediários, porém a, mineralização de tais compostos ocorrem com uma velocidade baixa, sendo menores ainda nos reatores UV-A. A mineralização dos compostos orgânicos em CO₂ e H₂O, apresentam uma velocidade intermediária. A dificuldade na oxidação total dos contaminantes orgânicos em CO₂ e H₂O pode ser atribuída à formação dos produtos intermediários mais refratários, o que no presente estudo apresentou uma constante de velocidade elevada (LUAN *et al.*, 2017; ZAIDAN, 2015). Semelhantemente a este estudo, em Souza (2012), a constante da velocidade de mineralização do composto orgânico em composto biodegradável, k₃, apresentou-se menor que a constante de velocidade da formação de produtos intermediários refratários. Mais uma vez, foi corroborado o que mencionou Suave (2013), em se tratando da intensidade da radiação e seu efeito sobre a cinética da degradação, pois os valores de mineralização, k₂ e k₃, na radiação S*unlight*, foram maiores que na radiação UV-A, em ambas amostras.

5.7 ENSAIO DA TOXICIDADE

Os bioensaios de toxicidade foram realizados com as amostras antes e após o tratamento, nas condições onde foram obtidos os maiores percentuais de degradação dos HPA. Utilizou-se quatro tipos de sementes de hortaliças e 1 semente de grão, foram estas:

- Hortaliças:
- Agrião Seco de Folha Larga (Upland Cress);
- Rúcula Apreciatta Folha Larga (Rocket Apreciatta Large Leaf);
- Chicória Lisa Escarola Coração Cheio (Endive Green Full Heart);

- Alface Mimosa Roxa Salad Bowl (Lettuce Red Salad Bowl).
- ➢ Grão
- Trigo (Americano Hard).

No controle positivo, foi utilizado como agente estressor o ácido bórico a 3%, não houve germinação em nenhuma semente, comprovando assim a inibição do crescimento das raízes.

A Tabela 32 apresenta o resultado do teste de toxicidade, onde as sementes em estudos foram testadas nas concentrações específicas da Amostra 1 submetida ao tratamento no melhor ensaio obtido do POA estudado, isto é, nos maiores níveis das variáveis H₂O₂, TiO₂ e tempo.

Todas as sementes germinaram na água, que é o controle negativo e em nenhuma semente houve germinação no controle positivo, que é a solução de ácido bórico. Através dos dados apresentados, foi possível observar que apenas nos ensaios realizados com o Trigo houve germinação em todas as concentrações, seguido do Agrião que germinou até 70%. As sementes, em geral, apresentaram uma maior germinação nas amostras mais diluídas, semelhante resultado foi constatado no estudo de Zaidan (2015), onde sementes foram testadas após tratamento com POA de efluentes contendo fenol. Estudos da toxicidade após tratamento de contaminantes do tipo HPA, são escassos.

O Trigo e a Alface roxa apresentaram em algumas concentrações, valores de IG (%) maiores que o do controle negativo, apresentando assim um crescimento mais efetivo do que na água. Esse resultado não indica que o composto esteja isento de toxicidade, porém que para essas duas sementes, nas concentrações observadas, o efluente não se apresentou como tóxico, inibindo o seu desenvolvimento. Resultados semelhantes foram observados por Gomes (2009), estudando o corante azorubina, onde no teste de fitotoxicidade, as sementes de Alface apresentaram valores do índice de germinação superior ao valor da solução controle, indicando assim a possibilidade da utilização do corante como nutriente para as sementes.

Todas as sementes, com exceção do Trigo, não apresentaram germinação quando testadas na APT 100%, comprovando assim a sensibilidade dessas espécies frente à este efluente e sua toxicidade.

TABELA 32 - Comprimento médio das raízes, Índice de Crescimento Relativo (ICR) e Índice de Germinação (IG) das sementes em função da concentração da Amostra 1 variando de 1% a 100% e antes do tratamento, em seu estado bruto. Tratamento com H₂O₂/UV/TiO₂, radiação UV-A.

| ENSAIO | | | | | | | | | | | | | | | |
|----------------|--------------------|------|--------|--------------------|------|--------|--------------------|------|--------|--------------------|------|--------|--------------------|------|--------|
| TESTE | CHICÓRIA | | A | TRIGO | | | RÚCULA | | | ALFACE | | | AGRIÃO | | |
| | CR <u>+</u> DP | ICR | IG (%) | CR <u>+</u> DP | ICR | IG (%) | CR <u>+</u> DP | ICR | IG (%) | CR <u>+</u> DP | ICR | IG (%) | CR <u>+</u> DP | ICR | IG (%) |
| ÁGUA | 5,61 <u>+</u> 1,56 | 1 | 100 | 1,82 <u>+</u> 3,16 | 1 | 100 | 0,87 <u>+</u> 0,96 | 1 | 100 | 2,06 <u>+</u> 0,27 | 1 | 100 | 4,28 <u>+</u> 1,34 | 1 | 100 |
| AAT | | NG | | 1,35 <u>+</u> 1,03 | 0,74 | 52,92 | | NG | | | NG | | | NG | |
| APT 1% | 3,00 <u>+</u> 0,66 | 0,54 | 40,14 | 3,56 <u>+</u> 1,72 | 1,95 | 251,26 | | NG | | 2,80 <u>+</u> 0,28 | 1,36 | 218,12 | 2,30 <u>+</u> 0,17 | 2,00 | 53,77 |
| APT 5% | 4,97 <u>+</u> 0,79 | 0,89 | 55,38 | 1,05 <u>+</u> 1,82 | 0,58 | 24,70 | 0,6 <u>+</u> 0,52 | 0,69 | 86,54 | 1,45 <u>+</u> 1,27 | 0,13 | 8,93 | 2,25 <u>+</u> 2,14 | 0,53 | 59,17 |
| APT 10% | 3,77 <u>+</u> 1,49 | 0,67 | 42,06 | 2,33 <u>+</u> 1,03 | 1,28 | 218,99 | 0,38 <u>+</u> 0,33 | 0,44 | 16,59 | 1,52 <u>+</u> 0,57 | 0,46 | 68,50 | 1,20 <u>+</u> 1,32 | 0,27 | 30,39 |
| APT 50% | | NG | | 1,32 <u>+</u> 0,20 | 0,32 | 41,46 | 0,07 <u>+</u> 0,12 | 0,08 | 1,92 | 0,26 <u>+</u> 0,22 | 0,08 | 5,37 | 0,12 <u>+</u> 0,13 | 0,03 | 1,79 |
| APT 70% | | NG | | 0,80 <u>+</u> 0,07 | 0,44 | 113,32 | | NG | | | NG | | 0,03 <u>+</u> 0,06 | 0,01 | 0,29 |
| APT 100% | | NG | | 0,38 <u>+</u> 0,07 | 0,21 | 23,69 | | NG | | | NG | | | NG | |

^{*}AAT = Amostra antes do tratamento; APT = Amostra pós-tratamento; CR = Comprimento médio das raízes em centímetros; DP = Desvio Padrão. NG = Não germinaram.

A sensibilidade dessas sementes foram expressas de maneira significativa nas concentrações mais altas, é importante salientar que ao despejar o efluente tratado no rio, o mesmo sofre mais diluição, diminuindo assim a carga tóxica.

As Figuras 51, 52 e 53 apresentam algumas placas com as sementes nesse ensaio. A Tabela 33 apresenta o resultado do teste de toxicidade, onde as sementes em estudos foram testadas nas concentrações específicas da Amostra 1 submetida ao tratamento de H₂O₂/UV/TiO₂, no ponto ótimo outrora citado, com lâmpada S*unlight*.



FIGURA 51 - Germinação da Alface. Detalhe ampliado.

FIGURA 52 - Ensaios de ecotoxicidade, Trigo.

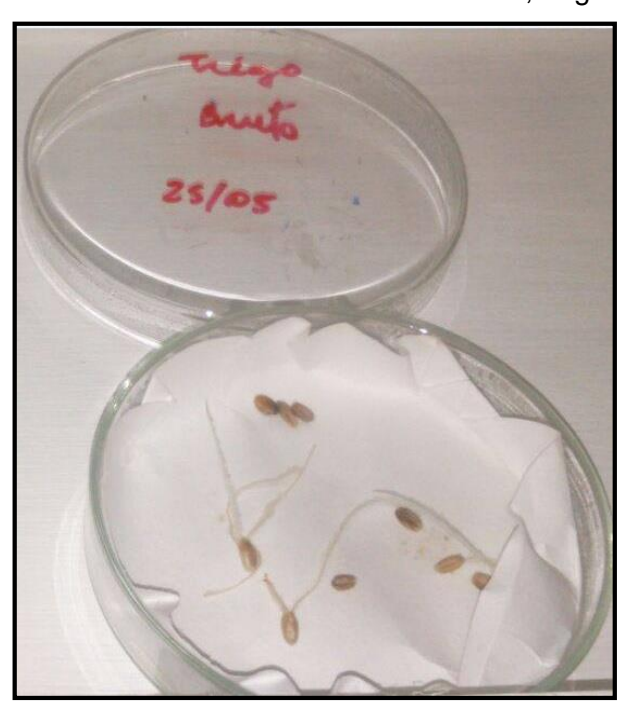


FIGURA 53 - Ensaios de ecotoxicidade, Agrião, sem germinação.

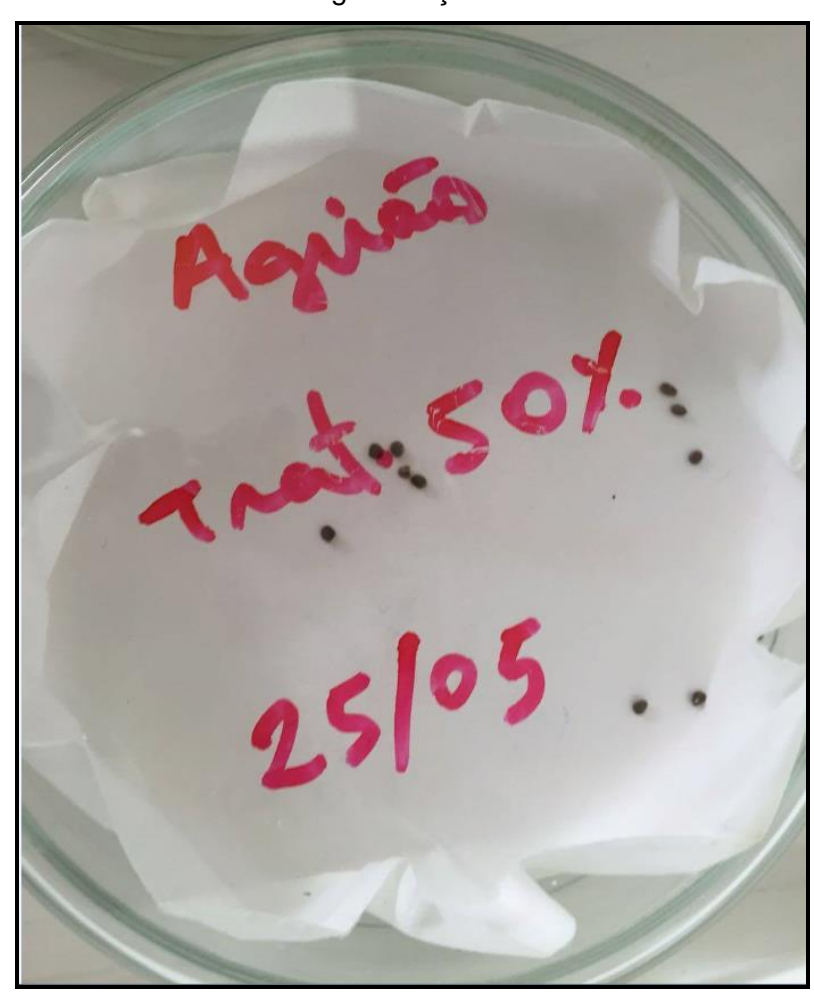


TABELA 33 - Comprimento médio das raízes, Índice de Crescimento Relativo (ICR) e Índice de Germinação (IG) das sementes em função da concentração da Amostra 1 variando de 1% a 100% e antes do tratamento, em seu estado bruto. Tratamento com H₂O₂/UV/TiO₂, radiação S*unlight*.

| ENSAIO | | | | | | | | | | | | | | | |
|----------------|--------------------|----------|--------|--------------------|------|--------|--------------------|------|--------|--------------------|------|--------|--------------------|------|--------|
| TESTE | СНІ | CHICÓRIA | | TRIGO | | | RÚCULA | | | ALFACE | | | AGRIÃO | | |
| | CR <u>+</u> DP | ICR | IG (%) | CR <u>+</u> DP | ICR | IG (%) | CR <u>+</u> DP | ICR | IG (%) | CR <u>+</u> DP | ICR | IG (%) | CR <u>+</u> DP | ICR | IG (%) |
| ÁGUA | 4,87 <u>+</u> 0,21 | 1 | 100 | 4,07 <u>+</u> 3,54 | 1 | 100 | 0,87 <u>+</u> 0,96 | 1 | 100 | 2,71 <u>+</u> 0,51 | 1 | 100 | 0,82 <u>+</u> 0,17 | 1 | 100 |
| AAT | | NG | | 2,62 <u>+</u> 1,22 | 0,64 | 100,3 | | NG | | | NG | | | NG | |
| APT 1% | 4,09 <u>+</u> 0,78 | 0,84 | 99,40 | 3,88 <u>+</u> 1,92 | 0,95 | 254,64 | 0,62 <u>+</u> 1,07 | 0,71 | 35,58 | 3,43 <u>+</u> 3,04 | 1,27 | 97,80 | 2,30 <u>+</u> 1,35 | 2,82 | 256,03 |
| APT 5% | 3,82 <u>+</u> 2,97 | 0,78 | 64,17 | 2,73 <u>+</u> 2,89 | 0,67 | 89,44 | 0,44 <u>+</u> 0,77 | 0,51 | 38,46 | 3,24 <u>+</u> 0,20 | 1,20 | 92,57 | 0,34 <u>+</u> 0,31 | 0,42 | 26,84 |
| APT 10% | 3,51 <u>+</u> 1,27 | 0,72 | 65,48 | | NG | | 0,40 <u>+</u> 0,69 | 0,46 | 11,54 | 2,35 <u>+</u> 0,61 | 0,87 | 90,71 | 0,47 <u>+</u> 0,32 | 0,57 | 41,56 |
| APT 50% | 0,85 <u>+</u> 0,30 | 0,17 | 17,47 | 1,23 <u>+</u> 1,43 | 0,30 | 47,18 | 0,08 <u>+</u> 0,14 | 0,10 | 4,81 | 0,54 <u>+</u> 0,39 | 0,20 | 11,88 | | NG | |
| APT 70% | 0,60 <u>+</u> 0,34 | 0,12 | 10,09 | 0,60 <u>+</u> 1,04 | 0,15 | 6,56 | | NG | | 0,67 <u>+</u> 0,48 | 0,25 | 10,15 | | NG | |
| APT 100% | 1,40 <u>+</u> 0,58 | 0,29 | 34,00 | 1,30 <u>+</u> 1,20 | 0,32 | 113,30 | | NG | | 1,48 <u>+</u> 0,50 | 0,55 | 24,90 | | NG | |

^{*}AAT = Amostra antes do tratamento; APT =Amostra pós-tratamento; CR= Comprimento médio das raízes em centímetros; DP=Desvio Padrão. NG=Não germinaram.

Neste ensaio, com o reator *Sunlight*, é possível observar que mais sementes germinaram, inclusive no APT 100%, diferentemente do ensaio do tratamento com radiação UV-A. Sugerindo assim, uma diminuição na toxicidade, visto o aumento no IG(%). Na AAT 100%, com exceção do Trigo, nenhuma semente germinou, comprovando a alta carga tóxica dessa amostra, corroborando com a concentração encontrada do COT. Na APT 100%, o Trigo, a Chicória e a Alface Roxa germinaram, com IG de 113,30%, 34,00% e 24,90% respectivamente, onde a Chicória e a Alface Roxa não haviam germinadas no ensaio de toxicidade da amostra tratada com o POA utilizando a radiação UV-A.

O Trigo e o Agrião apresentaram no ensaio com a APT1% índices de germinação maior que o do controle negativo, resultados mais uma vez semelhantes ao de Gomes (2009), no estudo de sementes de Alface, sugerindo uma leve influência positiva, ao crescimento da espécie, da amostra póstratamento.

Para a Amostra 1, o maior percentual de mineralização do COT, ocorreu com os maiores níveis dos reagentes e na radiação S*unlight*, apresentando uma redução de 66% da carga orgânica, sendo refletido no ensaio de toxicidade, que no geral, apresentou um acréscimo nas germinações das sementes estudadas. Em concentrações mais altas do efluente tratado, algumas sementes apresentaram um aumento no percentual do IG, como o Trigo. Essa semente, para concentrações de APT 5% e APT 100%, apresentou respectivamente, IG(%) 3,62 e 4,78 vezes maior que o ensaio da Amostra 1 tratada com a radiação UV-A. No teste com a amostra tratada na radiação *Sunlight*, a Chicória apresentou germinação em concentrações que outrora, no teste com a radiação UV-A, não haviam sido detectadas. Os valores dos IG(%), apresentaram, em sua maioria, aumento nas concentrações do ensaio e a Alface roxa também respondeu positivamente a esse teste, apresentando na maior parte das concentrações estudadas, um elevação do seu IG(%).

Conforme Garcia et al. (2009), "os resíduos quimicamente degradados podem ser tóxicos devido à presença de produtos gerados durante a fotodegradação", porém, para a Amostra 1, concluiu-se com os testes de toxicidade, que a amostra tratada com fotocatálise heterogênea com a radiação *Sunlight*, nos maiores níveis dos reagentes anteriormente citados, ao produzir compostos após seu tratamento e ao ser relocada ao meio ambiente, não compromete a germinação. O ICR foi baixo, na maioria dos ensaios, em

concentrações altas do efluente das seguintes sementes estudadas: Trigo, Chicória e Alface Roxa. Foi possível observar que ainda que haja a produção de compostos intermediários, estes são menos tóxicos para as espécies do que o composto original, já que houve germinação na APT 100% em três das espécies estudadas e não houve germinação na AAT 100% em quatro delas. Segundo Zaidan (2015), em resultados semelhantes, a autora chegou à conclusão de que mesmo com a geração de produtos intermediários resultantes do tratamento, estes ainda são menos tóxicos do que o composto original. Pelegrini *et al.* (2009) *apud* Zaidan (2015), também encontraram resultados análogos, quando foi possível detectar uma toxicidade inferior do resíduo totalmente tratado em relação à do efluente sem tratamento.

A Rúcula e o Agrião apresentaram-se mais sensíveis nos ensaios de toxicidade, porém, é possível que o efluente ao ser diluído no corpo hídrico, reduza ou até mesmo elimine esse efeito inibitório.

Nas Figura 54 à 56, ensaios de toxicidade da Amostra 2, reator UV-A, condição ótima do ensaio degradativo.

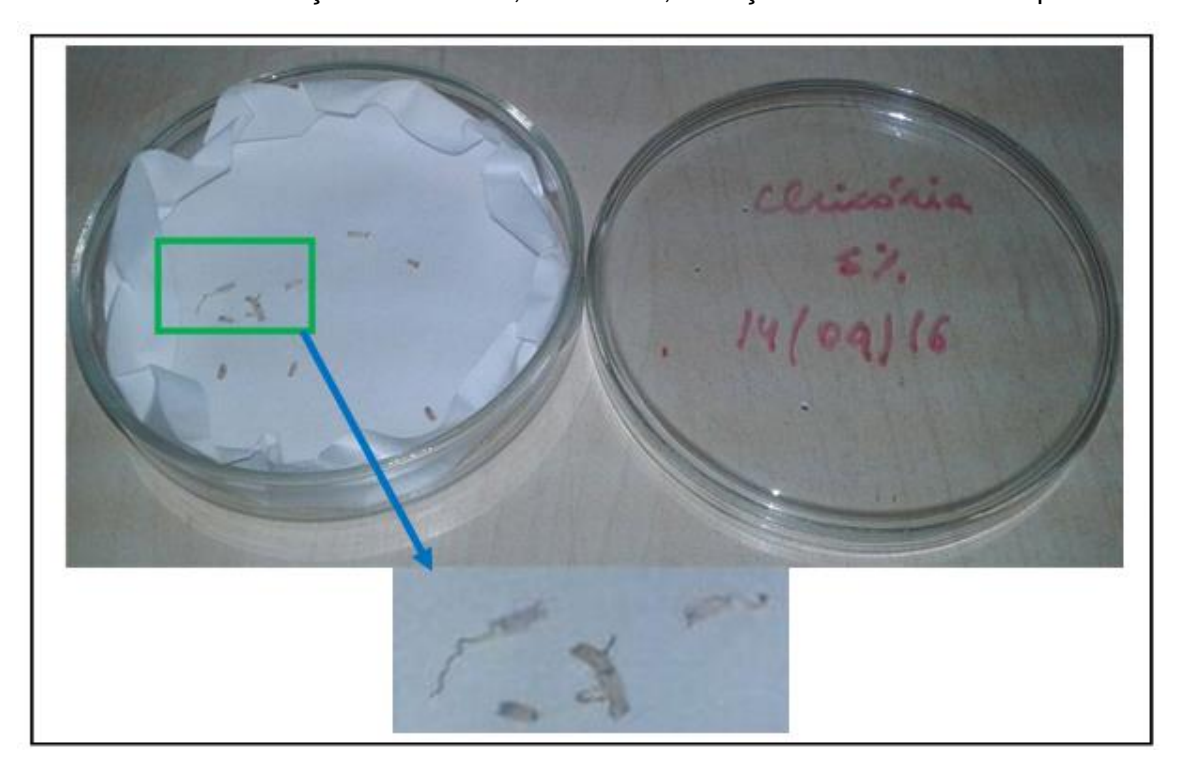


FIGURA 54 - Germinação da Chicória, Amostra 2, radiação UV-A. Detalhe ampliado.

FIGURA 55 - Rúcula não germinada, Amostra 2, radiação UV-A. Detalhe ampliado.

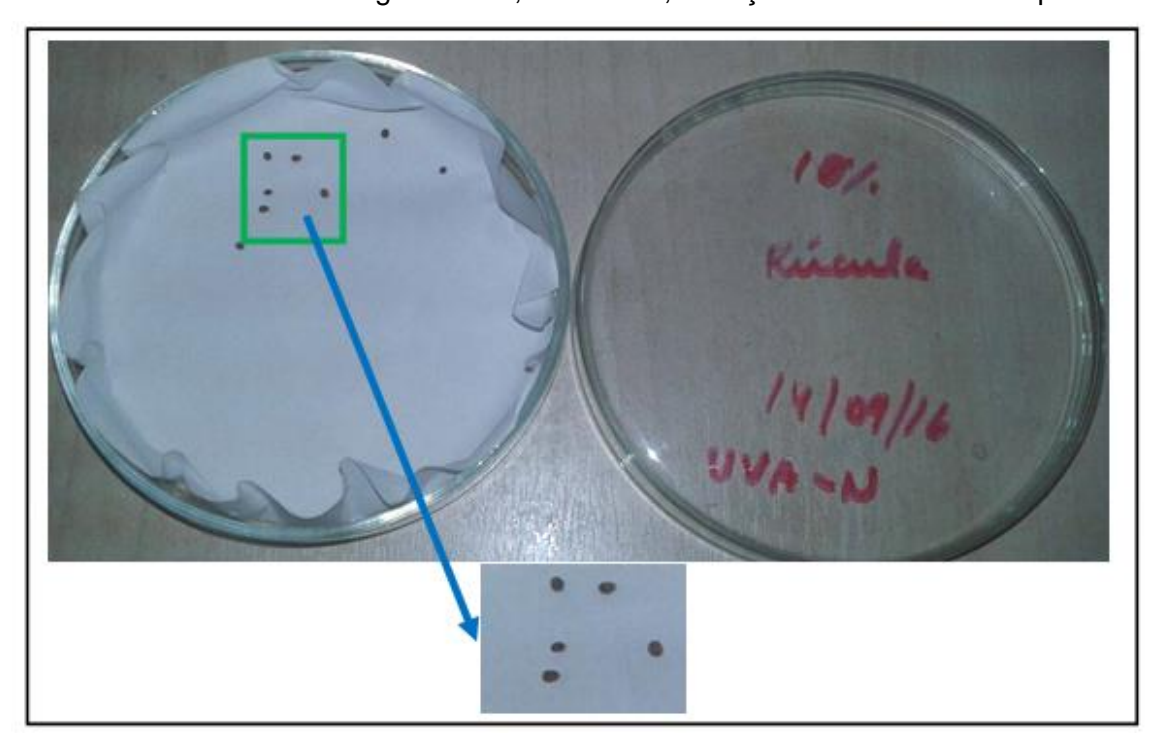
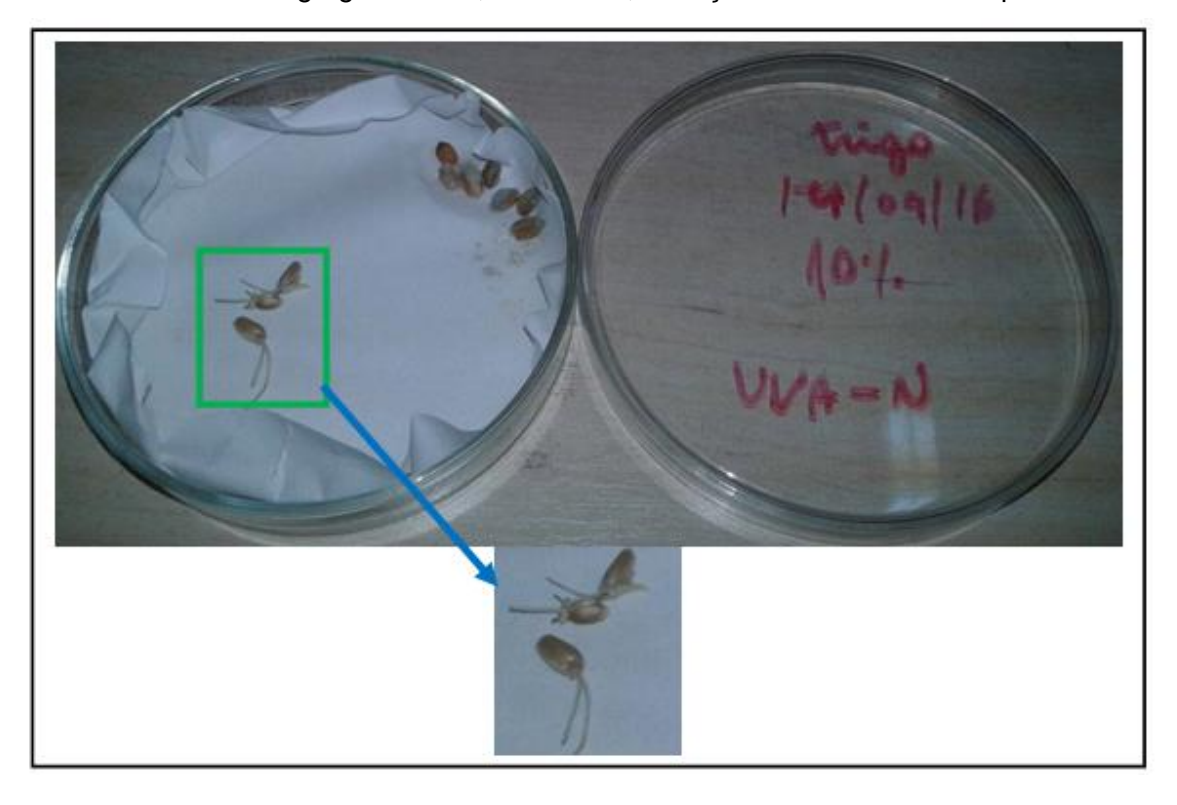


FIGURA 56 - Trigo germinado, Amostra 2, radiação UV-A. Detalhe ampliado.



A Tabela 34 apresenta o resultado do teste de toxicidade, onde as sementes em estudos foram testadas nas concentrações específicas da Amostra 2 submetida ao tratamento de H₂O₂/UV/TiO₂, no ponto ótimo outrora citado, no reator com lâmpada UV-A.

TABELA 34 - Comprimento médio das raízes, Índice de Crescimento Relativo (ICR) e Índice de Germinação (IG) das sementes em função da concentração da Amostra 2 variando de 1% a 100% e antes do tratamento, em seu estado bruto. Tratamento com H₂O₂/UV/TiO₂, radiação UV-A.

| ENSAIO | | | | | | | | | | | | | | | |
|----------------|---------------------------------|------|--------------------|--------------------|------|--------|---------------------|------|--------------------|--------------------|-------|--------------------|--------------------|-------|--------|
| TESTE | CHICÓRIA | | | TRIGO | | | RÚCULA | | | ALFACE | | | AGRIÃO | | |
| | CR <u>+</u> DP | ICR | IG (%) | CR <u>+</u> DP | ICR | IG (%) | CR <u>+</u> DP | ICR | IG (%) | CR <u>+</u> DP | ICR | IG (%) | CR <u>+</u> DP | ICR | IG (%) |
| ÁGUA | 3,70 <u>+</u> 1,53 | 1 | 100 | 4,23 <u>+</u> 0,08 | 1 | 100 | 0,7 <u>+</u> 1,21 | 1 | 100 | 1,61 <u>+</u> 0,88 | 1 | 100 | 2,23 <u>+</u> 0,15 | 1 | 100 |
| AAT | NG | | | NG | | | NG | | | NG | | | NG | | |
| APT 1% | 3,67 <u>+</u> 1,21 | 0,99 | 72,78 | 0,65 <u>+</u> 1,13 | 0,15 | 9,21 | NG | | 0,38 <u>+</u> 0,28 | 0,24 | 11,90 | 0,87 <u>+</u> 0,17 | 0,39 | 31,24 | |
| APT 5% | 0,57 <u>+</u> 0,20 | 0,15 | 9,19 | 1,52 <u>+</u> 2,64 | 0,36 | 21,57 | 0,067 <u>+</u> 0,12 | 0,10 | 9,52 | 0,21 <u>+</u> 0,06 | 0,13 | 8,93 | 1,37 <u>+</u> 1,19 | 0,61 | 42,84 |
| APT 10% | 0,017 <u>+</u> 0,01 0,005 0,030 | | 0,78 <u>+</u> 0,71 | ,71 0,2 11,1 | | NG | | | NG | | | NG | | | |
| APT 50% | NG | | | NG | | | NG | | | NG | | | NG | | |
| APT 70% | NG | | | NG | | | NG | | | NG | | | NG | | |
| APT 100% | NG | | | NG | | | NG | | | NG | | | NG | | |

^{*}AAT = Amostra antes do tratamento; APT = Amostra pós-tratamento; CR = Comprimento médio das raízes em centímetros; DP = Desvio Padrão. NG-Não Germinaram.

As sementes estudadas germinaram no controle negativo, água e não germinaram no controle positivo. A carga orgânica dessa Amostra 2, é bastante elevada, cerca de doze vezes maior que a Amostra 1. No efluente bruto, AAT, nenhuma das sementes germinou, indicando assim uma elevada toxicidade, pois todas as espécies tiveram seu crescimento inibido. A Chicória e Trigo apresentaram germinação nas concentrações 1%, 5% e 10%. O Alface e o Agrião nas concentrações de 5% e 10% e Rúcula apenas na de 5%. A Rúcula, assim como na Amostra 1, apresentou uma alta sensibilidade aos compostos presentes nas amostras, apresentando um crescimento irrisório. O comprimento médio das sementes neste ensaio, apresentou valores baixos, com exceção da Chicória no APT 1%.

Esse desenvolvimento incompleto das sementes é atribuído a efeitos letais e sub-letais, sendo estes, inibição da germinação e inibição do desenvolvimento das raízes e das radículas, respectivamente. Após o tratamento, a amostra ainda se manteve com grande toxicidade, ocasionando ambos os efeitos acima citados (PALÁCIO *et al.*, 2012; ZAIDAN, 2015).

As Figuras 57 à 59 apresentam os ensaios de toxicidade da Amostra 2, reator *Sunlight*, na condição ótima do ensaio degradativo.

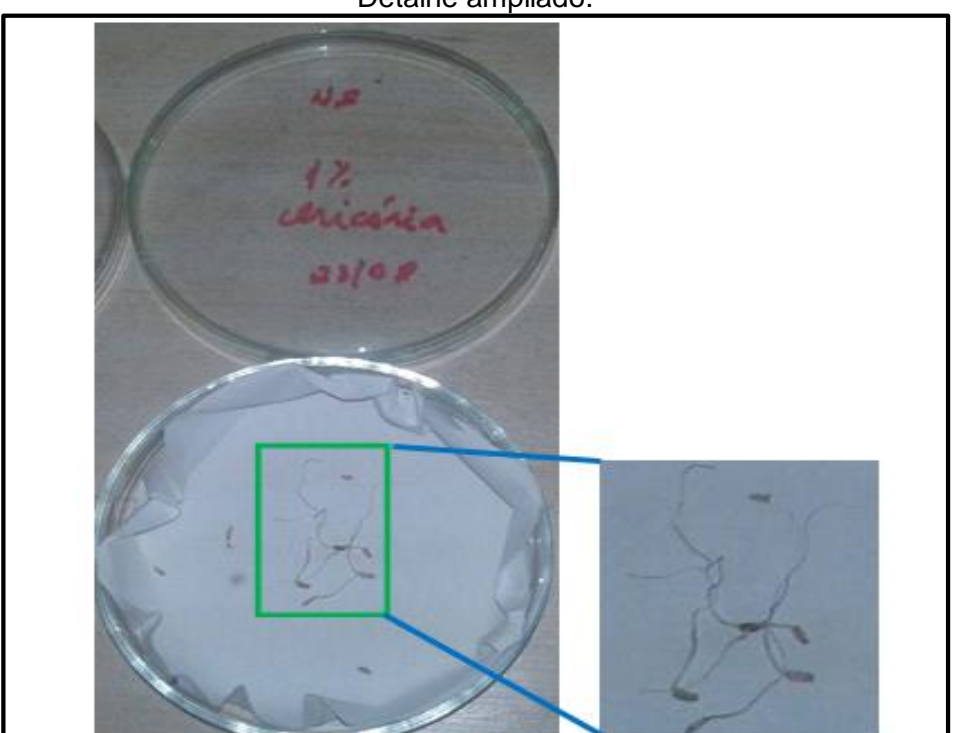


FIGURA 57: Germinação Chicória, Amostra 2, radiação Sunlight. Detalhe ampliado.

FIGURA 58 - Trigo e Rúcula sem germinação, Amostra 2, reator Sunlight.

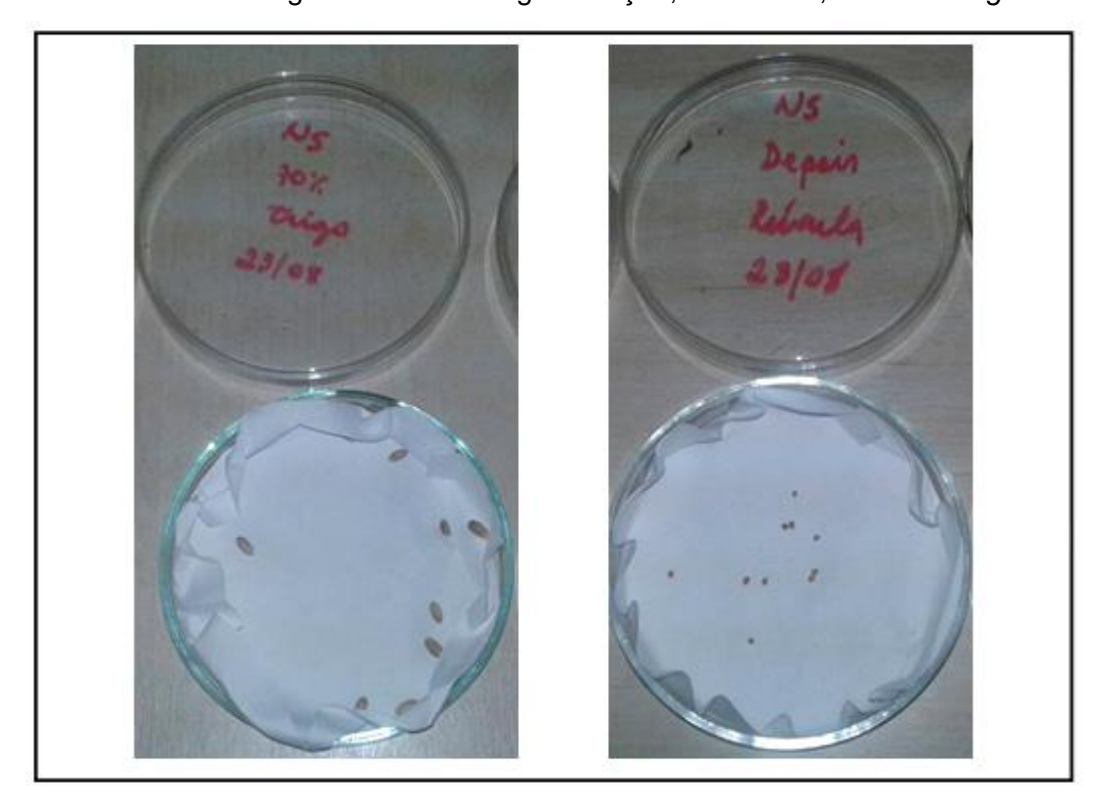
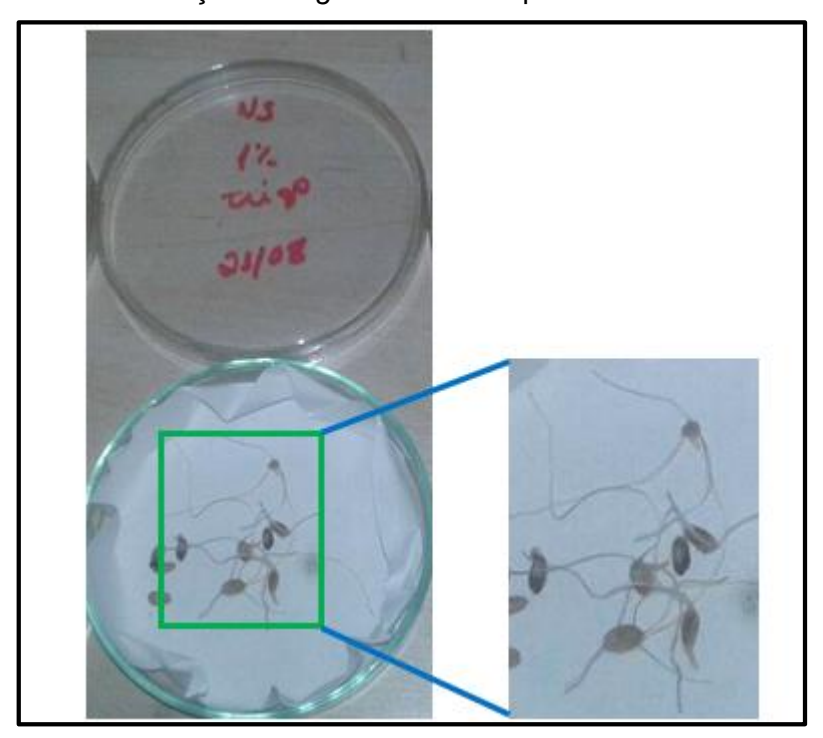


FIGURA 59 - Germinação do Trigo, Amostra 2, radiação *Sunlight*. Detalhe ampliado



A Tabela 35 apresenta o resultado do teste de toxicidade, da Amostra 2 submetida ao tratamento de $H_2O_2/UV/TiO_2$, no ponto ótimo outrora citado, no reator com lâmpada *Sunlight*.

TABELA 35 - Comprimento médio das raízes, Índice de Crescimento Relativo (ICR) e Índice de Germinação (IG) das sementes em função da concentração da Amostra 2 variando de 1% a 100% e antes do tratamento, em seu estado bruto. Tratamento com H₂O₂/UV/TiO₂, radiação *Sunlight*.

| ENSAIO | | | | | | | | | | | | | | | |
|----------------|--------------------|------|--------|--------------------|------|--------|--------------------|------|--------|--------------------|------|--------|--------------------|------|--------|
| TESTE | CHICÓRIA | | | TRIGO | | | RÚCULA | | | ALFACE | | | AGRIÃO | | |
| | CR <u>+</u> DP | ICR | IG (%) | CR <u>+</u> DP | ICR | IG (%) | CR <u>+</u> DP | ICR | IG (%) | CR <u>+</u> DP | ICR | IG (%) | CR <u>+</u> DP | ICR | IG (%) |
| ÁGUA | 3,39 <u>+</u> 0,22 | 1 | 100 | 3,13 <u>+</u> 2,83 | 1 | 100 | 0,7 <u>+</u> 1,21 | 1 | 100 | 2,19 <u>+</u> 0,54 | 1 | 100 | 3,38 <u>+</u> 1,66 | 1 | 100 |
| AAT | NG | | |
| APT 1% | 2,86 <u>+</u> 1,27 | 0,84 | 62,20 | 2,00 <u>+</u> 1,85 | 0,64 | 91,58 | 0,32 <u>+</u> 0,55 | 0,45 | 90,48 | 0,72 <u>+</u> 0,43 | 0,33 | 13,66 | 0,98 <u>+</u> 1,49 | 0,29 | 10,26 |
| APT 5% | 0,08 <u>+</u> 0,13 | 0,02 | 0,36 | 1,95 <u>+</u> 0,94 | 0,62 | 97,92 | | NG | | 0,38 <u>+</u> 0,24 | 0,17 | 5,74 | | NG | |
| APT 10% | NG | | |
| APT 50% | NG | | |
| APT 70% | | NG | |
| APT 100% | NG | | |

^{*}AAT = Amostra antes do tratamento; APT = Amostra pós-tratamento; CR = Comprimento médio das raízes em centímetros; DP = Desvio Padrão. NG = Não germinaram.

Semelhantemente aos outros ensaios, todas as sementes germinaram no controle negativo e não germinaram na solução do ácido bórico a 3%. Foi possível observar que apenas as sementes da Chicória, Trigo e Alface roxa, germinaram nas concentrações de 1% e 5%. Quanto mais diluída a amostra, maior a germinação, visto a redução da quantidade das substâncias tóxicas (ZAIDAN, 2015). As sementes de Rúcula e Agrião, exibiram germinação apenas na concentração de 1%, apresentando nessa Amostra 2, uma inibição no desenvolvimento e crescimento frente à compostos derivados de petróleo, mesmo após tratamento. No efluente bruto, nenhuma das sementes germinou, indicando assim uma elevada toxicidade, pois todas as sementes tiveram seu crescimento inibido. Após o tratamento, a amostra além de se manter com uma elevada toxicidade, pois a mineralização foi de apenas 37,05%, adicionou-se compostos intermediários formados após tratamento com o POA, apresentando assim inibição da germinação e inibição do desenvolvimento das raízes (PALÁCIO et al., 2012; ZAIDAN, 2015). Quando os efluentes são tratados e lançados no rio, sofrem diluição, assemelhando-se assim as baixas concentrações de efluentes dos ensaios.

A mineralização da Amostra 2 foi de 13,99% e 37,05% na radiação UV-A e Sunlight, respectivamente, valores baixos, visto a carga orgânica dessa amostra ser elevadíssima. Devido à baixa conversão do COT e os compostos intermediários formados, as sementes no ensaio de toxicidade para a Amostra 2, mostraram-se sensíveis ao efluente antes e após tratamento. Novack e colaboradores (2013), encontraram resultados semelhantes no estudo da toxicidade dos efluentes de uma indústria de tinta com as sementes de Alface. onde as mesmas sofreram efeitos letais e subletais. ocasionando desenvolvimento parcial quando em meio tóxico. No tratamento com as radiação UV-A e Sunlight, a Amostra 2, assim como no estudo de Novack e autores (2013), apresentaram índice percentual de crescimento das raízes, maior nas menores concentrações.

Ao submetermos as amostras aos POA, compostos intermediários são formados. Esses compostos podem ou não interferir na germinação e causarem danos no desenvolvimento das sementes. A Amostra 1, apresentou nos dois tratamentos com as radiações diferentes, germinação na maioria das concentrações. Os ICR das sementes, não foram elevados, as mesmas podem ter sofridos danos no seu desenvolvimento. A Amostra 2, entretanto, obteve mais

sementes não germinadas e um menor comprimento médio das raízes, comprovando assim a toxicidade dessa amostra mesmo após o tratamento, podendo ser atribuída, não só a sua elevada carga orgânica e pouca redução do COT, como também aos compostos intermediários formados (SALES, 2015).

Para a Amostra 1, com o tratamento da radiação UV-A, as sementes mais sensíveis foram a Rúcula e a Chicória, sendo estas as ideais para esse tipo de teste de toxicidade em relação à sensibilidade de HPA. Com a radiação *Sunlight,* nesta mesma amostra, a Rúcula e o Agrião foram os mais sensíveis e portanto as sementes mais favoráveis para esses testes de HPA.

Para a Amostra 2, as mais sensíveis e portanto as ideais para o teste de toxicidade, onde os HPA se mostram mais sensíveis, foram para a radiação UV-A a Rúcula, a Alface Roxa e o Agrião. Com a radiação *Sunlight*, as sementes ideais são Rúcula e o Agrião.

6 CONCLUSÕES E PERSPECTIVAS

6.1 CONCLUSÕES

Os estudos realizados no presente trabalho levaram às seguintes conclusões:

- A análise das amostras de efluentes apresentando derivados de petróleo constataram a presença de quinze dos dezesseis HPA prioritários pela EPA.
 A concentração total desses HPA foi de 127,04 μg.L⁻¹ da Amostra 1 e 80,57 μg.L⁻¹ da Amostra 2. O Naftaleno apresentou a maior concentração, nas Amostras 1 e 2, 34,12 μg.L⁻¹ e 24,22 μg.L⁻¹, respectivamente;
- As fontes dos HPA das Amostras 1 e 2, são predominantemente, de origem petrogênicas, originárias dentre outras, de fontes como efluentes industriais contendo óleos e graxas;
- O maior percentual de degradação de HPA encontrado nas Amostras 1 e
 2, em ambas radiações, foi o do ensaio utilizando o processo TiO₂/UV/H₂O₂
 nos maiores níveis de H₂O₂, TiO₂ e tempo;
- Os percentuais degradativos dos HPA total foram, para Amostra 1, 84,6% e 80,44%, na radiação UV-A e Sunlight respectivamente, visto os valores serem próximos, ambas as radiações são satisfatórias no tratamento da amostra. Os percentuais de degradação dos HPA total foram, para Amostra 2, 70,7% e 92,31%, na radiação UV-A e Sunlight respectivamente, logo a radiação Sunlight é a opção mais viável, para o tratamento dessa amostra, podendo utilizar a radiação solar, visto a abundância na região do estudo;
- Foi comprovada a eficiência do tratamento TiO₂/UV/H₂O₂ para degradação de HPA em amostras com resíduos de derivados de petróleo;
- O ferro endógeno e o pH das amostras, têm os valores de 21,51 mg.L⁻¹ e 38,97 mg.L⁻¹ pra as Amostras 1 e 2 respectivamente e pH para Amostra 1 e 2 respectivamente, de 4,1 e 3,5;
- O valor inicial da concentração do COT na Amostra 1 foi de 1074 mgC.L⁻¹
 e na Amostra 2 foi de 13650 mgC.L⁻¹;
- As conversões do COT obtiveram melhores resultados no ensaio com os maiores níveis dos reagentes e do tempo submetidos ao POA do tipo TiO₂/UV/H₂O₂, sendo estas 34,94% e 66,02% para Amostra 1 na radiação UV-A e *Sunlight* respectivamente e na Amostra 2 de 13,99% e 37,05% para radiação UV-A e *Sunlight* respectivamente. Os valores dos reagentes para a

mineralização de ambas amostras devem ser ajustados, principalmente para a Amostra 2;

- A modelagem cinética proposta foi considerada satisfatória para os ensaios das duas amostras nos reatores com radiação UV-A e Sunlight. O gráfico de resíduos apresentou um erro pequeno em relação ao valor experimental em todos os ensaios realizados;
- A constante de velocidade da formação de produtos intermediários (k₁) apresentou valor mais alto, em todos os experimentos. A mineralização desses produtos ocorreu com uma constante de velocidade (k₂) muito baixa. A formação dos produtos intermediários mais refratários, pode ter sido a causa da dificuldade na oxidação total dos compostos orgânicos em CO₂ e H₂O;
- Na Amostra 1, em ambas radiações, as espécies germinaram, em sua maioria, nas concentrações mais baixas. Na Amostra 2, o número de espécies que germinaram foi menor, em ambas as radiações, que a Amostra 1. Na radiação *Sunlight*, da Amostra 1, o ensaio de toxicidade, apresentou mais IG nas concentrações propostas do que os outros ensaios, incluindo o da Amostra 2. As sementes ideais para esse tipo de teste em se tratando de amostras com HPA semelhantes a estudada, foram para Amostra 1 com as radiações UV-A, Rúcula e Chicória e radiação *Sunlight*, Rúcula e Agrião. Na Amostra 2, radiação UV-A: Rúcula, Alface e Agrião e radiação *Sunlight*: Rúcula e Agrião.

6.2 SUGESTÕES PARA TRABALHOS FUTUROS

Dentre as sugestões a serem consideradas para trabalhos futuros, cita-se:

- Avaliar outras radiações nos POA, como a luz solar natural;
- Utilização de TiO₂ dopado, para verificar aumento da sua eficiência;
- Estudo da recuperação do catalisador utilizado no tratamento.
- Propor uma cinética da degradação dos HPA acompanhando suas diferentes concentrações, usando a CG-EM, em função do tempo.

REFERÊNCIAS

AARESTRUP, J.R.; SOUZA E SOUZA, A.; ARTMANN, M.; LEITZKE, R.C. Z. Análise comparativa da sensibilidade de sementes de *Lactuca sativa L. E Lycopersicon esculentum Mill.* submetidas aos tratamentos com plantas medicinais. **Revista de Biologia e Farmácia (BloFaR)**, v. 09, nº 4, 2013.

ABDEL-SHAFY, H.I.; MANSOUR, M.S.M. A review on polycyclic aromatic hydrocarbons: Source, environmental impact, effect on human health and remediation. **Egyptian Petroleum Institute**, v.25, p., 107-123, 2016.

ALALM, M.G.; TAWFIK, A.; OOKAWARA, S. Comparison of solar TiO₂ photocatalysis and solar photo-Fenton for treatment of pesticides industry wastewater: Operational conditions, kinetics, and costs. **Journal of Water Process Engineering**, v. 8, p.55-63, 2015.

ALBUQUERQUE, A.R.; SANTOS, I.M.G.; SAMBRANO, J.R. Propriedades estruturais e eletrôniccas de nanofilmes de TiO₂ Anatase: cálculos B3LYP-D* em sistemas periódicos bidimensionais. **Química Nova,** v.37, n.8, p.1318-1323, 2014.

ALJUBOURY, D. A.; PALANIANDY, P.; AZIZ, H.B. A.; FEROZ, S. Treatment of petroleum wastewater using combination of solar photo-two catalyst TiO2 and photo-Fenton process. **Journal of Environmental Chemical Engineering**, v.3, p.1117–1124, 2015.

ALONSO, S.G.; ESTEBÁN-HERNÁNDEZ, J.; RIVERA, Y.V.; HERNÁNDEZ-BARRERA, V.; MIGUEL, A.G. Contaminácion del Agua em Fuentes Cercanas a Campos Petrolíferos de Bolivia. **Revista Panam Salud Publica**, v. 28, nº4, 2010.

ANDRADE, J.A.; AUGUSTO, F.; JARDIM, I.C.S.F. Biorremediação de solos contaminados por petróleo e seus derivados. **Eclética Química**, v. 35, nº 3, p. 17-43, 2010.

ANTONOPOLOU, M.; EVGENIDOU, E.; LAMBROPOULOU, D.; KONSTANTINOU, I. A review on advanced oxidation processes for the removal of taste and odor compounds from aqueous media. **Water Research**, v. 53, p. 215 - 234, 2014.

APHA, American Public Health Association. Standard Methods for the Examination of Water & Wateswater. 21^a ed., New York, (2005).

ARAUJO, T. S.; SOUZA, S.O. Protetores solares e os efeitos da radiação ultravioleta. **Scientia Plena**, v.4, nº 11, 2008.

ARAÚJO, K. S.; ANTONELLI, R.; GAYDECZKA, B.; GRANATO, A.C.; MALPASS, G.R.P. Processos oxidativos avançados: uma revisão de fundamentos e aplicações no tratamento de águas residuais urbanas e efluentes industriais. **Rev. Ambient. Água**, v. 11, nº 2, 2016.

ASTDR, Agency for Toxic Substances and Disease Registry. Case Etudies in Environmentam Medicine Toxicity of Polycyclic Aromatic Hydrocarbons (PAH). **Course: WB** 1519, 2009.

AVISAR, D., HOROVITZ, I., LOZZI, L., RUGGIERI, BAKER, M., ABEL, M., MAMANE, H. Impact of water quality on removal of carbamazepine in natural waters by N-doped TiO₂ photo-catalytic thin film surfaces. **Journal of Hazardous Materials**, 244-245, p. 463-471, 2013.

AYODELE, O.B.; LIM, J.K.; HAMEED, B.H. Degradation of phenol in photo-Fenton process by phosphoric acid modified kaolin supported ferric-oxalate catalyst: Optimization and kinetic modeling. **Chemical Engineering Journal**, v.197, p. 181-192, 2012.

AZNAR, M.; MADURO, R.M. Otimização da extração líquido-líquido de nicotina em sistemas ternários no equilíbrio utilizando metodologia de superfície de resposta. **Ciência e Engenharia**, v.17, p.51-55, 2008.

AZEVEDO, J.A.H.; ARAÚJO, R.S.; SILVA, G.M.M. Hidrocarbonetos policíclicos aromáticos atmosféricos de fontes automotivas: uma breve revisão. **HOLOS**, v.1, 2013.

BABUPONNUSAMI, A.; MUTHUKUMAR, K. A review on Fenton and improvements to the Fenton process for wastewater treatment.

Journal of Environmental Chemical Engineering, v.2, p.557-572, 2014.

BAKKER, M. I.; CASADO, B.; KOERSELMAN, J.W.; TOLLS, J., KOLLÖFFEL, C. Polycyclic aromatic hydrocarbons in soil and plant samples from the vicinity of an oil refinery. **The Science of the Total Environment**, 263, 91-100, 2000.

BENEDETTI, S. AVALIAÇÃO DO TEOR DE CARBONO ORGÂNICO TOTAL NA QUALIDADE DA ÁGUA: APLICAÇÃO NA RADIOFARMÁCIA. Dissertação de Mestrado. Instituto de Pesquisas Energéticas e Nucleares, Autarquia associada à Universidade de São Paulo, 2012.

BETTIN, S.M.; FRANCO, D.W. Hidrocarbonetos Policíclicos Aromáticos (HPA) em Aguardentes. **Ciênc. Tecnol. Aliment.** Campinas, SP, v. 25, nº.2, p. 234-238, 2005.

BEYER, J.; JONSSON, G.; PORTE, C.; KRAHN, M.M.; ARIESE, F. Analytical methods for determining metabolites of polycyclic aromatic hydrocarbon (PAH) pollutants in fish bile: A review. **Environmental Toxicology and Pharmacology**, v. 30, p. 224-244, 2010.

BILA, D.M.; DEZOTTI, M. Desreguladores Endócrinos no Meio Ambiente: Efeitos e Consequência - Endocrine disrupters in the enviroment: part 1 - effects and consequences. **Química Nova**, v.30, nº 3, 651-666, 2007.

BISINOTI, M.C.; JARDIM, W.F. O emprego de Técnicas Analíticas na Especiação de Metais Pesados e a sua importância para o Meio Ambiente. Caderno Temático, Campinas, SP: UNICAMP, v.2, 2004.

BOKARE, A. D.; CHOI, W. Review of iron-free Fenton-like systems for activating H2O2 in advanced oxidation processes. **Journal of Hazardous Materials**, 275, p. 121-135, 2014.

BORBA, F.H., SOTTORIVA, P.R.S., MÓDENES, A. N. Tratamento de Efluente Madeireiro por Processo foto-Fenton - Treatment of timber efluente by photo-Fenton process. **Estudos Tecnológicos**, v.4, nº1, p.12-20, 2008.

BORTEY-SAM,N.; IKENAKA, Y.; NAKAYAMA, S.M.M.; AKOTO, O.; YOHANNES, Y.B.; BAIDOO, E.; MIZUKAWA, H.; ISHIZUKA, M. Ocurrence, distribution, sources and toxic potential of polycyclic aromatic hydrocarbons (PAHs) in surface soils from the Kumasi Metropolis, Ghana. **Science of the Total Environment**, v. 496, p.471-478, 2014.

BRITO-PELEGRINI, N.N.; PATERNIANI, J.E.S.; BROTA, G. A.; SANTOS, E.M.; SILVA, N.B.; PELEGRINI, R.T. Ensaios biológicos com sementes para avaliar a redução da toxicidade do chorume tratado por processo fotoquímico. **Minerva**, *6*(3), p. 219-228, 2006.

BRITO, N.N.; SILVA, V.B.M. Processo Oxidativo Avançado e sua aplicação ambiental. **Revista Eletrônica de Engenharia Civil**, nº 3, v.1, p.36-47, 2012.

CABEZA, Y.; CANDELA, L.; RONEN, D.; TEIJON, G. Monitoring the occurrence of emerging contaminants in treated wastewater and groundwater between 2008 and 2010. The Baix Llobregat (Barcelona, Spain). **Journal of Hazardous Materials,** v.239-240, p.32-39, 2012.

CARVALHO, M.V.F. Avaliação Química e toxicológica de solo contaminado por HPAs submetido à biodegradação pelo fungo Basidiomiceto Pycnoporus sanguineus. Dissertação de Mestrado. Universidade Estadual de Feira de Santana, Feira de Santana, BA, 2010.

CELINO, J.J.; CORSEUIL, H.X.; FERNANDES, M.; GARCIA, K.S. Distribution and Sources of Polycyclic Aromatic Hydrocarbons in the Aquatic Environment:

a Multivariate Analysis. **Revista Escola Minas**, Ouro Preto, v.63, nº2, p. 211-218, 2010.

CETESB, Environmental Agency of São Paulo State. **Environmental Management on POPs**. São Paulo State Government- Environment Secretariat, p. 16, 2011.

CHENG, M.; ZENG, G.; HUANG, D.; LAI, C.; XU, P.; ZHANG, C.; LIU, Y. Hydroxyl radicals based advanced oxidation processes (AOPs) for remediation of soils contaminated with organic compounds: A review. **Chemical Engineering Journal**, v.284, p.582-598, 2016.

CHIARADIA, M.C.; COLLINS, C.H.; JARDIM, I.C.S.F. O estado da arte da Cromatografia associada à Espectrometria de Massa acoplada à Espectrometria de Massas na análise de compostos tóxicos em alimentos. **Química Nova**, v.31, nº.3, p.623-636, 2008.

CHIU, T.R.; NANYAN, N.F.M.; ALI, M.M. Distribution of Polycyclic Aromatic Hydrocarbons (PAHs) in surface sediments of Kapas Island, Terengganu, Malaysia. **Procedia Environmental Sciences**, v.30, p. 162-167, 2015.

CHONG, M.N.; JIN, B.; CHOW, C.W.K.; SAINT, C. Recent developments in photocatalytic water treatment technology: A review. **Water Research**, v. 44, p. 2997 – 3027, 2010.

CLÉMENT, N.; MURESAN, B.; HEDDE, M.; FRANÇOIS, D. PAH dynamics in roadside environments: Influence on the consistency of diagnostic ratio values and ecosystem contamination assessments. Science of the Total Environment, v.538, p. 997-1009, 2015.

CLEMENTINO, M.R.A.; NETO, P.J.R.; ALENCAR, J.R.B. Carbono Orgânico Total: metodologia analítica e aplicações para indústria farmacêutica. **Rev. Bras. Farm.**, v. 89, nº1, p. 74-80, 2008.

CLIMATE LITERACY LABS, Solar Spectrum. Disponível em: http://sites.gsu.edu/geog1112/files/2012/10/SolarSpectrum.png. Acesso em: 11/06/2 017.

COMUNIDADE EUROPÉIA, SCIENTIFIC COMMITTEE ON FOOD. Polycyclic Aromatic Hydrocarbons – Occurrence in foods, dietary exposure and health effects, 2002.

CONAMA, Ministério do Meio Ambiente. Resolução nº 357, de 17 de março de 2005. **Conselho Nacional do Meio Ambiente (CONAMA)**, Brasília, DF, 2005.

CORDEIRO, L.H. Hidrocarbonetos Policíclicos Aromáticos nos sedimentos do estuário da Laguna dos Patos – RS. Dissertação de Mestrado. UNIVERSIDADE FEDERAL DE RIO GRANDE, Rio Grande, RS, 2003.

CRISTALE, J.; SILVA, F. S.; MARCHI, M.R.R. Desenvolvimento e aplicação de método GC-MS/MS para análise simultânea de 17 HPAs em material particulado atmosférico. **Eclética Química,** v. 33, nº4, 2008.

CUCHIARA, C.C.; BORGES, C.S.; BOBROWSKI, V.L. Sensibilidade de sementes de hortaliças na avaliação da qualidade da água em bioensaios. **Biotemas**, v. 25 (3), p.19-27, 2012.

DIAS, F.F.S. Aplicação De Processos Oxidativos Avançados Em Diferentes Reatores No Tratamento De Efluente Contaminado Com Corante Remazol Preto B Com Otimização E Análise De Custos. Tese de Doutorado do curso de Engenharia Química. Recife, PE: UFPE, 2013.

DÜSMAN, E.; BERTI, A.P.; SOARES, L.C.; VICENTINI, V.E.P. Principais Agentes Mutagênicos e Carcinogênicos de Exposição Humana. **SaBios:Ver.Saúde e Biol**., v.7, nº 2, p.66-81, mai./ago., 2012.

Disponível em:m:<a href="mailto://saladeimprensa.ibge.gov.br/noticias?view=noticia&id=1& busca=1& busca=

DIYA'UDDEEN, B. H.; DAUD, W. M. A. W.; AZIZ, A.R.A. Treatment technologies for petroleum refinery effluents: A review. **Process Safety and Environmental Protection**, v. 89,P. 95-105, 2011.

EFSA, EUROPEAN FOOD SAFETY AUTHORITY. Polycyclic Aromatic Hydrocarbons in Food Scientific Opinion of the Panel on Contaminants in the Food Chain (Question Nº EFSA-Q-2007-136). **The EFSA Journal**, v.724, p. 1-114, 2008.

ESPLUGAS, S.; BILA, D.M.; KRAUSE, L.G.T.; DEZOTTI, M. Ozonation and Advanced oxidation technologies to remove endocrine disrupting chemicals (EDCs) and pharmaceuticals and personal care products (PPCPs) in water Effluents. **Journal of Hazardous Materials**, v.149, p. 631-642, 2007.

FACCHIN, I.; PASQUINI, C. Extração Líquido-Líquido em Sistemas de Fluxo **Química Nova**, v.21, nº1, p.60-68, 1998.

FANTIN, A.C.M.; FREITAS, D.P.C.; FAGNANI, G.F.; LAPA, T.C.M.A **Teste de sensibilidade em sementes de Rúcula** (*Eruca sativa*) e Alface (*Lactuca sp.*) em contanto com diferentes concentrações do pesticida Glifosato. UNICAMP. Disponível em: http://www.ambiente-augm.ufscar.br/uploads/A3-050.pdf. Acesso em: 15 mar. 2017.

FAPESP, 2016. Disponível em: http://agencia.fapesp.br/12846. Acesso em: 18/07/2016.

FERNANDES, T.C.C. Investigação dos efeitos tóxicos mutagênicos e genotóxicos do herbicidad Trifluralina, utilizando Allium cepa e Oreochromis niloticus como sistemas-testes. Dissertação de Mestrado. Universidade Estadual de Paulista "Júlio de Mesquita Filho", Instituto de Biociências - Rio Claro, São Paulo, SP, 2005.

FLOTRON, V.; DELTEIL, C.; PADELLEC, Y.; CAMEL, V. Removal of sorbed polycyclic aromatic hydrocarbons from soil, sludge and sediment samples using the Fenton's reagent process. **Chemosphere**, v. 59, p. 1427–1437, 2005.

GABARRÓN, S.; GERNJAK, W.; VALERO, F.; BARCELÓ, A.; PETROVIC, M.; RODRÍGUES-RODA, I. Evaluation of emerging contaminants in a drinking water treatment plant using electrodialysis reversal technology. **Journal of Hazardous Materials**, v.309, p. 192-201, 2016.

GARCIA, J.C.; OLIVEIRA, J.L.; SILVA, A.E.C.; OLIVEIRA, C.C.; NOZAKI, J.; SOUZA, N.E. Comparative study of the degradation of real textile effluents by photocatalytic reactions involving UV/TiO₂/H₂O₂ and UV/Fe²⁺/H₂O₂ systems. **Journal of Hazardous Materials,** 147 p. 105–110, 2007.

GARCIA, J.C.; SIMIONATO, J. I.; ALMEIDA, V.C.; PALÁCIO, S. M.; ROSSI, F.L.; SCHNEIDER, M.V.; SOUZA, N.E. Evolutive Follow-up of the Photocatalytic Degradation of Real Textile Effluents in TiO2 and TiO2/H2O2 Systems and their Toxic Effects on *Lactuca sativa* Seedlings. *J. Braz. Chem. Soc.*, v. 20, nº. 9, p. 1589-1597, 2009.

GHAFOORI, S.; MEHRVAR, M.; CHAN, P.K. A statical experimental design approach for photochemical degradation of aqueous polyacrylic acid using phto-Fenton-like process. Polymer Degradation and Stability, v.110, p. 492-497, 2014.

GHISELLI, G.; JARDIM, W.F. Interferentes Endócrinos no Ambiente. **Química Nova**, v. 30, nº 3, 695-706, 2007.

GMUREK, M.; OLAK-KUCHARCZYK, M.; LEDAKOWICZ, S. Photochemical decomposition of endocrine disrupting compounds - A review. **Chemical Engineering Journal**, v.310, p. 437-456, 2017.

GOMES, L.M. Estudo da otimização do processo Fenton para o descoramento de corante Azo. Dissertação de Mestrado. Universidade de São Paulo, USP, São Carlos, SP, 2009.

GRABOWSKA, E.; RESZCZYNSKA, J.; ZALESKA, A. Mechanism of phenol photodegradation in the presence of pure and modified-TiO₂: A review. **Water Research**, v.46, 5453 e 5471, 2012.

GREEN RHINO ENERGY. Disponível em: http://www.greenrhinoenergy.co m/solar/radiation/characteristics.php>. Acesso em: 11/06/2017.

GRIFFITHS, A.J.F.; MILLER, J.H.; SUZUKI, D.T. Relation between mutagens and carcinogens. **An Introduction to Genetic Analysis.** 7^a Edição, 2000.

HAMADA, N. Ensaios de toxicidade empregados na avaliação de efeitos no sistema de tratamento de esgotos e efluentes, ETE Suzano, e seu entorno, utilizando organismos aquáticos. Dissertação de Mestrado. São Paulo. SP: IPEN-SP, 2008.

HASAN, D. B.; DAUD, W. M. A. W.; AZIZ, A.R.A. Oxidative mineralisation of petroleum refinery effluent using Fenton-like process. **Chemical Engineering Research and Design**, v.90, P. 298-307, 2012.

HEINTZMAN, L.J.; ANDERSON, T.A.; CARR, D.L.; McINTYRE, N.E.Local and landscape influences on PAH contamination in urban stormwater. Landscape and Urban Planning, v. 142, p.29-37, 2015.

HOFFMAN, D.J.; RATTNER, B.A.; JR BURTON, G.A.; JR CAIRNS, J. Handbook of Ecotoxicology. Lewis Publishers, 2002.

HU, T.; ZHANG, J.; YE, C.; ZHANG, L.; XING, X.; ZHANG, Y.; WANG, Y.; SUN, W.; QI, S.; ZHANG, Q. Status, source and health risk assessment of polycyclic aromatic hydrocarbons (PAHs) in soil from the water-level-fluctuation zone of the Three Gorges Reservoir, China. **Journal of Geocheminal Exploration**, v. 172, p.20-28, 2017.

HUANG, D.; HU, C.; ZENG, G.; CHENG, M.; XU, P.; GONG, X.; WANG, R.; XUE, W. Combination of Fenton processes and biotreatment for wastewater treatment and soil remediation. **Science of the Total Environment**, v. 574, p. 1599–1610, 2017.

IURASCU, B.; SIMINICEANU, I.; VIONE, D.; VICENTE, M.A.; GIL, A. Phenol Degradation in Water Through a Heterogeneous Photo-Fenton Process Catalyzed by Fe-Treated Laponite. **Water Research**, v.43, p.1313-1322, 2009.

JARDIM, W.F.; CANELA, M.C. Fundamentos da oxidação química no tratamento de efluentes e remediação de solos. **Caderno Temático**, v.01, Universidade Estadual de Campinas, São Paulo, SP, 2004.

KLAMERTH, N., RIZZO, L., MALATO, S., MALDONADO, M.I., AGUERA, A., FERNÁNDEZ-ALBA, A.R. Degradation of Fifteen Emerging Contaminants At μg. L-1 Initial Concentrations By Mild Solar Photo-Fenton In MWTP Effluents. **Water Research**, v. 44, p. 545-554, 2010.

LAU, E.V.; GAN, S.; NG, H.K.; POH, P.E. Extraction agents for the removal of polycyclic aromatic hydrocarbons (PAHs) from soil in soil washing technologies. **Environmental Pollution**, v.184, p.640-649, 2014.

LAWS, B.V.; DICKENSON, E.R.V.; JOHNSON, T.A.; SNYDER, S.A.; DREWES, J.E. Attenuation of contaminants of emerging concern during surface-spreading aquifer recharge. **Science of the Total Environment**, v. 409, p.1087-1094, 2011.

LEITE, N.F. Hidrocarbonetos Policíclicos Aromáticos (HPA) e Bifenilas Policloradas (PCB) em sedimentos: desenvolvimento analítico e diagnóstico ambiental. Tese de Doutorado. Curitiba, PR: UFPR, 2008.

LEMOS, J.L.S.; OLIVEIRA, S.D.; BARROS, C.A.; SCHLITTLER, L.A.F.S Hidrocarbonetos Aromáticos Policíclicos (HAP), propriedade e fatores que

afetam sua degradação. **Diálogo & Ciência – Revista da rede de ensino FTC**, ano III, nº.11, 2009.

LI, F.; ZENG, X.; YANG, J.; ZHOU, K.; ZAN, Q.; LEI, A.; TAM, N.F.Y. Contamination of polycyclic aromatic hydrocarbons (PAHs) in surface sediments and plants of mangrove swamps in Shenzhen, China. Marine Pollution Bulletin, v.85, p.590-596, 2014.

LIMA, R.O. Pirólise térmica e catalítica de resíduos de vácuo gerados no refino de petróleo. Dissertação de Mestrado. Universidade Federal do Rio Grande do Norte, Natal, RN, 2012.

LIN, M.; NING, X.; AN, T.; ZHANG, J.; CHEN, C.; KE, Y.; WANG, Y.; ZHANG, Y.; SUN, J.; LIU, J. Degradation of polycyclic aromatic hydrocarbons (PAHs) in textile dyeing sludge with ultrasound and Fenton processes: Effect of system parameters and synergistic effect study. **Journal of Hazardous Materials**, v.307, p. 7-16, 2016.

LIU, A.; MA, Y.; DEILAMI, K.; EGODAWATTA, P.; GOONETILLEKE, A. Ranking the factors influencing polycyclic aromatic hydrocarbons (PAH) build-up on urban roads. **Ecotoxicology and Environmental Safety**, v. 139, p.416-422, 2017.

LIU, S.; LIU, X.; LIU, M.; YANG, B.; CHENG, L.; LI, Y.; QADEER, A. Levels, sources and risck assessment of PAHs in multi-phases from urbanized river network system in Shangai. **Environmental Pollution**, v. 219, p.555-567, 2016.

LOCATELLI, M.A.F. Investigação sobre a emissão e caracterização dos Hidrocarbonetos Policíclicos Aromáticos (HPA) na bacia do rio Atibaia. Dissertação de Mestrado. Universidade Estadual de Campinas, Campinas, São Paulo, SP, 2006.

LUAN, M.; JING, G.; PIAO, Y.; LIU, D.; JIN, L. Treatment of refractory organic pollutants in industrial wastewater by wet air oxidation. **Arabian Journal of Chemistry**, v.10, p.S769-S776, 2017.

LV, K.; LI. J.; QING, X.; LI, W.; CHEN, Q. Synthesis and photo-degradation application of WO3/ TiO₂ hollow spheres. **Journal of Hazardous Materials**, v.189, p. 329–335, 2011.

MACHADO, C.R.A. Avaliação de Processo de Lodos Ativados combinado com Carvão Ativado em pó no tratamento de efluente de refinaria de petróleo. Dissertação de Mestrado. Rio de Janeiro, RJ: UFRJ, 2010.

MARIANO, J.B. **Impactos Ambientais do Refino de Petróleo**. Dissertação de Mestrado. Rio de Janeiro, RJ: UFRJ, 2001.

MARQUES, L.F.C.S.; ARBILLA, G.; QUITERIO, S.L.; MACHADO, M.C.S. Particle-Associated Polycycicl Aromatic Hydrocarbons in a Suburban Region of Rio de Janeiro, Brazil, with Industrial and Traffic Emissions. *J. Brazil Chem.* **Soc.**, v.30, n°3, p. 518-529, 2009.

MATAMOROS, V.; RODRÍGUEZ, Y.; ALBAIGÉS, J. A Comparative assessment of intensive and extensive wastewater treatment technologies for removing emerging contaminants in small communities. **Water Research**, v.88, p.777-785, 2016.

MEIRE, R.O.; AZEREDO, A.; TORRES, J.P.M. Aspectos ecotoxicológicos de Hidrocarbonetos Policíclicos Aromáticos. **Oecologia Brasiliensis**, v. 11 (2), p. 188-201, 2007.

MENICONI, M.F.G. Hidrocarbonetos Policíclicos Aromáticos no Meio Ambiente: Diferenciação de Fontes em Sedimentos e Metábolitos em Biles de Peixes. Tese de Doutorado. Natal, RN: UFRN, 2007.

MIRANDA-GARCÍA, N., SUÁREZ, S., SÁNCHEZ, B., CORONADO, J.M., MALATO, S., MALDONADO, M. I. Photocatalytic degradation of emerging contaminants in municipal wastewater treatment plant effluents immobilized

TiO₂ in a solar pilot plant. **Applied Catalysis B: Environmental**, v. 103, p. 294-301, 2011.

MISITI, T.; TEZEL, U.; PAVLOSTATHIS, S.G. Fate and effect of naphthenic acids on oil refinery activated sludge wastewater treatment systems. **Water Research**, v. 47, p.449 – 460, 2013.

MOREIRA, L.L. **Avaliação ecotoxicológica preliminar de efluentes contendo Brometo de Etídeo.** Monografia do curso de Ciências Biológicas. Pelotas, RS: UFPel, 2010.

MOTA, A. L. N. Desenvolvimento de um Sistema Foto-Oxidativo visando aplicação no Tratamento de Águas Produzidas em Campo de Petróleo. Tese de Doutorado. Natal, RN: UFRN, 2010.

MOTA, A. L. N.; ALBUQUERQUE, L. F.; BELTRAME, L. T. C.; CHIAVONE-FILHO, O.; MACHULEK JR., A.; NASCIMENTO, C. A. O. Advanced Oxidation Processes and their Aplication in the Petroleum Industry: A Review. **Brazilian Journal of Petroleum and Gas**, v.2, n.3, p. 122-142, 2008.

MOTA, A. L. N. Desenvolvimento de um Reator Fotoquímico Aplicável no Tratamento de Efluentes Fenólicos Presentes na Indústria do Petróleo. Dissertação de Mestrado. Natal, RN, UFRN, 2005.

MURNYAK, G.; VANDENBERG, J.; YAROSCHAK, P.J.; WILLIAMS, L.; PRABHAKARAN, K.; HINZ, J. Emerging Contaminants: Presentations at the 2009 Toxicology and Risk Assessment Conference. **Toxicology and Applied Pharmacology**, v.254, n°2, p. 167-169, 2011.

NAGEL-HASSEMER, M.E.; CORAL, L. A.; LAPOLLI, F.R.; AMORIM, M.T.S.P. Processo UV/H₂O₂ como pós-tratamento para remoção de cor e polimento final em efluentes têxteis. **Química Nova**, *v*. 35, nº. 5, p. 900-904, 2012.

NAIDU, R.; ESPANA, V.A.A.; LIU, Y.; JIT, J.Emerging contaminants in the environment: Risk-based analysis for better management. **Chemosphere**, v.154, p.350-357, 2016.

NAPOLEÃO, D.C. Avaliação e tratamento de fármacos oriundos de diferentes estações de tratamento de efluentes empregando processos oxidativos avançados. Tese de Doutorado. Recife, PE, UFPE, 2015.

NAPOLEÃO, D.C.; PINHEIRO, R.B.; ZAIDAN, L.E.M.C.; SALES, R.V.; BENACHOUR, M; SILVA, V.L. Avaliação de Toxicidade após submissão de efluente oriundo de ETE ao processo Foto-Fenton-Like frente à semente de *Lactuta Sativa* e ao grão *Americano Hard.* **XX COBEQ**, 2014.

NIKOLAOU, A.; SKOSTOPOULOU, M.; LOFRANO, G.; MERIC, S. Determination of PAH in marine sediments: analytical methods and environmental concerns. **Global NEST Journal**, v.11, nº4, p. 391-405, 2009.

NOGUEIRA, R.F.P.; TROVÓ, A.G.; SILVA, M.R. A.; VILLA, R.D.; OLIVEIRA, M.C. Fundamentos e aplicações ambientais dos processos Fenton e Foto-fenton. **Química Nova,** v. 30, nº. 2, p. 400-408, 2007.

NOGUEIRA, R.F.P.; TROVÓ, A.G.; PATERLINI, W.C. Evaluation of the combined solar TiO2/photo-Fenton process using multivariate analysis. **UNESP**, 2004. Disponível: https://repositorio.unesp.br/handle/11449/67711 >.

NWAICHI, E.O.; NTORGBO, S.A. Assessment of PAHs levels in some fish and seafood from different costal waters in the Niger Delta. **Toxicology Reports**, v.3, p.167-172, 2016.

NOAA, Screening Quick Reference Tables. Disponível em: < http://response.restoration. noaa.gov/ book shelf/ 122_NEW- SQuiRTs.pdf.>.

NOVACK, A.M.; MATTIELLO, E.R. TETERICZ, A. M.; MANENTI, D.R.; ESPINOZA-QUIÑONES, F.R.; MÓDENES, A.N. Estudo da toxicidade em efluentes de indústrias de tintas tratado por Eletrofloculação. III Encontro Paranaense de Engenharia e Ciência, Toledo, PR, 2013.

OLLER, I., MALATO, S.; SÁNCHEZ-PÉREZ, J.A. Combination of Advanced Oxidation Processes and biological treatments for wastewater decontamination—A review. **Science of the Total Environment**, v.409, 4141–4166, 2011.

PALÁCIO, S.M.; NOGUEIRA, D.A.; MANENTI, D.R.; MÓDENE, A.N.; QUIÑONES, F.R.E.; BORBA, F.H. Estudo da toxicidade de efluente têxtil tratado por foto-fenton artificial utilizando as espécies *Lactuca Sativa* e *Artemia Salina*. **ENGEVISTA**, v.14, nº.2, p. 127-134, agosto 2012.

PAVEI, P.T. Caracterização e estudo do comportamento de Hidrocarbonetos Policíclicos Aromáticos em ecossistemas aquáticos contaminados pelas atividades de mineração de carvão. Dissertação de Mestrado. Criciúma- SC: Universidade do Extremo Sul Catarinense, 2007.

PENG, N.; LI, Y.; LIU, Z.; LIU, T.; GAI, C. Emission, distribution and toxicity of polycyclic aromatic hyddrocarbons (PAHs) during municipal solid waste (MSW) and coal co-combustion. **Science of the Total Environment**, v.565, p.1201-1207, 2016.

PEREIRA NETTO, A.D.; MOREIRA, J.C.; DIAS, A.E.X.O.; ARBILLA, G.; FERREIRA, L.F.V.; OLIVEIRA, A. S.; BAREK, J. Avaliação da Contaminação Humana por Hidrocarbonetos Policíclicos Aromáticos (HPAs) e seus Derivados Nitrados(NHPAS): Uma Revisão Metodológica. **Química Nova,** v. 23, nº 6, 2000.

PERERA, F.; TANG, D.; WHYATT, R.; LEDERMAN, S.A.; JEDRYCHOWSKI, W. DNA Damage from Polycyclic Aromatic Hydrocarbons Measured by Benzo[a]pyrene-DNA Adducts in Mothers and Newborns from Northern Manhattan, The World Trade Center Area, Poland, and China. **Cancer Epidemiology, Biomarkers & Prevention**, v. 14(3), p. 709-714, 2005.

PÉTROVIC, M.; GONZALES, S.; BARCELÓ, D. Analysis and Removal of Emerging Contaminants in Wastewater and Drinking Water. **Trends in Analytical Chemistry**, v.22, nº10, 2003.

PINHATI, F.R. Caracterização Molecular da População Microbiana do lodo de Refinaria de Petróleo por PCR-DGGE e RAPD. Dissertação de Mestrado, Rio de Janeiro. RJ: UFRJ, 2008.

POLAKIEWICZ, L. Estudo de Hidrocarbonetos policíclicos aromáticos nos estuários de Santos e São Vicente – SP utilizando diatomito como material adsorvente. Tese de Mestrado. São Paulo, SP: IPEN, 2008.

REBESSI, A. C.; MEDINA, A.F.; PEREIRA, B.; FRANÇA, D.; SANTOS, D.F.; MENDES, F.; RODRIGUES, G.; NASCIMENTO E SILVA, J.H.; GREVE, L.F.; CIRIBELLO, L.; LIMA, L.F.; MARCHINI, L.; FELIX, M.; NAVARRO, M.; CHINELATTO, M.R.; OVÍDIO, T.T.; BRITO, N.N. Estudo da toxicidade crônica do herbicida glifosato em sementes de milho, de quiabo e rucúla. **Engenharia Ambiental - Espírito Santo do Pinhal**, v. 8, nº 2, p.17- 27, abr. /jun. 2011.

REDDY, K.R. e CHANDHURI,K.S. Fenton-like oxidation of Polycyclic Aromatic Hydrocarbons in soils using electrokinetics. **Journal of Geotechnical and Geoenvironmental Engineering**, p. 1429, 2009.

REVISTA DE QUÍMICA INDUSTRIAL, Contaminantes Emergentes. *A*no 81, nº 738, p.4-13, 1º trimestre de 2013.

RQI, ABQ, 2017. Disponível em: http://www.abq.org.br/rqi/2011/733/RQI-733-pagina8-Contaminantes-Emergentes.pdf. Acesso em: 10/06/2017.

RIBEIRO, A.R.; NUNES, O.C.; PEREIRA, M.F.R.; SILVA, A.M.T. An overview on the advanced oxidation processes aplied for the treatment of water pollutants defined in the recently launched Directive 2013/39/EU. **Environment Internacional**, v.75, p.33-51, 2015.

ROCHA, O.R.S. Avaliação de diferentes processos oxidativos avançados no tratamento de resíduos de petróleo. Tese de Doutorado. Universidade Federal do Rio Grande do Norte, Natal, RN: UFRN, 2010.

RODIL, R.; SCHELLIN, M.; POPP, P. Analysis of Polycyclic Aromatic Hydrocarbons in water and beverages using membrane- assisted solvent extraction in combination with large volume injection-gas chromatography – mass spectrometric detection. **Journal of Chormatography A,** v. 1163, p. 288-297, 2007.

ROSE, M.; HOLLAND, J.; DOWDING, A., PETCH, S.R.G..; WHITE S.; FERNANDES, A.; MORTIMER, D. Investigation into the formation of PAHs in foods prepared in the home to determine the effects of frying, grilling, barbecuing, toasting and roasting. **Food and Chemical Toxicology,** v. 78, p. 1-9, 2015.

RUAS, D.C. Aplicação do processo oxidativo avançado H₂O₂/UV como pós-tratamento de reator anaeróbico em efluentes de indústrias de celulose *kraft* branqueada. Dissertação de mestrado, São Carlos-SP, Universidade de São Paulo, 2008.

RUBIO-CLEMENTE, A.; TORRES-PALMA, R.A.; PEÑUELA, G.A. Removal of Polycyclic aromatic hydrocarbons in aqueous environment by chemical treatments: A review. **Science of the Total Environmental**, v.478, p.201-225, 2014.

RUIZ-FERNA´NDEZ, A.C.; SPROVIERI, M.; PIAZZA, R.; FRIGNANI, M.; SANCHEZ-CABEZA, J.A.; FEO, M.L.; BELLUCCI, L.G.; VECCHIATO, M.; PE´REZ-BERNAL, L.H.; PA´EZ-OSUNA, F. 210 Pb-derived history of PAH and PCB accumulation in sediments of a tropical inner lagoon (Las Matas, Gulf of Mexico) near a major oil refinery. **Geochimica et Cosmochimica Acta**, v.82, p.136 – 153, 2012.

SALES, R.V.L. Avaliação e tratamento de bisfenol a (bfa) em efluente industrial empregando processos oxidativos avançados. Dissertação de Mestrado, Recife, PE, UFPE, 2015.

SANTOS, F. V.; AZEVEDO2, E. B.; SANT'ANNA JR., G. L.; DEZOTTI, M. Photocatalysis as a tertiary treatment for petroleum refinery wastewaters. **Brazilian Journal of Chemical Engineering,** v. 23, no 4, p. 451 - 460, 2006.

SÁNCHEZ, N.E.; SALAFRANCA, J.; CALLEJAS, A.; MILLERA, A.; BILBAO, R.; ALZUETA, M.U. Quantification of Polycyclic aromatic hydrocarbons (PAHs) found in gas and particle phases from pyrolitic processes using gas chromatography - mass spectrometry (GC-MS). **Fuel**, v. 107, p. 246-253, 2013.

SARRIA-VILLA, R.; OCAMPO-DUQUE, W.; PÁEZ, M.; SCHUHMACHER, M.; Presence oh PAHs in water and sediments of the Colombian Cauca River during heavy rain episodes, and implicationsfor risk assessment. **Science of the Total Environment**, v.540, p. 455-465, 2016.

SANTAELLA, S.T.; SILVA JÚNIOR, F.C.G.; GADELHA, D.A.C.; COSTA, K.O.; AGUIAR, R.; ARTHAUD, I.D.B.; LEITÃO, R.C. Tratamento de efluentes de refinaria de petróleo em reatores com Aspergillus niger. **Eng. Sanit. Ambient.**, v.14, nº 1, jan/mar, p.139-148, 2009.

SANTOS, M.A.P.F.; VINCENSOTTI, J.; MONTEIRO, R.T.R. Sensitivity of four test organism (Chironomus xanthus, Daphnia magna, Hydra attenuate and Pseudokirchneriella subcapitata) to NaCI: an Alternative Reference Toxicant. **J.Braz. Soc.Ecotoxicol.**, v.2, no 3, 2007.

SHAHREZAEI, F.; MANSOURI, Y.; ZINATIZADEH, A.A.L.; AKHBARI, A. Process modeling and kinetic evaluation of petroleum refinery wastewater treatment in a photocatalytic reactor using TiO₂ nanoparticles. **Powder Technology**, 221, p. 203–212, 2012.

SILVA, J.N.; MATTIOLO, S.R. Estudo da germinação e crescimento de sementes de Alface (*Lactuca Sativa*) na presença de Rotenat. Centro Tecnológico da Marinha em São Paulo, CTMSP. Disponível em: http://pelicano.ipen.br/pibic/cd-virtual/2010%20-20AUGUSTO%20RUSCHI/pdf/ctmsp_06_resumo.pdf. Acesso em: 14 mar.2017.

SILVA, G.S. Avaliação do Estado de Degradação e Capacidade de Suporte da Bacia do Rio Atibaia- Região de Campinas/ Paulínia – SP. Tese de Doutorado. Campinas, SP: UNICAMP, 2004.

SILVA, P.T.S. (a) Estudo dos Processos Oxidativos Avançados para o Tratamento dos Solos Contaminados por Hidrocarbonetos Policíclicos Aromáticos. Tese de Doutorado. Recife, PE: UFPE, 2007.

SILVA.T.C.F. (b) **Processos Oxidativos Avançados para tratamento de efluentes de indústria de celulose kraft branqueada.** Dissertação de Mestrado. Viçosa, MG: Universidade Federal de Viçosa, 2007.

SILVA, P.T.S.; LOCATELLI, M.A.F.; JARDIM, W.F.; NETO, B.B.; MOTTA, M.; CASTRO, G.R.; SILVA, V.L. Endogenous Iron as a Photo-Fenton Reaction Catalyst for the Degradation of Pah's in Soils. **J. Braz. Chem. Soc.**,v. 19, n^o 2, p. 329-336, 2008.

SILVEIRA, M.A.K.; CALDAS, S.S.; ESCARRONE, A.L.V.; CERQUEIRA, M.B.R.; PRIMEL, A.G. Otimização de método para determinação simultânea de produtos farmacêuticos e de higiene pessoal em água empregando SPE e LC-ESI-MS/MS. IX Latin American Symposium on Environmental and Sanitary Analytical Chemistry, 2011, Salvador, BA. **Resumos.** Salvador, BA, 2011.

SIRTORI, C. Estudo da potencialidade do processo fotoeletroquímico para remediação de águas contaminadas por cianobactérias. Dissertação de Mestrado. Curitiba, PR: UFPR, 2006.

SOARES, V.R.B.; ROCHA, F.R.P.; REIS, B.F.; TEIXEIRA, L.S.G. Dispositivo para extração líquido-líquido em sistemas de análise em fluxo. **Química Nova**, v.38, nº 7, p.992-994, 2015.

SÖDERSTRÖM, H.; LINDBERG, R.H.; FICK, J. Strategies for monitoring the emerging polar organic contaminants in water with emphasis on integrative passive sampling. **Journal of Chromatography A,** v. 1216, p. 623-630, 2009.

SODRÉ, F.F.; LOCATELLI, A.F.; JARDIM, W.F. Sistema Limpo Em Linha Para Extração Em Fase Sólida De Contaminantes Emergentes Em Águas Naturais. **Química Nova**, v. 33, nº 1, p. 216 - 219, 2010.

SOUZA, B.M. Avaliação de Processos Oxidativos Avançados Acoplados com Carvão Ativado Granulado com Biofilme para Reuso de Efluentes de Refinaria de Petróleo. Dissertação de Mestrado. Rio de Janeiro, RJ: UFRJ, 2010.

SOUZA, K.R. Degradação foto-Fentom de Carbono Orgânico Total em efluentes da indústria de beneficiamento de Castanha de Caju. Dissertação de Mestrado. Natal, RN: UFRN, 2005.

SOUZA, D.P. Avaliação de Contaminantes Emergentes do tipo HPA no Riacho Algodoais, Suape-PE e tratamento via Processo Oxidativo Avançado. Dissertação de Mestrado. Recife, PE, 2012.

SUAVE, J. **Degradação fotocatalítica heterogênea de polivinilpirrolidona dissolvida em água.** Tese de Doutorado. Universidade Federal de Santa Catarina, Florianópolis, SC, 2013.

SUMAN, S.; SINHA, A.; TARAFDAR, A. Polycyclic aromatic hydrocarbons (PAHs) concentration levels, pattern, source identification and soil toxicity assessment in urban traffic soil of Dhanbad, India. **Science of the Total Environment**, v. 545-546, p. 353-360, 2016.

TAMIMI, M.; QOURZAL, S.; BARKA, N.; ASSABBANE, A.; AIT-ICHOU, Y. Methomyl degradation in aqueous solutions by Fenton's reagent and the photo-Fenton system. **Separation and Purification Technology**, v. 61, p. 103–108, 2008.

TALIB, A.; RANDHIR, T.O. Managing emerging contaminants in watersheds: Need for comprehensive, systems-based strategies. **Sustainability of Water Quality and Ecology,** 2016.

TEIXEIRA, C.P.A.B.; JARDIM, W.F. **Processos Oxidativos Avançados.** Caderno Temático, v.03, 2004.

TENNANT, R.W. **Cellular and Genetic Toxicology Branch**, Department of Health and Human Resources, National Institutes of Health, National Institute of Environmental Health Sciences, Research Triangle Park, North Carolina, 2014.

THOMAIDIS, N.S.; ASIMAKOPOULOS, A.G.; BLETSOU, A.A. Emerging Contaminants: A Tutorial Mini-Review. **Global Nest Journal**, v.14, p.72-79, 2012.

TESSARO, E.P. Avaliação de Processos Oxidativos para o tratamento ambientalmente adequado de fluidos de corte. Dissertação de Mestrado. São Carlos. SP: USP, 2008.

TIBURTIUS, E.R.L., PERALTA-ZAMORA, P., EMMEL, A. Degradação de benzeno, tolueno e xilenos em águas contaminadas por gasolina, utilizandose processos foto-Fenton. **Química Nova**, v. 32, nº 8, p. 2058-2063, 2009.

TIWARI, M.; SAHU, S.K.; PANDIT, G.G. Distribution of PAHs in different compartment of creek ecosystem: Ecotoxicological concern and human health risk. **Environmental Toxicology and Pharmacology**, v.50, p. 58-66, 2017.

TOMINAGA, M.Y. Programa de Monitoramento Global de POPs – Região da América Latina e Caribe. IX Latin American Symposium on Environmental and Sanitary Analytical Chemistry, 2011, Salvador, BA. **Resumos**. Salvador, BA, 2011.

TONGO, I.; OGBEIDE, O.; EZEMONYE, L. Human health risk assessment of polycyclic aromatic hydrocarbons (PAHs) in smoked fish species from markets in Southern Nigeria. **Toxicology Reports**, v.4, p. 55-61, 2017.

TONY, M. A.; ZHAO, Y. Q.; PURCELL, P. J.; EL-SHERBINY, M. F. Evaluating the photo-catalytic application of Fenton's reagent augmented with TiO₂ and ZnO for the mineralization of an oil-water emulsion. **Journal of Environmental Science and Health Part A**, v.44, p. 488–493, 2009.

TORRES, M.A.; CHEMINSKI, T. Avaliação da Degradação de Corante Têxtil por Processos Fenton e Foto-Fenton. Trabalho de Conclusão de Curso, Universidade Tecnológica Federal do Paraná, Curitiba, PR, 2013.

TRISCIANI, A.; PERRA, G.; CARUSO, T.; FOCARDI, S.; CORSI, I. Phase I and II biotransformation enzymes and polycyclic aromatic hydrocarbons in the Mediterranean mussel (Mytilus galloprovincialis, Lamarck, 1819) collected in front of an oil refinery. **Marine Environmental Research**, 79, p. 29 -36, 2012.

VANDERMEERSCH,G.; LOURENÇO, H.M.; ALVAREZ-MUÑOZ,D.; CUNHA, S.; DIOGÈNE, J.; CANO-SANCHO, GERMAN.; SLOTH, J.J.; KWADIJK, C.; BARCELO, D.; ALLEGAERT,W.; BEKAERT, K.; FERNANDES, J.O.; MARQUES, A.; ROBBENS,J. Environmental contaminants of emerging concern in seafood - European database on contaminant levels. **Environmental Research**, v.143, p.29-45, 2015.

VEIGA, I.G. Avaliação da Origem dos Hidrocarbonetos em Sedimentos Superficiais de Manguezais da Região Norte da Baía de Todos os Santos/Bahia. Dissertação de Mestrado. Macaé, RJ: UENF, 2003.

VERONESE, G. Diagnósticos dos resíduos sólidos e líquidos gerados na refinaria Alberto Pasqualini REFAP S.A. Monografia do curso de Engenharia Química. Rio Grande do Sul, RS: UFRS, 2010.

VILLA, R.D.; SILVA, M.R. A.; NOGUEIRA, R.F.P. Potencial de aplicação do processo Foto-Ffenton/solar como pré-tratamento de efluente da indústria de laticínios. **Química Nova**, v. 30, nº 8, p. 1799-1803, 2007.

VISCO, G.; CAMPANELLE, L.; NOBILI, V. Organic Carbonic and TOC in waters: an overview of the international norm for its measurements. **Microchemical Journal**, v. 79, p.185–191, 2005.

WANG, N.; ZHENG, T.; ZHANG, G.; WANG, P. A review on Fenton-like processes for organic wastewater treatment. **Journal of Environmental Chemical Engineering,** v. 4, p. 762-787, 2016.

WU, J.; HOU, H.; RITZ, B.; CHEN, Y. Exposure ti Polyciclic Aromatic Hydrocarbons and missed abortion in early pregnancy in a Chinese population. **Science of the Total Environment,** v. 408, p. 2312-2318, 2010.

WU, X.; SHAO, Y. Study of Kinetics Mechnism of PAHs Photodegradation in Solution. **Procedia Earth and Planetary Science**, v.17, p. 348-351, 2017.

YAO, C.; LI, T.; TWU, P.; PITNER, W.R.; ANDERSON, J.L. Selective extraction of emerging contaminants from water samples by dispersive liquid-liquid micreoextration usng funcionalized ionic liquids. **Journal of Chromatography A**, v. 1218, p. 1556-1566, 2011.

YAP, C.L.; GAN. S.; NG, H.K. Fenton Based remediation of polycyclic aromatic hydrocarbons – contaminated soils. **Chemosphere**, v.83, p.1414-1430, 2011.

YERUSHALMI, L.; ROCHELEAU, S.; CIMPOIA, R.; SARRAZIN, M.; SUNAHARA, G.; PEISAJOVICH, A.; LECLAIR, G.; GUIOT, S.R. Enhanced Biodegradation of Petroleum Hydrocarbons in Contaminated Soil. **Bioremediation Journal**, 7(1), p.37–51, 2003.

YOUNG, B.J.; RIERA, N.I.; BEILLY, M.E.; BRES, P.A.; CRESPO, D.C.; RONCO, A.E. Toxicity of the effluent from na anaerobic bioreactor treating cereal residues on *Lactuca sativa*. **Ecoxitocological and Environmental Safety**, v.76, p.182-186, 2012.

ZAIDAN, L.E.M.C. Análise do fenol e seus derivados via cromatografia líquida de alta eficiência e tratamento do poluente orgânico empregando processos oxidativos avançados. Tese de Doutorado, Universidade Federal de Pernambuco, Recife, PE, UFPE, 2015.

ZHANG, Y., XIN, Q., CONG, Y., WANG, Q., JIANG, B. Application of TiO₂ nanotubes with pulsed plasma for phenol degradation. **Chemical Engineering Journal**, 215–216, 261–268, 2013.

APÊNDICES

APÊNDICE A - Balanço de Massa.

Balanço de Massa sobre A:

$$-\frac{dC_A}{dt} = (k_3 + k_1)C_A (A-1)$$

Balanço de Massa sobre B:

$$\frac{dc_B}{dt} = k_1 C_A - k_2 C_B \tag{A-2}$$

Sabendo-se que em t = 0,

$$C_A = C_{A0} = 1$$
 e que $C_{B} = C_{B0} = 0$. (A-3)

Com base nas condições descritas em A-3, a equação A-1 fica:

$$-\frac{dC_A}{dt} = (k_3 + k_1)dt \to \int_{C_{A_0}}^{C_A} -\frac{dC_A}{C_A} = (k_3 + k_1) \int_0^t dt$$
 (A-4)

$$-\ln\frac{C_A}{C_{A_0}} = (k_3 + k_1)t \to \frac{C_A}{C_{A_0}} = e^{-(k_3 + k_1)t}$$
(A-5)

$$C_A = e^{-(k_2 + k_1)t} (A-6)$$

Substituindo as condições de A-3 na equação A-2, temos:

$$\frac{dC_B}{dt} + k_2 C_B = k_1 C_A = k_2 e^{-(k_2 + k_1)t}$$
(A-7)

Têm-se então:

$$\frac{dC_B}{dt} + k_2 C_B = 0 (A-8)$$

E CB:

$$\frac{dC_B}{dt} = -k_2 dt \to \ln C_B = -k_2 t + k \tag{A-9}$$

$$C_B = C_1 e^{-k_2 t} (A-10)$$

Logo:

$$-k_2C_1e^{-k_2t} + C_1'e^{-k_2t} + k_2C_1e^{k_2t} = k_1e^{-(k_2+k_1)t}$$
(A-11)

$$C_1'e^{-k_2t} = k_1e^{-(k_3+k_1)t} \to C_1' = k_1e^{-(k_3+k_1-k_2)t} = k_1e^{-(k_3+k_1)t} + C$$
(A-12)

Reescrevendo a equação:

$$C_B = C_1 e^{-k_2 t} = \left(-\frac{k_1}{k_3 + k_1 - k_2} e^{-(k_3 + k_1 - k_2)t} + C \right) e^{-k_2 t} \tag{A-13}$$

$$C_B = Ce^{-k_2t} - \frac{k_1}{k_3 + k_1 - k_2}e^{-(k_3 + k_1)t}$$
(A-14)

Substituindo as condições de A-3 na equação A-14, teremos o valor de C:

$$0 = C - \frac{k_1}{k_3 + k_1 - k_2} \to C = \frac{k_1}{k_3 + k_1 - k_2}$$
(A-15)

Logo, a expressão de C_B:

$$C_B = \left(\frac{k_1}{k_3 + k_1 - k_2} - \frac{k_1}{k_3 + k_1 - k_2} e^{-(k_3 + k_1 - k_2)t}\right) e^{-k_2 t} \tag{A-16}$$

$$C_B = \frac{k_1}{k_3 + k_1 - k_2} e^{-k_2 t} - \frac{k_1}{k_3 + k_1 - k_2} e^{-(k_3 + k_1)t}$$
(A-17)

$$C_B = \frac{k_1}{k_3 + k_1 - k_2} (e^{-k_2 t} - e^{-(k_3 + k_1)t})$$
(A-18)

Como:

$$C_r = C_A + C_B$$

$$C_r = e^{-(k_3 + k_1)t} + \frac{k_1}{k_3 + k_1 - k_2} e^{-k_3 t} - \frac{k_1}{k_3 + k_1 - k_2} e^{-(k_3 + k_1)t}$$
(A-19)

$$C_r = \left(1 - \frac{k_1}{k_3 + k_1 - k_2}\right) e^{-(k_3 + k_1)t} + \frac{k_1}{k_3 + k_1 - k_2} e^{-k_2 t} \tag{A-20}$$

Expressão final para Cr é:

$$C_r = \frac{k_3 - k_2}{k_3 + k_1 - k_2} e^{-(k_3 + k_1)t} + \frac{k_1}{k_3 + k_1 - k_2} e^{-k_2 t} = \frac{[\textit{COT}]}{[\textit{COT}_0]} \tag{A-21}$$

$$\frac{C_A + C_B}{C_A^0} = \frac{COT}{COT^0} = \frac{k_1}{k_1 + k_3 - k_2} e^{-k_2 t} + \frac{k_3 - k_2}{k_1 + k_3 - k_2} e^{-(k_1 + k_3)t}$$
(A-22)

k₃ pode ser muito menor do que k₁ ou k₂:

$$\frac{C_A + C_B}{C_A^0} = \frac{COT}{COT^0} = \frac{k_1}{k_1 - k_2} e^{-k_2 t} + \frac{k_2}{k_1 - k_2} e^{-k_1 t}$$
(A-23)

APÊNDICE B - Concentrações das Amostras 1 e 2.

TABELA B-1: Valor médio da concentração dos HPA encontrados nas Amostra 1 e 2.

Concentração (µg. L⁻¹) **HPA** Amostra 1 Amostra 2 Naftaleno 34,12 24,22 Acenaftileno 2,64 6,20 Acenafteno 8,30 1,03 **Fluoreno** 6,64 2,32 **Fenantreno** 22,40 9,94 Antraceno 4,57 5,49 **Fluoranteno** 15,43 8,61 Pireno 5,00 8,57 Benzo[a]antraceno 3,44 2,27 Criseno 5,81 4,74 Benzo[b]fluoranteno 1,27 1,07 Benzo[k]fluoranteno 9,17 5,67 Benzo[a]pireno 2,00 1,46 Indeno[1,2,3-cd]pireno 1,92 1,14 0 Dibenzo[a,h]antraceno 0 Benzo[g,h,i]perileno 0,74 1,40 Σ HPA 127,04 80,57

APÊNDICE C - Conversão do COT (%) das Amostras 1 e 2.

TABELA C-1: Conversão do COT (%) da Amostra 1 nos reatores UV-A e *Sunlight*.

| | Conversão do COT (%) – Amostra 1 | |
|---------|----------------------------------|---------------------|
| Ensaios | Reator UV-A (%) | Reator Sunlight (%) |
| 1 | 19,90 | 31,88 |
| 2 | 32,05 | 31,18 |
| 3 | 30,48 | 39,88 |
| 4 | 30,53 | 28,33 |
| 5 | 23,20 | 59,06 |
| 6 | 26,12 | 59,42 |
| 7 | 22,14 | 61,15 |
| 8 | 34,94 | 66,02 |
| 9 | 17,90 | 41,20 |
| 10 | 16,59 | 35,82 |
| 11 | 18,40 | 35,31 |

TABELA C-2: Conversão do COT (%) da Amostra 2, radiações UV-A e *Sunlight*.

Conversão do COT (%) – Amostra 2

| | | ` ' |
|---------|-----------------|-----------------|
| Ensaios | Reator UV-A (%) | Reator Sunlight |
| 1 | 8,06 | 28,09 |
| 2 | 10,92 | 28,71 |
| 3 | 6,96 | 22,71 |
| 4 | 13,04 | 23,37 |
| 5 | 13,48 | 35,71 |
| 6 | 7,55 | 37,03 |
| 7 | 13,26 | 36,67 |
| 8 | 13,99 | 37,05 |
| 9 | 11,43 | 27,32 |
| 10 | 11,94 | 23,66 |
| 11 | 12,45 | 26,37 |